

Spektrální analytické metody

Analytické metody

„bulk“ (průměrná složení) vs lokální analýza

Destruktivní

Semidestruktivní

Nedestruktivní

Atomová spektrometrie

Molekulová spektrometrie

Kvalitativní

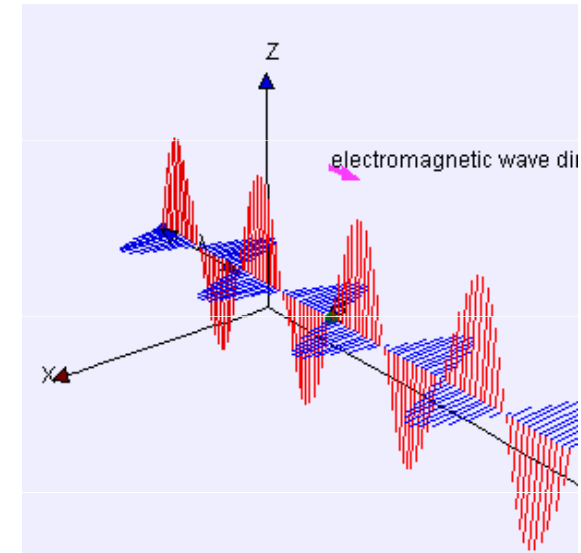
Semikvantitativní

Kvantitativní

Elektromagnetické vlnění

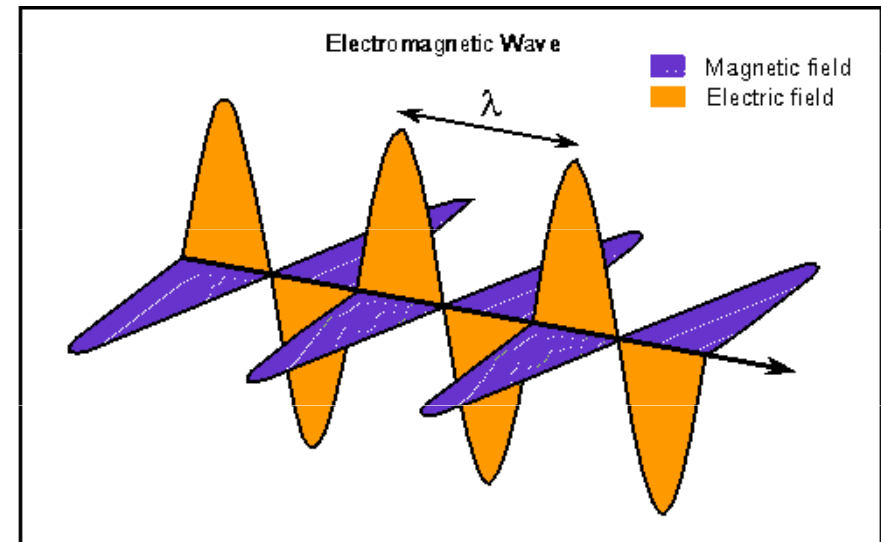
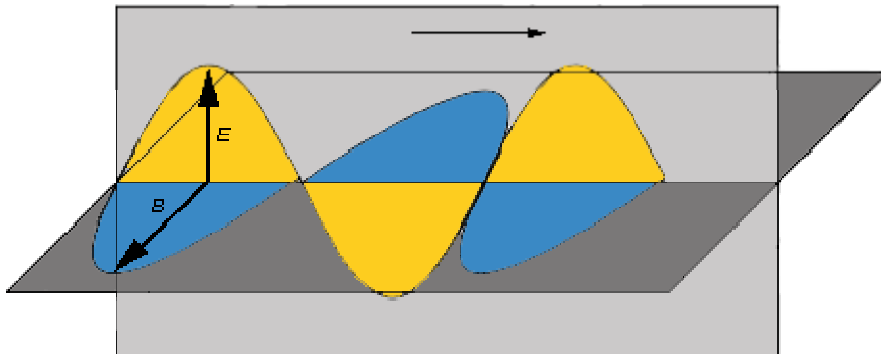
Elektromagnetické vlnění (též elektromagnetické záření) je děj, při němž se prostorem šíří příčné vlnění elektrického a magnetického pole. Popsáno je pomocí tzv. Maxwellových rovnic.

	Integrální tvar	Diferenciální tvar
1	$\oint_c H dl = I + \frac{d\psi}{dt}$	$\text{rot}H = J + \frac{\partial D}{\partial t}$
2	$\oint_c E dl = -\frac{d\phi}{dt}$	$\text{rot}E = -\frac{\partial B}{\partial t}$
3	$\oint_s D dS = Q$	$\text{div}D = \rho$
4	$\oint_s B dS = 0$	$\text{div}B = 0$

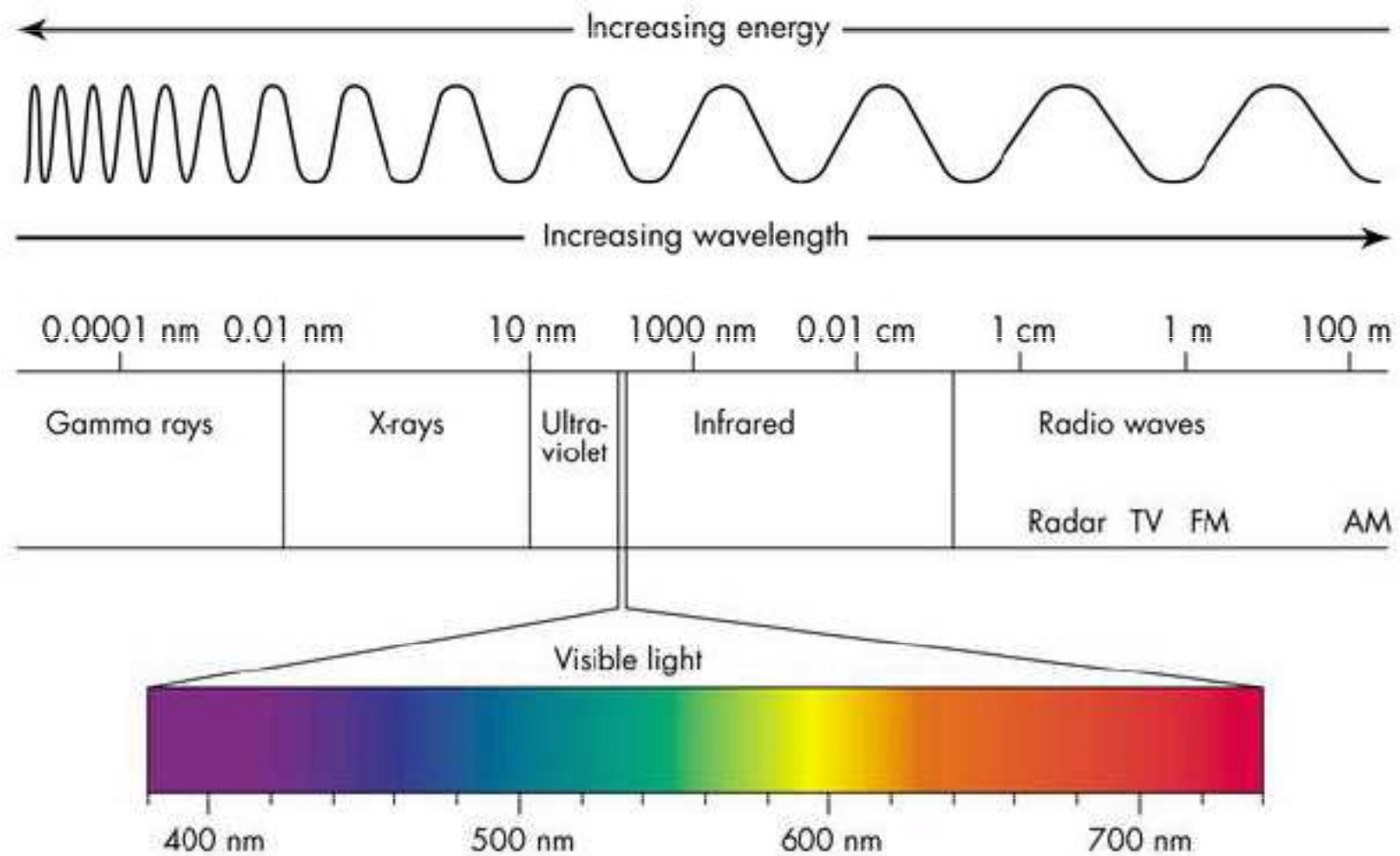


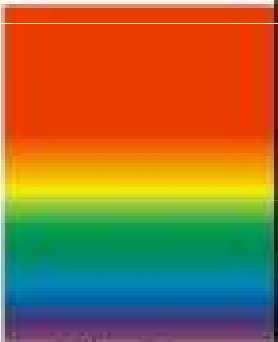
Zahrnuje dvě složky, které jsou na sebe kolmé:

- Intenzita elektrického pole **E**
- Magnetická indukce **B**

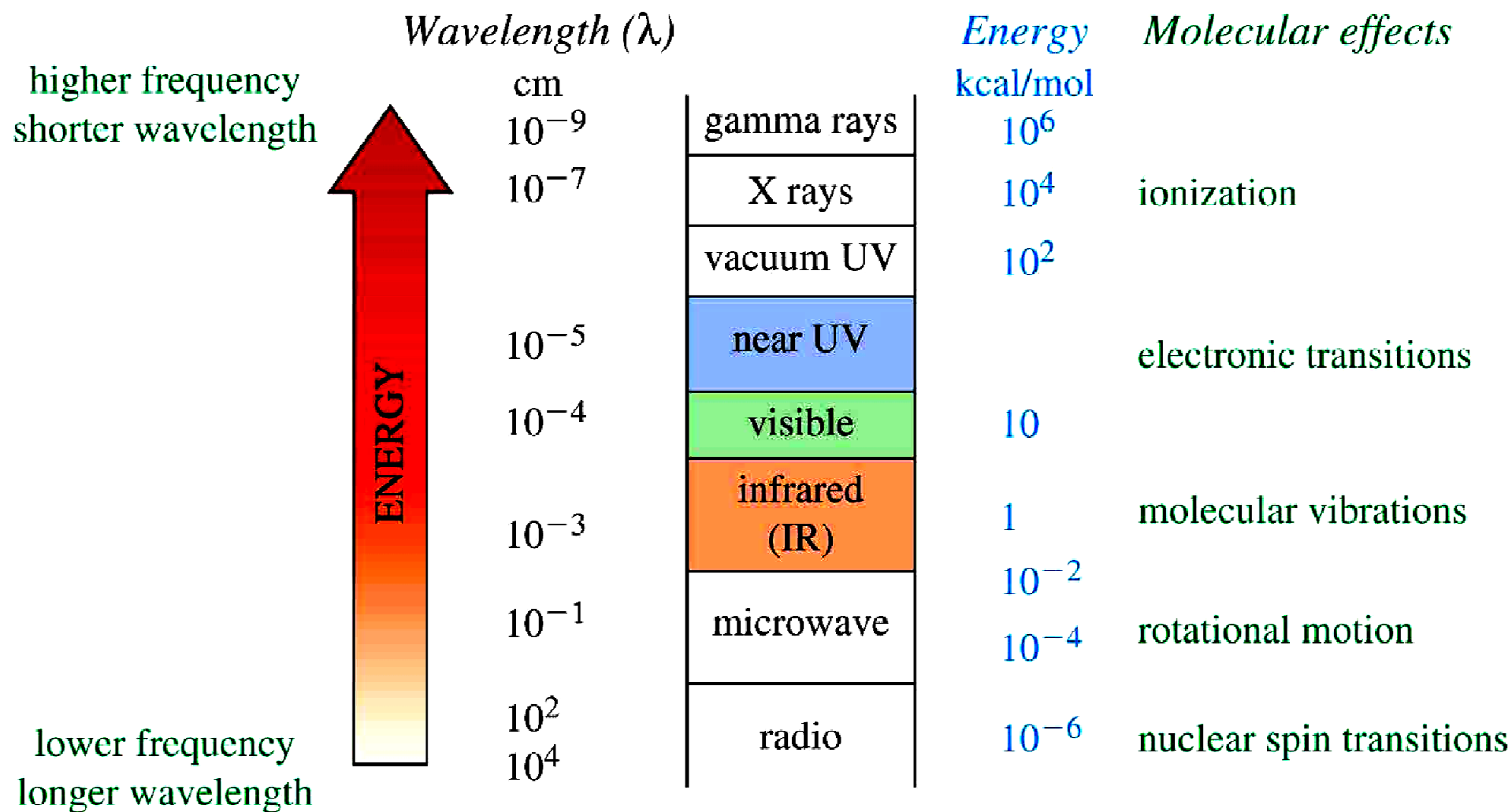


Elektromagnetické záření

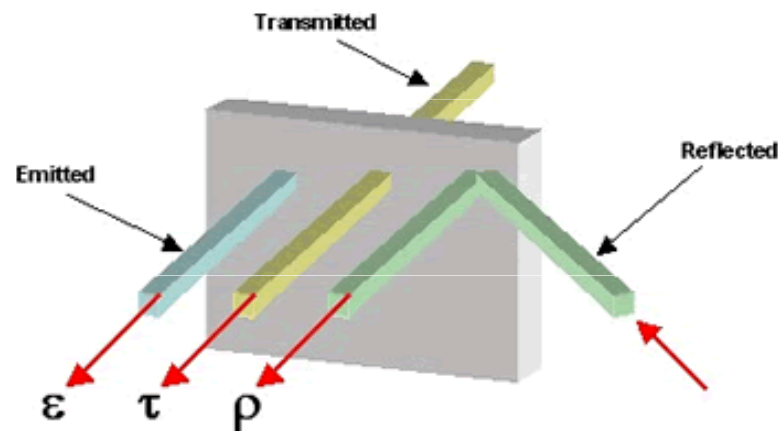


Elektromagnetické záření, vlnění	Vlnová délka λ	Použití, výskyt	Pozn.
Radiové vlny Dlouhé (DV) Střední (SV) Krátké (KV) Velmi krátké (VKV) Ultra krátké (UKV)	2 000 m – 1 000 m 600 m – 150 m 50 m – 15 m 15 m – 1 m 1 m – 0,1 m	Rozhlas, televize	Neionizující záření
Mikrovlny	0,1 m – 0,3 mm	mobilní telefony , GPS, WiMax, Wifi, mikrovlnné trouby, radar	
Infračervené záření	0,3mm – 750 nm	dálkové ovladače, noční vidění, tepelné záření	
Světlo červené oranžové žluté zelené modré fialové 	760 nm – 390 nm	Viditelné světlo	
Ultrafialové záření	390 nm – 10 nm	Opalování, solária, sterilizace	
Rentgenové záření	10 nm – 1 pm	lékařská diagnostika, průmyslová diagnostika	Ionizující záření
Záření gama	< 300 pm	ozařování nádorů, kosmické záření, jaderné reaktory	

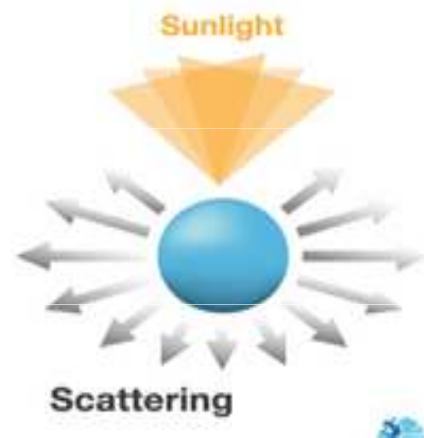
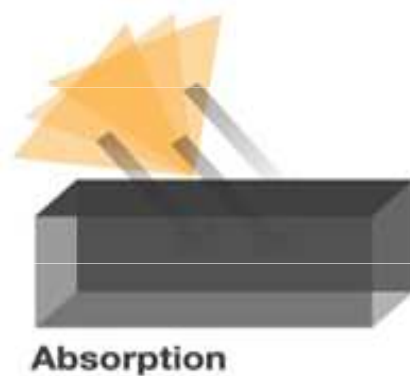
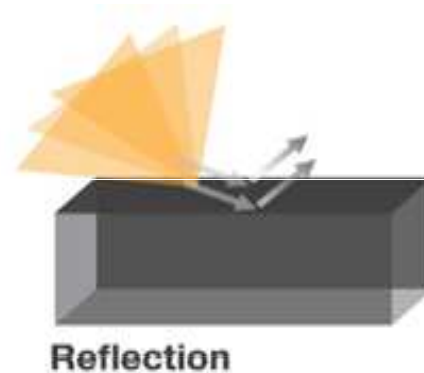
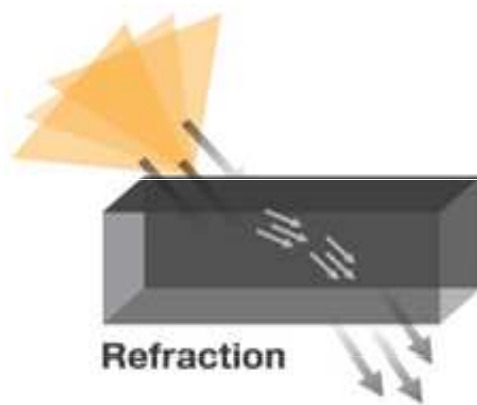
EFFECT OF ELECTROMAGNETIC RADIATION ON MOLECULES



Interakce mezi hmotou a energií



$$\epsilon + \tau + \rho = 1$$



Kvantová teorie

M. Planck: Kvantová teorie

$$E = h \cdot \nu$$

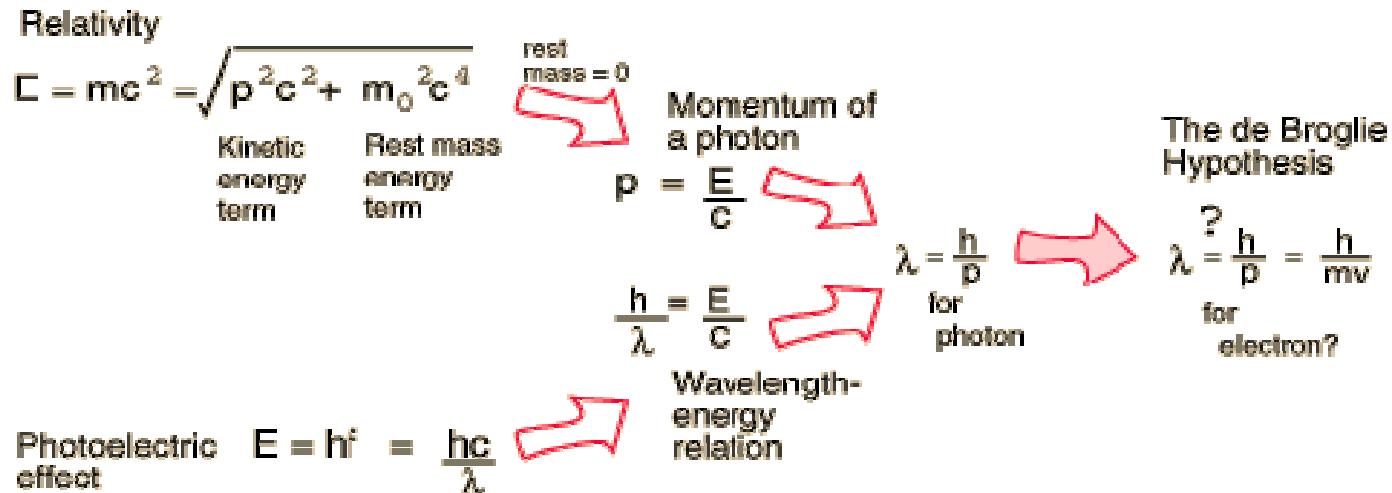
A. Einstein: Fotoelektrický jev

N. Bohr: Kvantový model atomu

L. De Broglie: Dualita hmota-záření

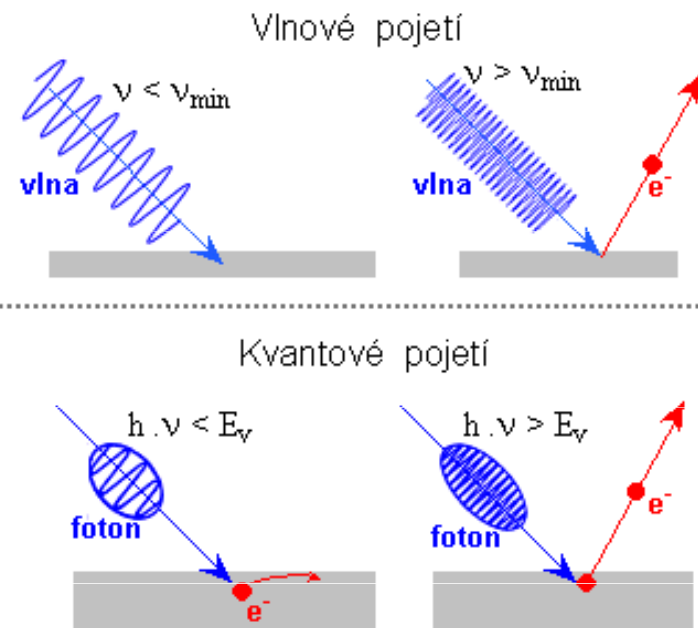
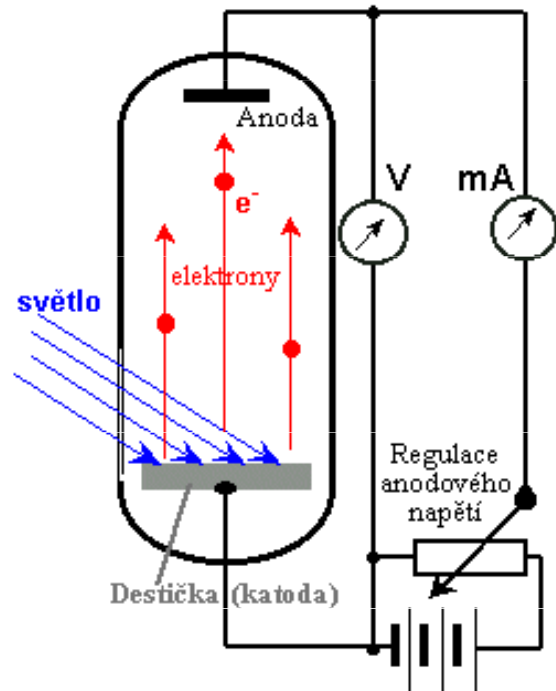
A. Einstein: Speciální teorie relativity

$$E = m \cdot c^2$$



Vlnění

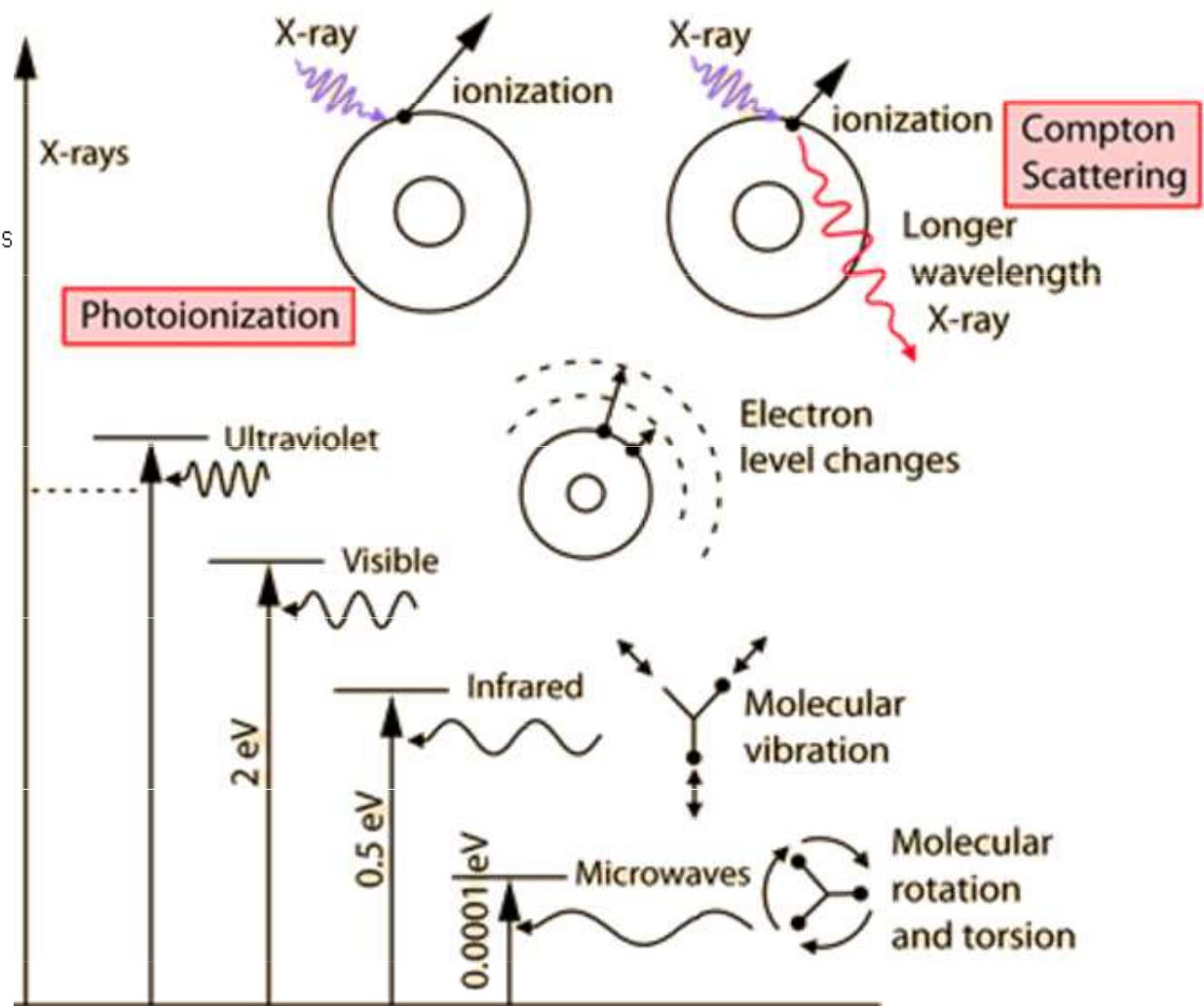
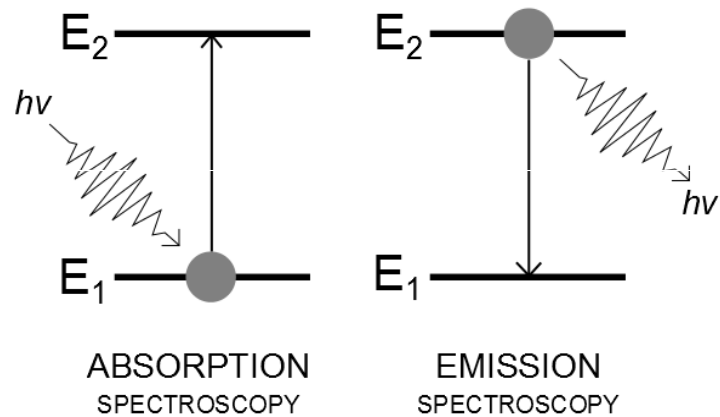
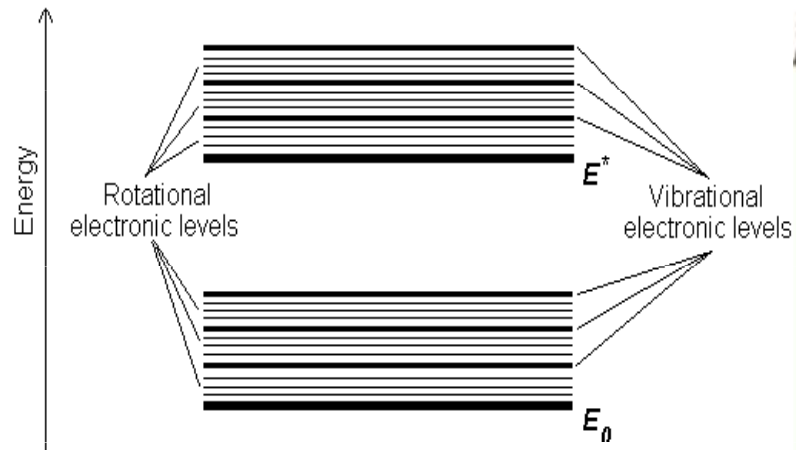
Částice



Každá mikročástice o hmotnosti m pohybující se rychlostí v , se může chovat jako vlna o vlnové délce

$$\lambda = \frac{h}{p} = \frac{h}{\gamma m v} = \frac{h}{m v} \sqrt{1 - \frac{v^2}{c^2}}$$

De Broglieova-Comptonova vlnová délka



Elektromagnetické záření látek

Všechny předměty kolem nás vydávají elektromagnetické záření. To se v případě studených těles nachází v infračervené části spektra, která není pro lidské oko viditelná. S rostoucí teplotou tělesa se vyzařování tepelného záření přesouvá ke kratším vlnovým délkám (k vyšším frekvencím).

Nejnižší teplota, při které je záření daného tělesa pozorovatelné pouhým okem, se označuje jako **Draperův bod** – ten odpovídá zhruba **525 °C**. Při této teplotě vyzařují všechny objekty, bez ohledu na materiál, z něhož jsou vyrobeny, **červené světlo**.

Když předmět **dále zahříváme**, mění se postupně jeho barva z červené přes oranžovou a žlutou k bílé. Při ještě vyšších teplotách se záření posouvá směrem do ultrafialové oblasti. Naše oči ho pak vnímají jako namodralé.



Teplota (°C)
550
630
680
740
770
800
850
900
950
1000
1100
1200
1300

Záření černého tělesa

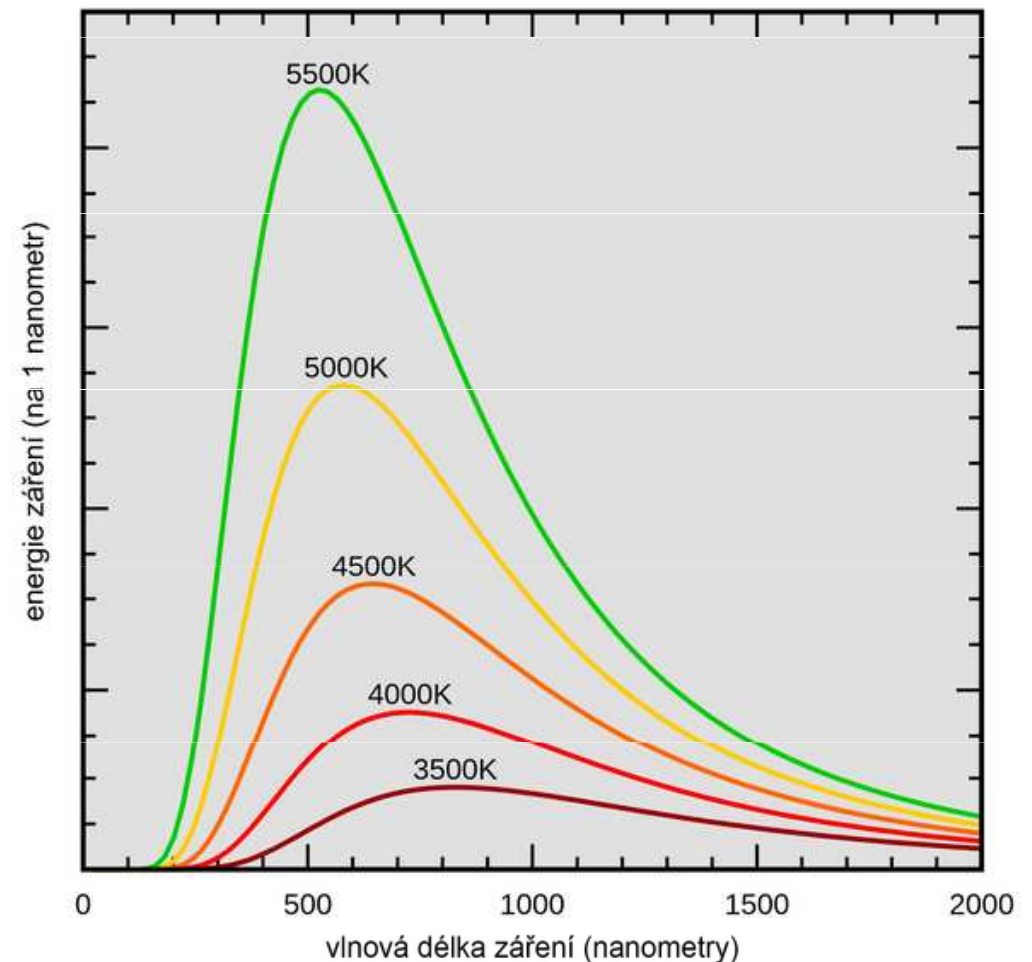
Černé těleso je fyzikální abstrakce tělesa, které dokonale pohlcuje veškerou energii dopadajícího záření. V absolutně černém tělese je v rovnováze vyzařování a pohlcování záření.

Wienův posunovací zákon

S rostoucí teplotou zářiče se posouvá maximální hodnota spektrální hustoty zářivého toku ke kratším vlnovým délkám.

$$\lambda_{\max} = \frac{b}{T}$$

$$b = 2,9 \cdot 10^{-3} \text{ m.K}$$



Stefanův-Boltzmannův zákon

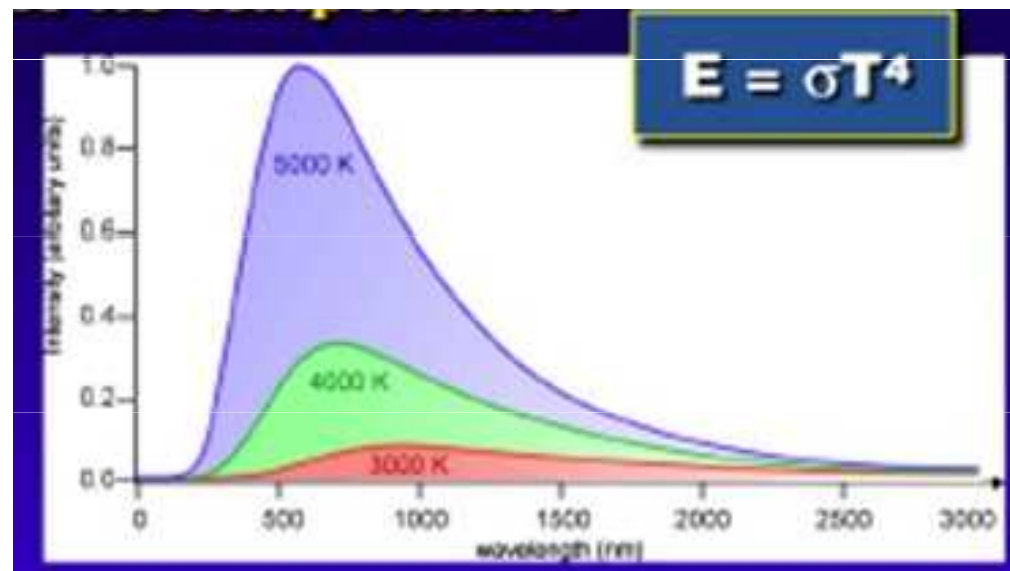
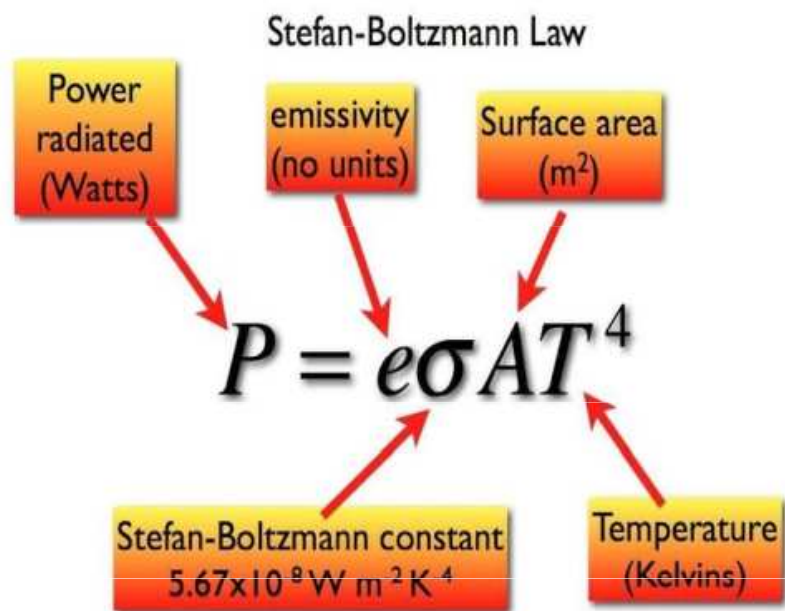
Intenzita záření vyzařovaná absolutně černým tělesem roste úměrně čtvrté mocnině termodynamické teploty.

$$I = \sigma T^4$$

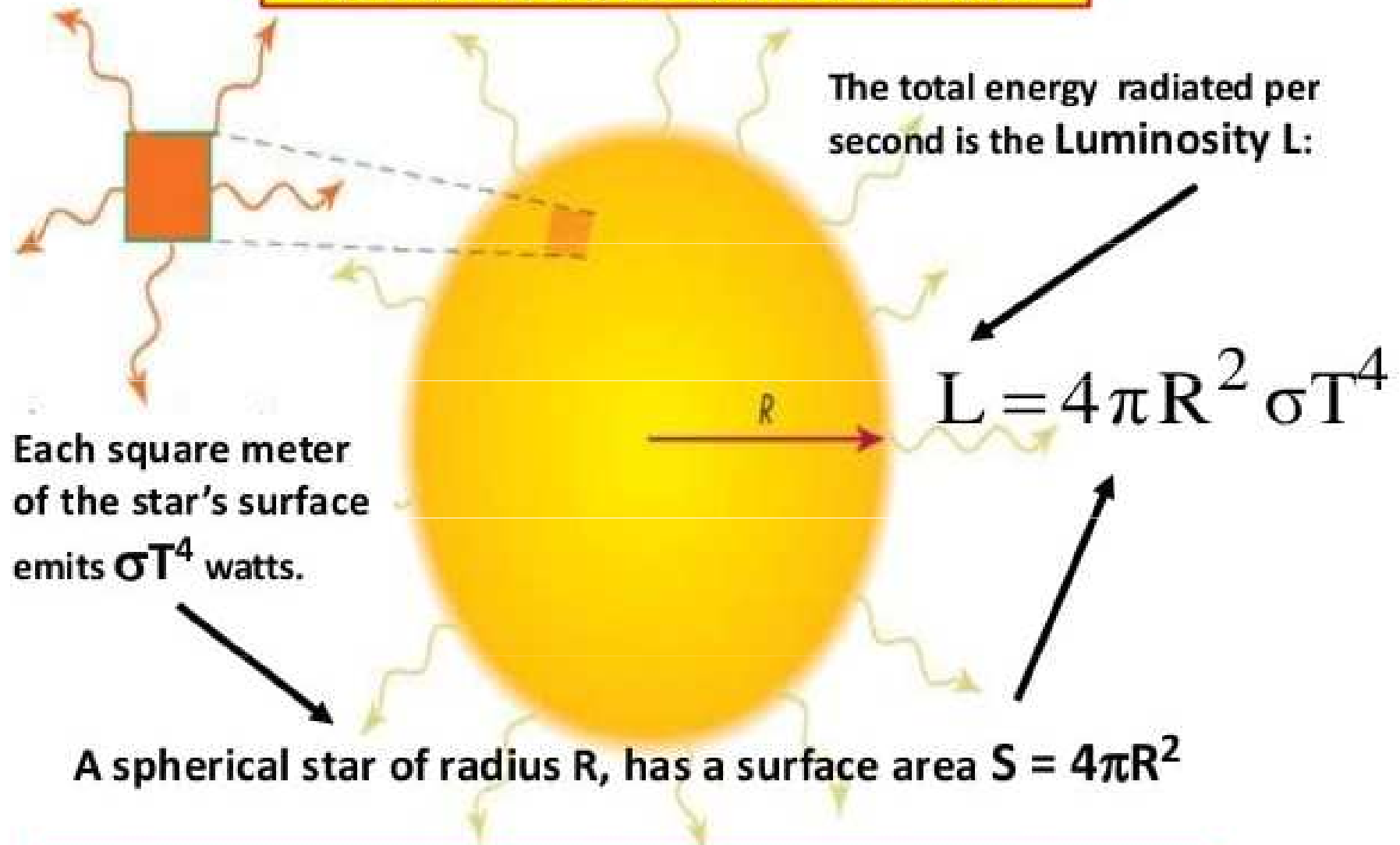
I – celková intenzita záření (podíl výkonu a plochy) [$\text{W}\cdot\text{m}^{-2}$]

σ - Stefan-Boltzmannova konstanta $\sigma = 5,67\cdot 10^{-8} \text{ W}\cdot\text{m}^{-2} \cdot\text{K}^{-4}$

T - termodynamická teplota

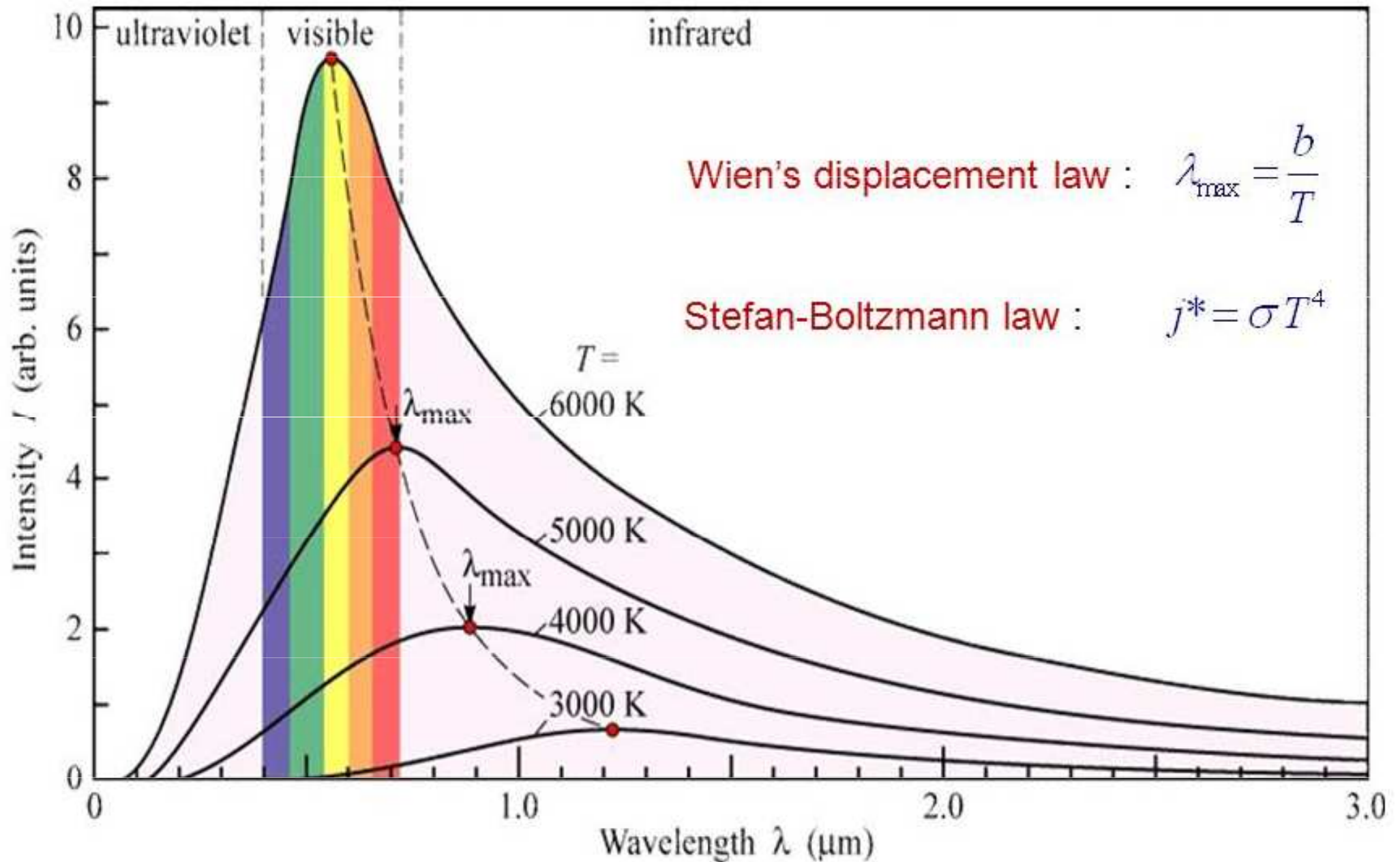


The Stefan-Boltzmann Law



A star's luminosity is related to both a star's size and temperature:
(a) Hotter stars emit more. (b) Larger stars emit more.

Blackbody Radiation



Rayleighův-Jeansův zákon

= přibližný zákon pro záření černého tělesa platný pro dlouhé vlnové délky (rádiové vlny a mikrovlny), tj. pro energii fotonu $h \cdot \nu \ll k \cdot T$.

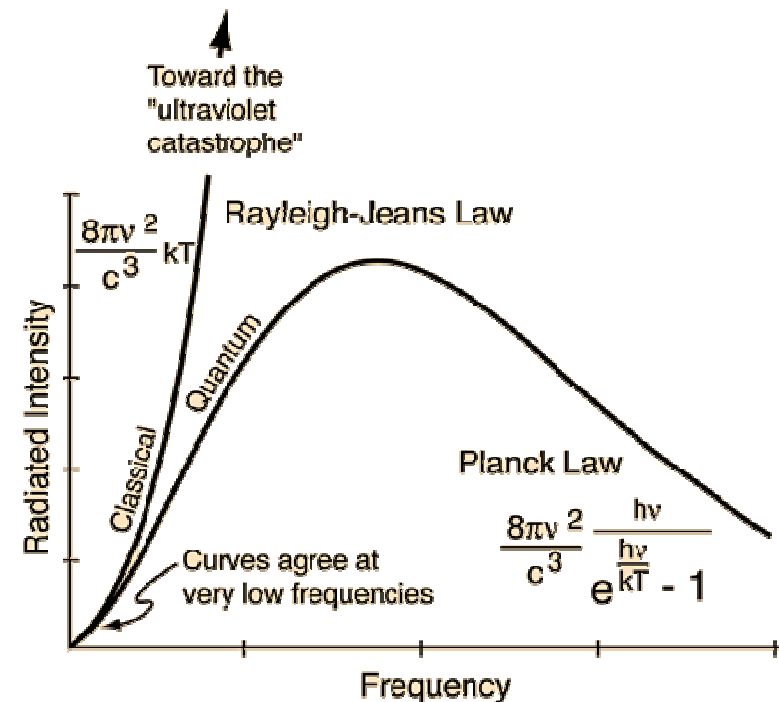
Zářivý výkon připadající na 1 m² povrchu černého tělesa a na jednotkový interval vlnové délky, resp. frekvence, je

$$I_{\lambda} = 2\pi c k T / \lambda^4$$

$$I_{\nu} = 2\pi c k T \nu^2 / c^2$$

λ ... vlnová délka záření,
T ... absolutní teplota zářiče
c ... rychlost světla
k ... Boltzmannova konstanta

Zásadní nesoulad s experimentem se objevuje u Rayleighova-Jeansova zákona od oblasti ultrafialového záření. S klesající vlnovou délkou by spektrální intenzita vyzařování měla růst do nekonečna a absolutně černé těleso by vydávalo tepelné záření o nekonečném výkonu (tzv. **ultrafialová katastrofa**).



Planckův vyzařovací zákon

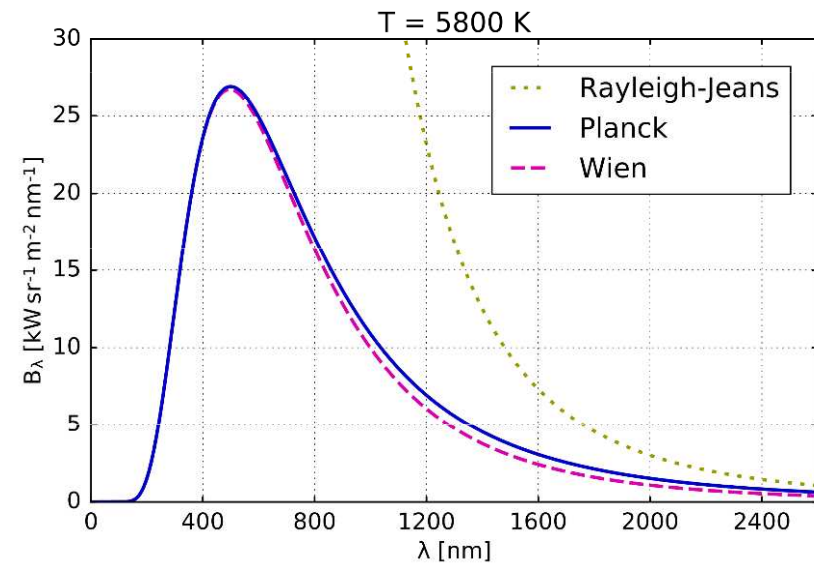
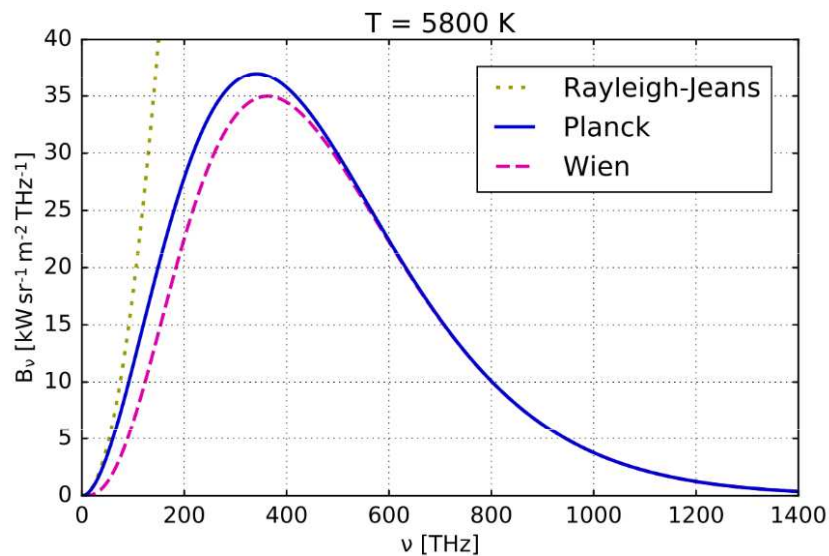
Planckův vyzařovací zákon vyjadřuje závislost intenzity záření absolutně černého tělesa na frekvenci ω .

$$u(\nu) d\nu = \frac{8\pi h\nu^3}{c^3} \frac{1}{\left(e^{\frac{h\nu}{kT}} - 1 \right)} d\nu$$

Záření o frekvenci f může být vyzařováno, nebo pohlcováno jen po kvantech energie o velikosti $e = h \cdot \nu$

$$B_\nu(\nu, T) = \frac{2h\nu^3}{c^2} \frac{1}{e^{\frac{h\nu}{k_B T}} - 1}$$

$$B_\lambda(\lambda, T) = \frac{2hc^2}{\lambda^5} \frac{1}{e^{\frac{hc}{\lambda k_B T}} - 1}$$



Spektrografie

Semikvantitativní

Semidestruktivní

Jiskra

El. oblouk

Emisní spektra se zachycují na fotografickou desku

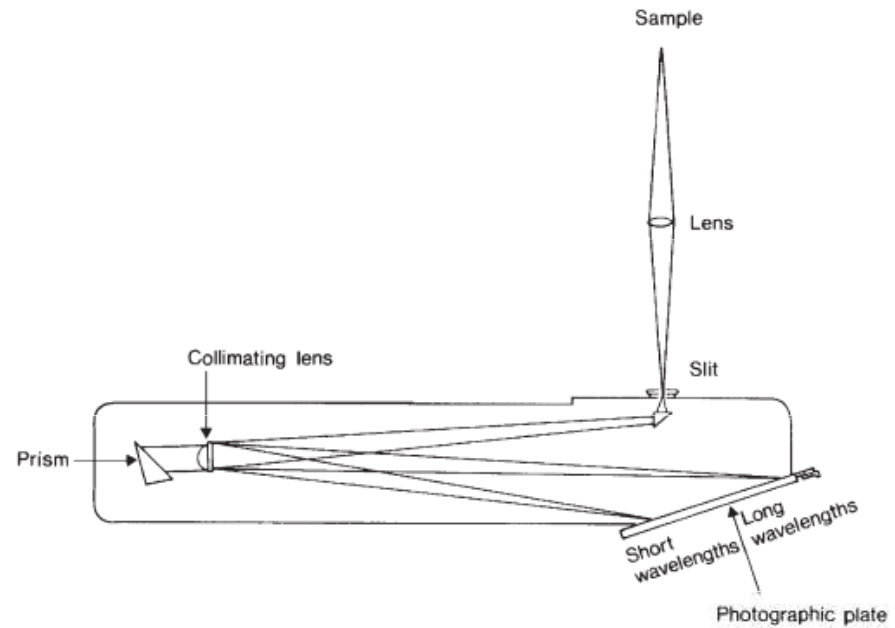
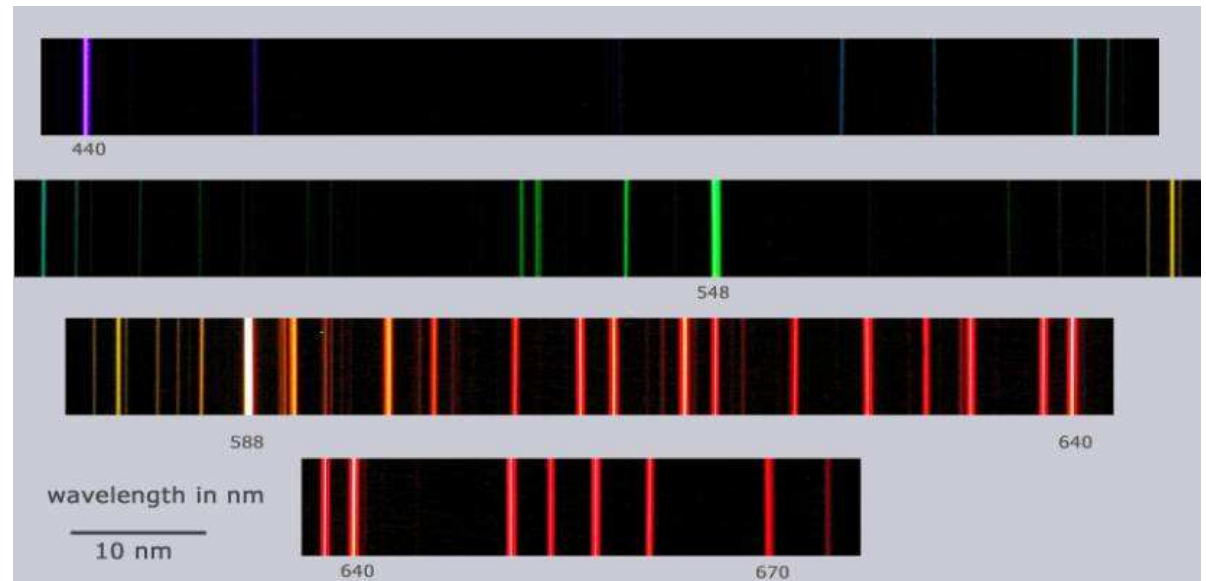
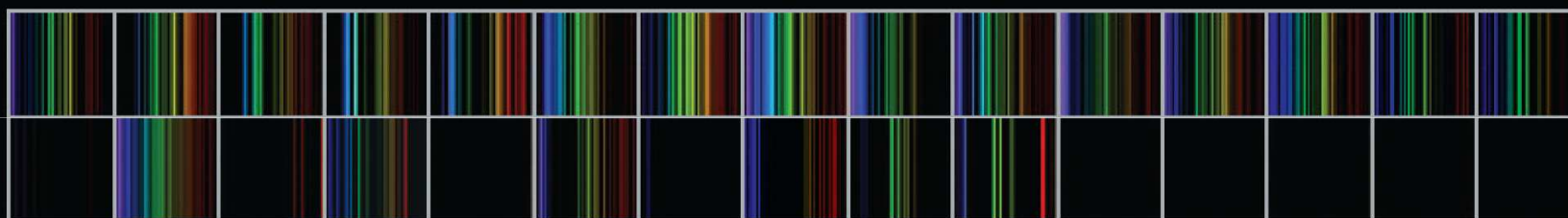


Figure 2.2 Schematic drawing of an optical emission spectrograph. Light from the sample is focused onto the input slit of the spectrograph and is then dispersed via a prism (or diffraction grating) and recorded on a photographic plate. (Adapted from Britton and Richards, 1969; Fig. 108, by permission of Thames and Hudson Ltd.)



Emission Spectra of the Elements



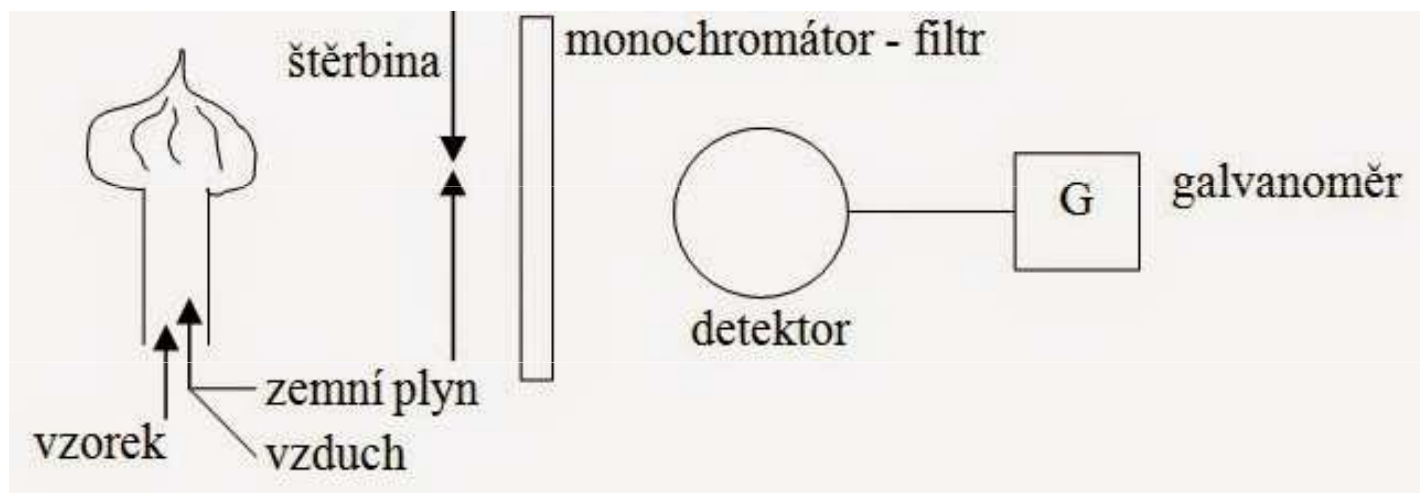
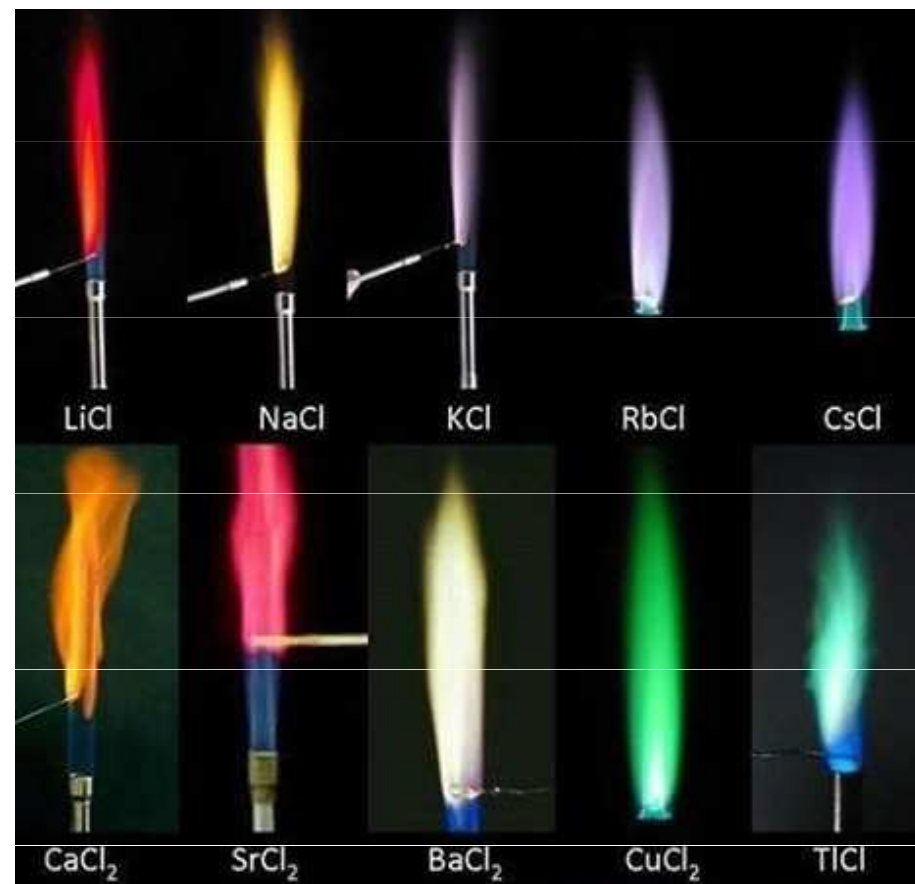
Plamenový test

Plamenová fotometrie

Roztoková analýza

destruktivní

Stanovení snadno
ionizovatelných prvků
Na, Li, K, Mg a Ca



Atomová emisní spektrometrie s indukčně vázaným plazmatem (ICP-OES)

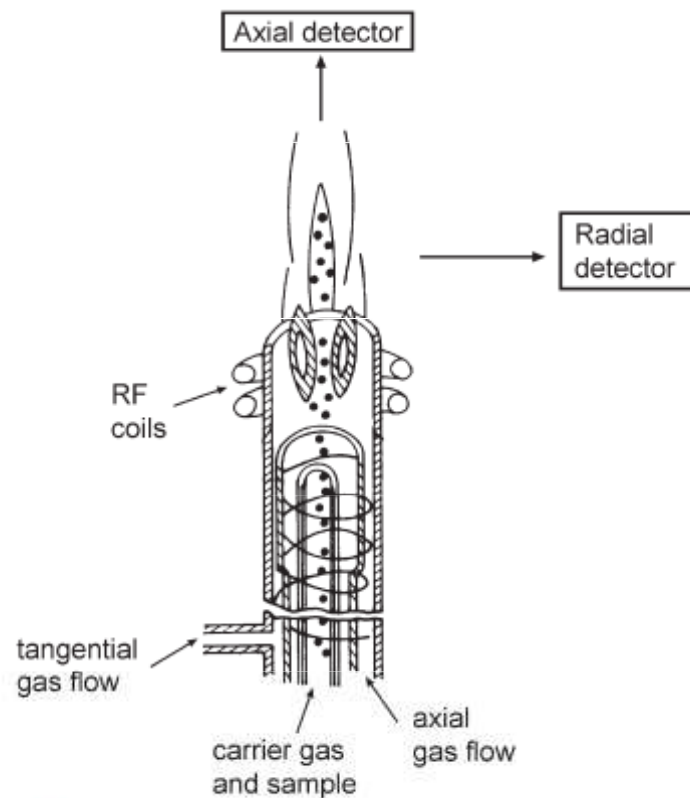


Figure 2.4 Schematic diagram of an ICP torch. The sample is carried into the torch by the carrier argon gas, and is ignited by radio-frequency heating from the RF coils. The tangential argon flow lifts the flame from the burner, preventing melting. The position of the detector in axial or radial mode is shown. (From Pollard *et al.*, 2007; Fig. 3-3, by permission of Cambridge University Press.)

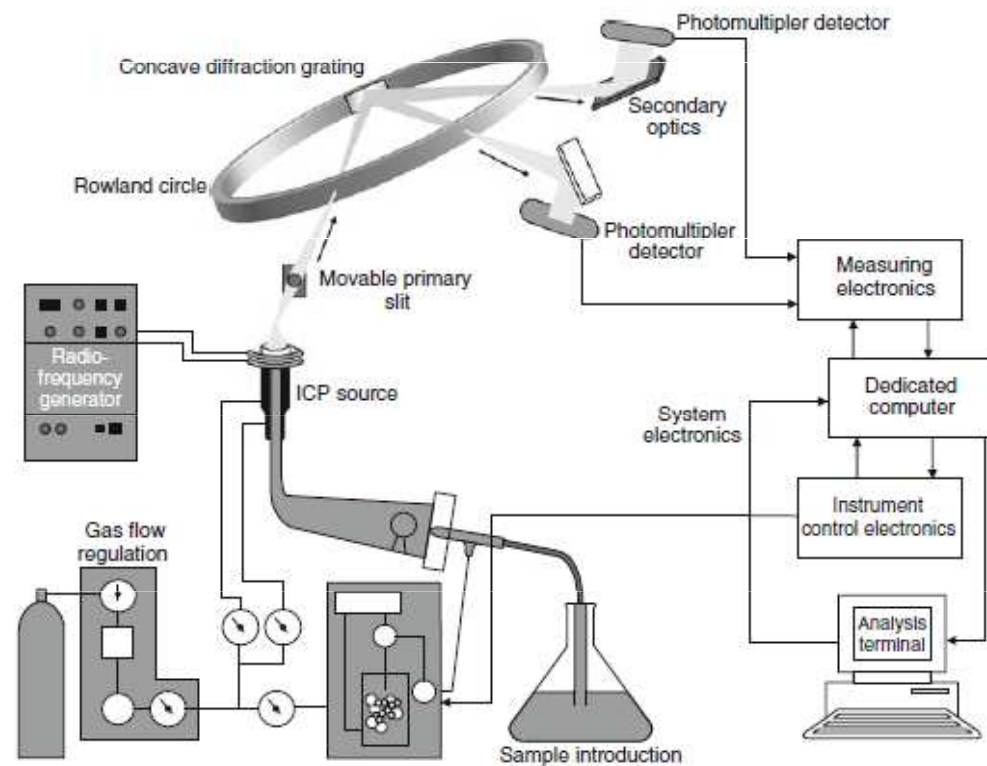
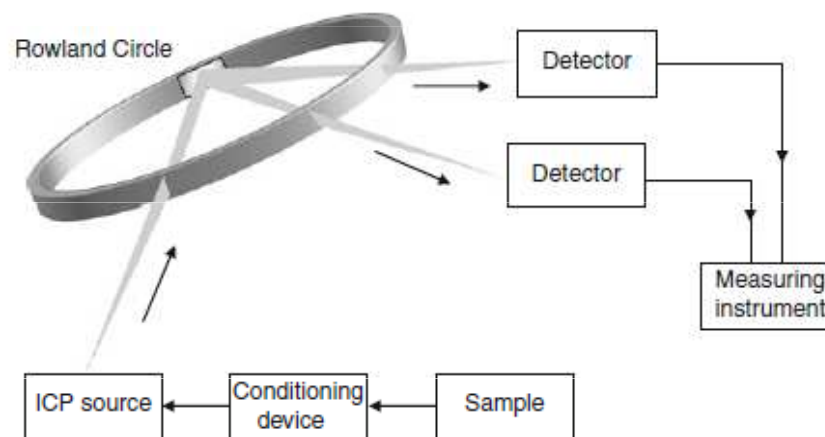


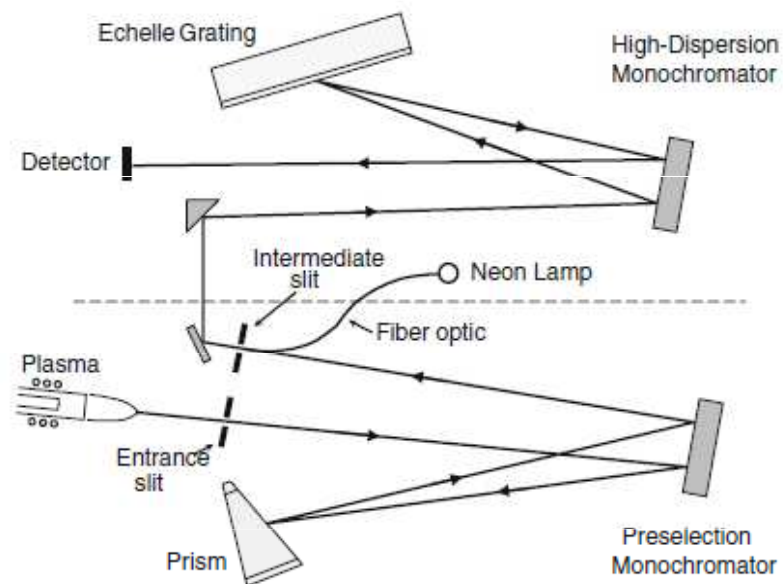
Fig. 34.2 Inductively coupled plasma polychromator (From SKOOG. Principles of Instrumental Analysis, 5E. © 1998 Brooks/Cole, a part of Cengage Learning, Inc. Reproduced by permission. www.cengage.com/permissions)

Roztoková analýza

Destruktivní



(a) Simultaneous Multichannel Detector



(b) Sequential Detector

Fig. 34.4 Simultaneous multichannel (a) and sequential detectors (b) ((a) Adapted from SKOOG. Principles of Instrumental Analysis, 5E. © 1998 Brooks/Cole, a part of Cengage Learning, Inc. Reproduced by permission. www.cengage.com/permissions (b) Image used with permission from PerkinElmer, Inc., Waltham, MA)

Multichannel Spectrometers

Spectrographs

Charge-Coupled Devices – 2 CCD's – one for vis and one for UV.

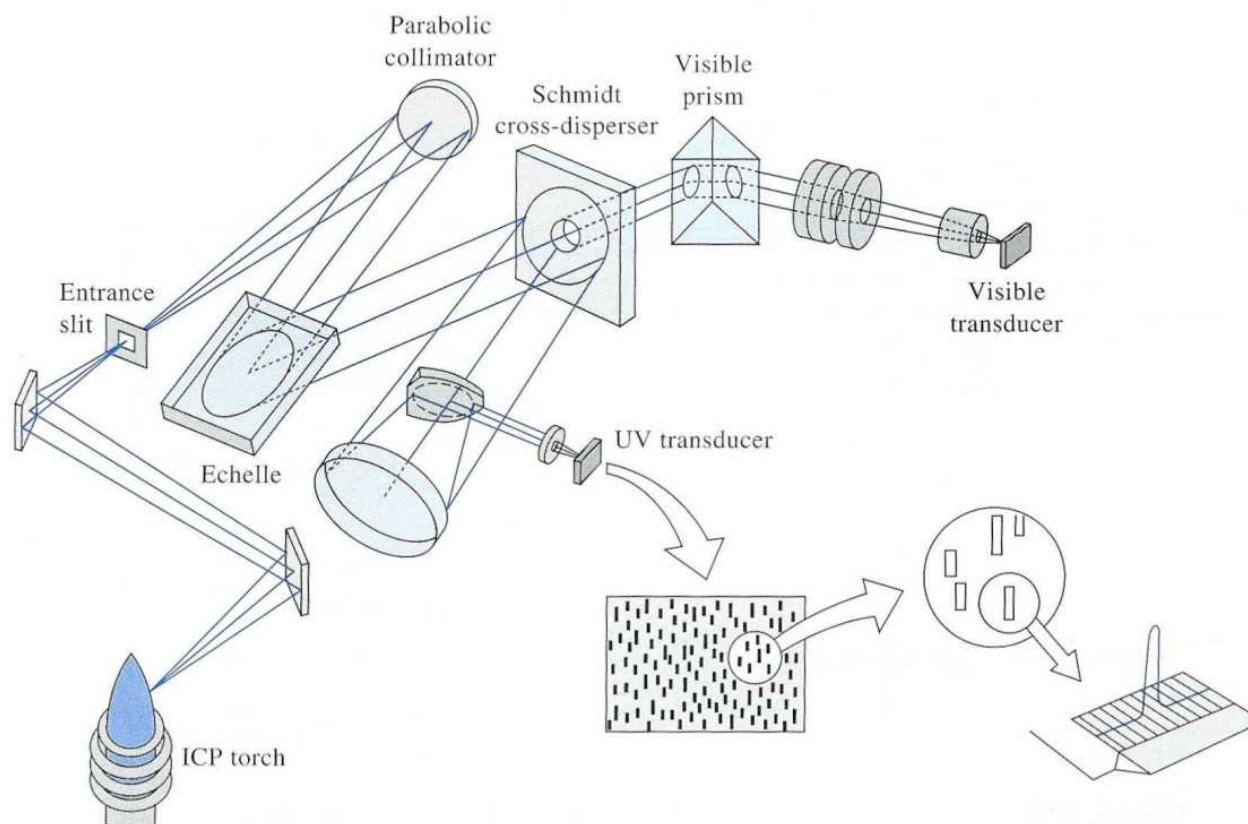
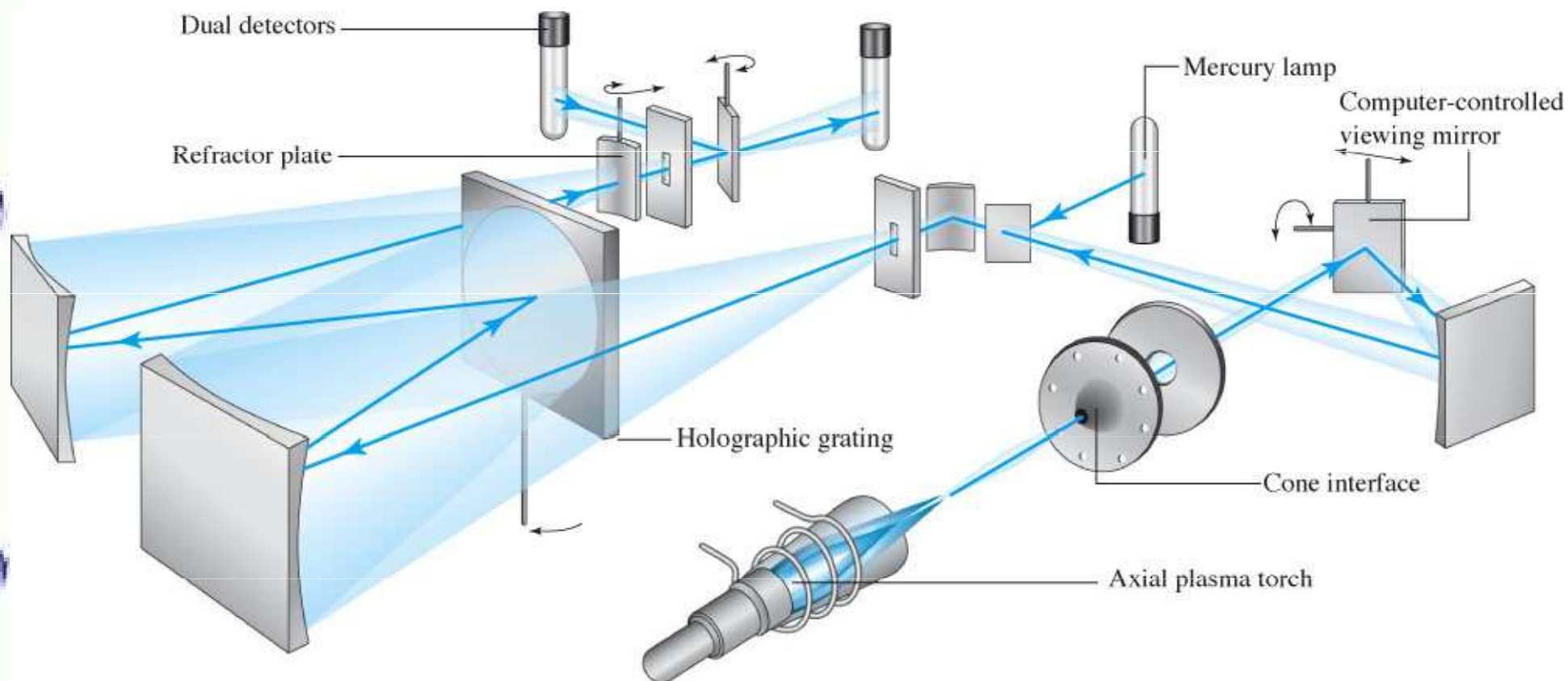


FIGURE 10-11 An echelle spectrometer with segmented array of CCDs. (From T. W. Barnard et al., *Anal. Chem.*, **1993**, 65, 1231. Figure 1, p. 1232. Copyright 1993 American Chemical Society.)

Inductively Coupled Plasma Spectrometry

Sequential Instrument

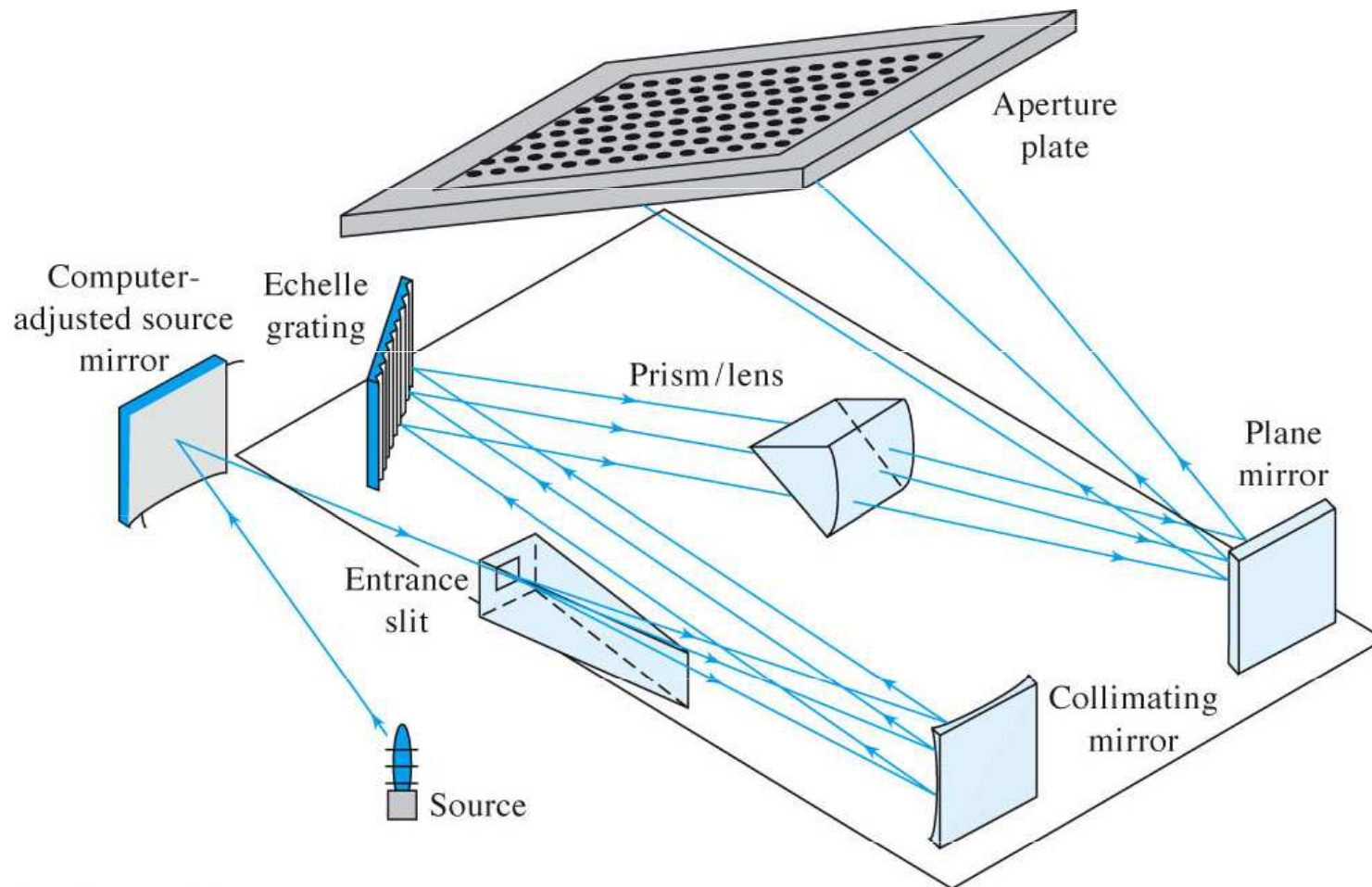


© 2007 Thomson Higher Education

Inductively Coupled Plasma Spectrometry

Sequential Instruments

Scanning Echelle Spectrometers



Inductively Coupled Plasma Spectrometry

Multichannel Spectrometers

Polychromators

Advantages

-high precision

Disadvantages

-cost

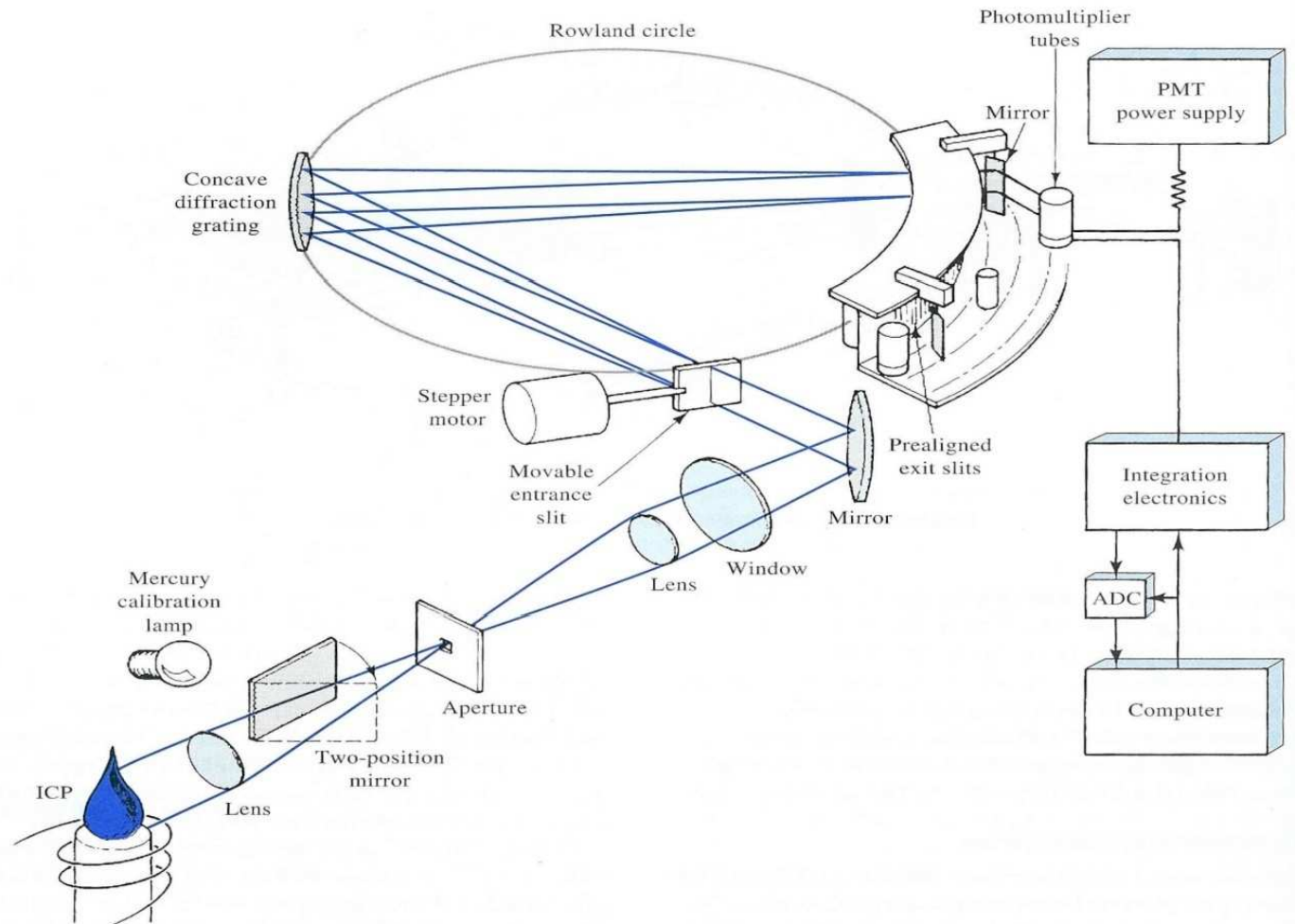


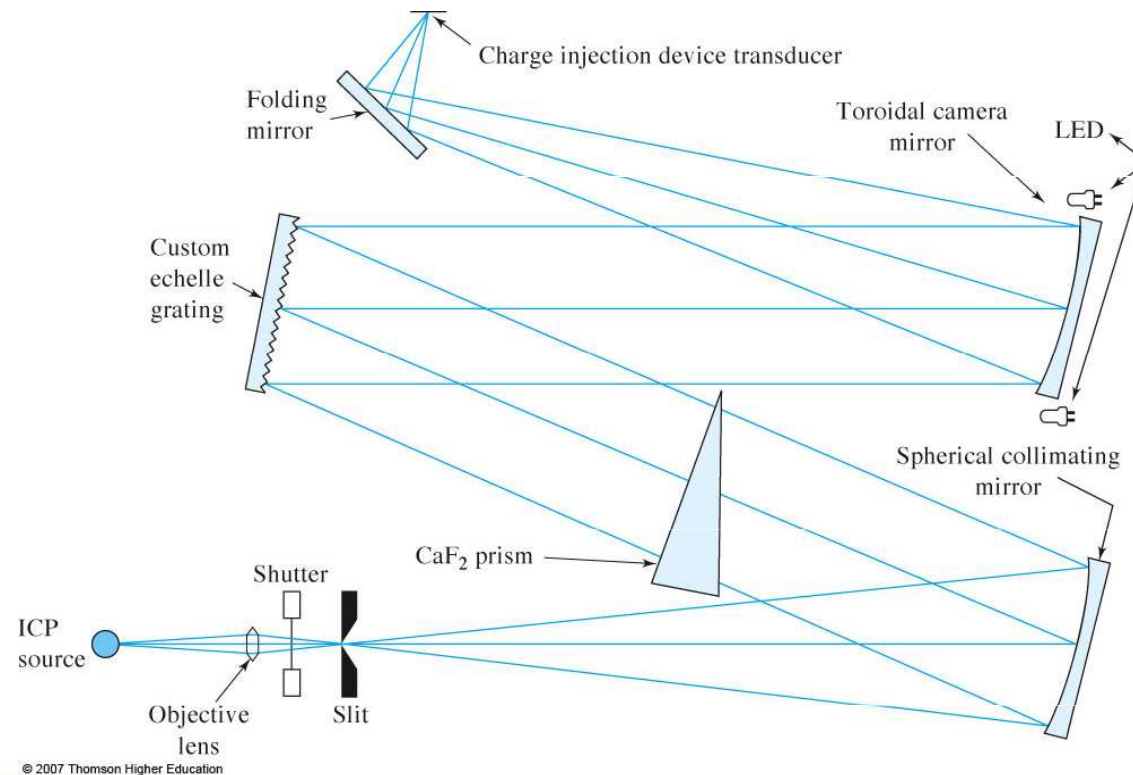
FIGURE 10-8 Direct-reading ICP emission spectrometer. The polychromator is of the Paschen-Runge design. It features a concave grating and produces a spectrum around a Rowland circle. Separate exit slits isolate each spectral line, and a separate photomultiplier tube converts the optical information from each channel into an electrical signal. Notice the radial viewing geometry. PMT = photomultiplier tube. (From J. D. Ingle Jr. and S. R. Crouch, *Spectrochemical Analysis*, p. 241, Upper Saddle River, NJ: Prentice-Hall, 1988, with permission.)

Inductively Coupled Plasma Spectrometry

Multichannel Spectrometers

Spectrographs

Charge-Injection Devices – based on echelle spectrometers and 2D array devices



Inductively Coupled Plasma Spectrometry

Multichannel Spectrometers

Spectrographs

Charge-Coupled Devices – 2 CCD's – one for vis and one for UV.

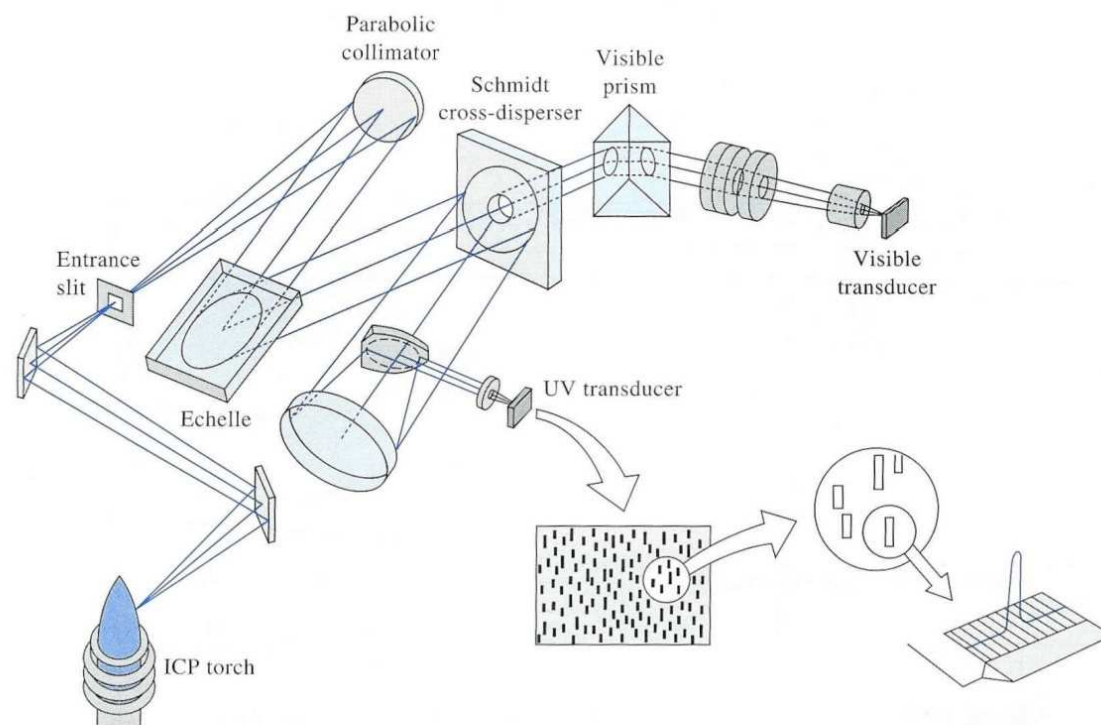
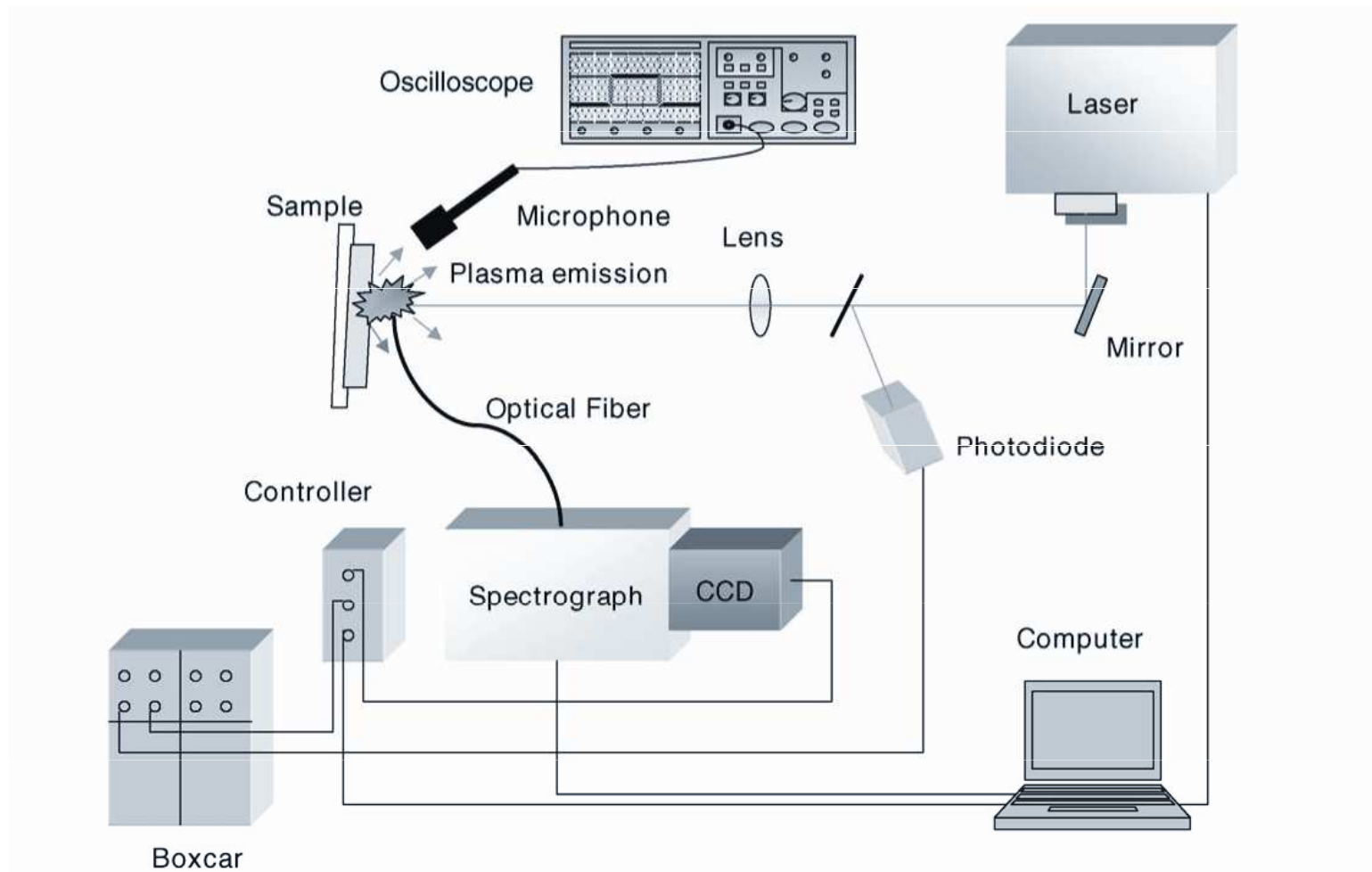


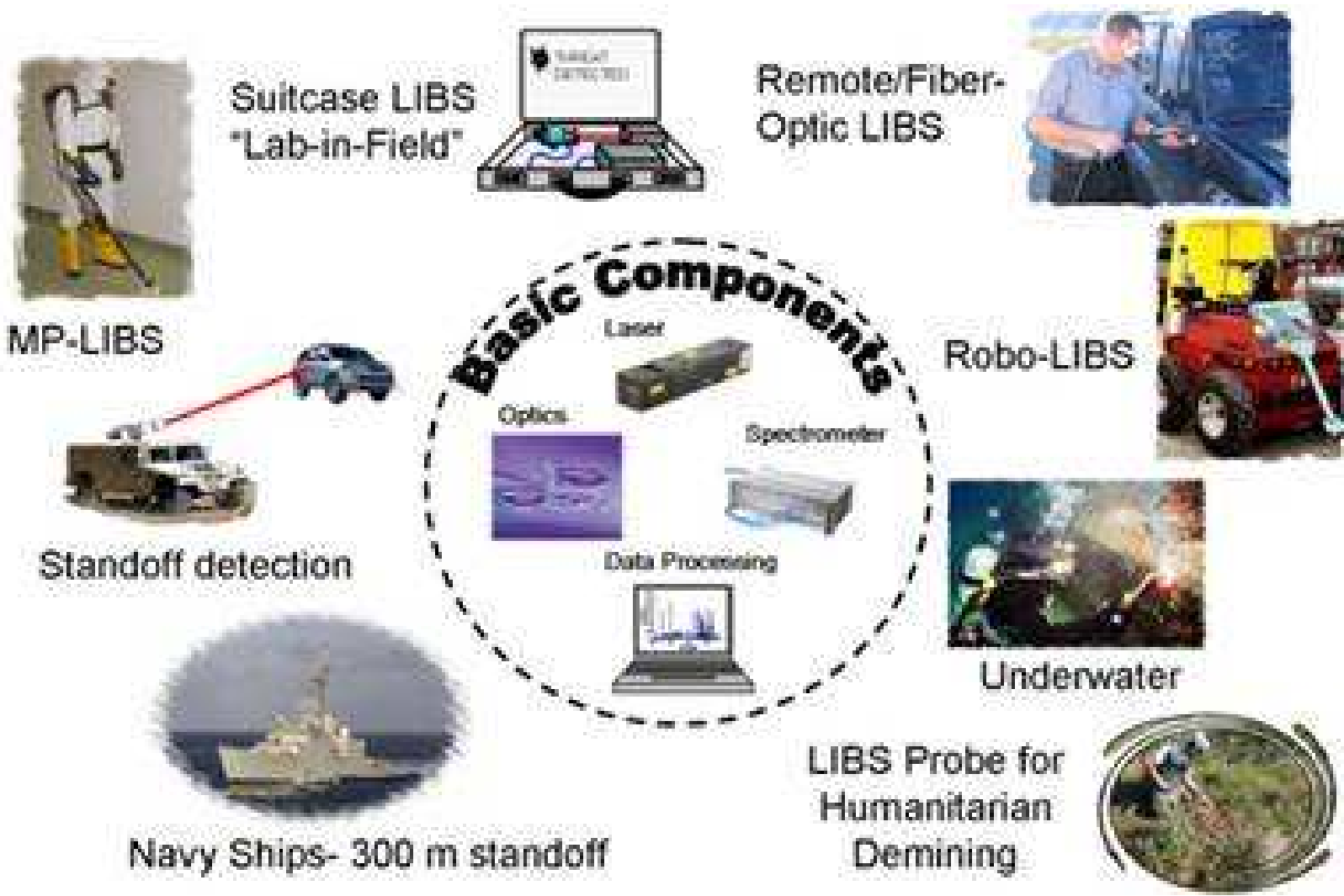
FIGURE 10-11 An echelle spectrometer with segmented array of CCDs. (From T. W. Barnard et al., *Anal. Chem.*, **1993**, 65, 1231. Figure 1, p. 1232. Copyright 1993 American Chemical Society.)

Laser Induced Breakdown Spectroscopy

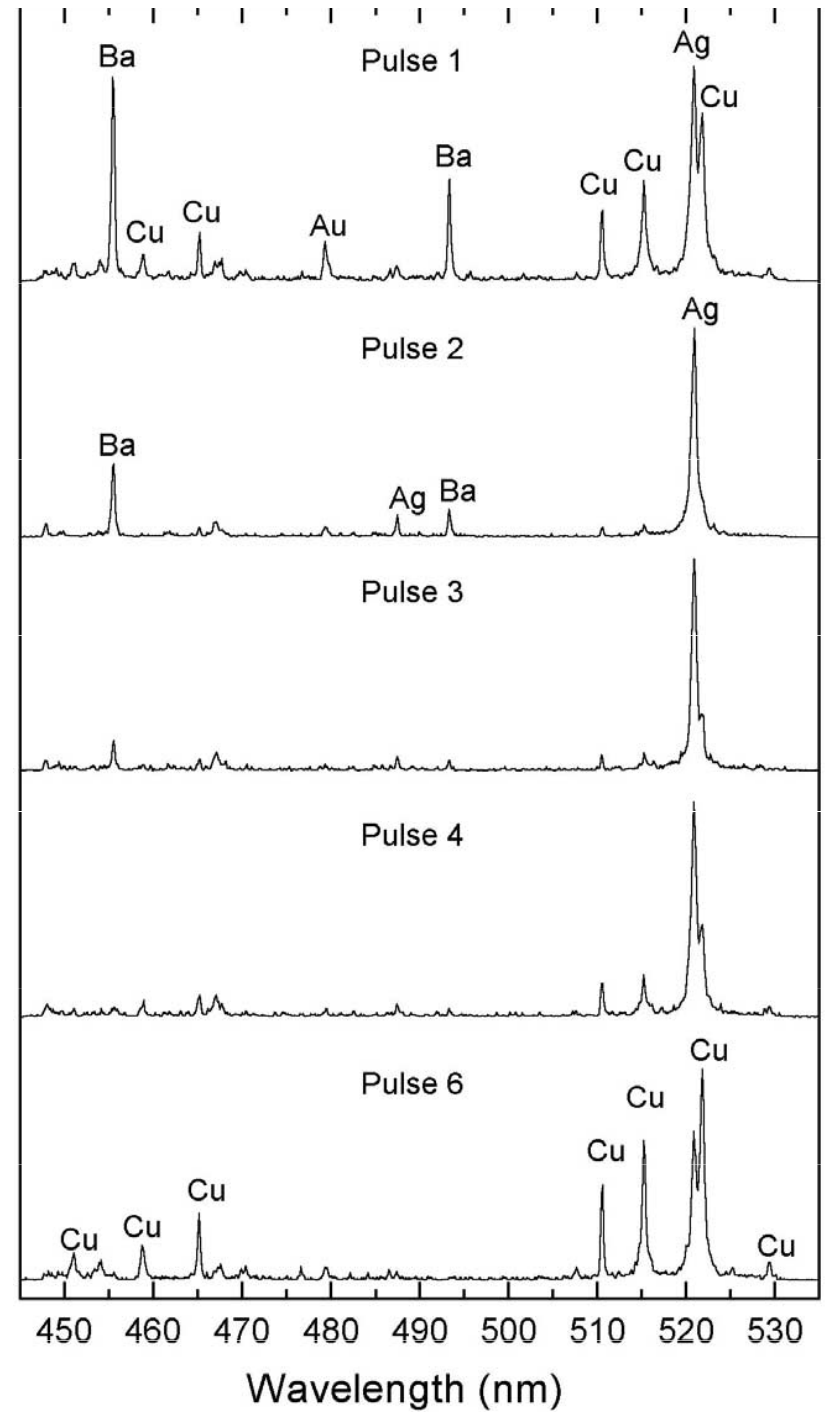
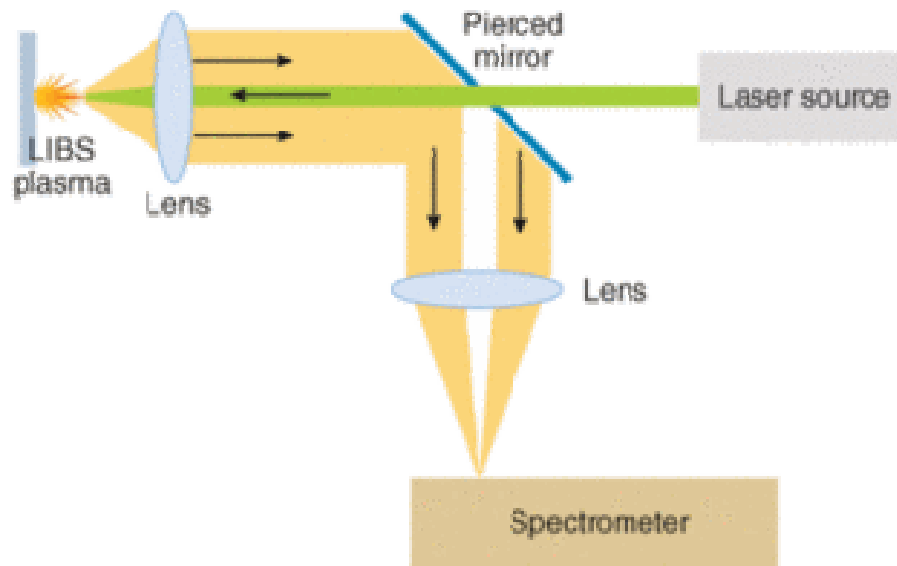
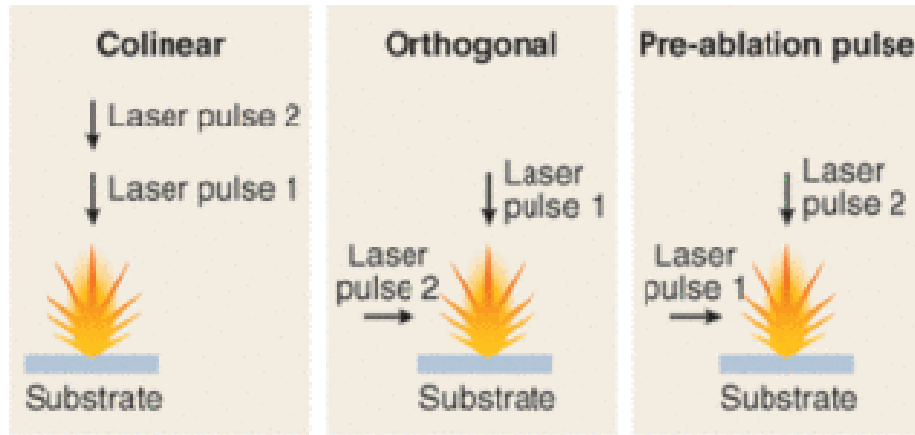


Schematic diagram of the experimental set-up used for the LIBS experiments and for the photoacoustic measurements.

LIBS



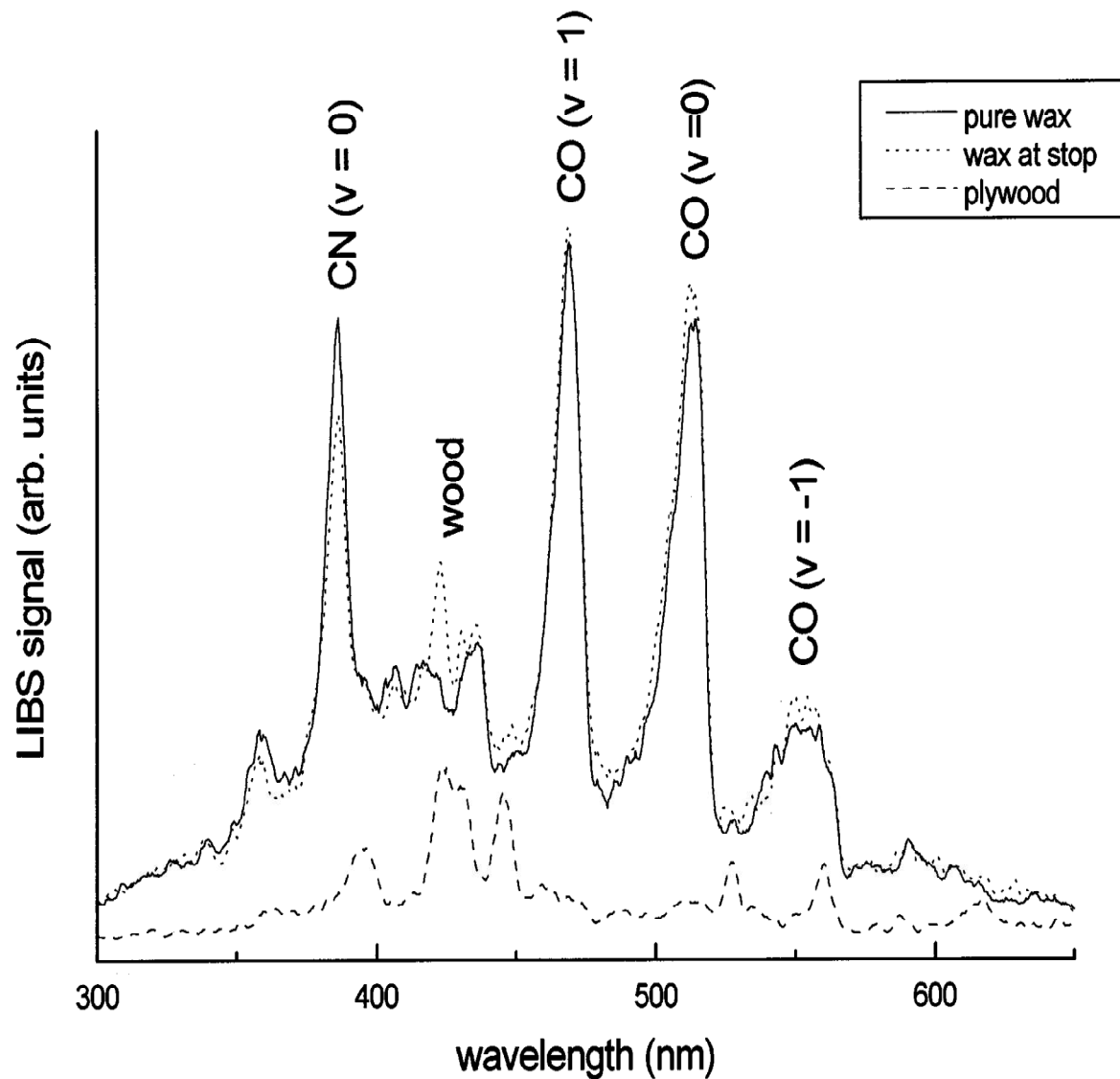
LIBS



Daguerrotypie, 19. stol.



Monitoring odstraňování starých nátěrů

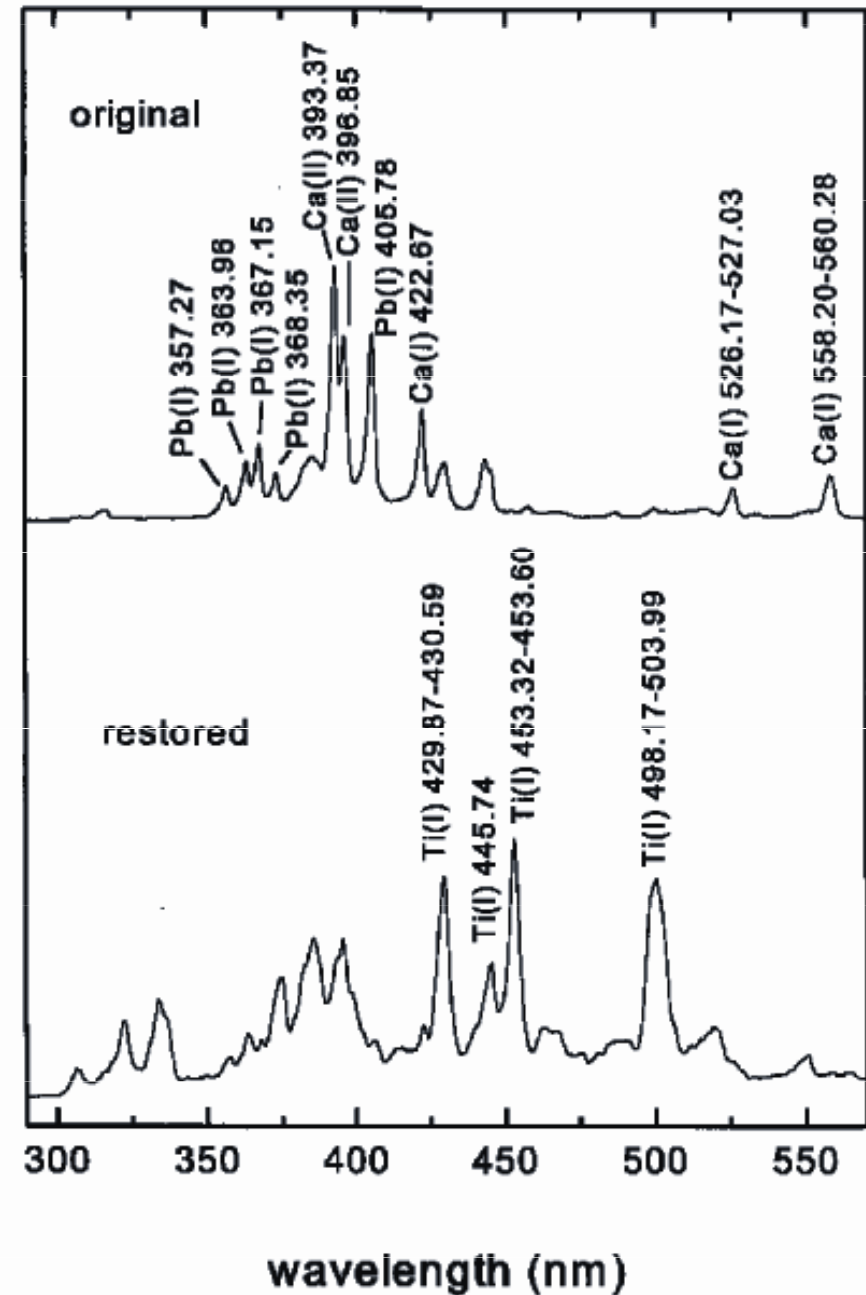


Odstraňování vosku z pláten nebo dřeva (překližka) je časově náročné. Proces lze snadno automatizovat použitím laseru a detekce LIBS.

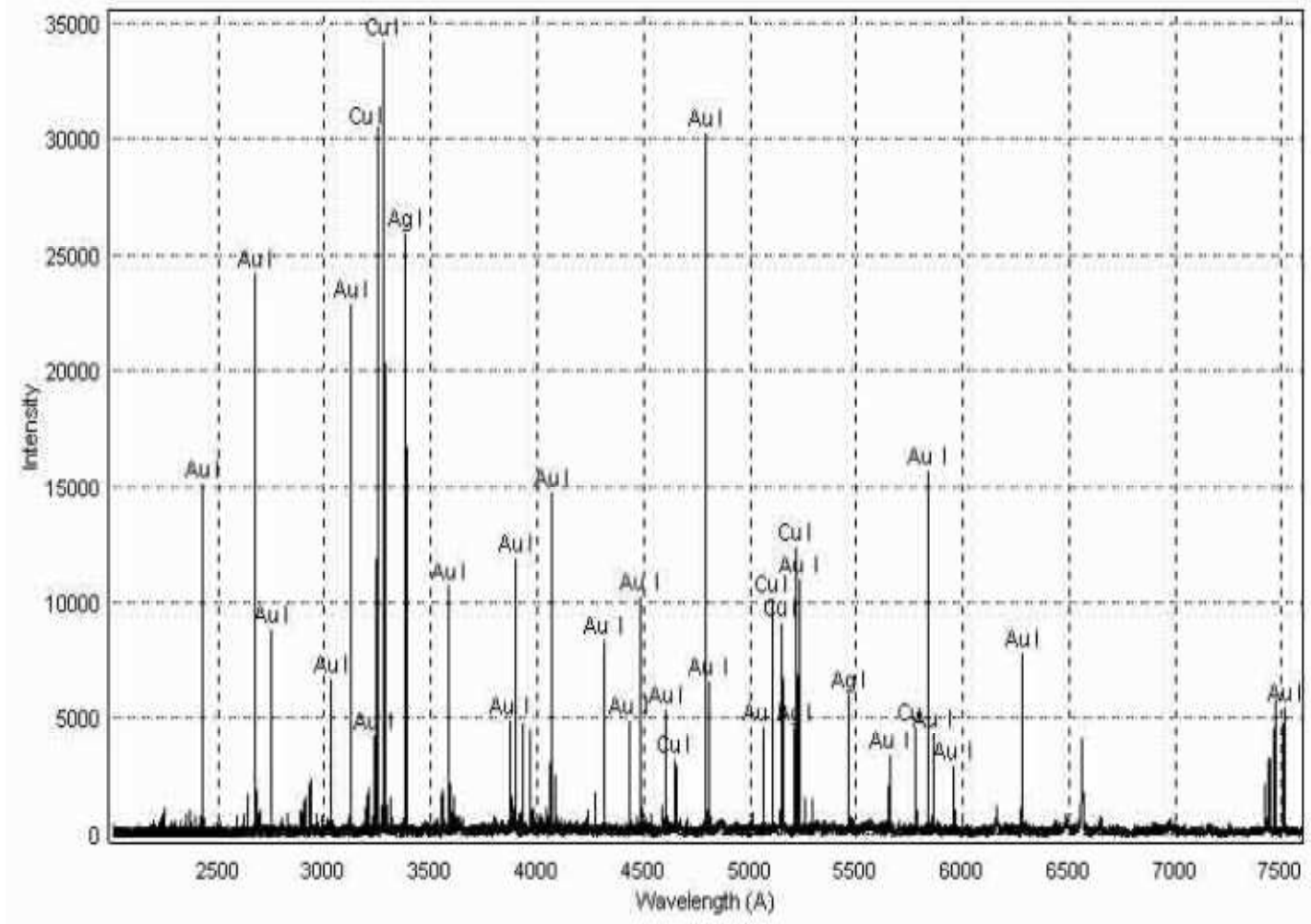
LIBS spektra vosku vykazují zřetelné pásy CO a CN. Po dosažení spodní vrstvy se objevuje pík 423 nm a čištění je ukončeno.

Sledování restaurátorských zásahů

LIBS spektra originální malby a
restaurovaných částí olejomalby.



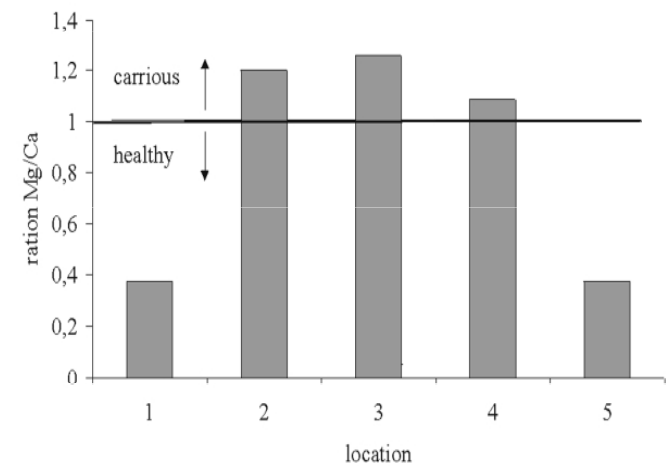
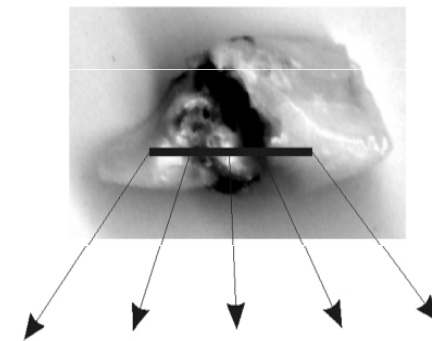
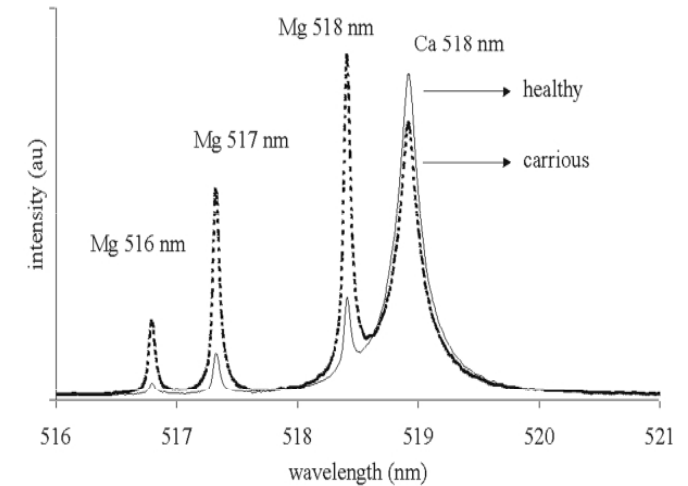
Kovy a slitiny



LIBS analýza slitiny Au.

Kosti a zuby

Obsah Mg a Ca v zubní tkáni poškozené kazem.
Zvýšená koncentrace Mg zřetelně indikuje postižené partie.



Autenticita výrobků z korálu



korál vs. vápenec

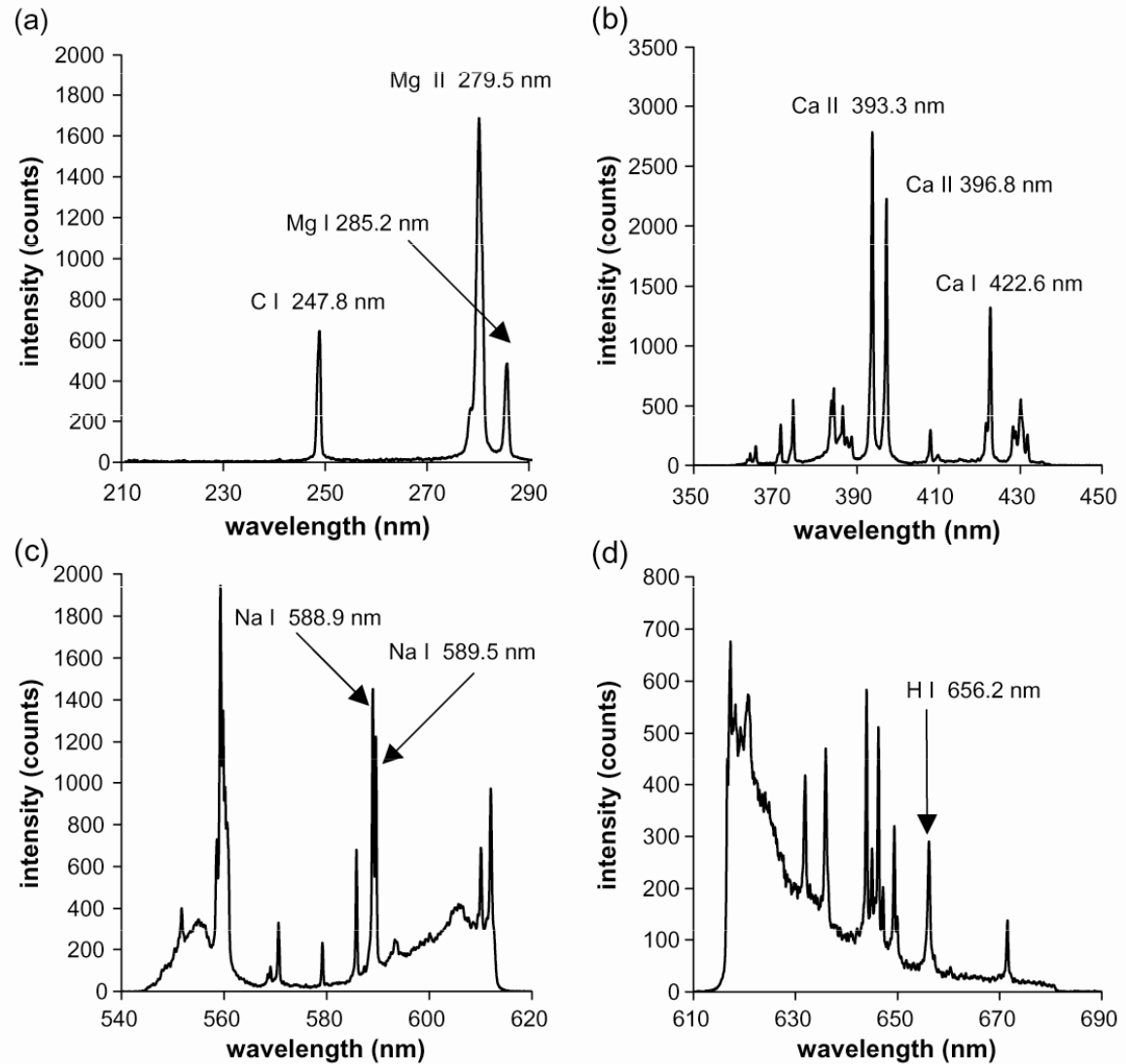
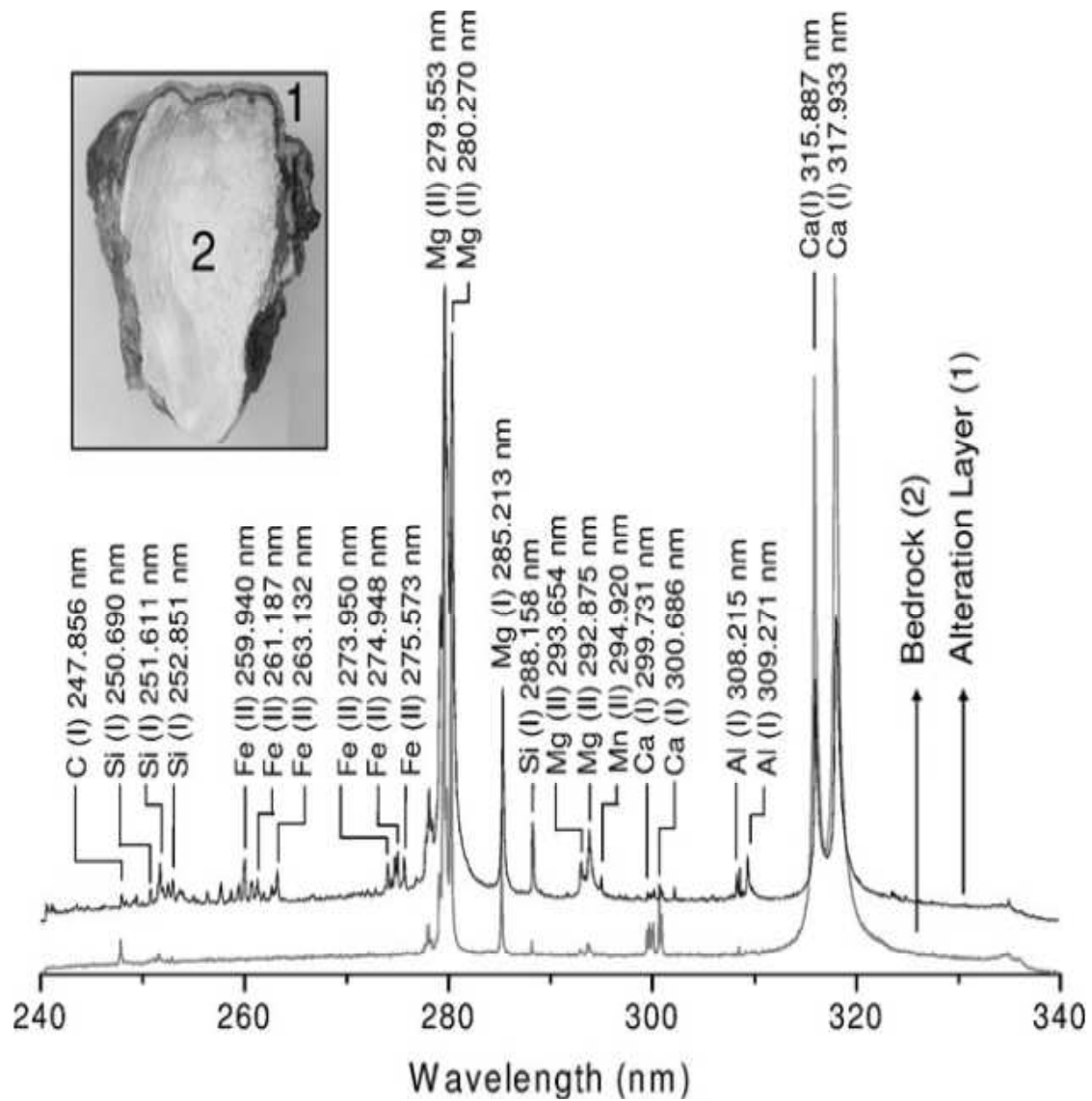


Fig. 5. Emission spectra of a fresh white coral sample in a low pressure plasma of 1.3 kPa in the wavelength region between (a) 220 and 290 nm, (b) 370 and 440 nm, (c) 550 and 620 nm and (d) 620 and 680 nm.

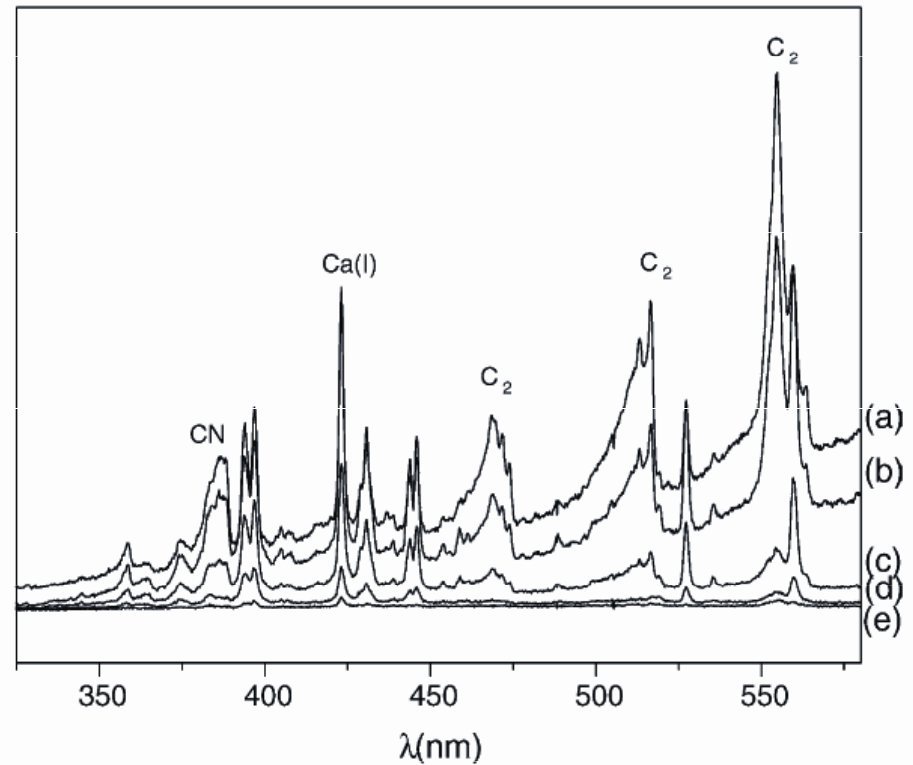
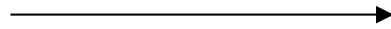
Čištění kamene



LIBS řezu krápníkem (znečištěný povrch)

LIBS

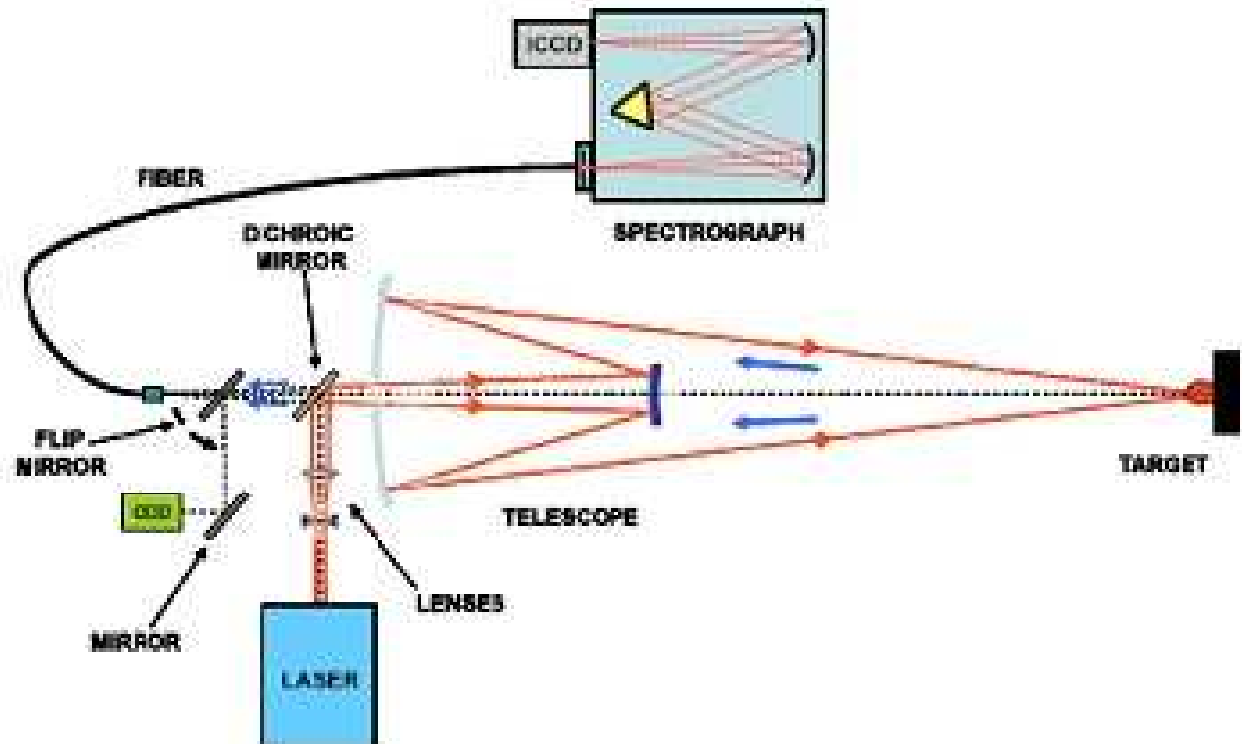
Molekulové pásy



Spojení s Ramanovou spektrometrií

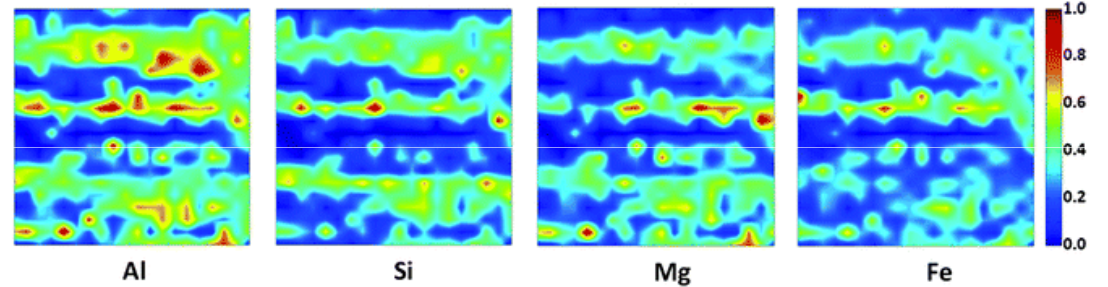
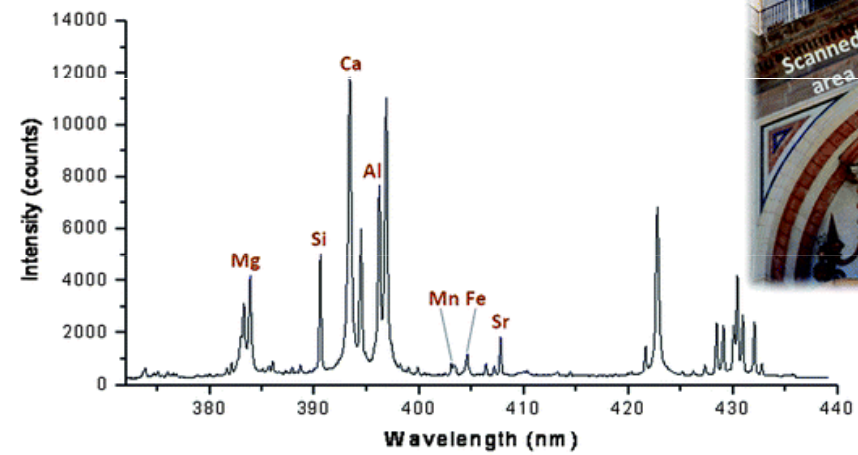
Fig. 6. Evolution of LIBS spectrum with the number of pulses during the removal of black paint on wood: (a) pulse 1, (b) pulse 2, (c) pulse 4, (d) pulse 7 and (e) pulse 9. Irradiation wavelength: 308 nm.

Stand-off LIBS

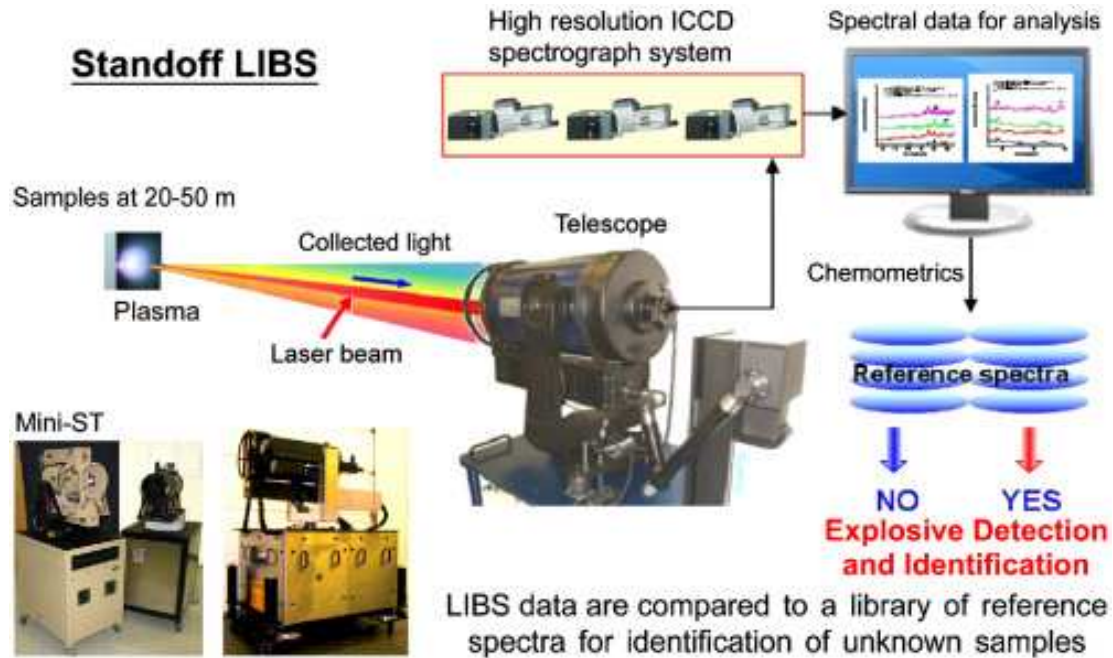


Malaga

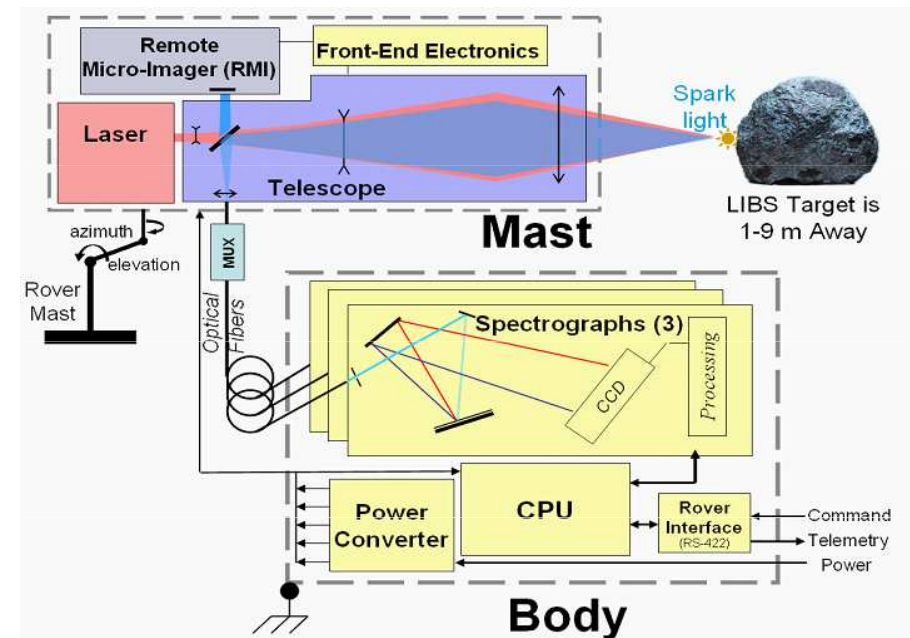
Analýza portálu katedrály.



Stand-off LIBS



ChemCam



Spektrometrie laserem indukovaného plazmatu (LIBS)

Terénní a mobilní zařízení



remote LIBS

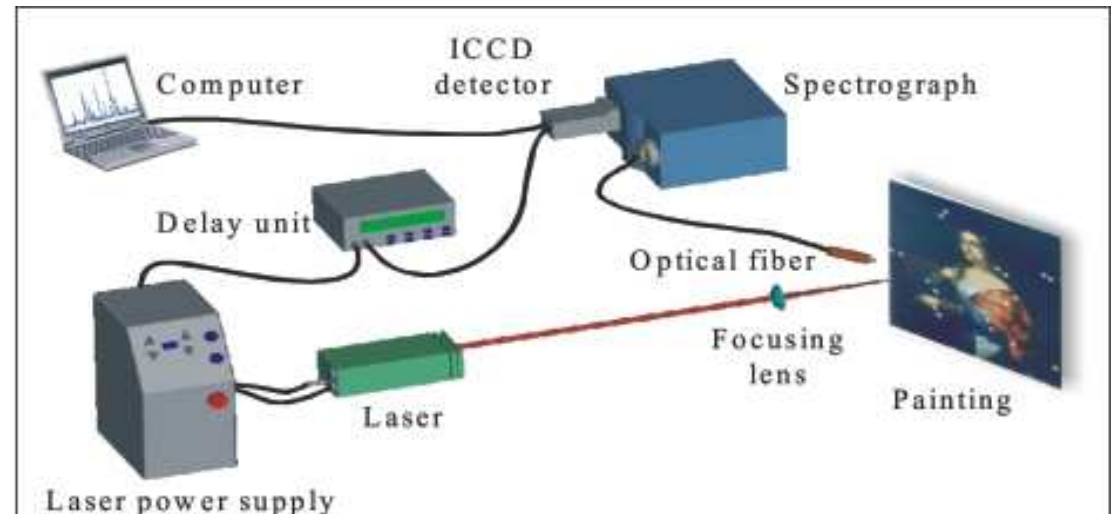
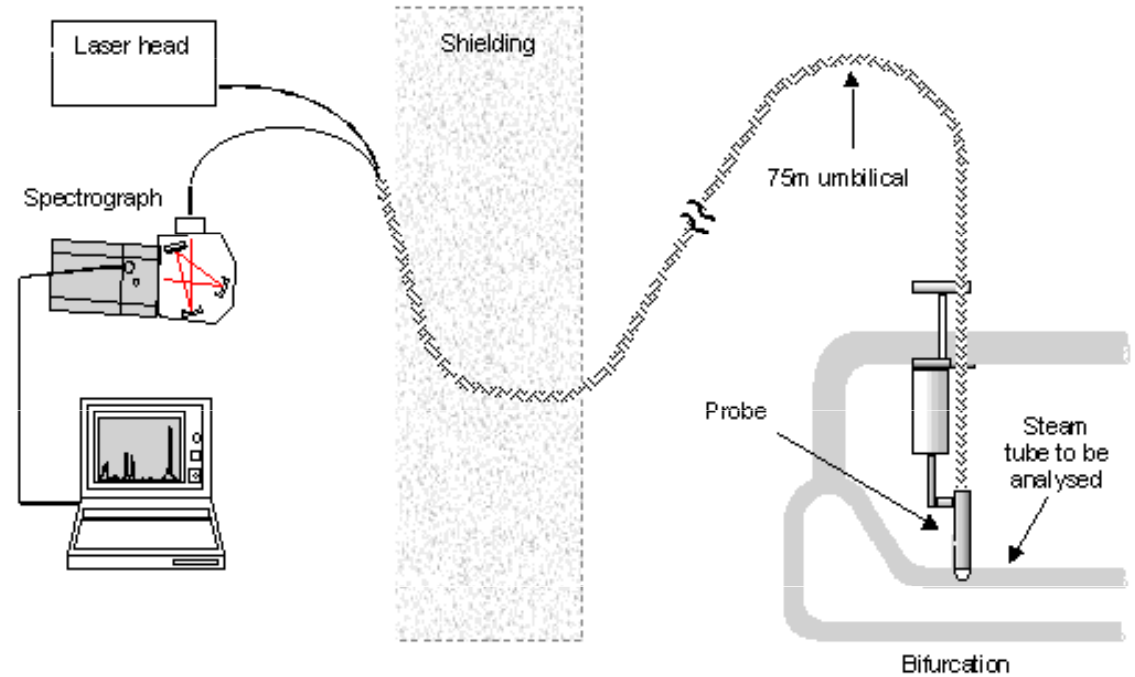
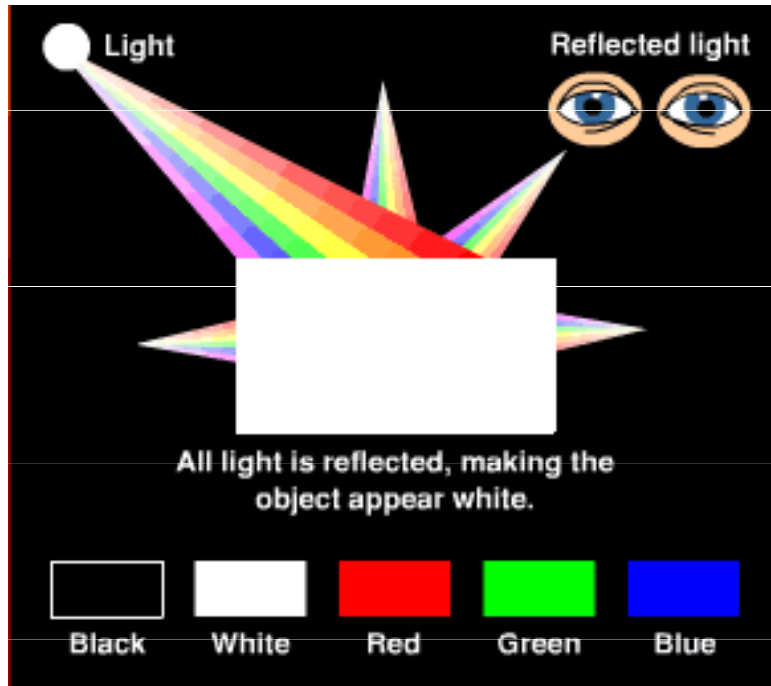


Fig.4.2.2: Typical experimental set-up for LIBS analysis.

© Giakoumaki et al., in: "Handbook on the Use of Lasers in Conservation and Conservation Science", 2008.

Absorpce záření



Absorpční spektrum

Soubor temných čar (pásů ve spojitém spektru světla), které vznikají při pohlcování záření látkou.

a) Čárové spektrum

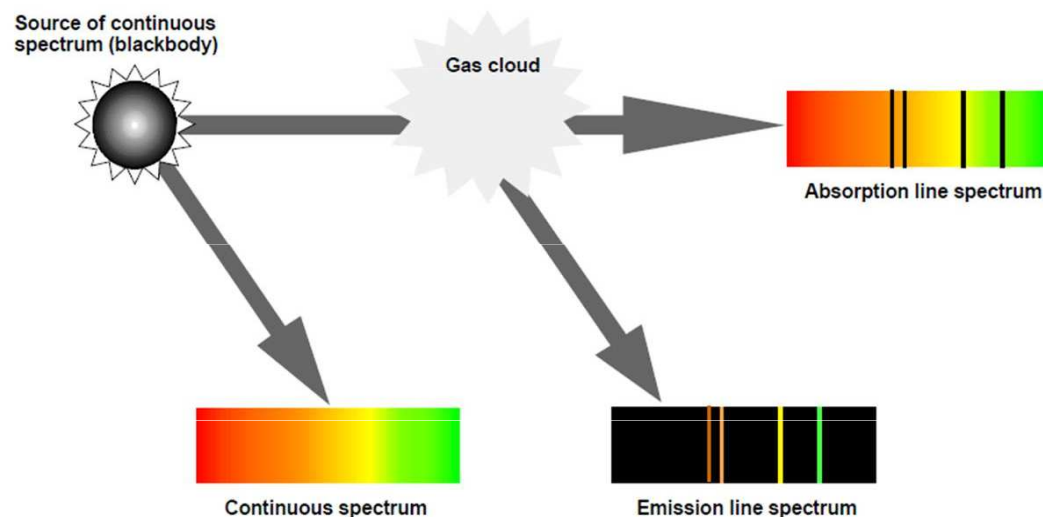
b) Pásové spektrum

Na rozdíl od emisních spekter nemusíme vzorek látky rozžhavit na velmi vysokou teplotu.

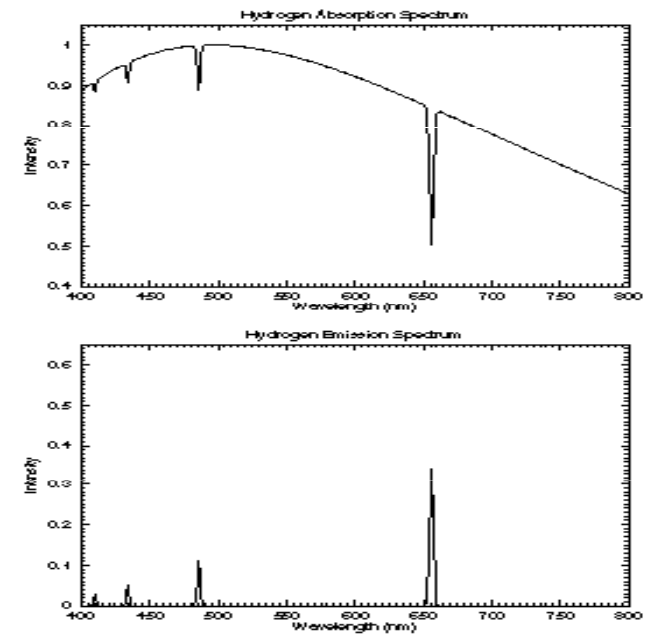
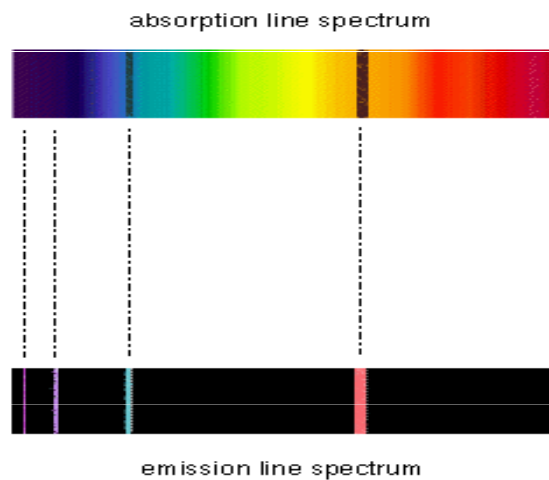
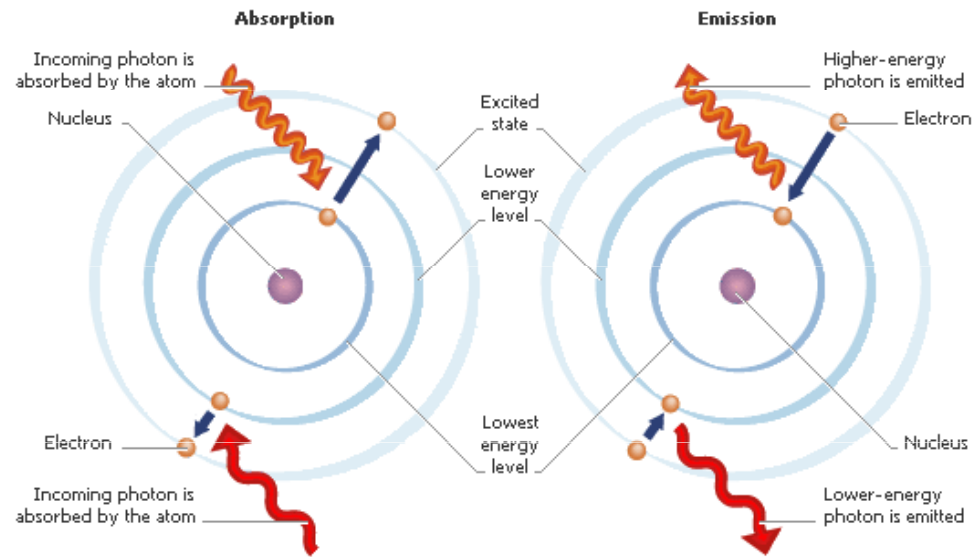
Kirchhoffův zákon

Těleso, které vysílá záření určitých vlnových délek, rovněž tyto vlnové délky absorbuje.

Sloučíme-li emisní a absorpční spektrum stejné látky, získáme spektrum spojitě.

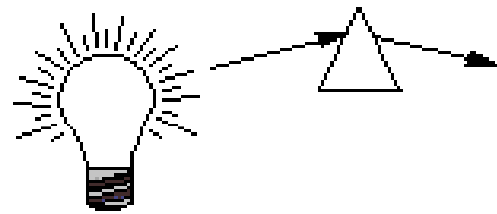


Zdroj záření, spektrum (čárové, pásové, spojité)

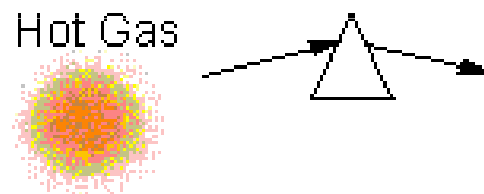
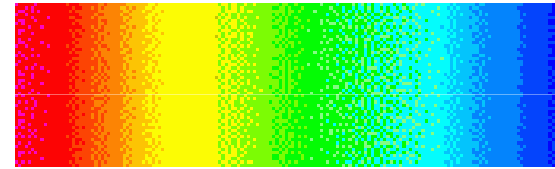


Two ways of showing the same spectra: on the **left** are pictures of the dispersed light and on the **right** are plots of the intensity vs. wavelength. Notice that the pattern of spectral lines in the absorption and emission line spectra are the **same** since the gas is the same.

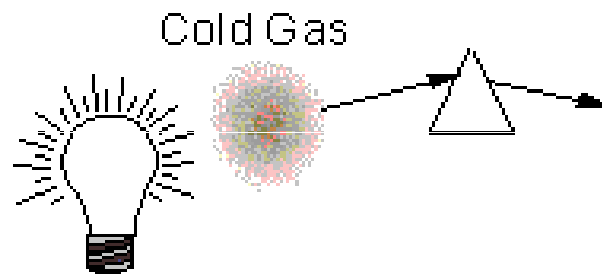
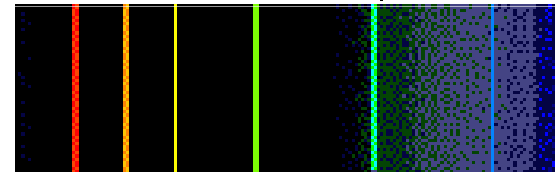
Emisní a absorpční spektra



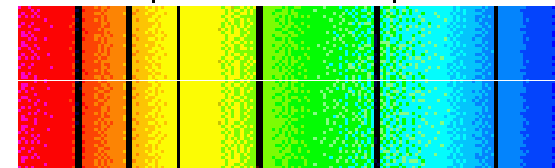
Continuum Spectrum



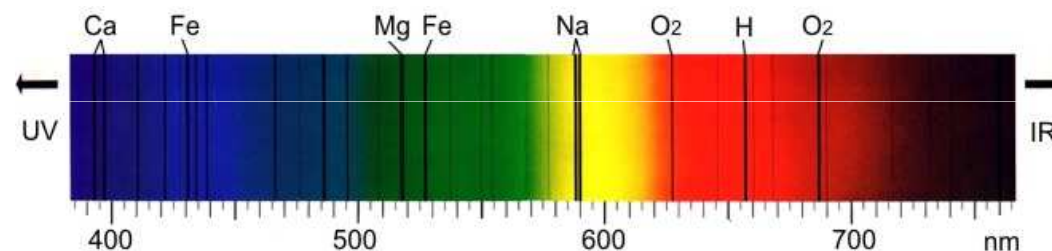
Emission Line Spectrum



Absorption Line Spectrum



Fraunhoferovy čáry ve slunečním spektru jsou důsledkem absorpce světla atomy různých prvků ve sluneční atmosféře.



Emisní spektrum

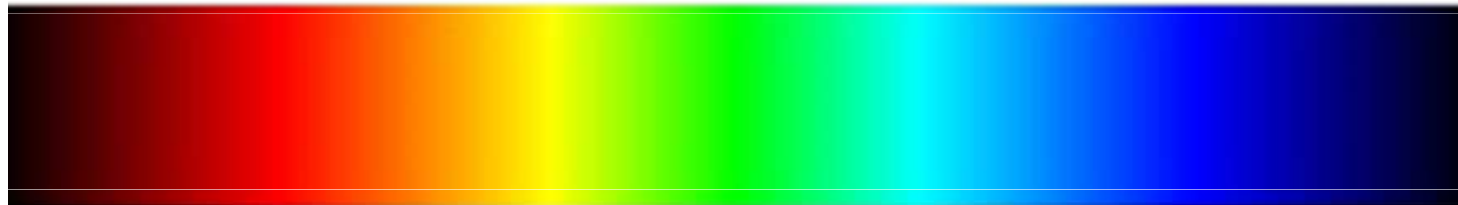
Soubor frekvencí elektromagnetického záření vyzařovaného látkou.

- a) Spojité spektrum
- b) Čárové spektrum
- c) Pásové spektrum



Spojité spektrum

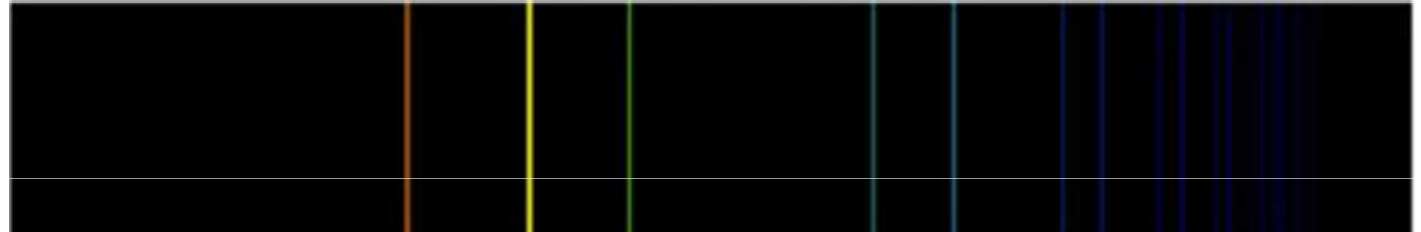
obsahuje elektromagnetické vlny všech vlnových délek v určitém intervalu, zdroj: rozžhavené pevné a kapalně látky (např. vlákno žárovky, roztavené kovy, ...)



Čárové spektrum

tvořené úzkými, navzájem oddělenými spektrálními čarami o různé intenzitě, zdroj: výboj v plynu za sníženého tlaku jiskrový výboj.

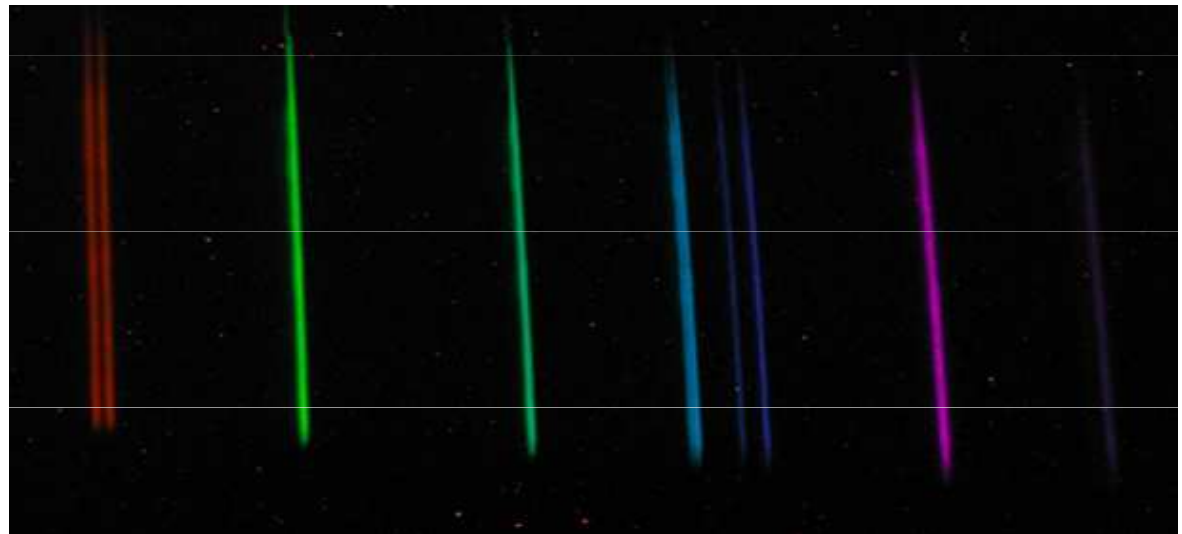
emisní spektrum sodíku



Pásové spektrum

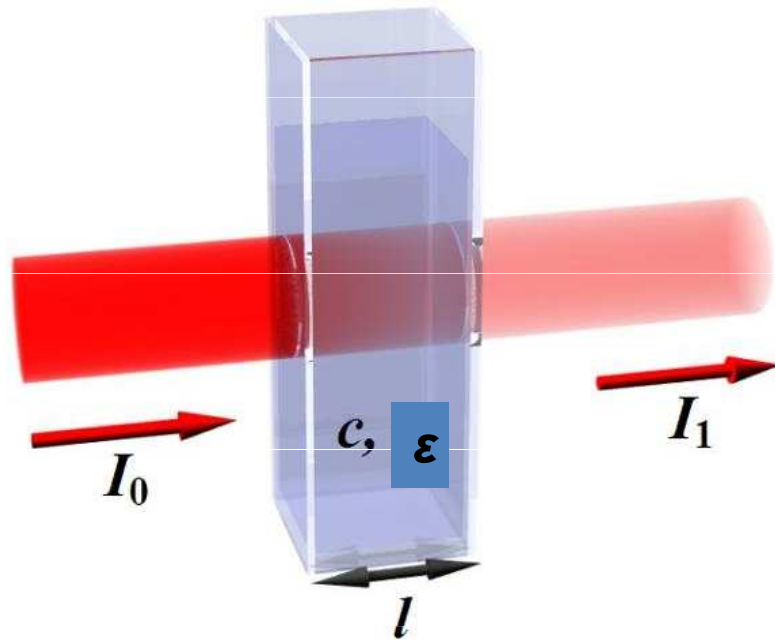
tvořené pásy s množstvím spektrálních čar těsné blízkosti, mezi nimiž jsou temné úseky, zdroj: zářící molekuly látek.

emisní spektrum směsi par kadmia, rtuti a zinku



Lambert – Beerův zákon

Zákon platí pro monochromatické světlo

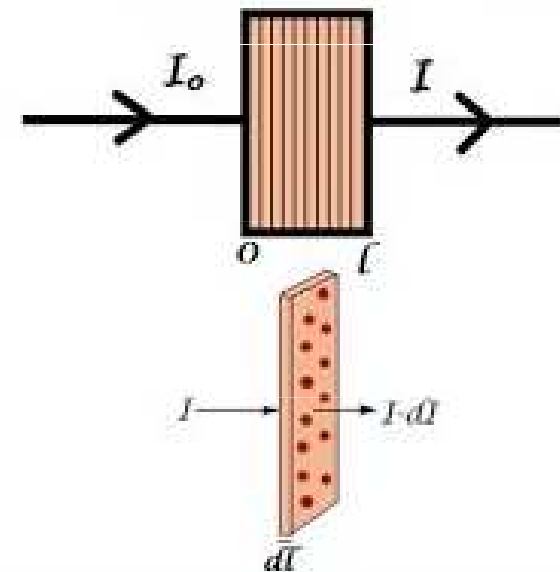


$$A = \log_{10} \frac{I_0}{I} = \epsilon l c$$

l = tloušťka kyvety

c = koncentrace roztoku

ϵ = absorpční koeficient, $\epsilon = f(\lambda)$



$$-\frac{dI}{dl} \propto cI$$

$$-\frac{dI}{I} = kc dl$$

$$A = \epsilon c l$$

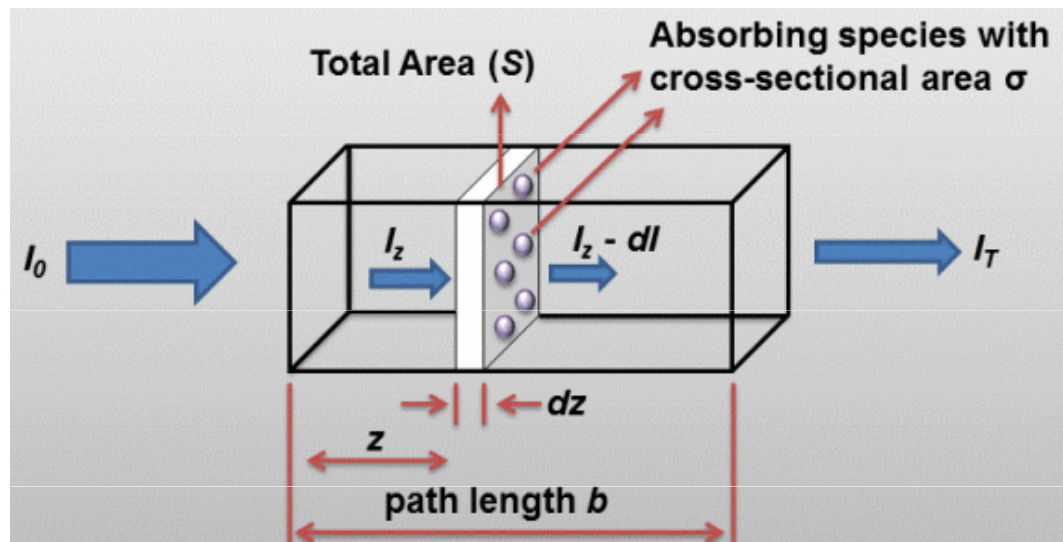
$$T(\%) = 100 \frac{I}{I_0}$$

T = transmittance

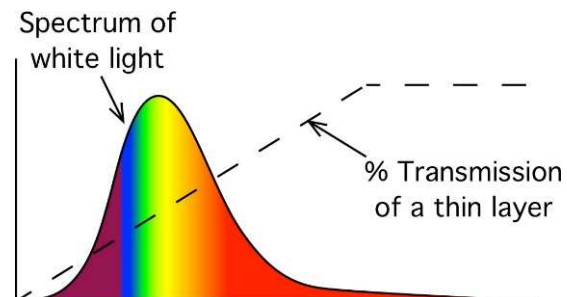
$$A = \log_{10} \frac{I_0}{I}$$

A = absorbance

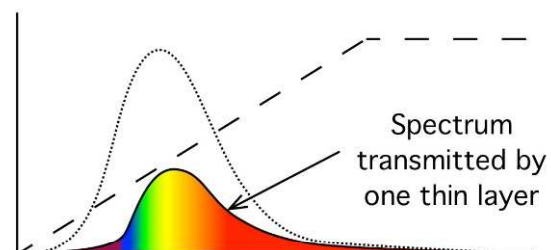
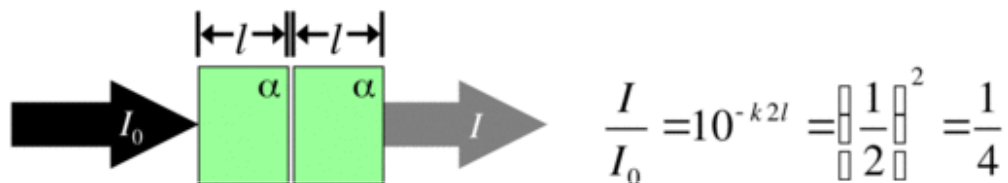
$$A = -\log_{10} T$$



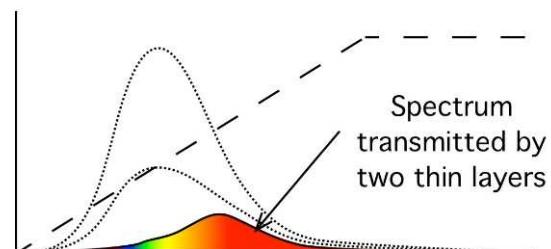
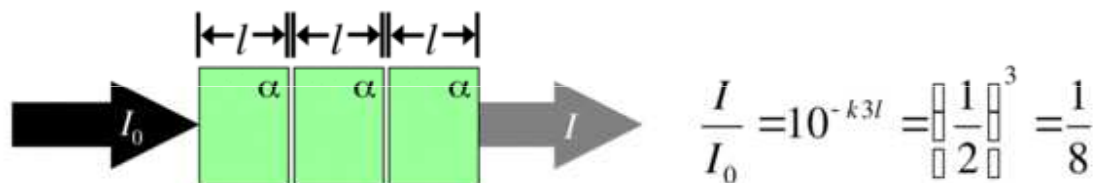
If *one slab* of absorbing material of thickness l reduces the intensity of a beam of light to *half*.



Then *two slabs* of the same absorbing material will then reduce the intensity of a beam of light to *one quarter*.

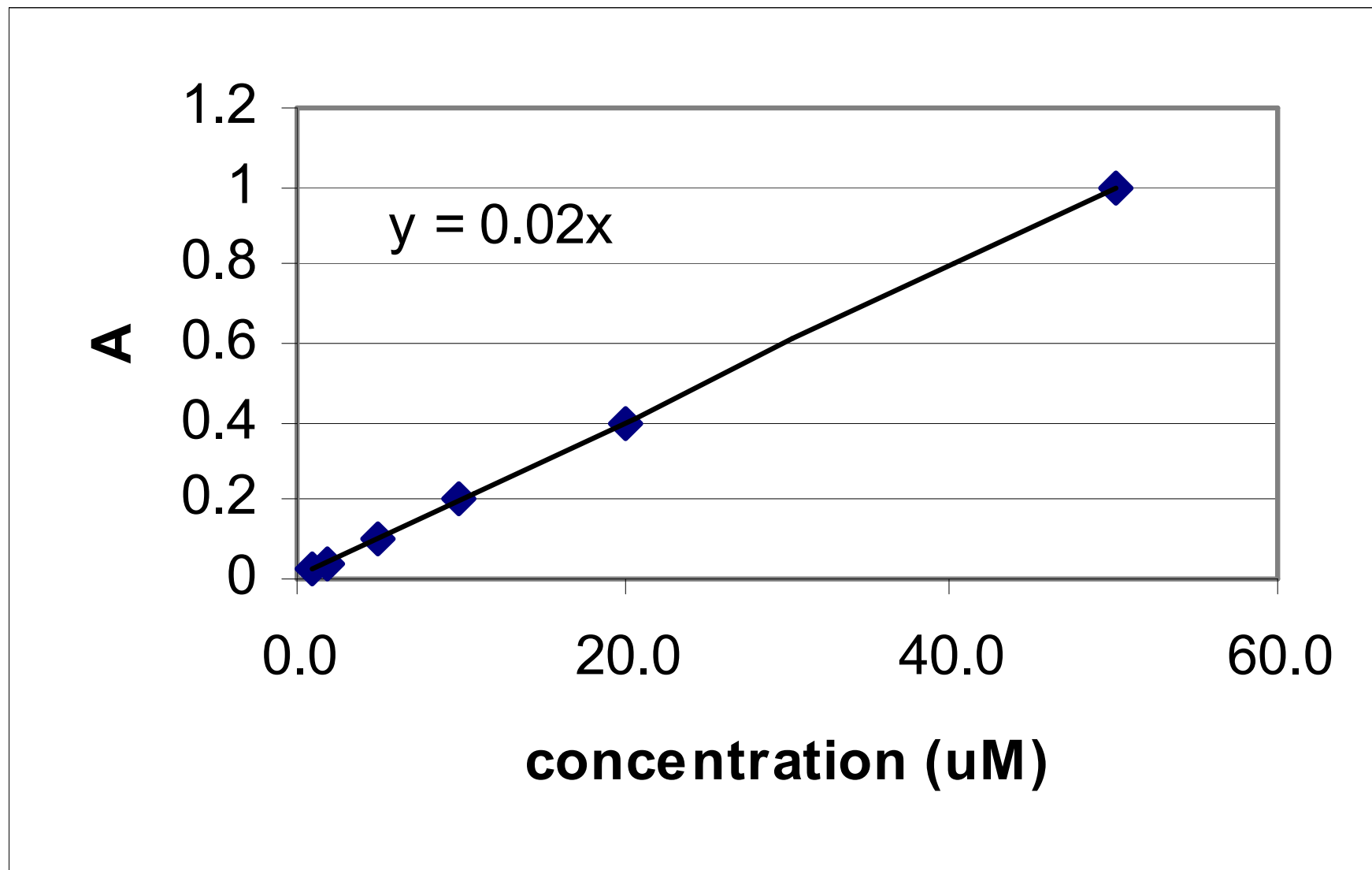


And *three slabs* will reduce the intensity of a beam of light to *one eighth*.



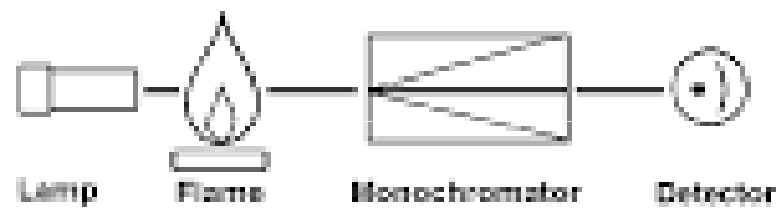
Grafické vyjádření Lambert-Beerova zákona

= lineární funkce

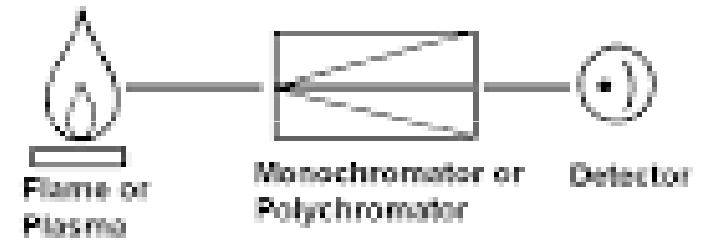


Spektrometrie

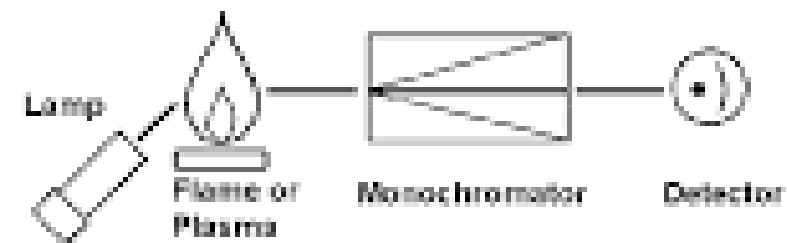
Atomic Absorption



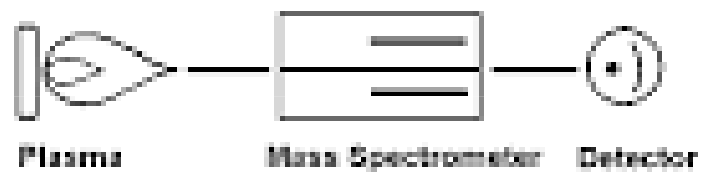
Atomic Emission



Atomic Fluorescence



Atomic Mass Spectrometry



Spectroscopic Techniques and Chemistry they Probe

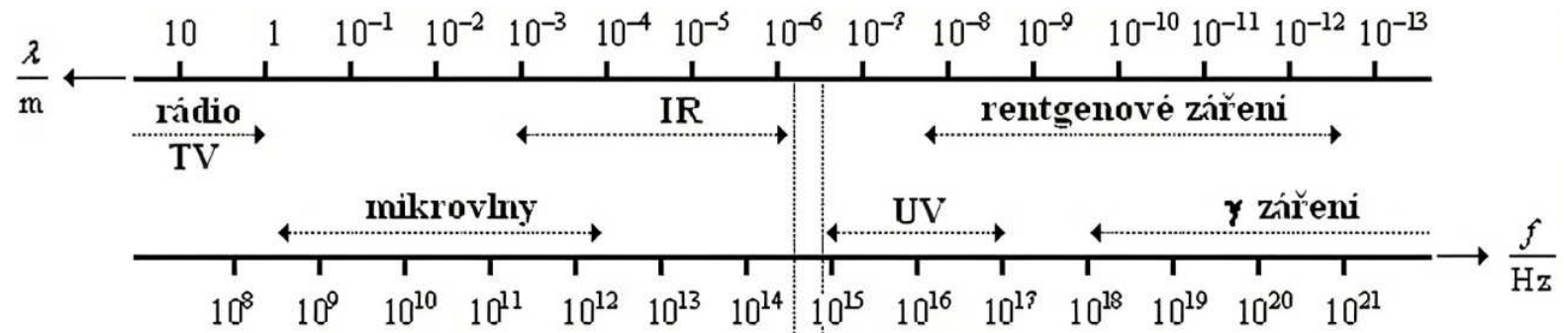
UV-Vis	UV-vis region	bonding electrons
Atomic Absorption	UV-vis region	atomic transitions (val. e-)
FT-IR	IR/Microwave	vibrations, rotations
Raman	IR/UV	vibrations
FT-NMR	Radio waves	nuclear spin states
X-Ray Spectroscopy	X-rays	inner electrons, elemental
X-ray Crystallography	X-rays	3-D structure

Spectroscopic Techniques and Common Uses

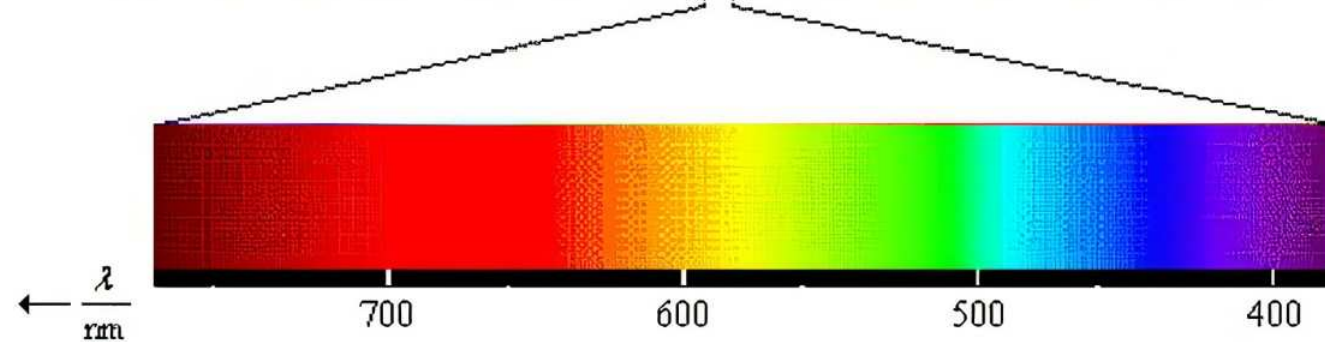
UV-vis	UV-vis region	Quantitative analysis/Beer's Law
Atomic Absorption	UV-vis region	Quantitative analysis Beer's Law
FT-IR	IR/Microwave	Functional Group Analysis
Raman	IR/UV	Functional Group Analysis/quant
FT-NMR	Radio waves	Structure determination
X-Ray Spectroscopy	X-rays	Elemental Analysis
X-ray Crystallography	X-rays	3-D structure Anaylsis

UV-VIS

Světlo (viditelné záření) je součástí spektra elektromagnetického záření, lidské oko vnímá elektromagnetické vlnění o frekvencích $7,6 \cdot 10^{14}$ Hz – $3,9 \cdot 10^{14}$ Hz.



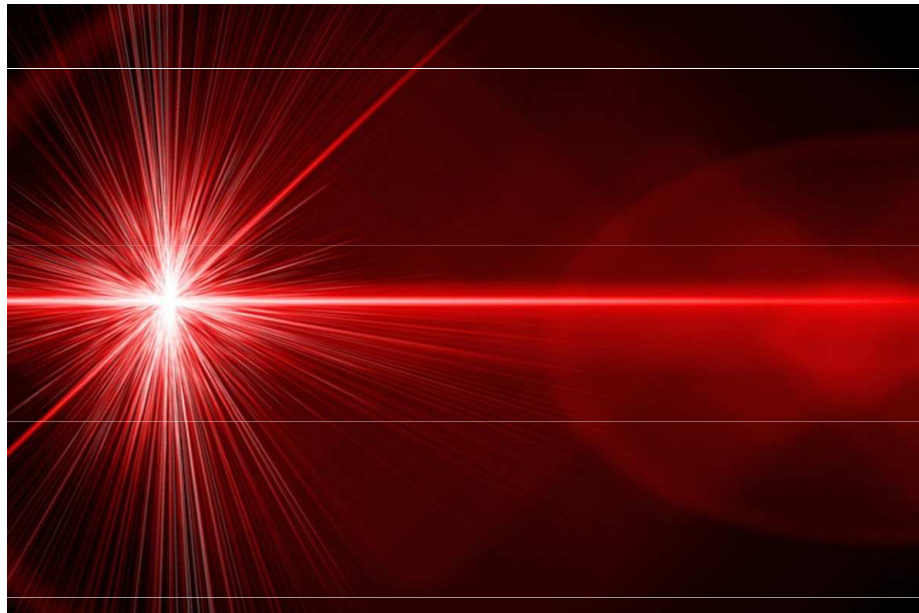
Bílé světlo



Světelné spektrum je část elektromagnetického spektra, ve kterém je zobrazena závislost barev světla na vlnových délkách.

Chromatické světlo: složené ze světla více vlnových délek, např. bílé světlo (složené ze sedmi barev)

Monochromatické světlo: pouze jedna vlnová délka, např. laser



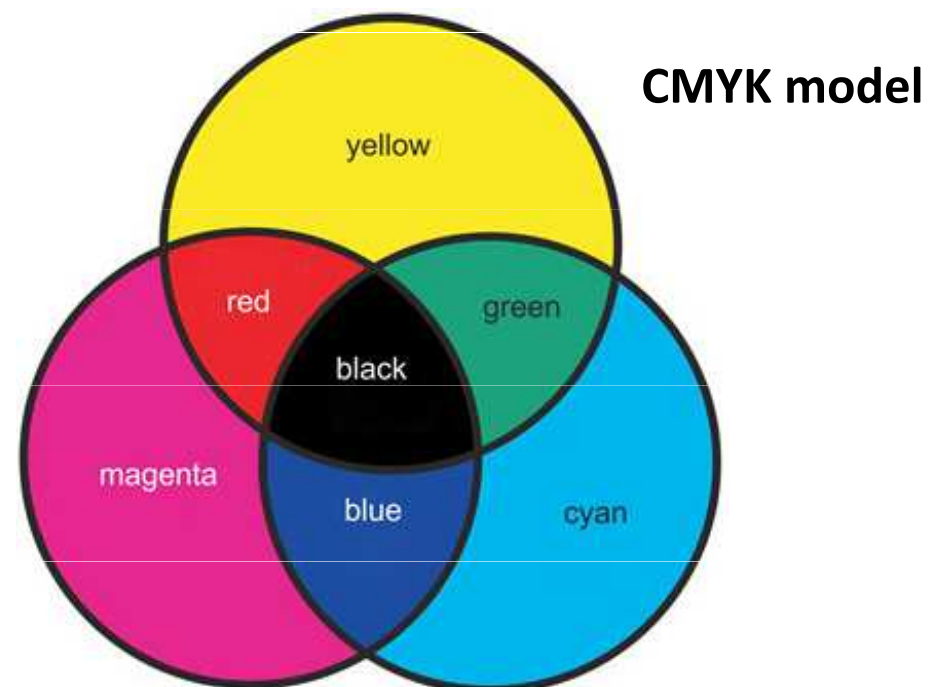
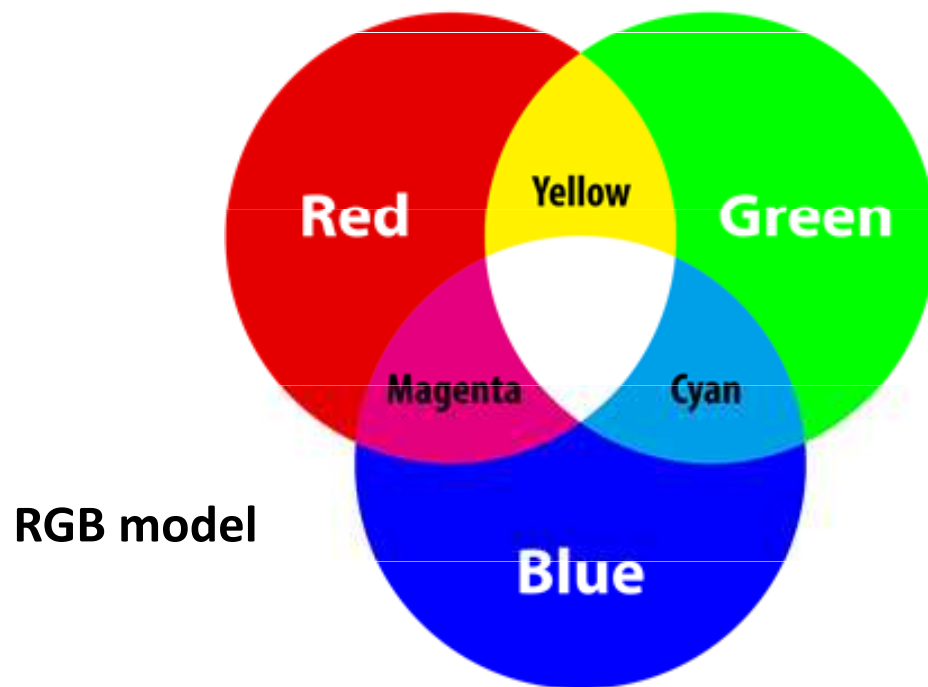
Míchání barev

Aditivní (součtové) - RGB

Jednotlivé složky barev se sčítají a vytváří světlo větší intenzity. Smícháním dvou základních barev vznikne **komplementární (doplňková)** barva k třetí základní barvě. Princip aditivního míchání barev se uplatňuje na počítačových monitorech a TV obrazovkách.

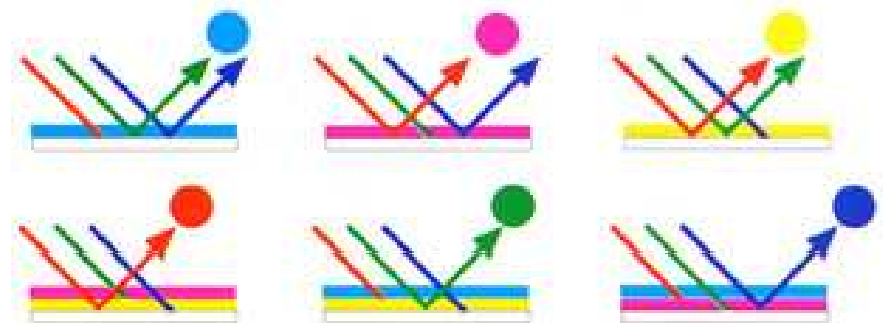
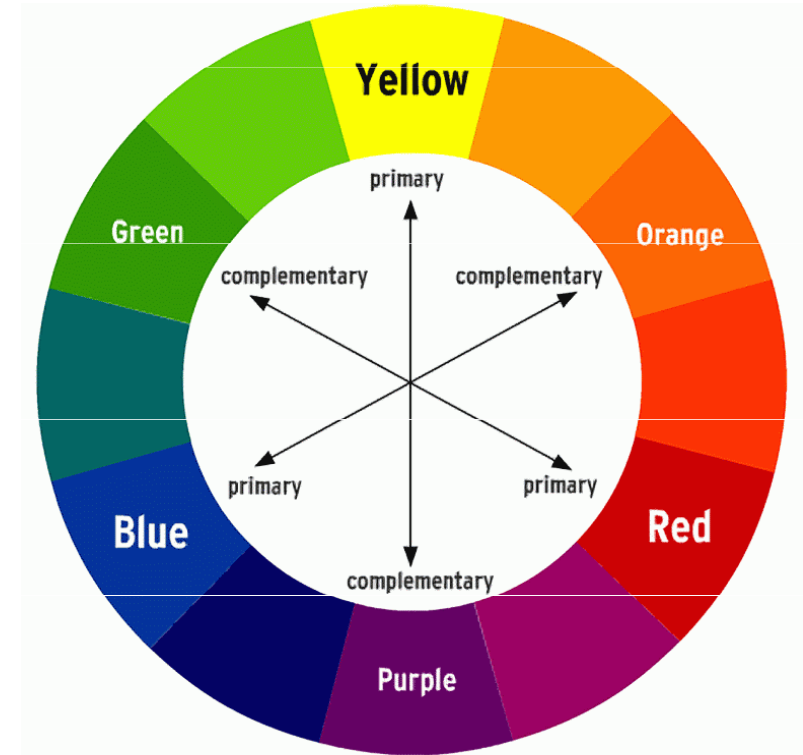
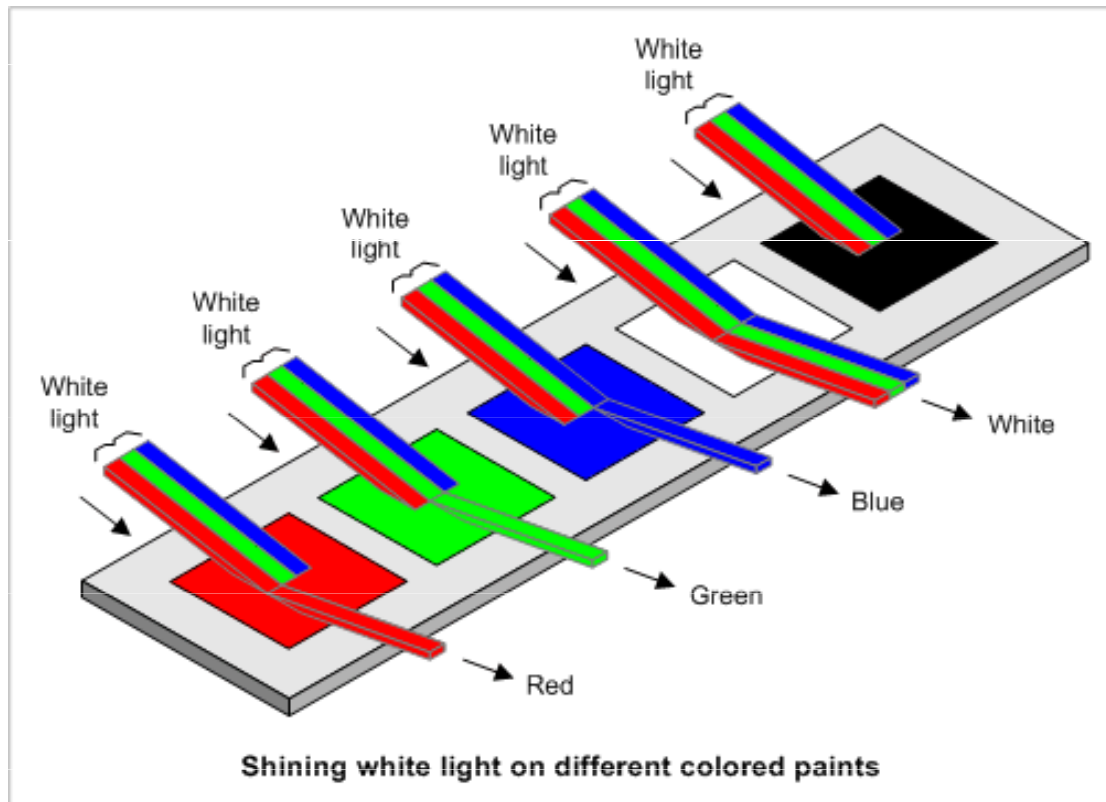
Subtraktivní (odčítací) CMYK

S každou další přidanou barvou se ubírá část původního světla. Využití v barevných tiskárnách.

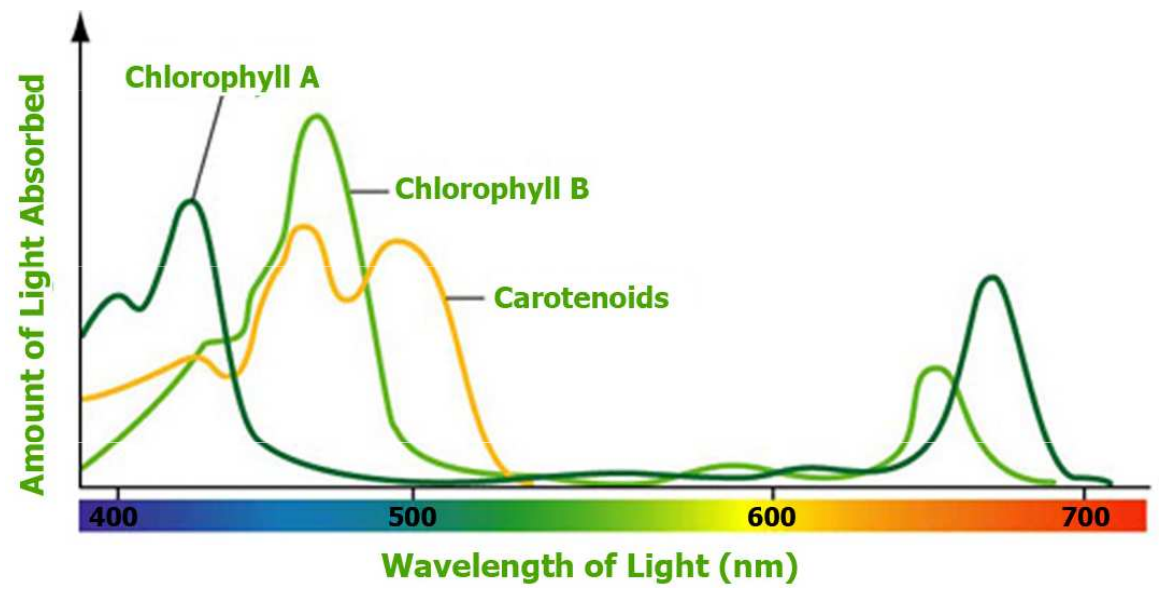
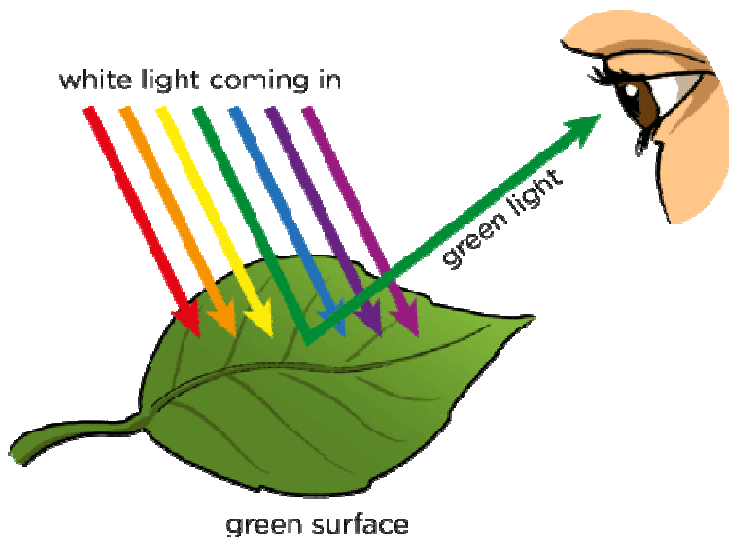


Absorpce záření

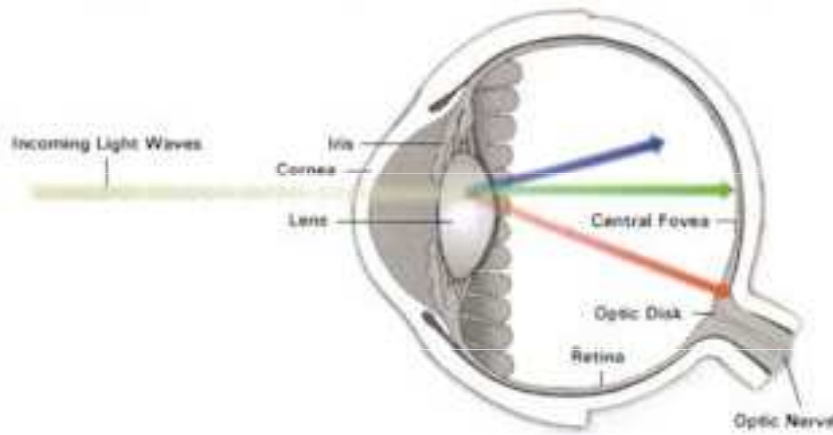
- odražené světlo = barva předmětu
- černé těleso vše pohlcuje, bílé vše odráží



Příklad

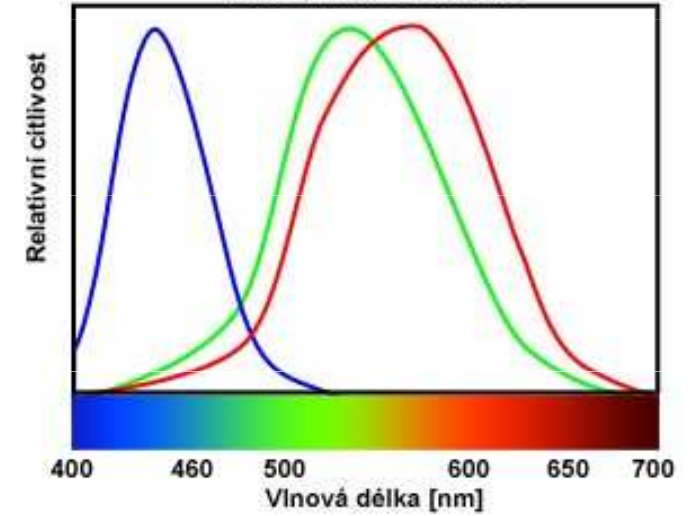


Lidské oko

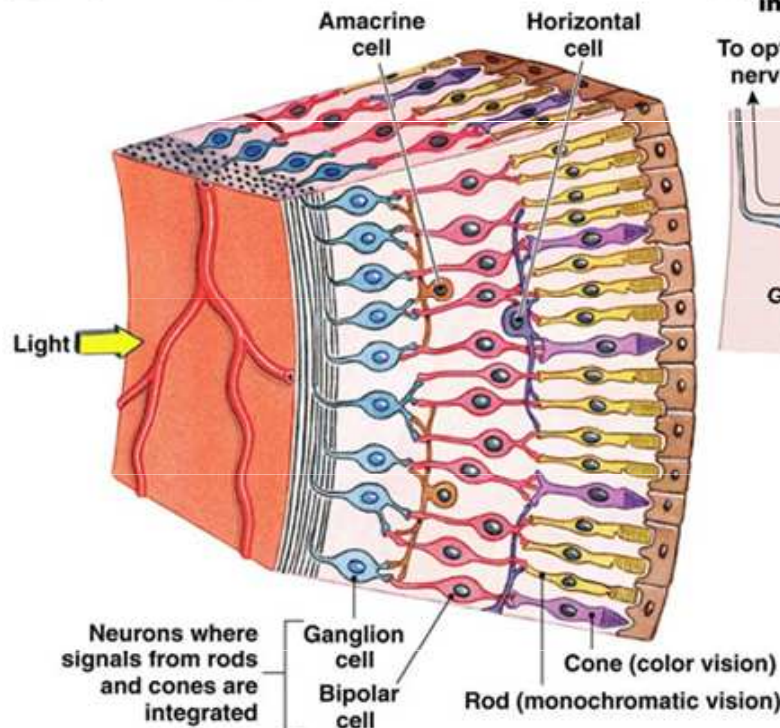


Citlivost lidského oka na barvy

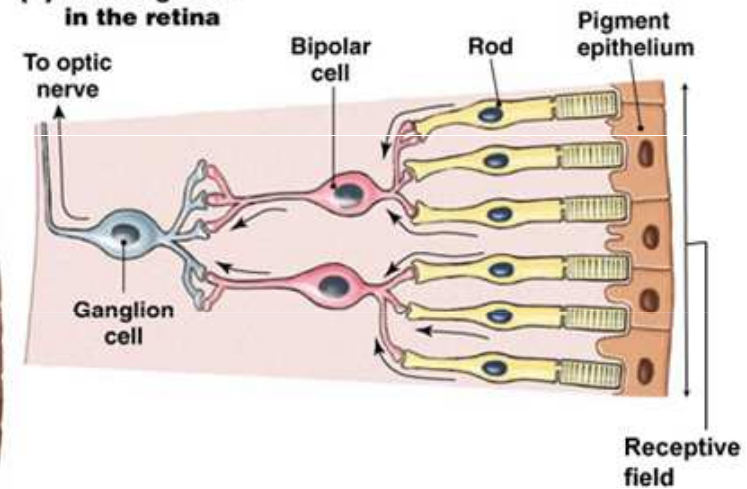
3 druhy buněk oka hrubě odpovídají modré, zelené a červené



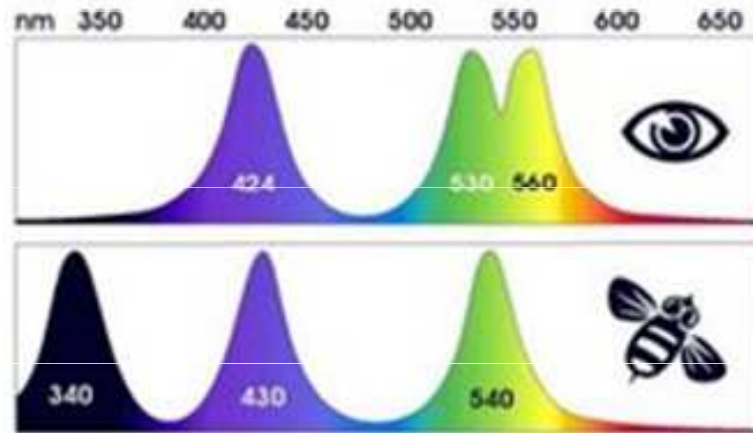
(d) Organization of the retina



(e) Convergence in the retina



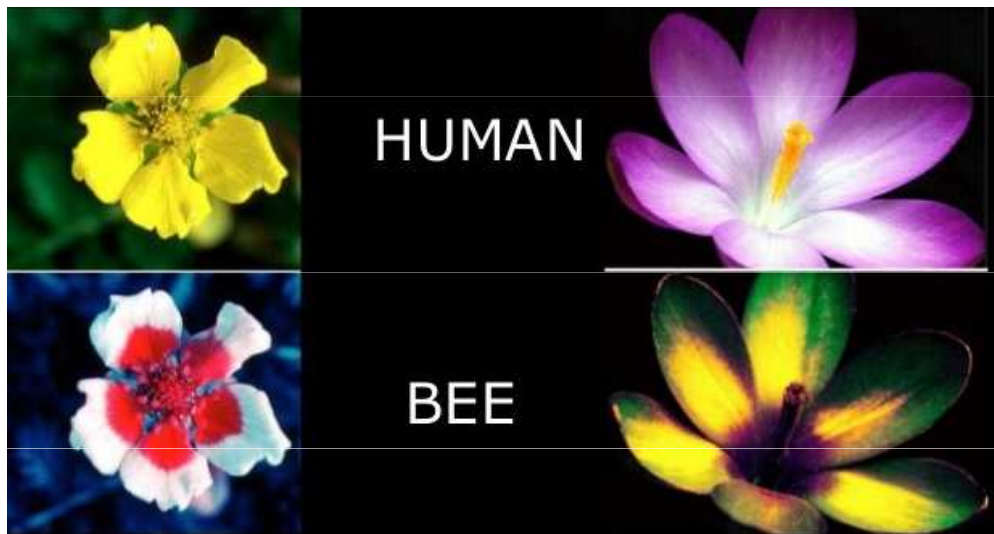
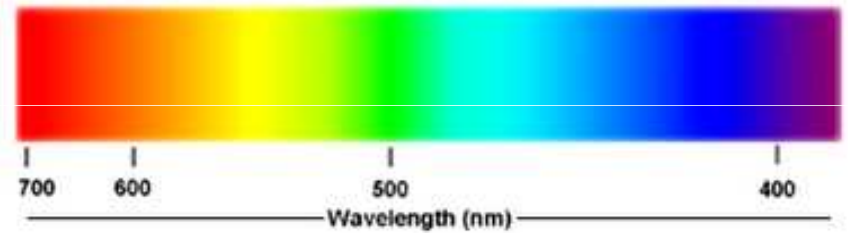
How do dogs and human see spectrum

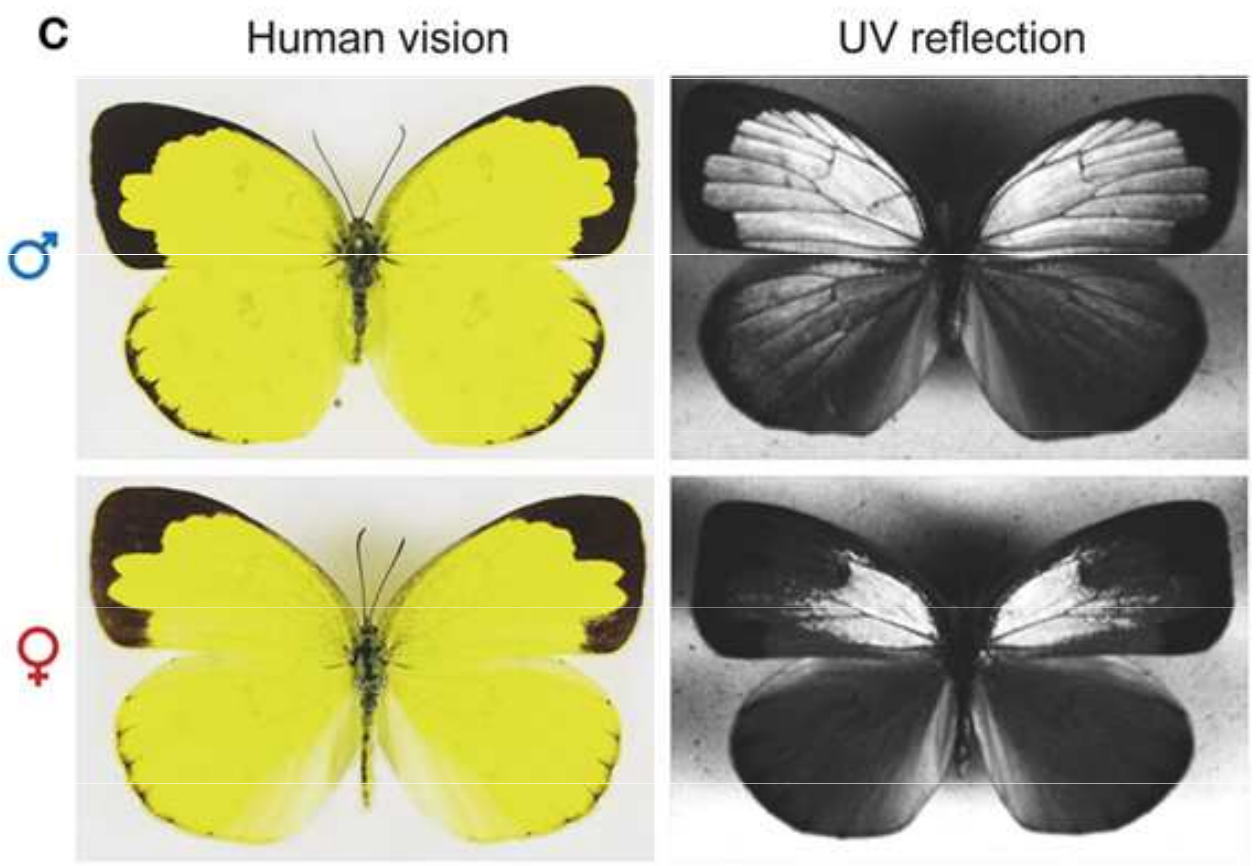
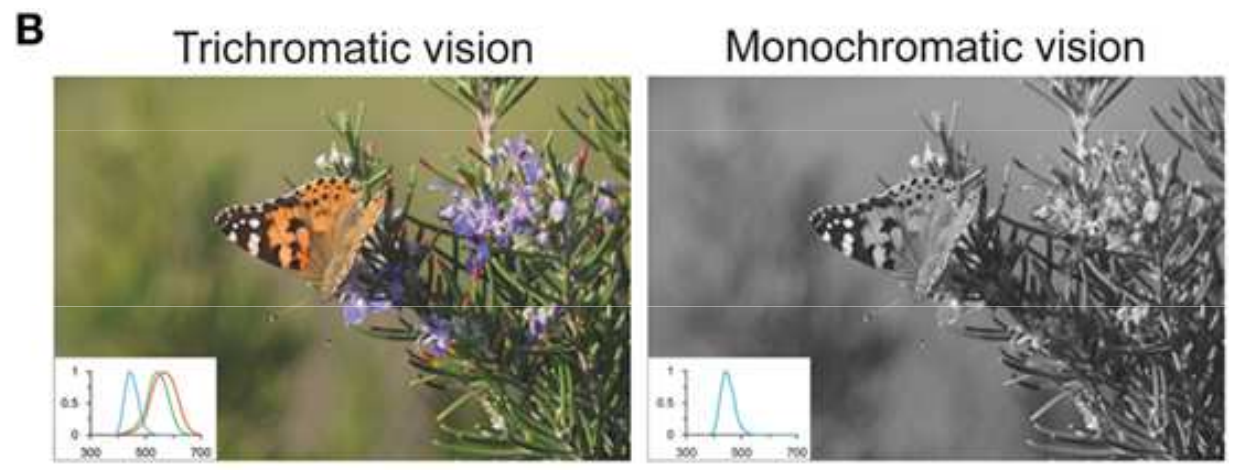
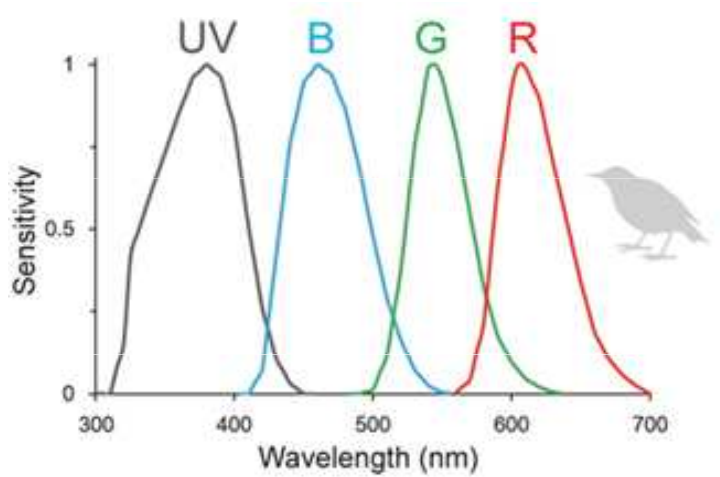
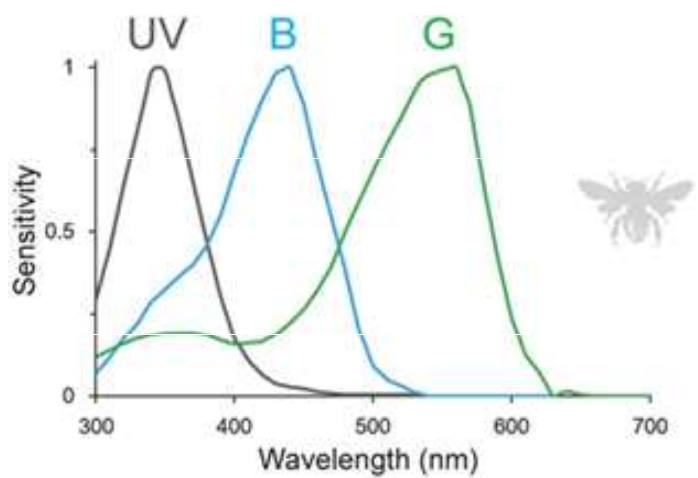
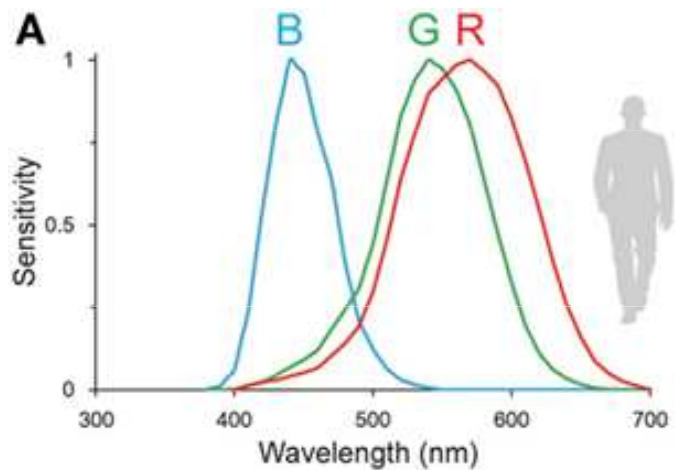


Canine View

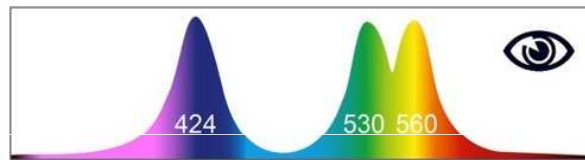


Human View

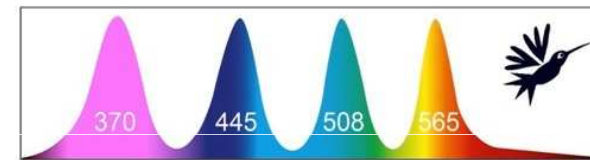
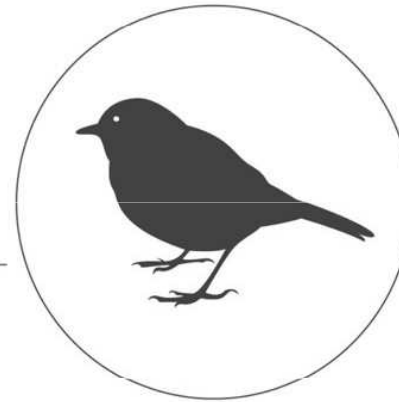




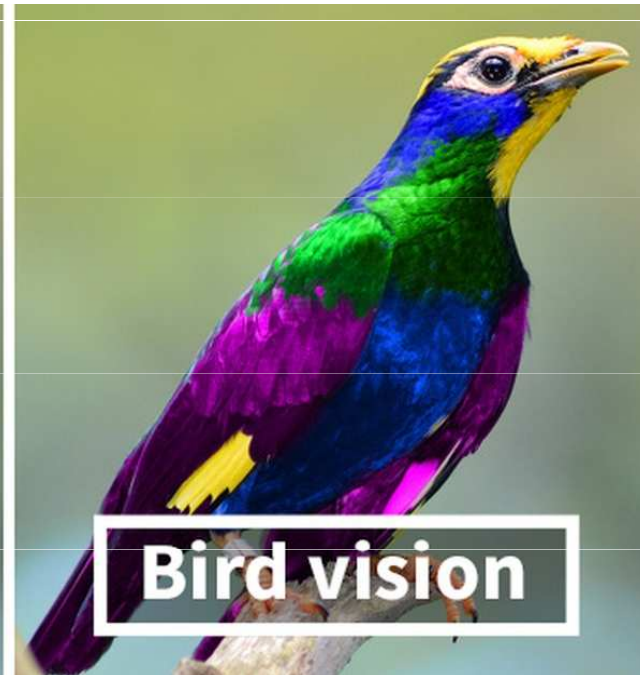
Human Vision



Bird Vision



Human vision

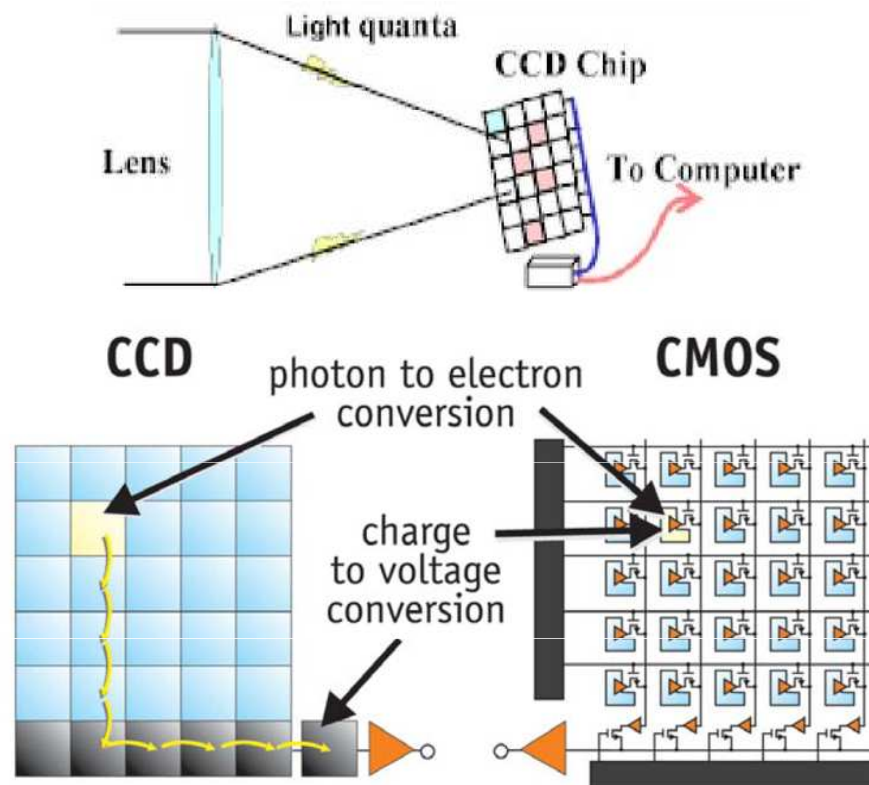


Bird vision

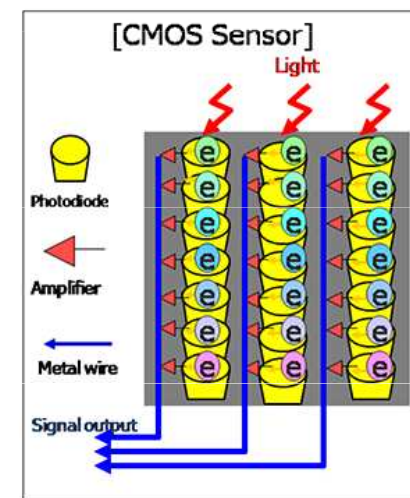
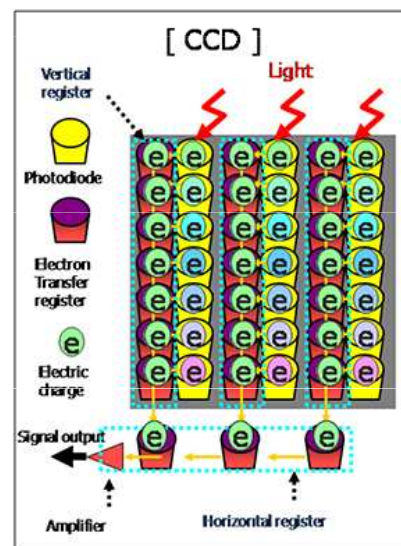
CCD a CMOS detektory

U **CCD** je nakumulovaný náboj přesouván přes matici Schottkyho fotodiod. Elektrony reprezentující jednotlivé pixely jsou posouvány do výstupního zesilovače, kde je elektrický náboj převeden na napětí. Výhodami tohoto detektoru oproti typu CMOS je lepší světelná citlivost, což se projeví v lepší kvalitě obrazu při špatném osvětlení. CCD senzory také dosahují vyšší rychlosti převodu signálu a výsledný obraz vykazuje relativně nízký šum. Nevýhodou těchto detektorů je vyšší cena a je složitější instalace do kamery.

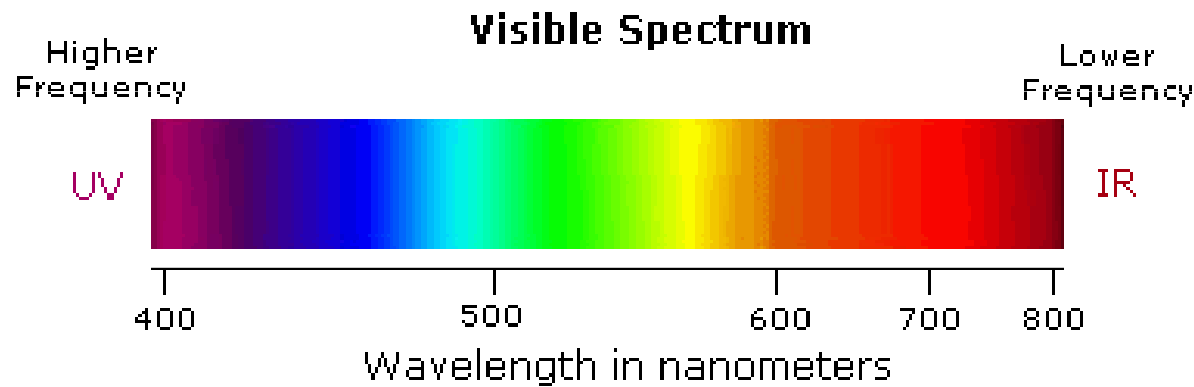
CMOS využívá integrovaných obvodů vysoké hustoty, umožňující umístit na čip velké množství MOS tranzistorů. Produkce těchto detektorů je sériová a levnější než u CCD prvků. Výhodou CMOS sensorů je také nízká spotřeba energie, nižší napájecí napětí a obecně jednodušší elektronika, umožňující návrh kamer s menšími rozměry.



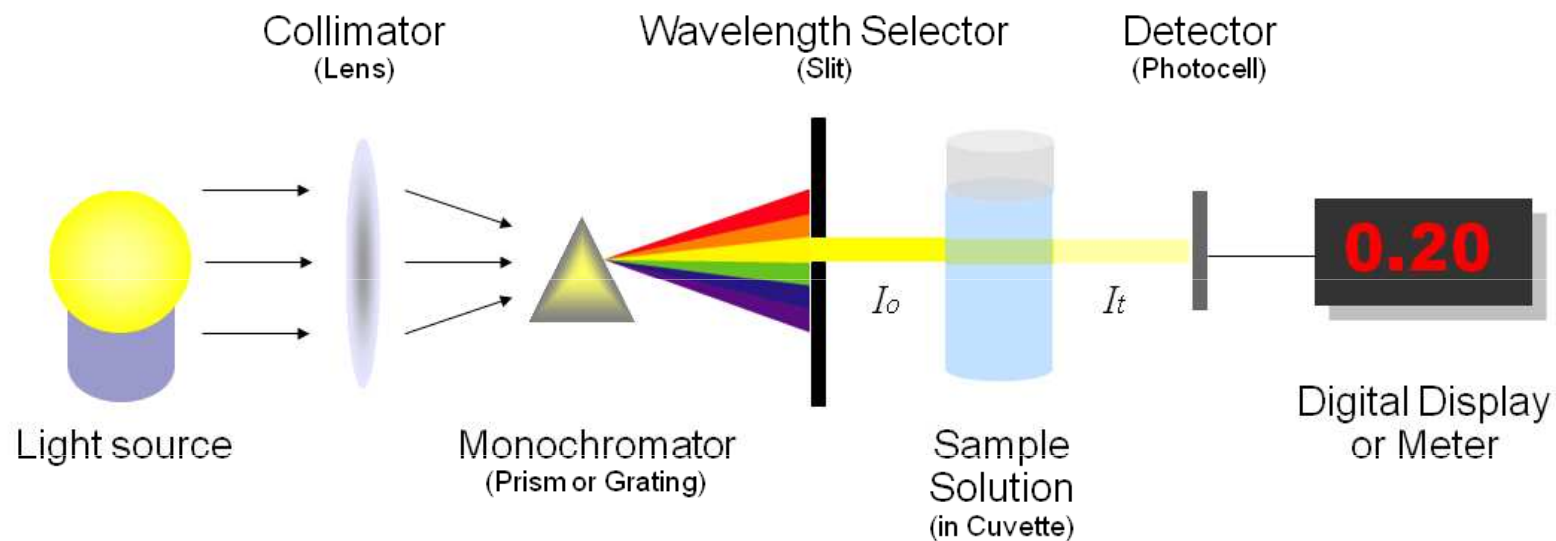
CCDs move photogenerated charge from pixel to pixel and convert it to voltage at an output node. CMOS imagers convert charge to voltage inside each pixel.



UV-VIS spektrometrie

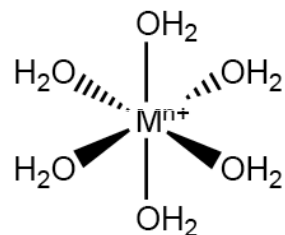


Violet: 400 - 420 nm
Indigo: 420 - 440 nm
Blue: 440 - 490 nm
Green: 490 - 570 nm
Yellow: 570 - 585 nm
Orange: 585 - 620 nm
Red: 620 - 780 nm



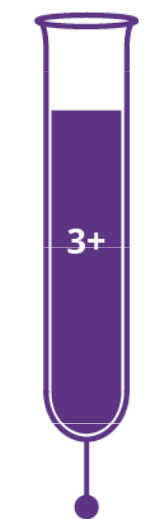
TRANSITION METAL ION COLOURS

Transition metals form coloured compounds and complexes. These colours can vary depending on the charge on the metal ion, and the number and type of groups of atoms (called ligands) attached to the metal ion. In aqueous solutions, the ions form complexes with the colours shown to the right.

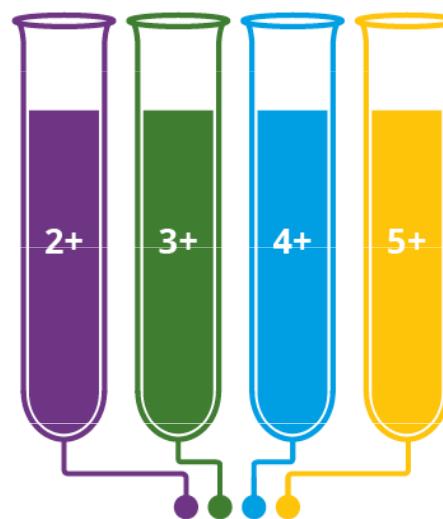


HYDRATED TRANSITION METAL ION

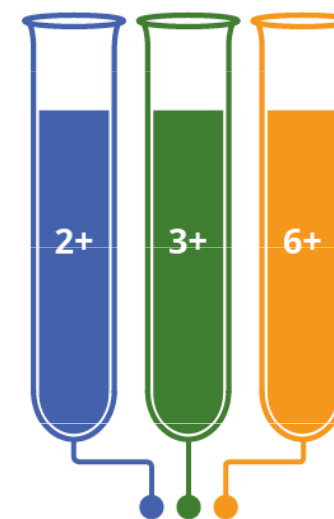
Electrons are arranged around the nucleus of the metal atom in orbitals. Transition metals, unlike other metals, have partially filled d orbitals, which can hold up to 10 electrons. When ligands are present, some d orbitals become higher in energy than before, and some become lower. Electrons can then move between these higher and lower d orbitals by absorbing a photon of light. This absorption of light affects the perceived colour of the compound or complex. The wavelength of the light absorbed is affected by the size of the energy gap between the d orbitals, which is in turn affected by the type of ligand and the charge on the metal ion.



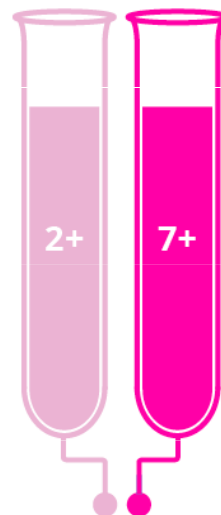
TITANIUM
Ti



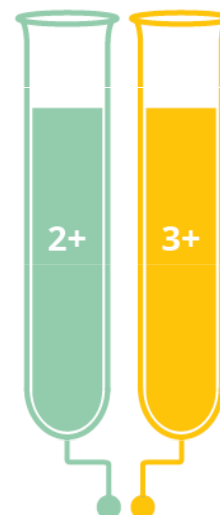
VANADIUM
V



CHROMIUM
Cr



MANGANESE
Mn



IRON
Fe



COBALT
Co



NICKEL
Ni



COPPER
Cu



Chromium III aq



Chromate aq



Dichromate aq



Manganate aq



Permanganate aq



Iron II aq



Iron III aq



Cobalt II aq

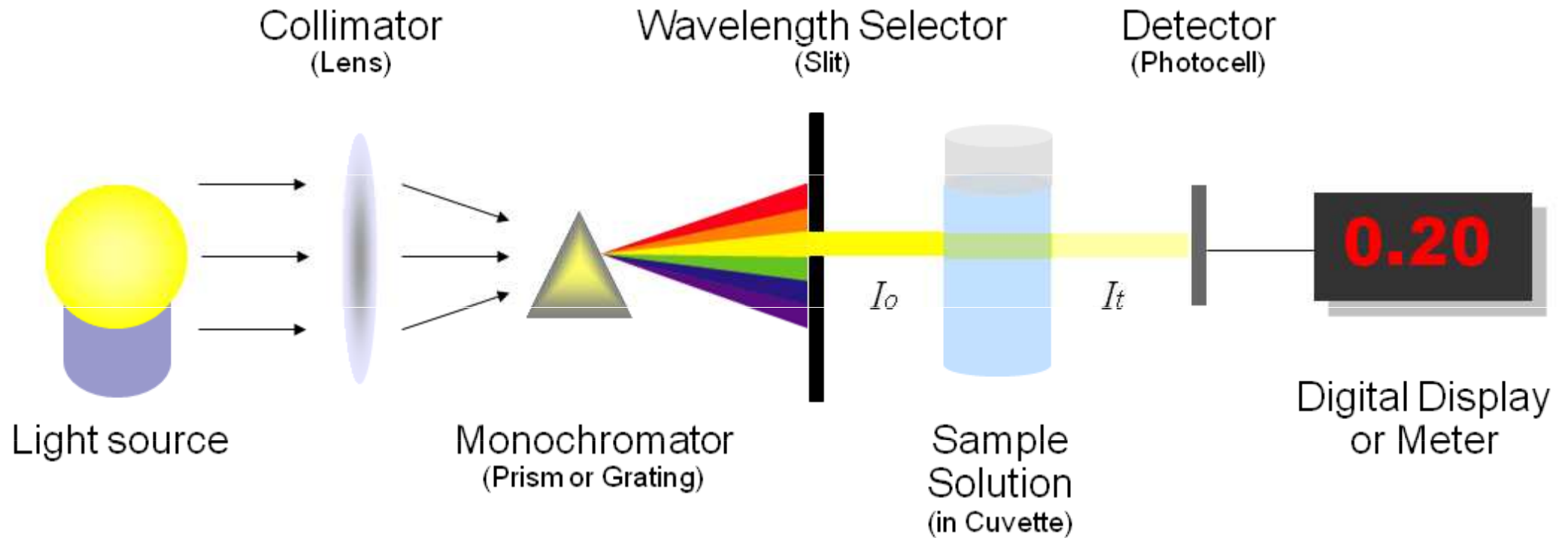


Copper II aq

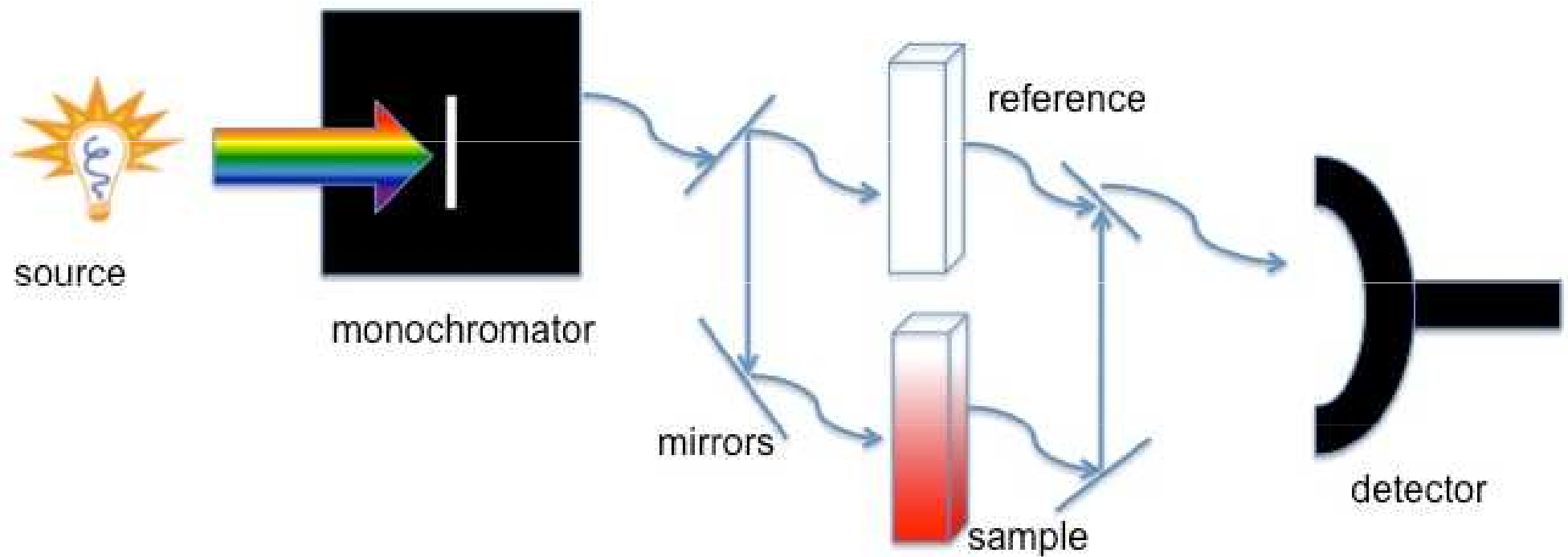


Nickel II aq

UV-Vis Spectrophotometer

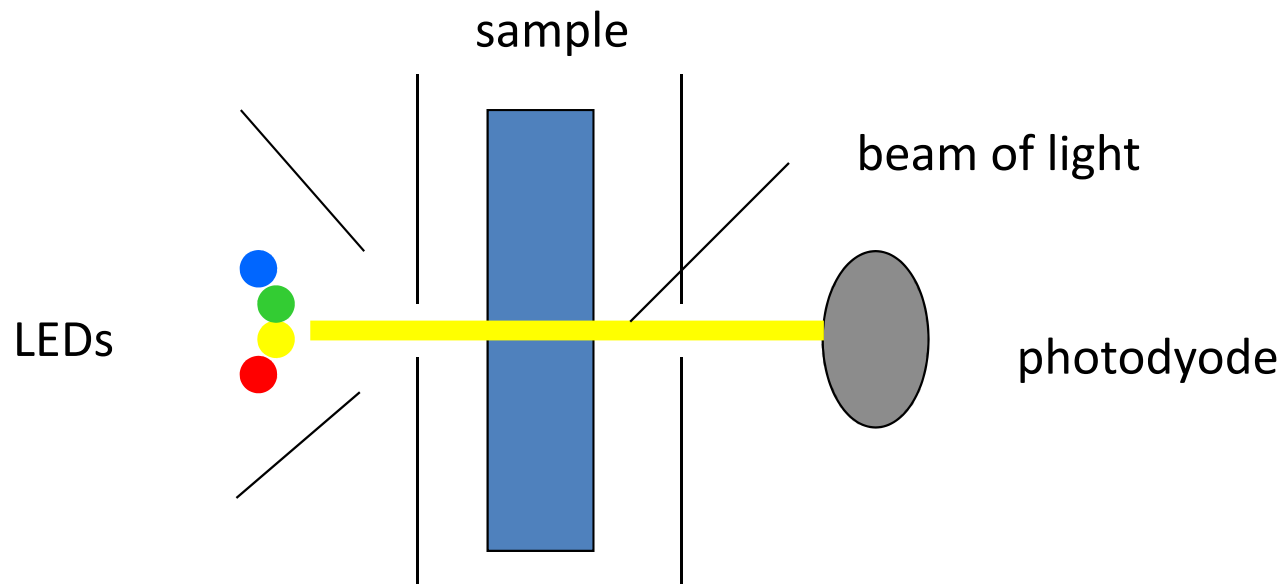


Double Beam UV-Vis Spectrophotometer

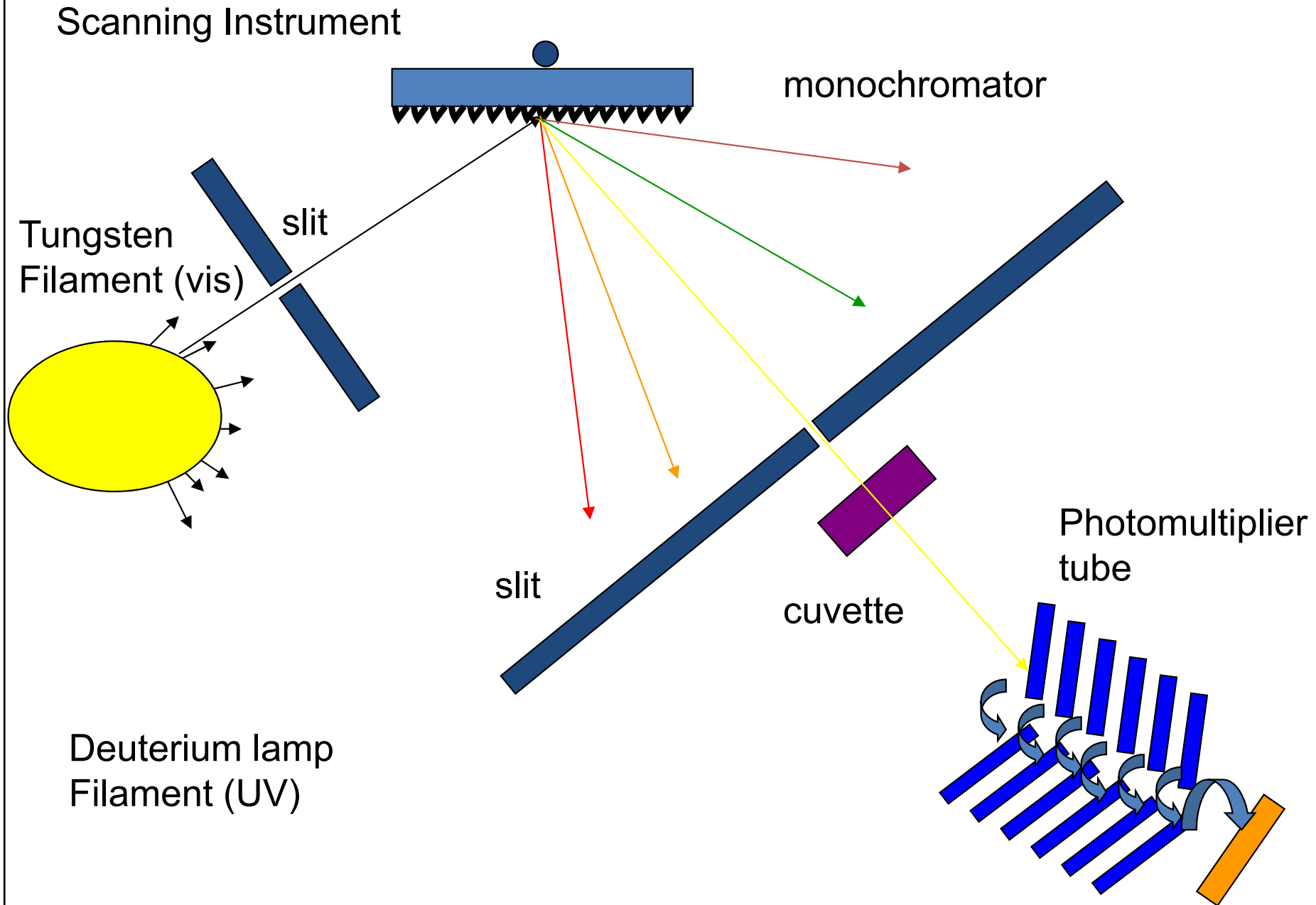


Fixed Wavelength Instrument

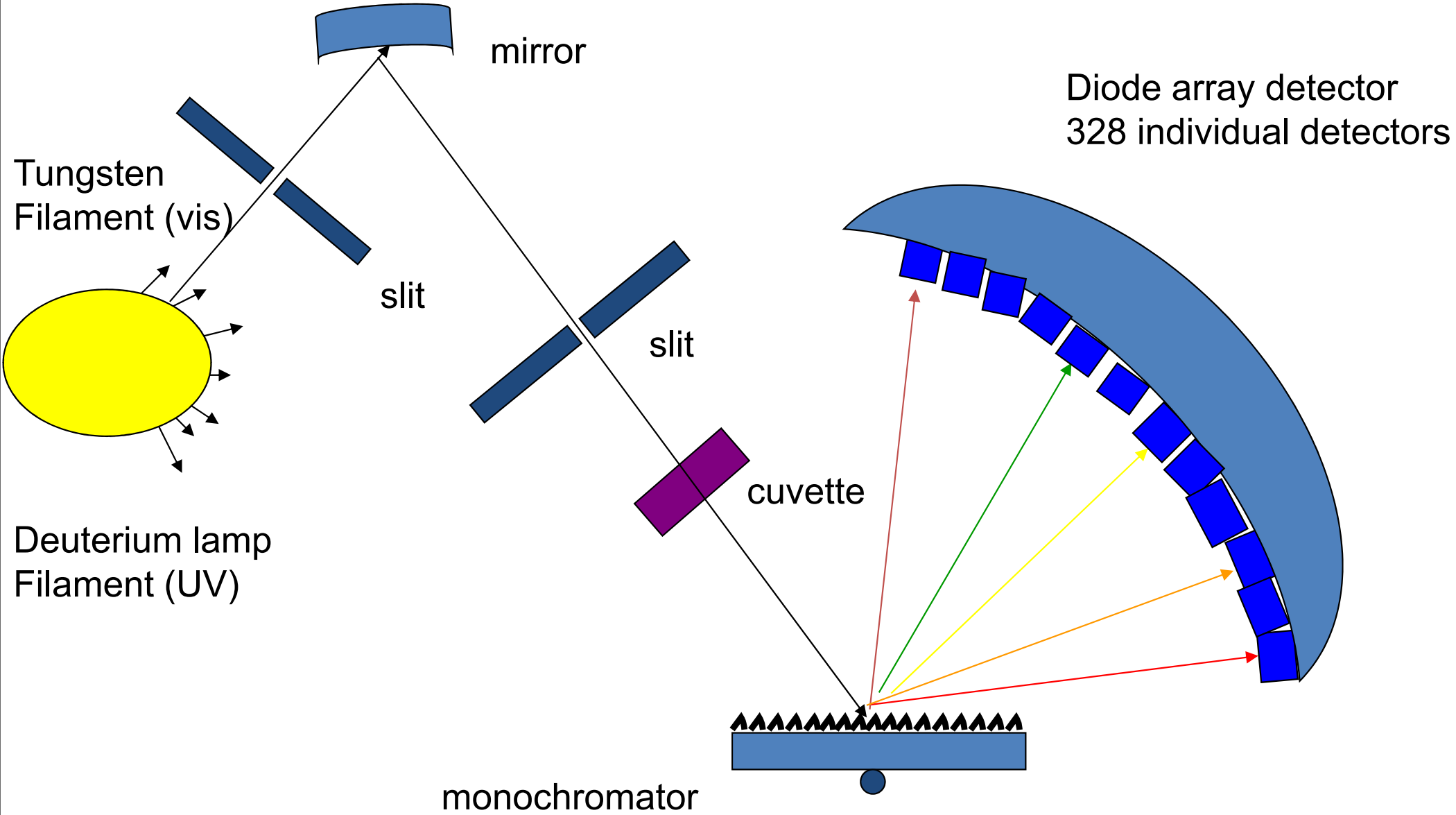
- LED serve as source
- Pseudo-monochromatic light source
- No monochromator necessary/ wavelength selection occurs by turning on the appropriate LED
- 4 LEDs to choose from



Skenovací UV-VIS spektrometr



Diode array UV-VIS spektrometr

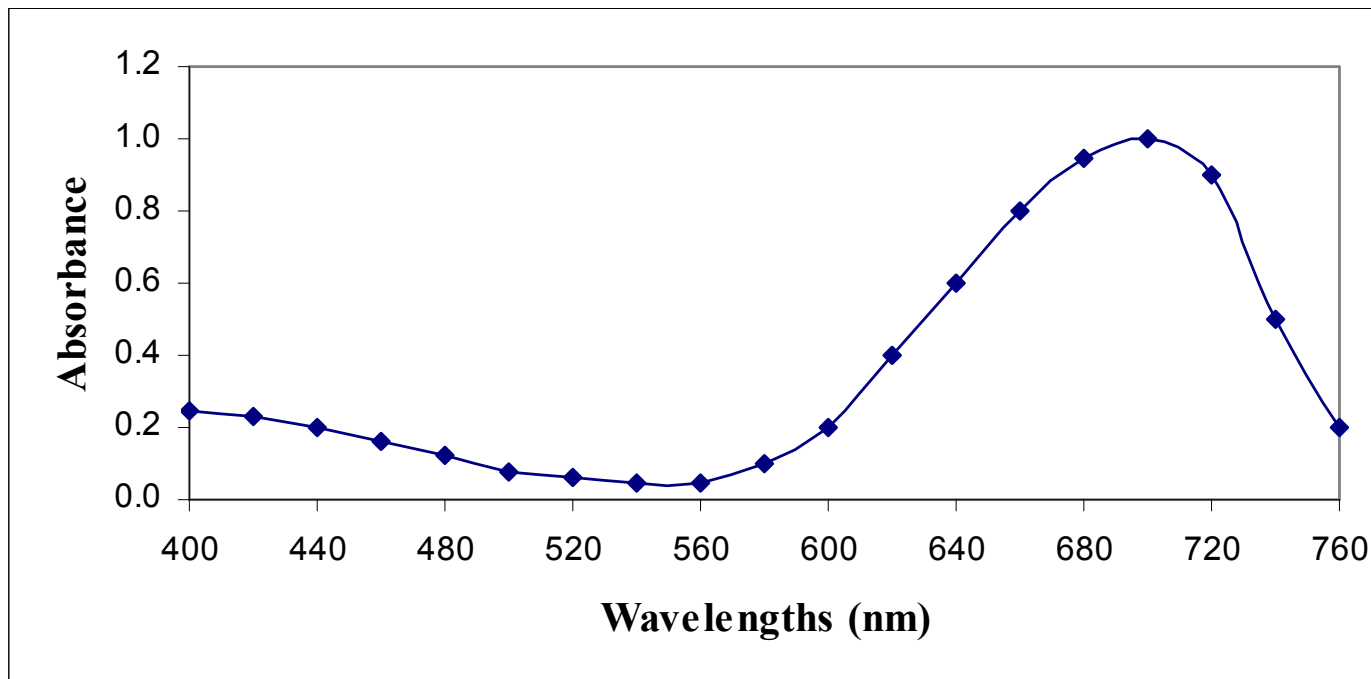


UV-Vis spectrum

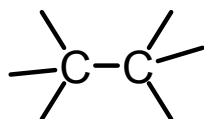


Sample
Solution

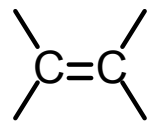
UV-Vis spectrum shows the absorbance of one or more sample components in the cuvette when scanned through various wavelengths



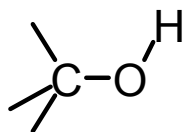
For the Solution first we'll determine where the maximum absorption occurs.



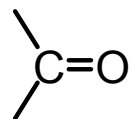
$\sigma \rightarrow \sigma^*$ 135 nm



$\pi \rightarrow \pi^*$ 165 nm



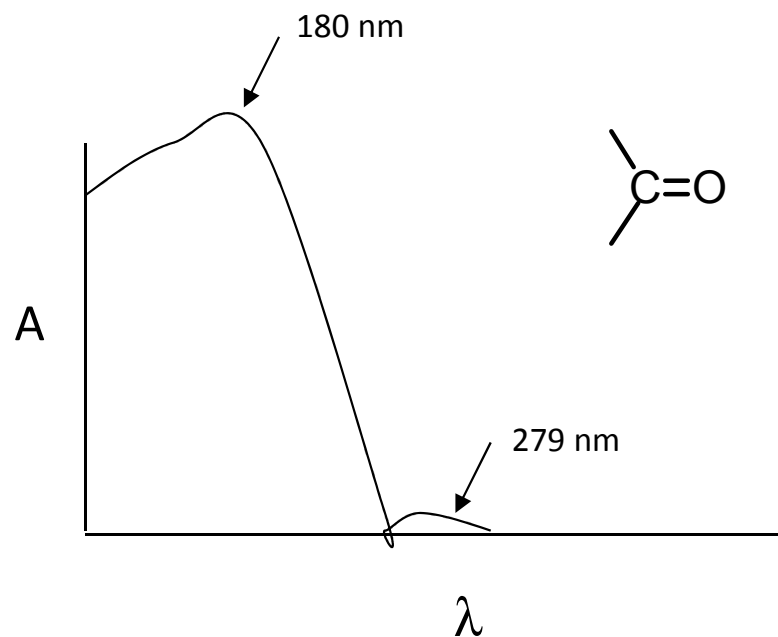
$n \rightarrow \sigma^*$ 183 nm weak



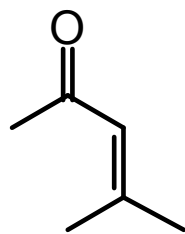
$\pi \rightarrow \pi^*$ 150 nm

$n \rightarrow \sigma^*$ 188 nm

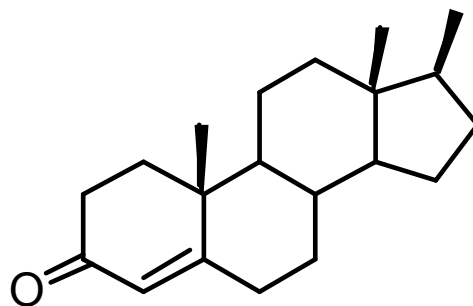
$n \rightarrow \pi^*$ 279 nm weak



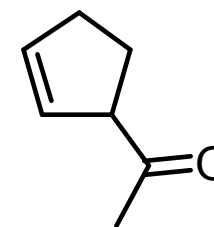
Similar structures have similar UV spectra:



$\lambda_{\max} = 238, 305 \text{ nm}$



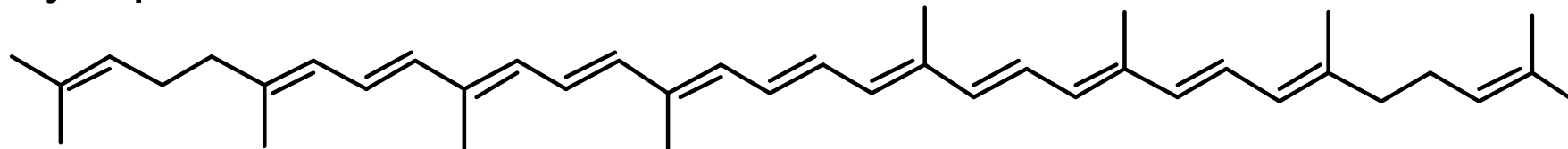
$\lambda_{\max} = 240, 311 \text{ nm}$



$\lambda_{\max} = 173, 192 \text{ nm}$

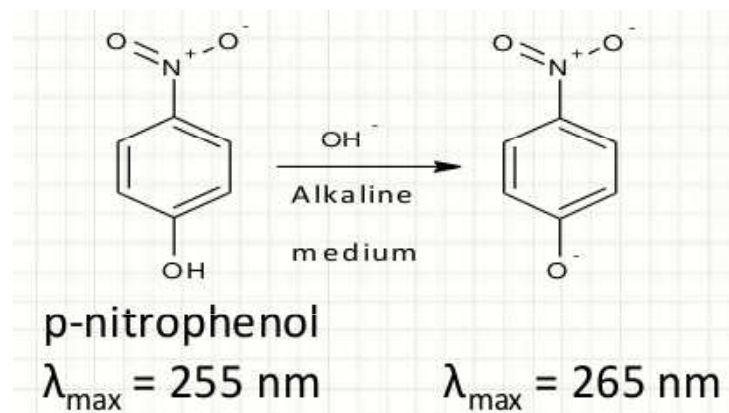
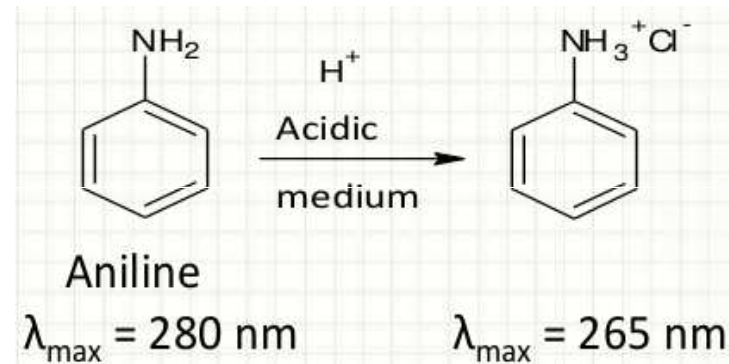
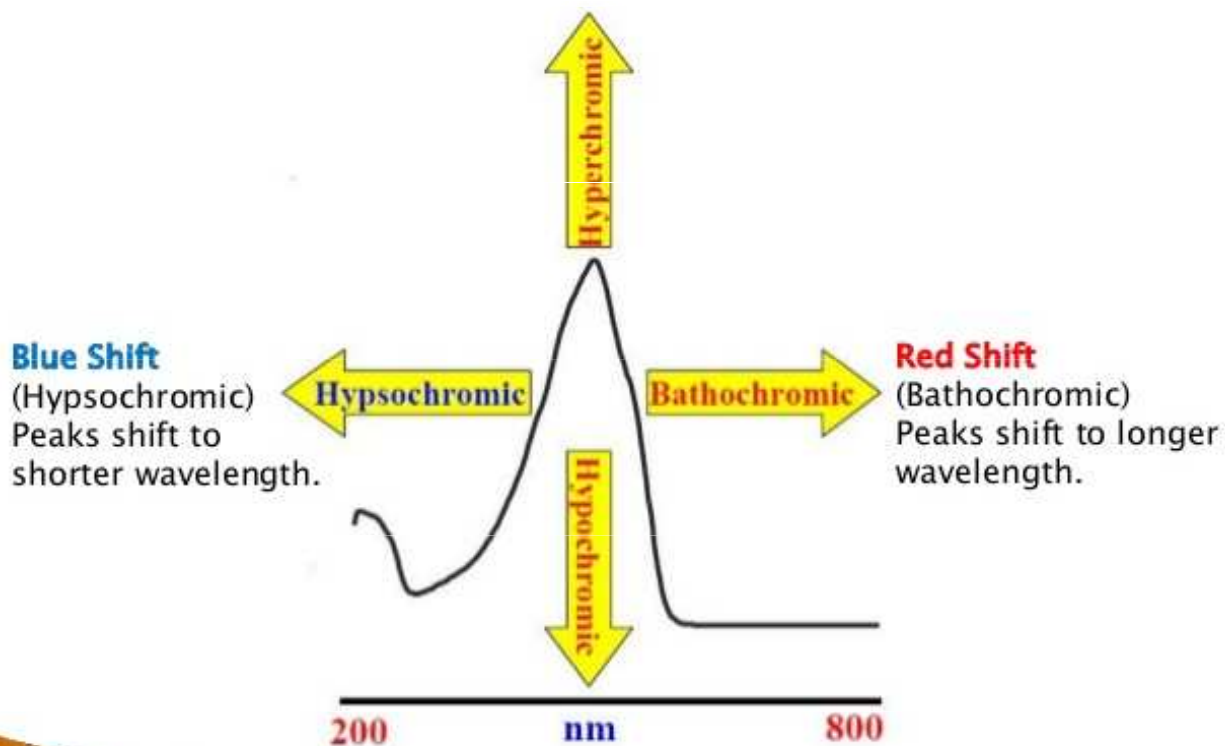
Barva souvisí s rozsahem konjugovaného systému

Lycopene:



$$\lambda_{\max} = 114 + 5(8) + 11*(48.0 - 1.7*11) = 476 \text{ nm}$$

$$\lambda_{\max}(\text{Actual}) = 474.$$



Kolorimetrie

Fosfor

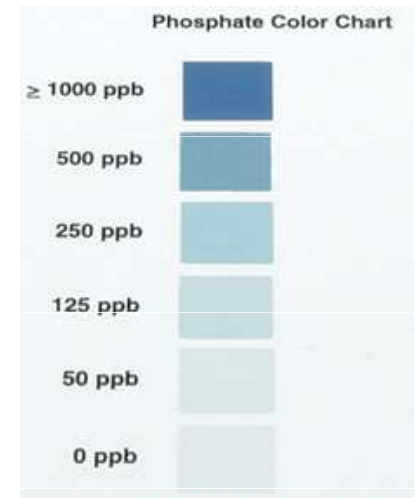
pH

Železo

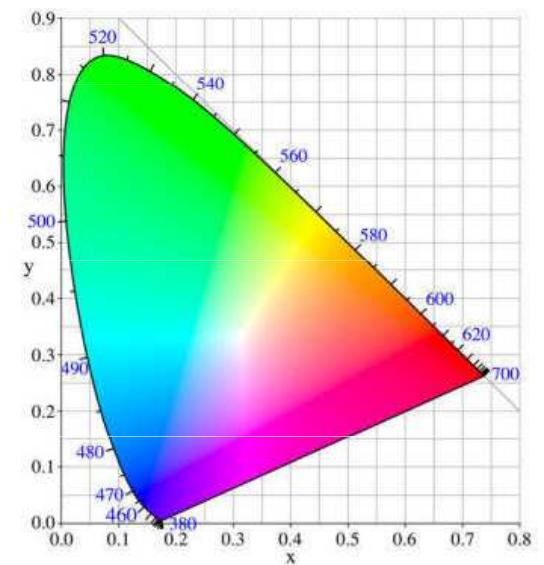
Dusík (amoniakální, nitrátový)



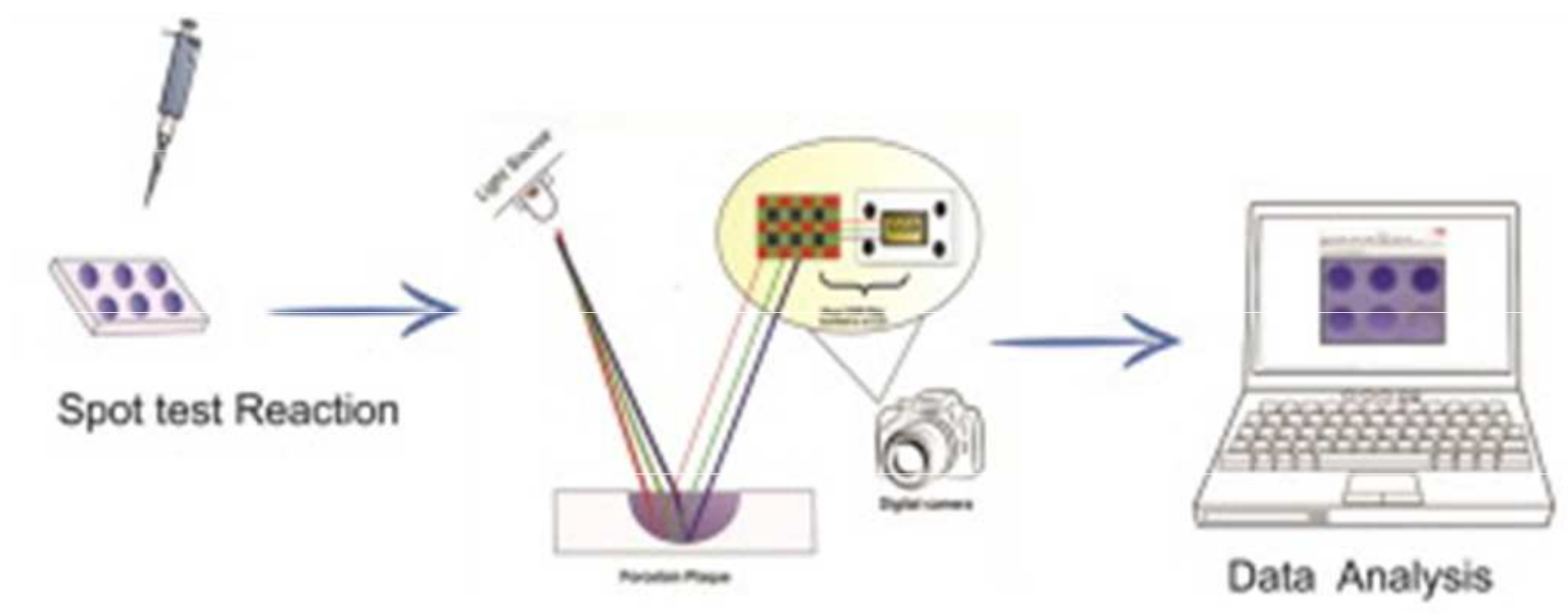
Kolorimetrie



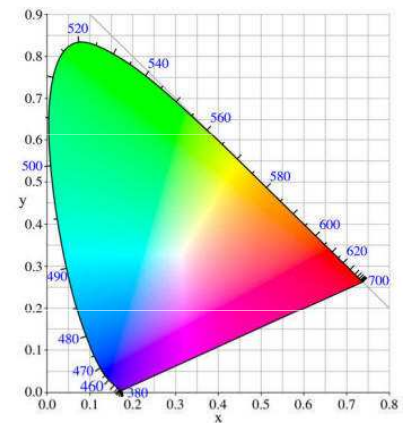
Signal processing



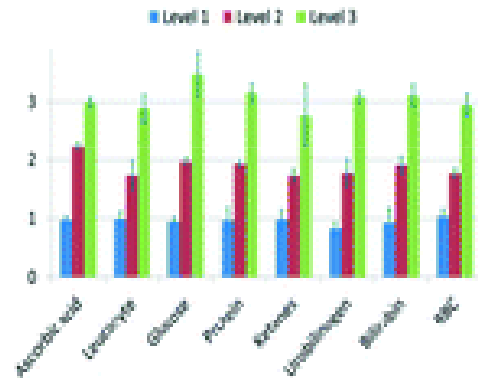
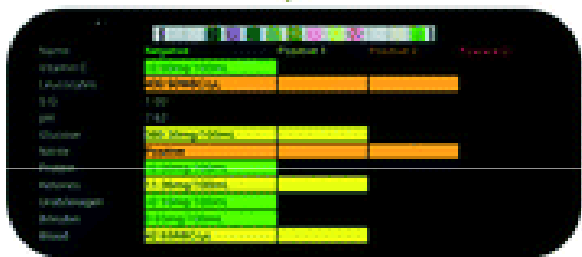
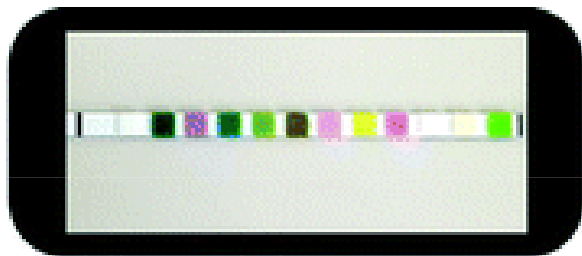
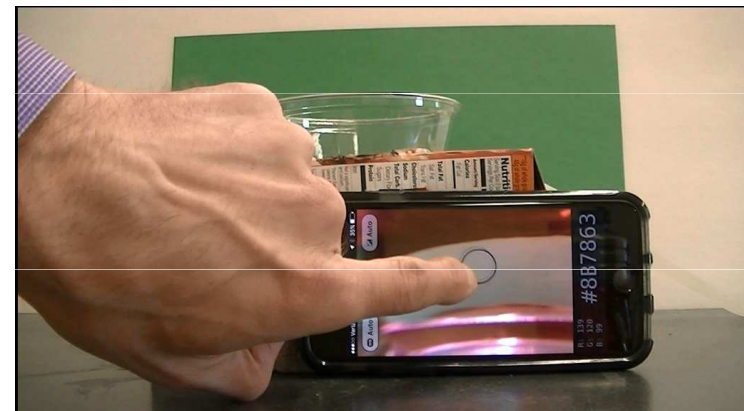
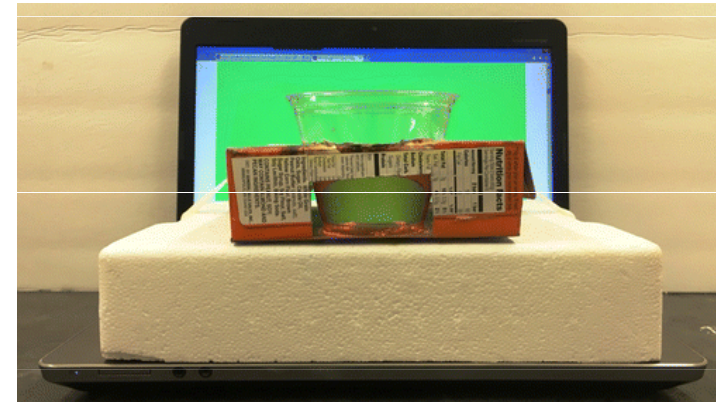
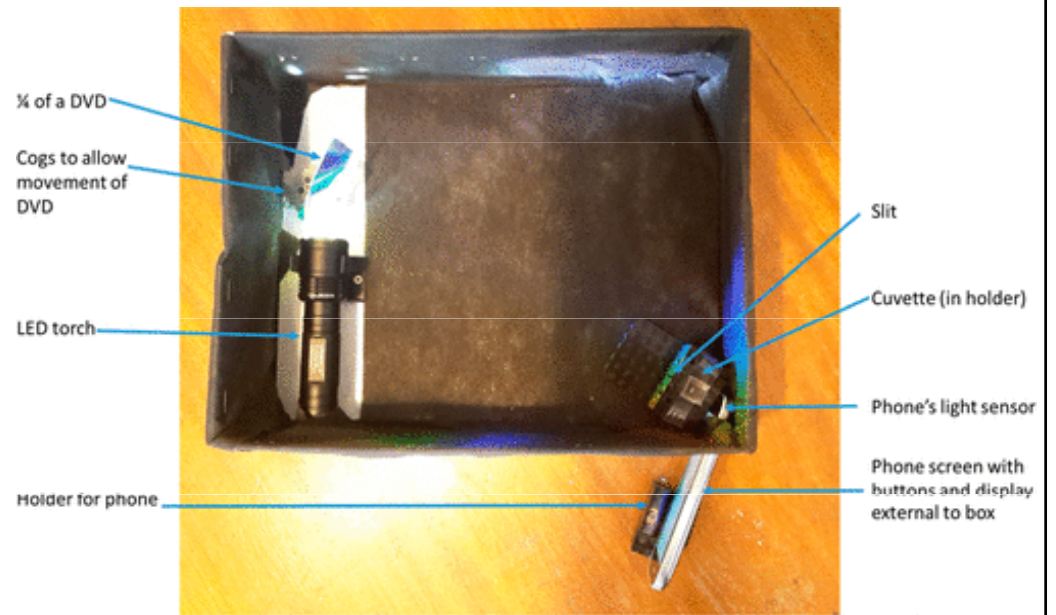
Kolorimetrie



Signal processing



Kolorimetrie - aplikace mobilního telefonu



Atomová absorpční spektrometrie

Roztoková analýza

destruktivní

V plameni

V kyvetě

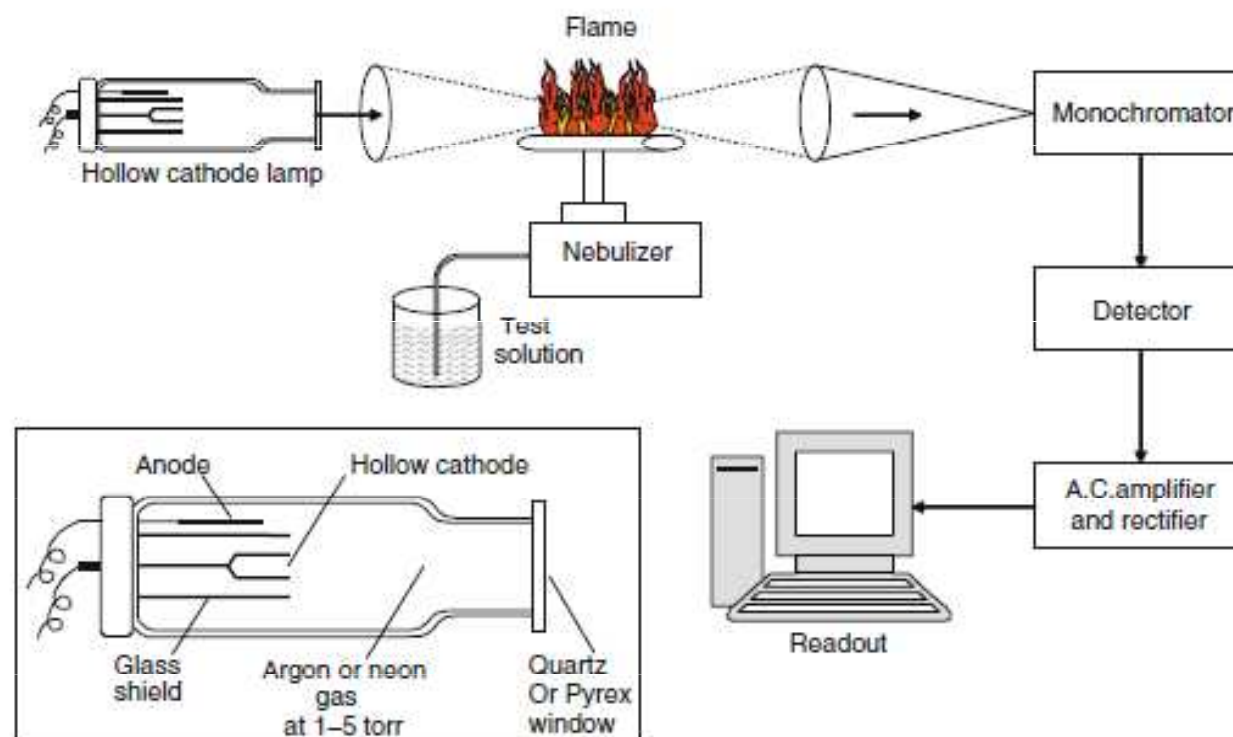
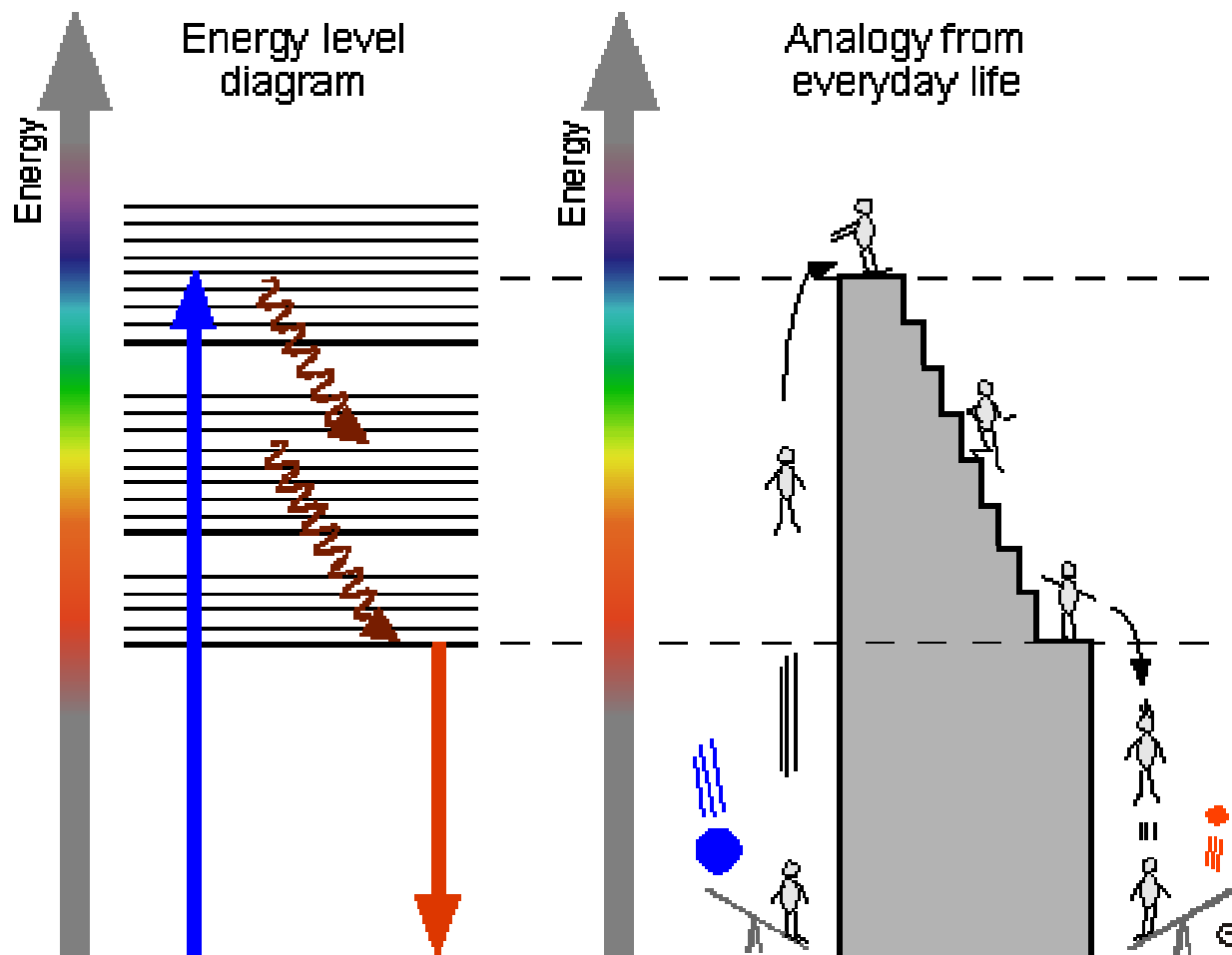


Fig. 34.1 Atomic absorption with hollow cathode lamp (From SKOOG. Principles of Instrumental Analysis, 5E. © 1998 Brooks/Cole, a part of Cengage Learning, Inc. Reproduced by permission. www.cengage.com/permissions)

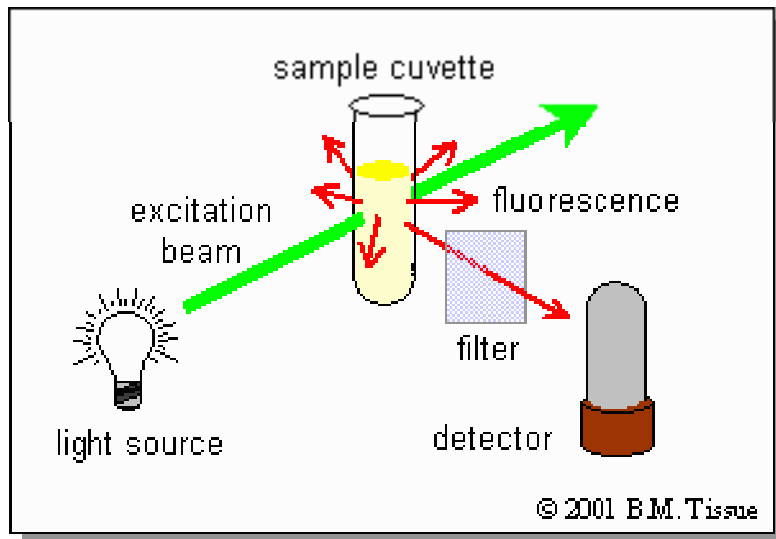
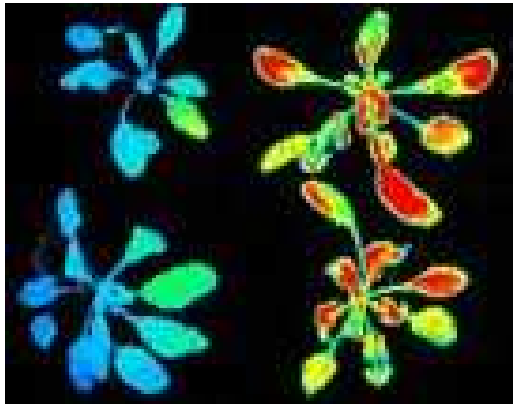
Fluorescence

Absorption, Nonradiative Relaxation and Luminescence

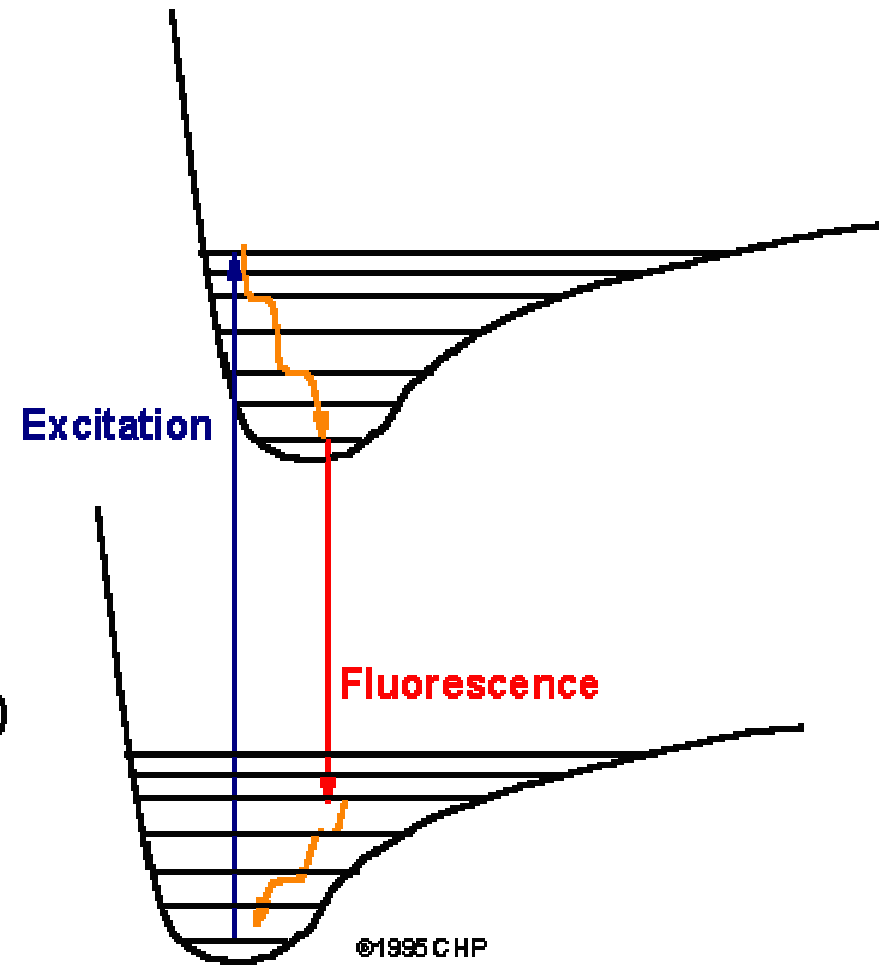
Making **heat** and 1x **red** out of 1x **blue**

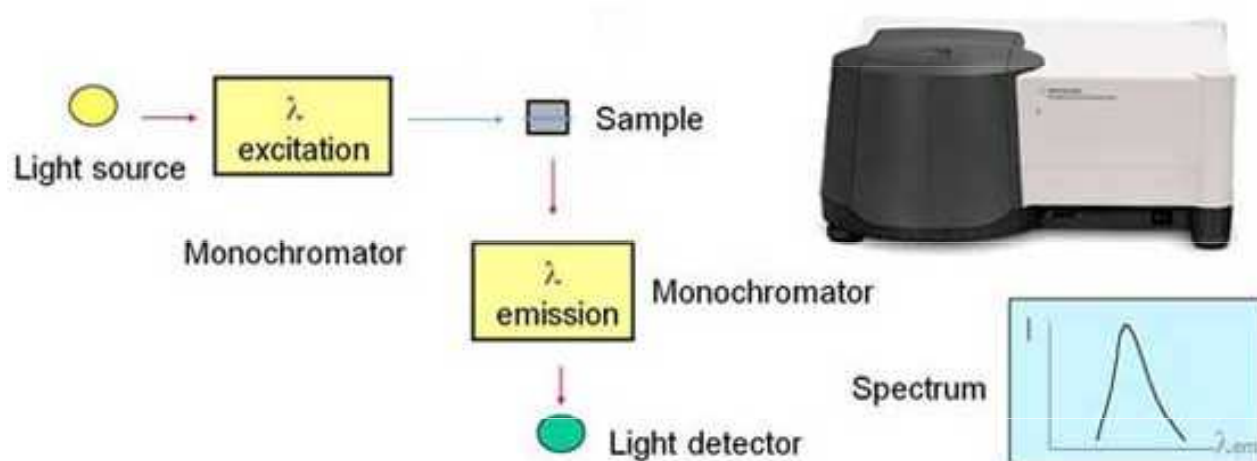
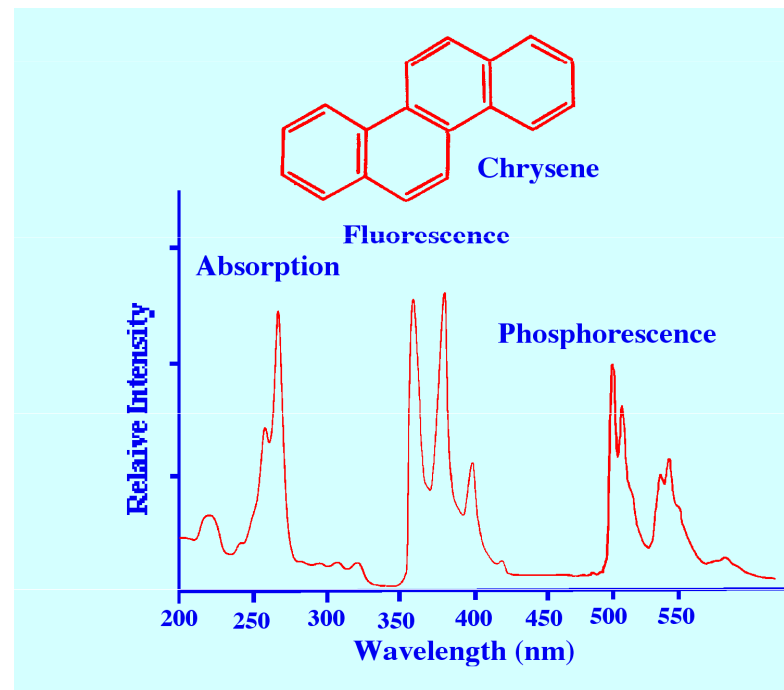
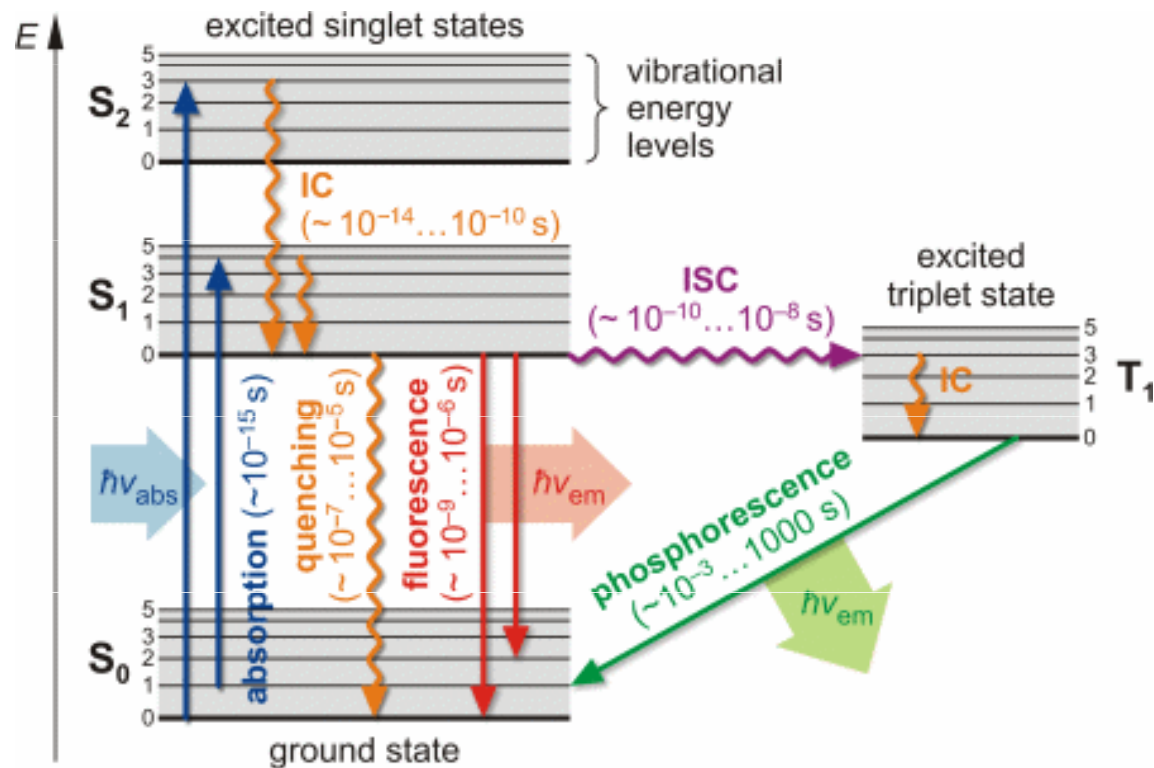


Fluorescence



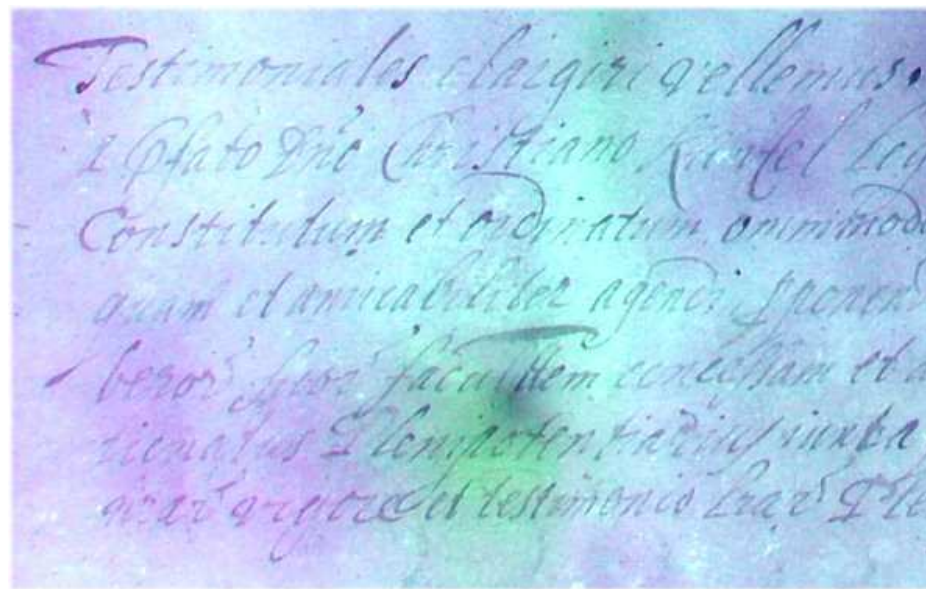
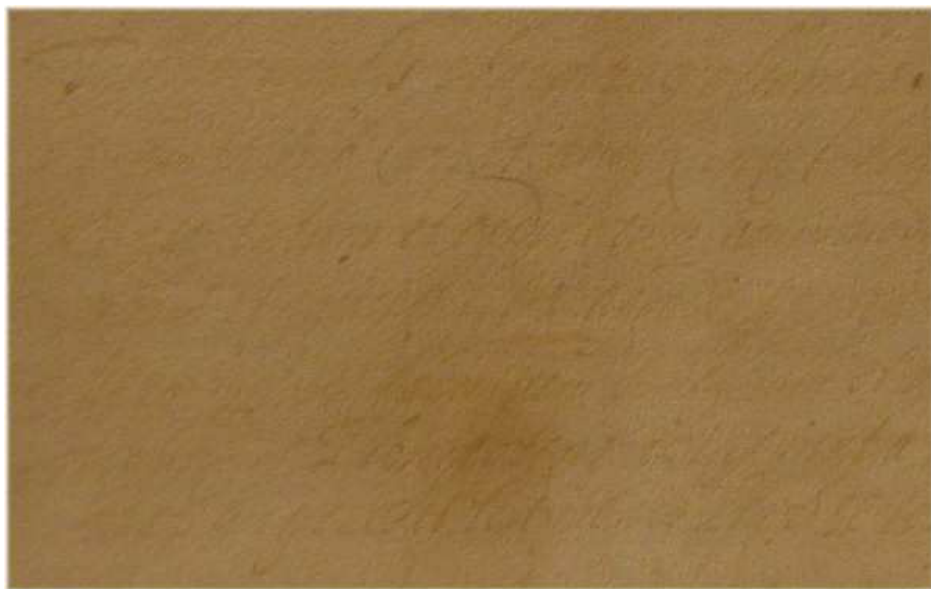
Excited State (S_1)



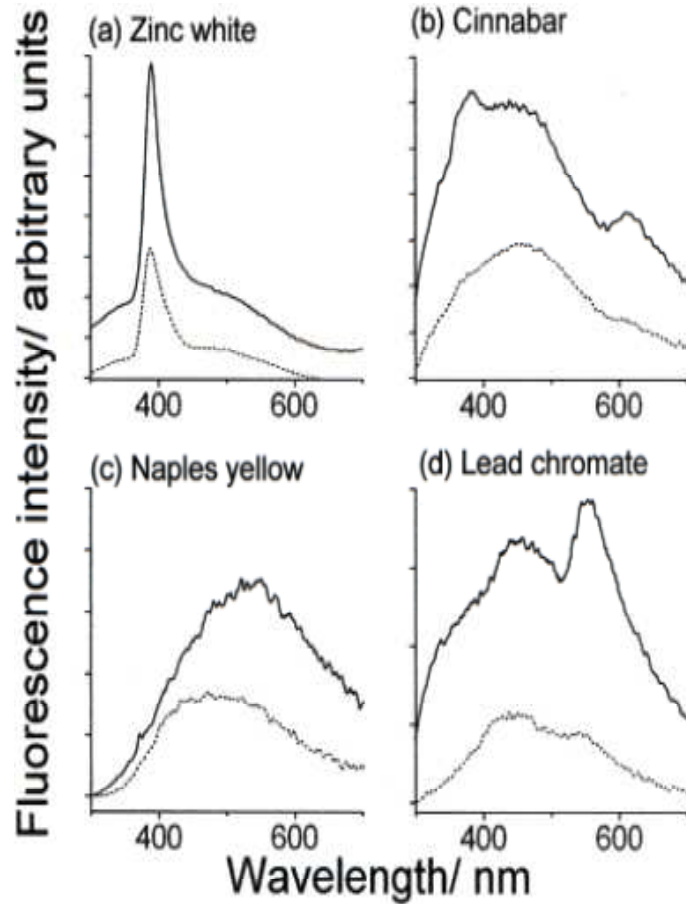


Fluorescence v UV světle

Aplikace ultrafialové fluorescence - zviditelnění časem degradovaného textu



Pigmenty

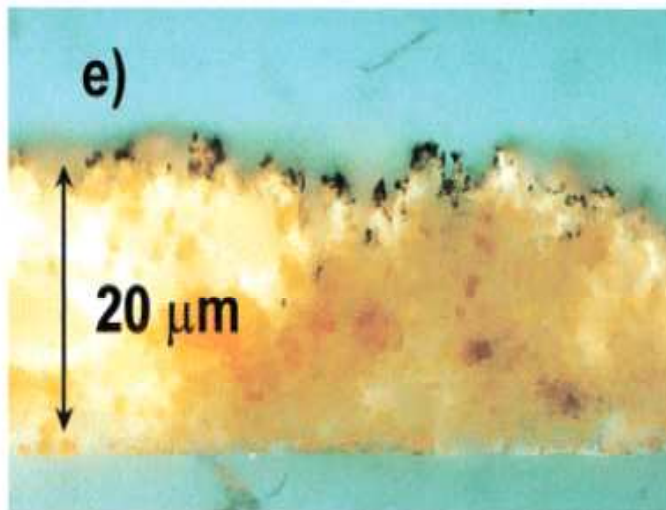


LIF spectra of unvarnished tempera systems taken at a resolution of 1 nm with a laser fluence of 1.2 mJ cm⁻²:

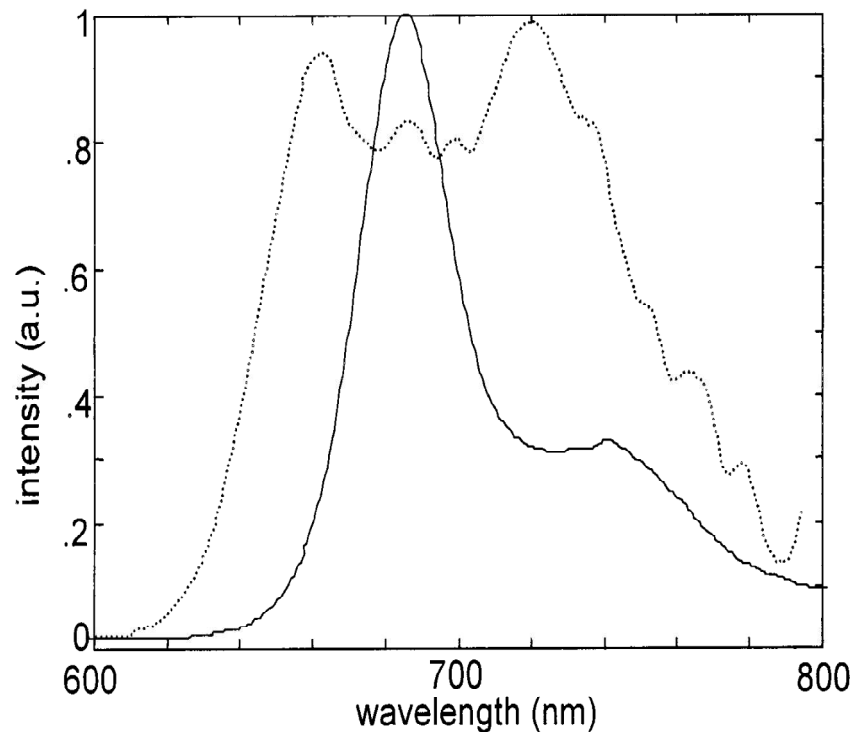
(a) zinc white,
(b) cinnabar,
(c) Naples yellow, and
(d) lead chromate.

The exciting laser wavelength is 248 nm.

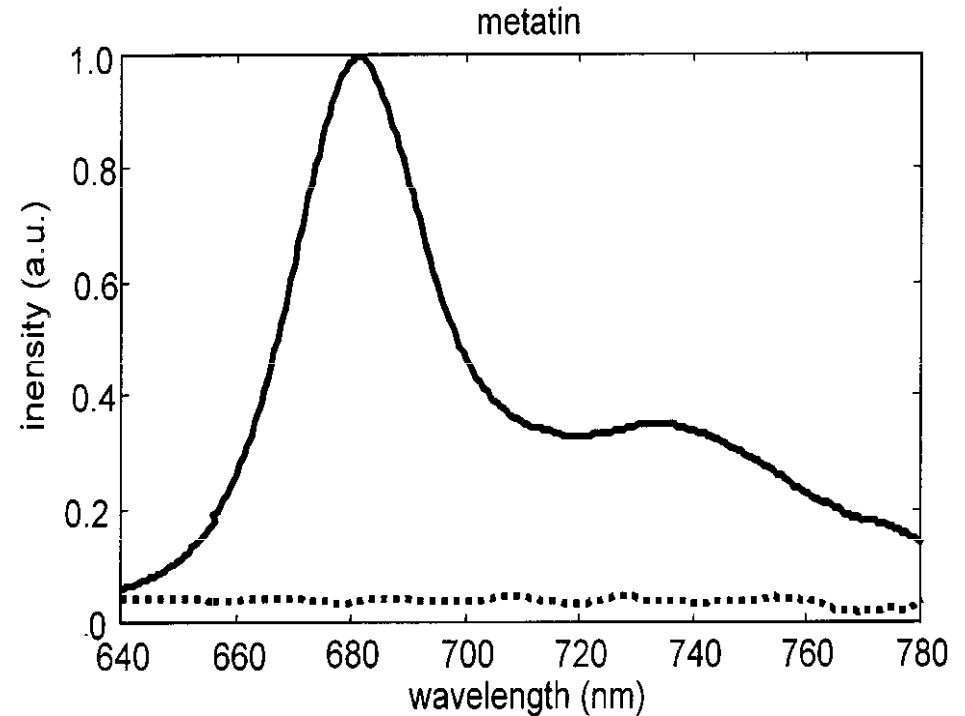
(e) UV fluorescence image of a cross section of an unvarnished laser-ablated region of a Naples yellow tempera sample. (Magnification is 500).



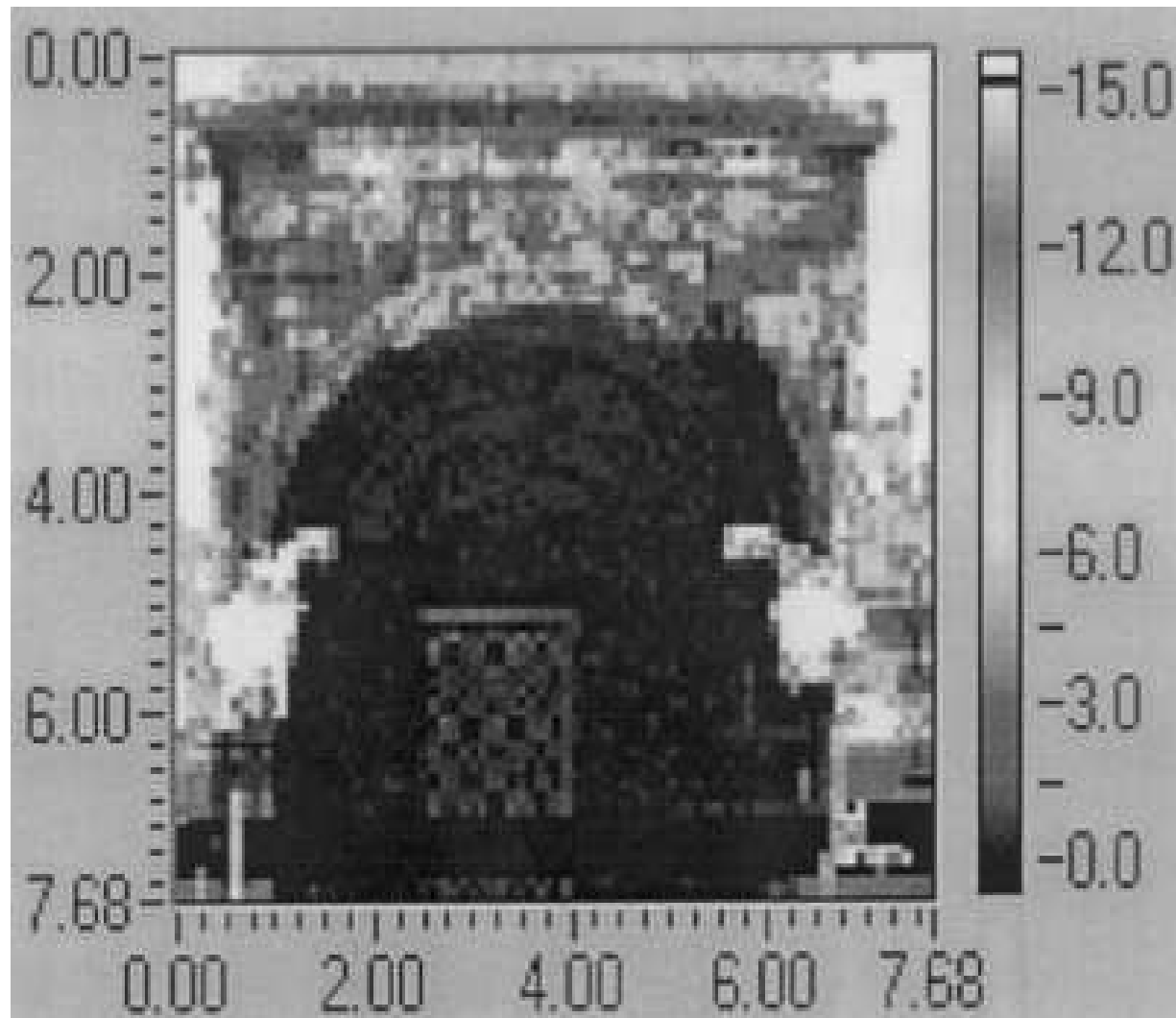
Detekce mikroorganismů



Normalised LIF spectra of green algae (continuous line) and cyanobacteria (dotted line). Excitation 355 nm.

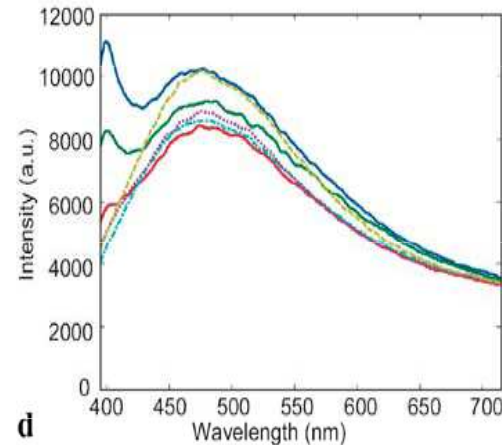
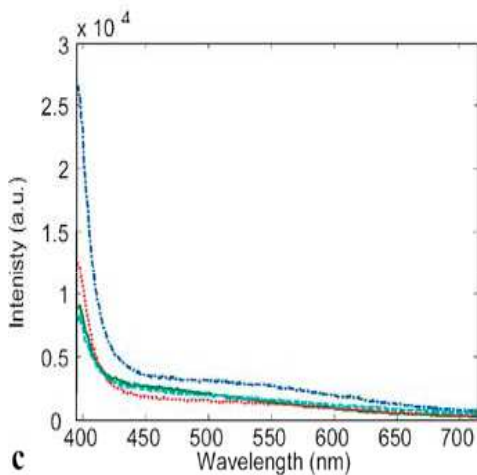
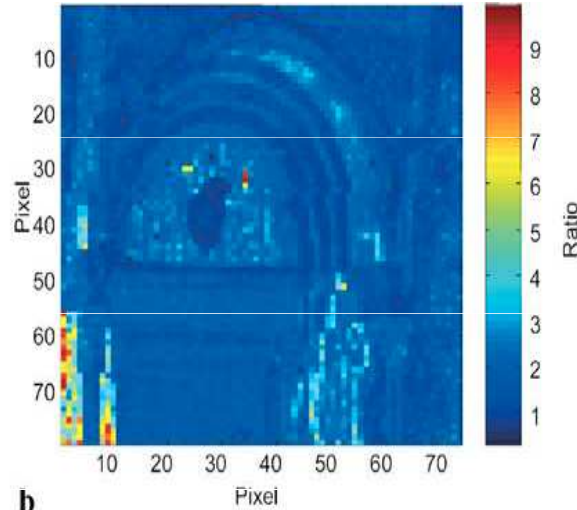
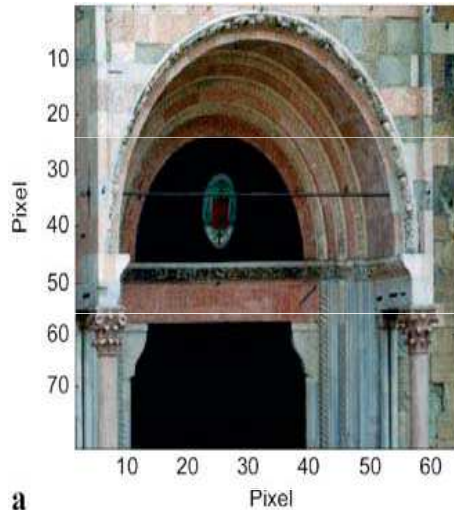


Fluorescence spectra of green algae on a marble substrate. Before a biocidal treatment (continuous line) and after (dotted line). Excitation wavelength 355 nm.



Fluorescence image related to the alga colonisation on the northern portal of **Lund Cathedral**. The intensity of the chlorophyll fluorescence in the band around 685 nm is indicated in grey levels and makes evident the important biodeteriogen colonisation on the stone surface.

Katedrála v Parmě

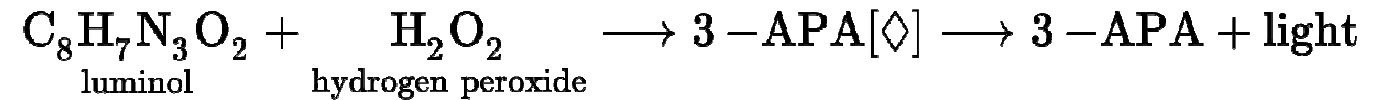


a a picture of the area investigated;
b the thematic map obtained from the ratio between the integrated area in the range 396 to 408 nm and the integrated area in the range 409 to 450 nm (the *yellow-red areas* in the image indicate areas subject to protective treatment); **c** fluorescence spectra taken from the bottom left area of the protiro and referring to those pixels of the thematic map in **b** where the protective treatment was strongly present (*yellow-red pixels*); and **d** fluorescence spectra taken in the bottom right area of the protiro where the protective treatment is present in a lower degree

Chemiluminescence

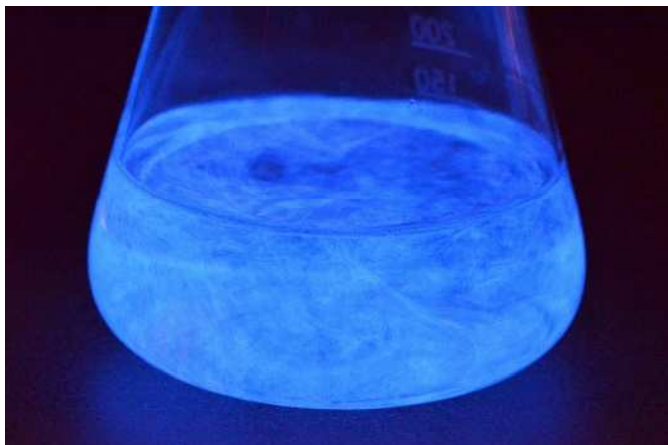
= emise viditelného záření ([luminiscence](#)) v důsledku chemické reakce.

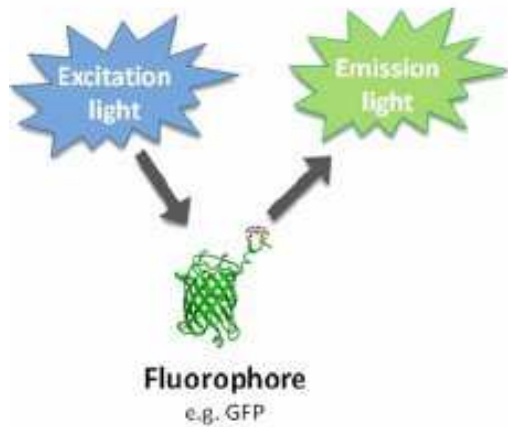
Např. [luminol](#) v přítomnosti [peroxidu vodíku](#) za přítomnosti vhodného katalyzátoru:



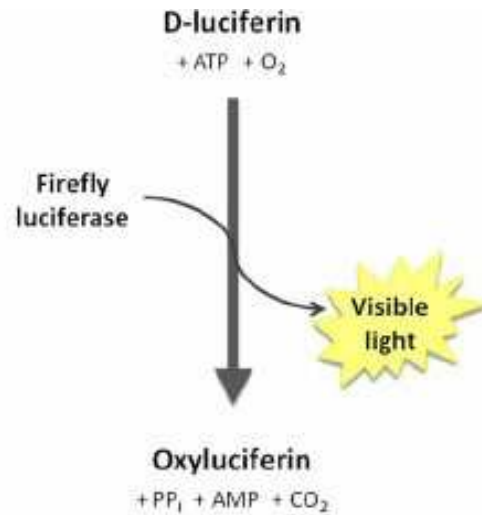
kde:

- 3-APA je [3-aminophthalate](#)
- 3-APA[\diamond] is the [vibronic](#) excited state fluorescing as it decays to a lower energy level.





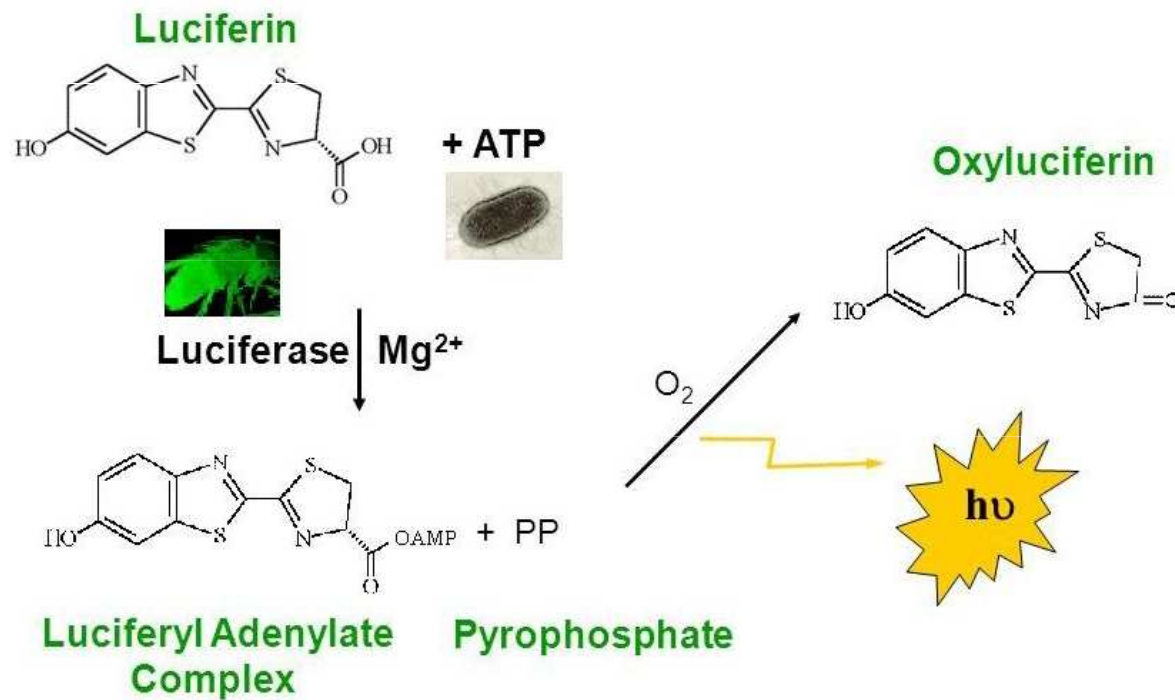
Fluorescence



Bioluminescence



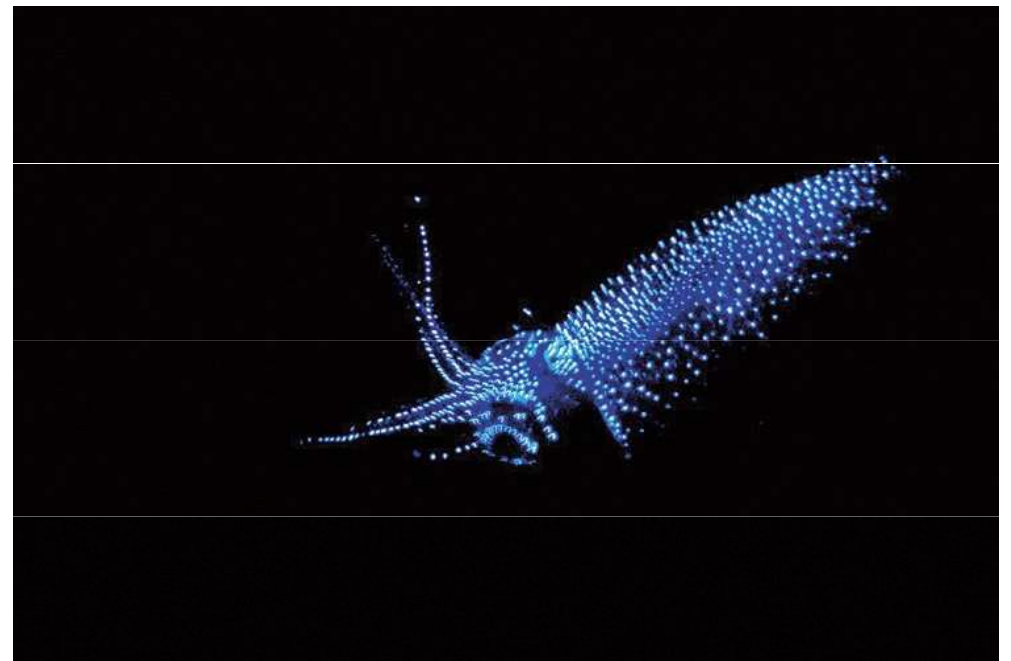
Lampyris noctiluca (světluška větší)



Pyrophorus noctilucus (kovařík cucujo)



Svítivník malozubý (*Pachystomias microdon*)
svítí červeným světlem



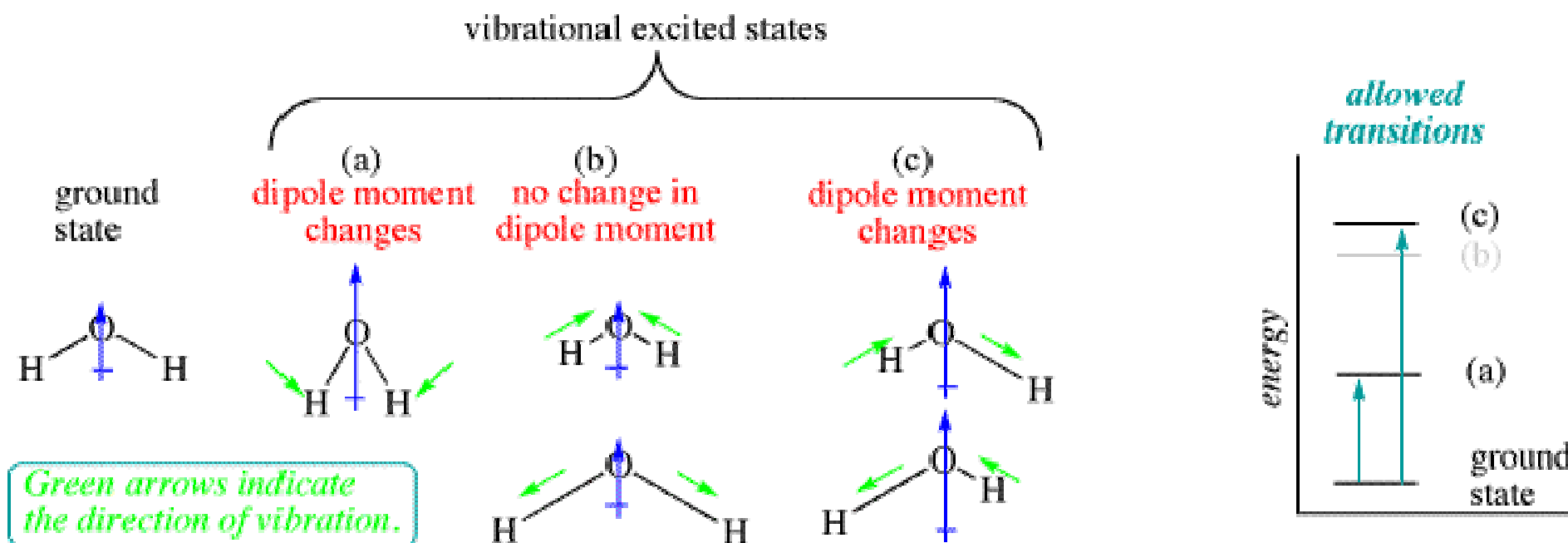
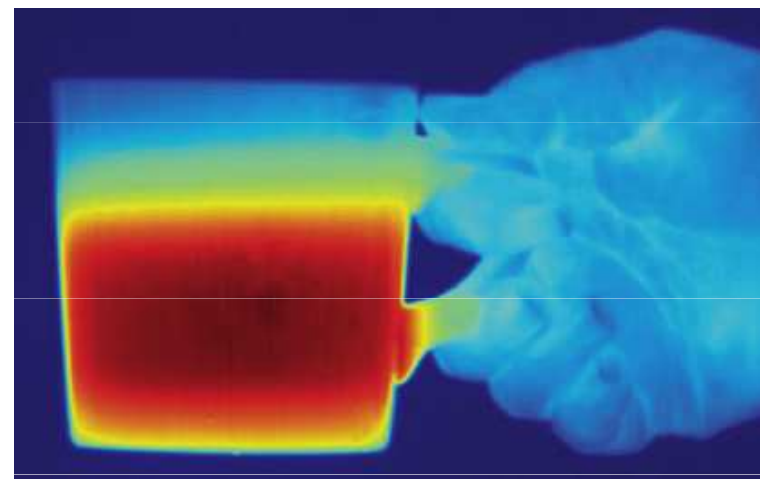
Kalmar galérový
(*Cranchia scabra*)

Hlubinná krakatice *Watasenia scintillans* v normálním
světle a "rozsvícená" v temné hlubině



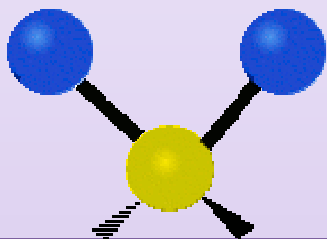
Infračervené záření (IR)

= tepelné záření, neviditelné okem, jeho zdrojem je každé těleso které má teplotu vyšší než je absolutní nula. Při pohlcování se IR záření mění na vnitřní energii pohlcujícího tělesa (těleso se ohřívá).

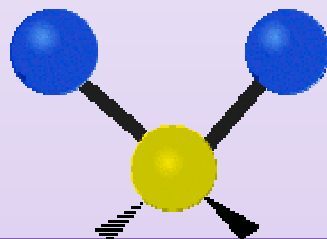


Vibrations of Molecules

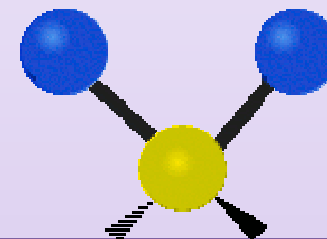
Symmetrical
stretching



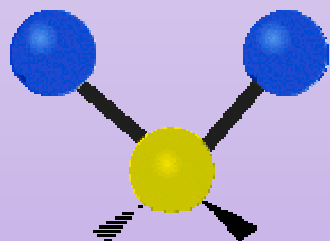
Antisymmetrical
stretching



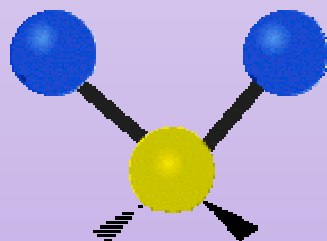
Scissoring



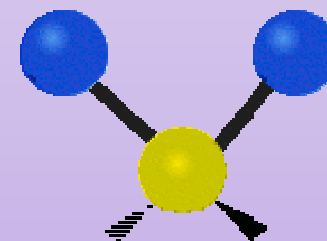
Rocking



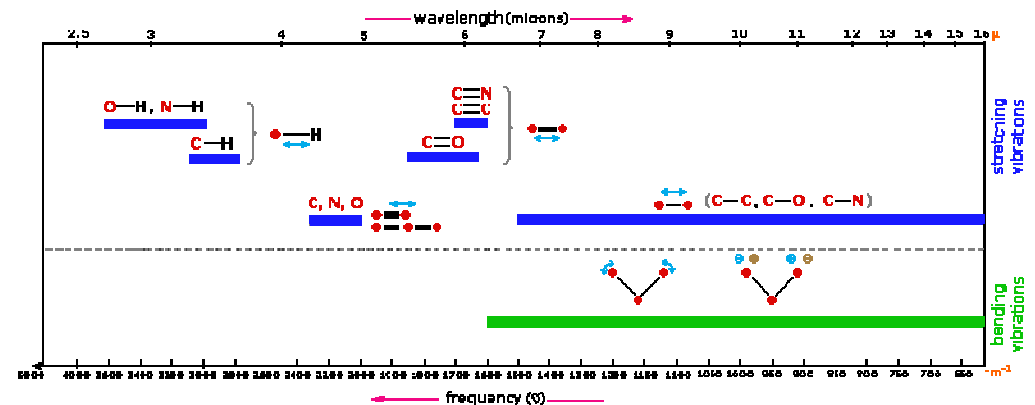
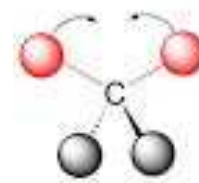
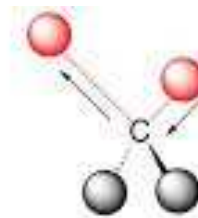
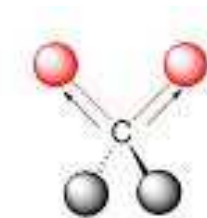
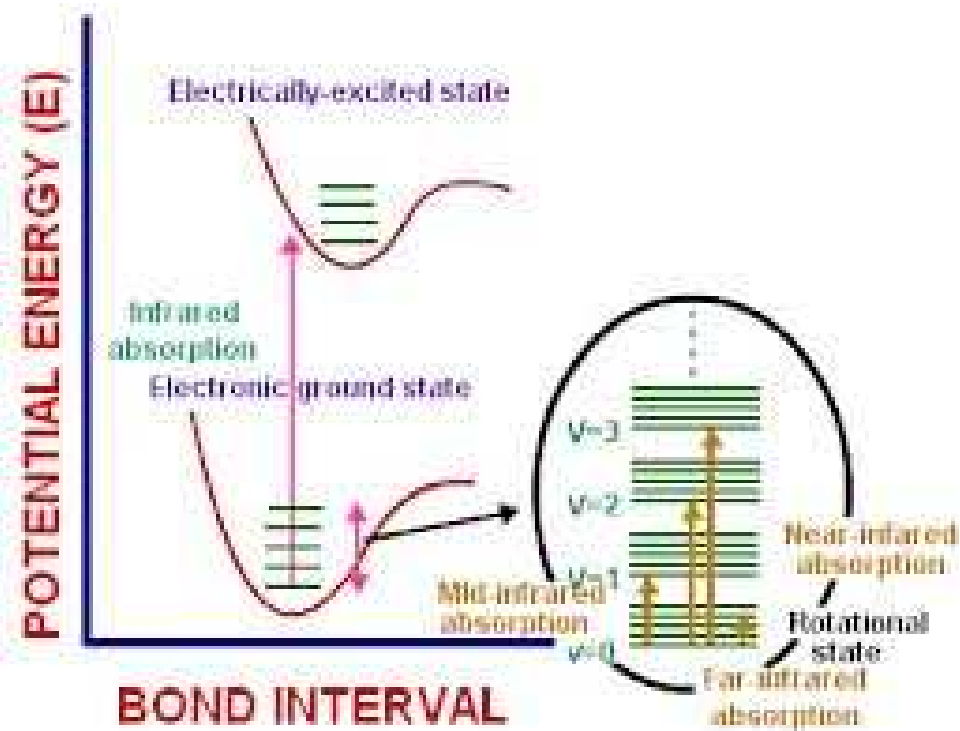
Wagging



Twisting



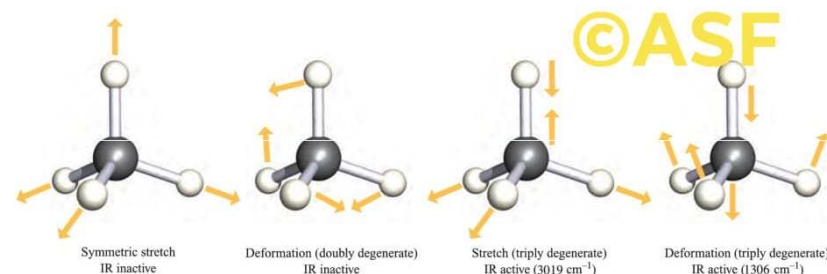
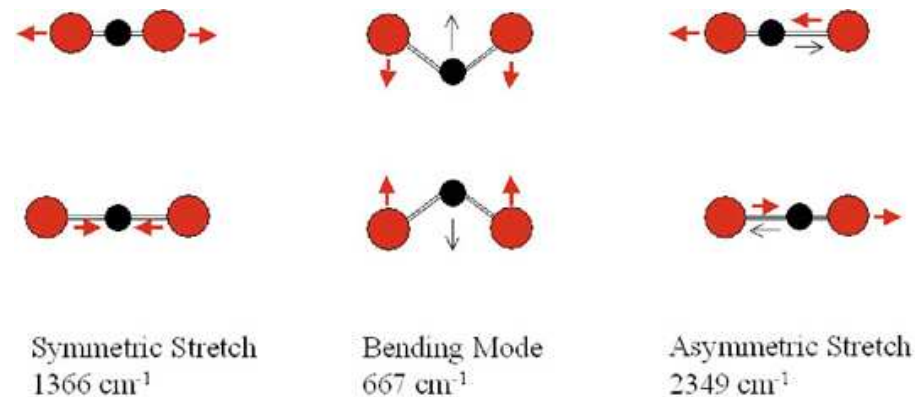
Infračervená spektrometrie (FTIR)



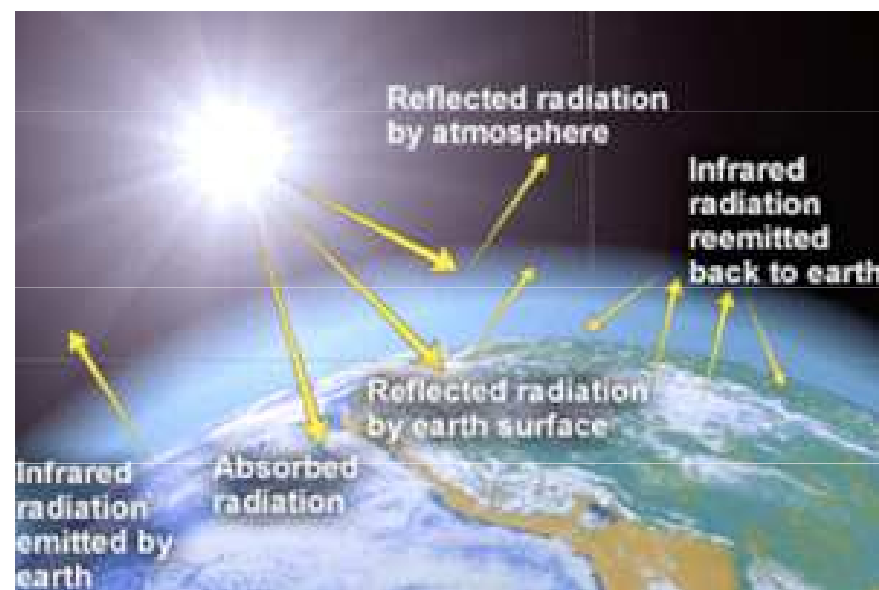
Příklad

Oxid uhličitý nemá v základním stavu molekulový dipól. Některé vibrace molekul CO_2 vytvářejí struktury s molekulovým dipólem. Z tohoto důvodu CO_2 silně absorbuje infračervené záření. Podobně se chová i *methan*, *vodní pára* a další **skleníkové plyny**. Tyto plyny absorbují infračervené záření ze zemského povrchu a emitovat je zpět ve všech směrech.

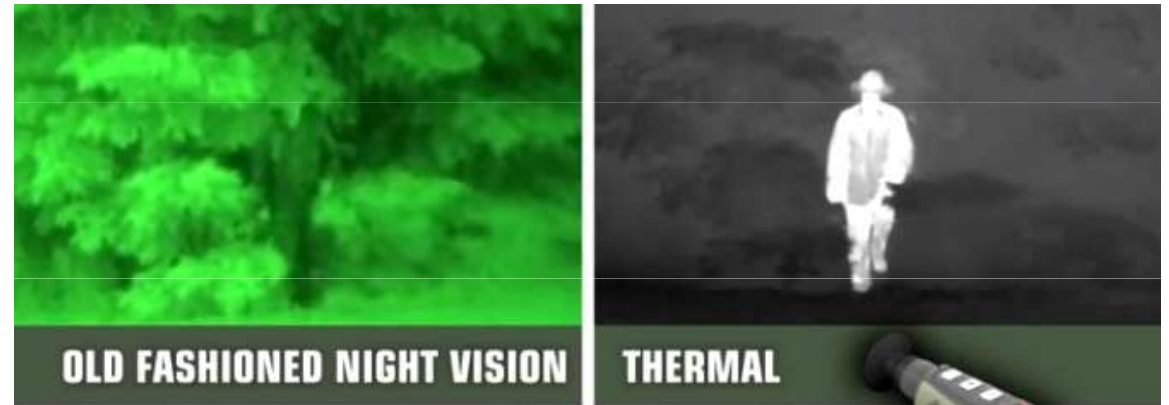
U hlavních plynů atmosféry, N_2 a O_2 , k absorpci nedochází a záření prochází atmosférou do vesmíru.



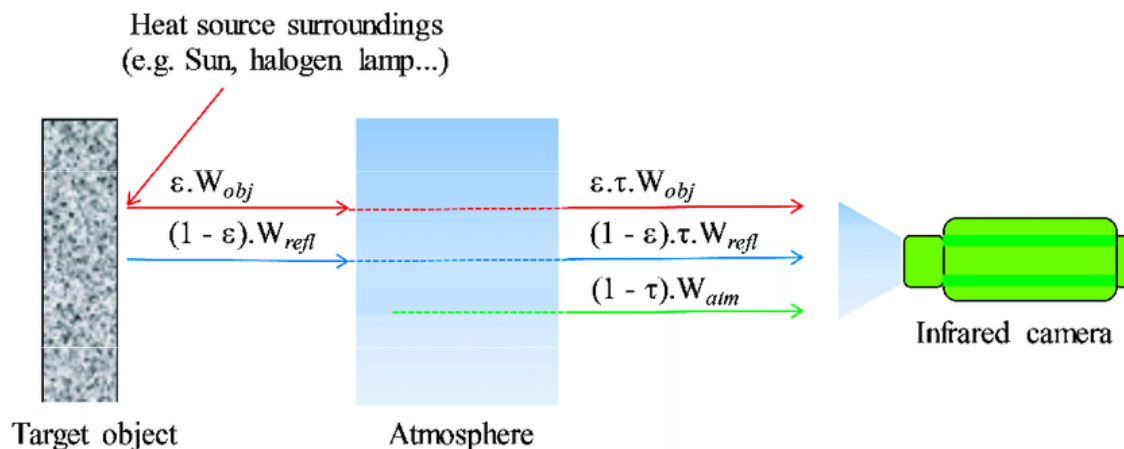
Gas	Current concentration	Residence time, in years	Relative global warming efficiency, 100-year horizon
CO_2	373 ppm	50–200	1
CH_4	1.77 ppm	12	23
N_2O	316 ppb	120	296
CFC-11	0.26 ppb	45	4600
HCFC-22	0.15 ppb	12	1700
HFC-134a	0.01 ppb	14	1300
Halon-1301	0.003 ppb	65	6900



Noční vidění a termokamery

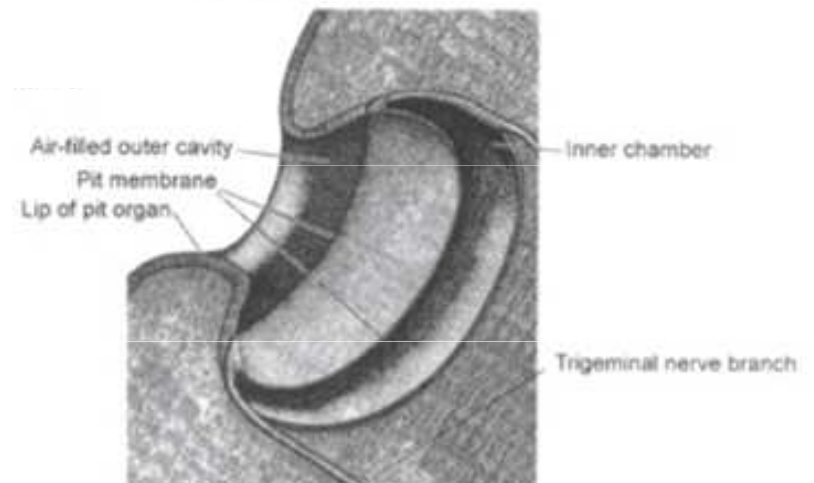
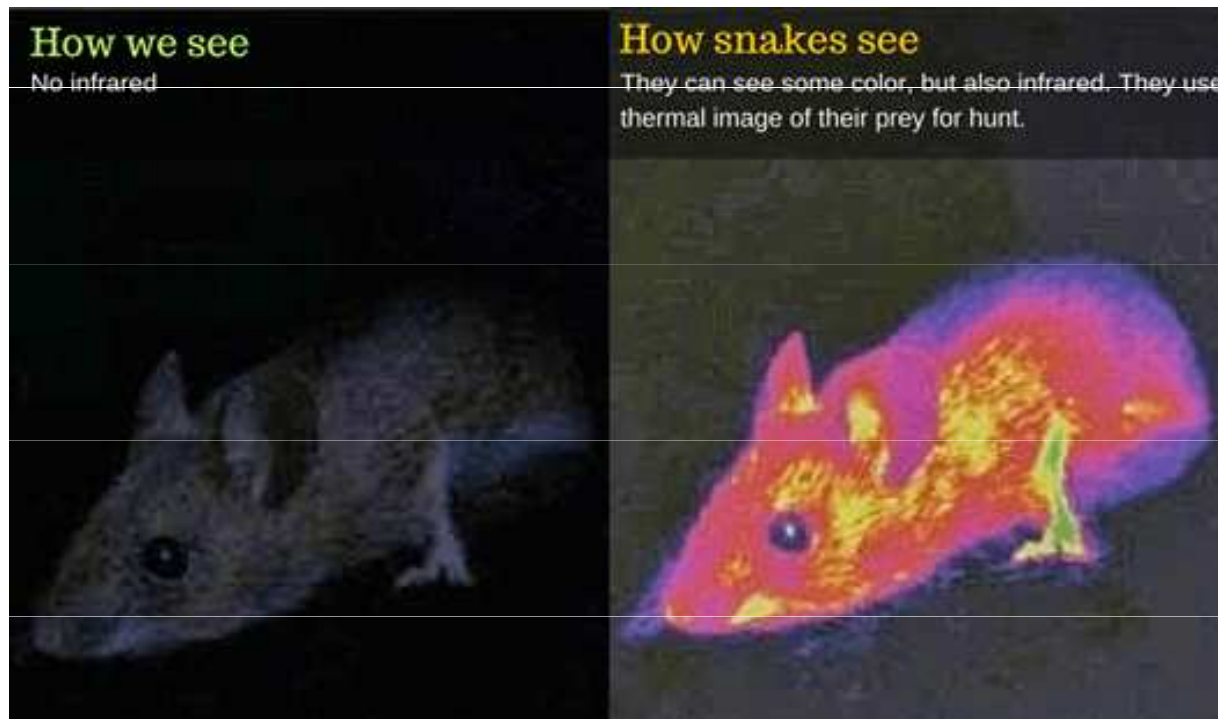
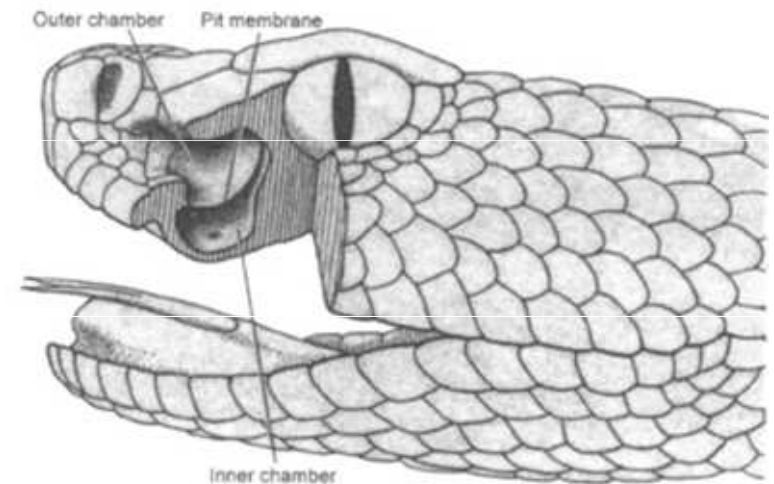


Termografie = analýza infračervené energie vyzařované tělesem. Termografickým měřicím systémem lze zobrazit teplotní pole na povrchu sledovaného objektu. Infračervené záření je pro lidské oko neviditelné, proto se termovizní snímky vizualizují za použití okem viditelných palet, které přiřazují barvu různým teplotám (různému množství tepelného toku).



Detekce infračerveného záření u hadů

Zmije, krajty a hroznýši mají na tváři otvory, tzv. jamkové orgány, které obsahují membránu schopnou detekovat infračervené záření až do vzdálenosti jednoho metru. V noci umožňují hadům "vidět" obraz predátora nebo kořisti (podobně jako infračervená kamera).



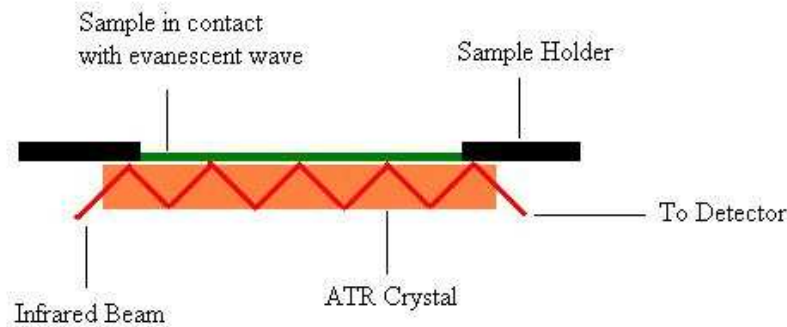


Upír obecný (*Desmodus rotundus*)

- čidlo tepelného záření se nachází v čumáku upíra, anatomicky je podobné obdobnému orgánu hadů.

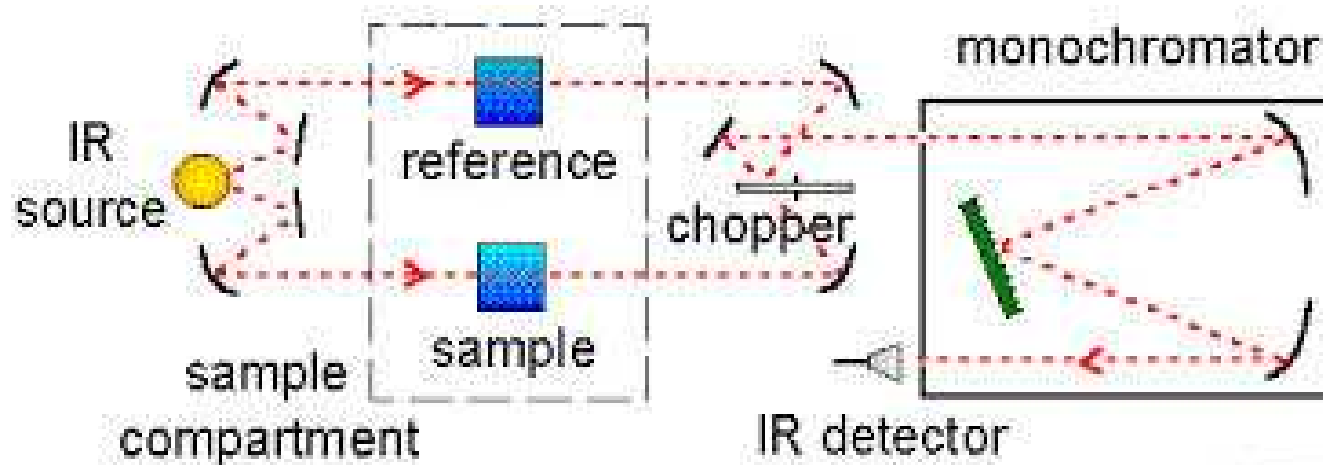


Infračervená spektrometrie



Schematic of a multiple reflection ATR system

ATR
KBr technika



Sample Preparation

➤ Gaseous samples

Long pathlength to compensate for the diluteness

➤ Liquid samples

Can be sandwiched between two plates of a salt

- sodium chloride
- potassium bromide
- calcium fluoride

➤ Solids

- KBr pellet
- Nujol mull
- Dissolving in organic solvent(CCl_4)



Infračervená spektrometrie s Fourierovou transformací (FTIR)

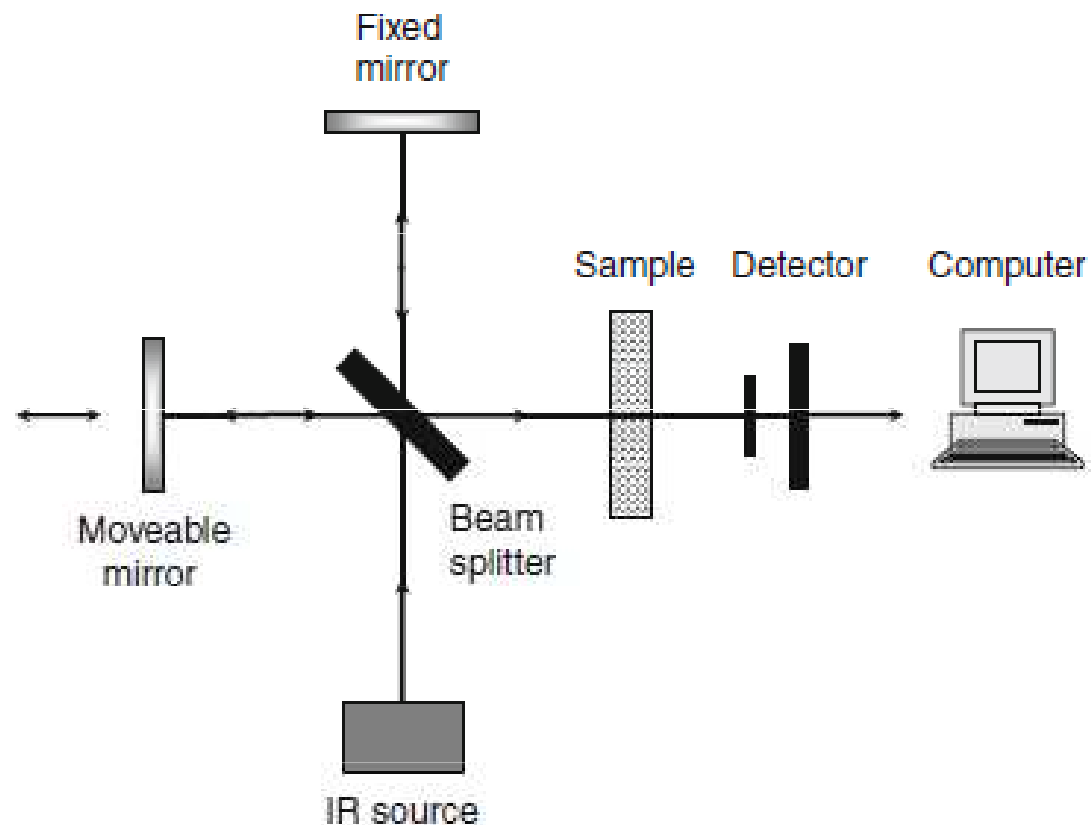
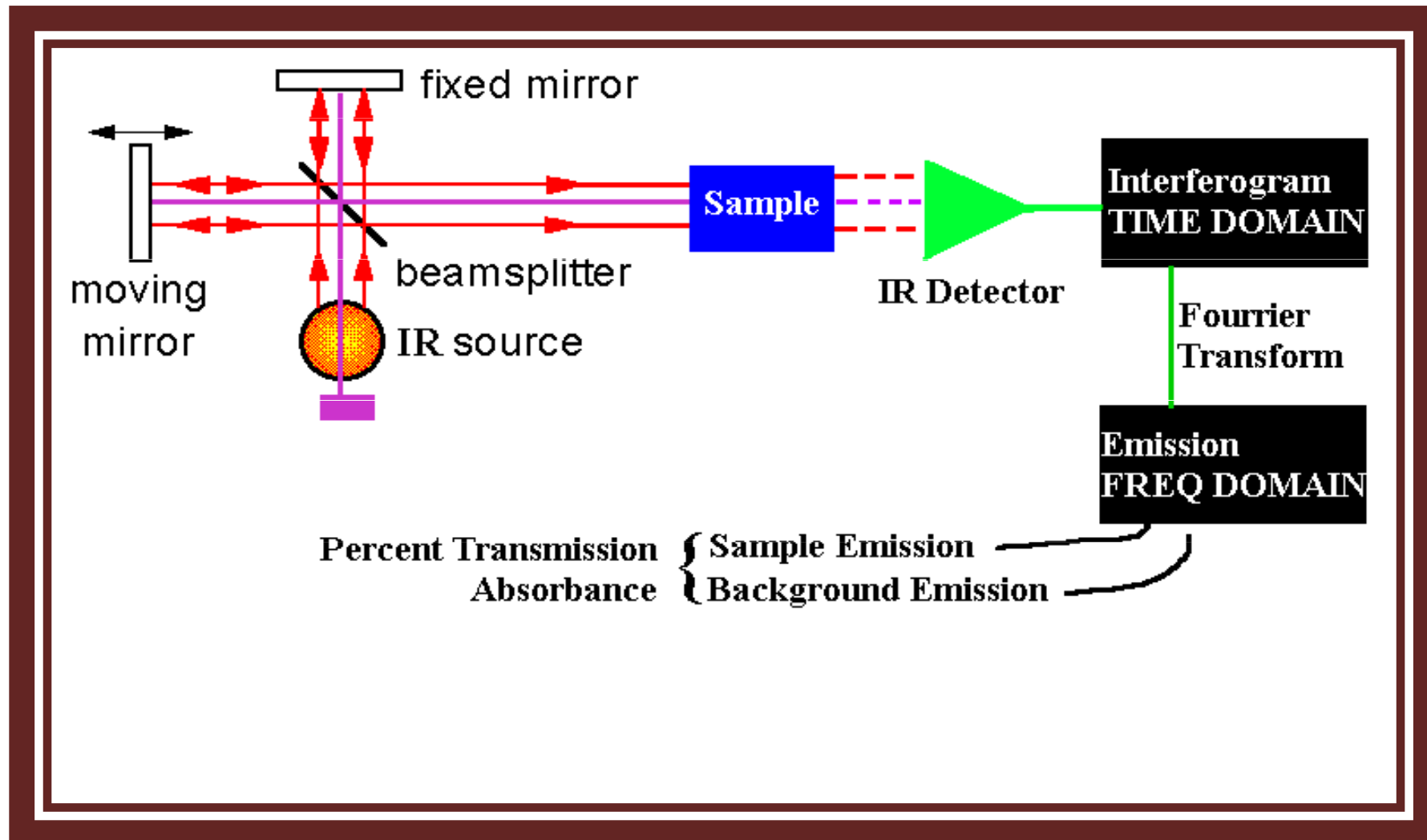
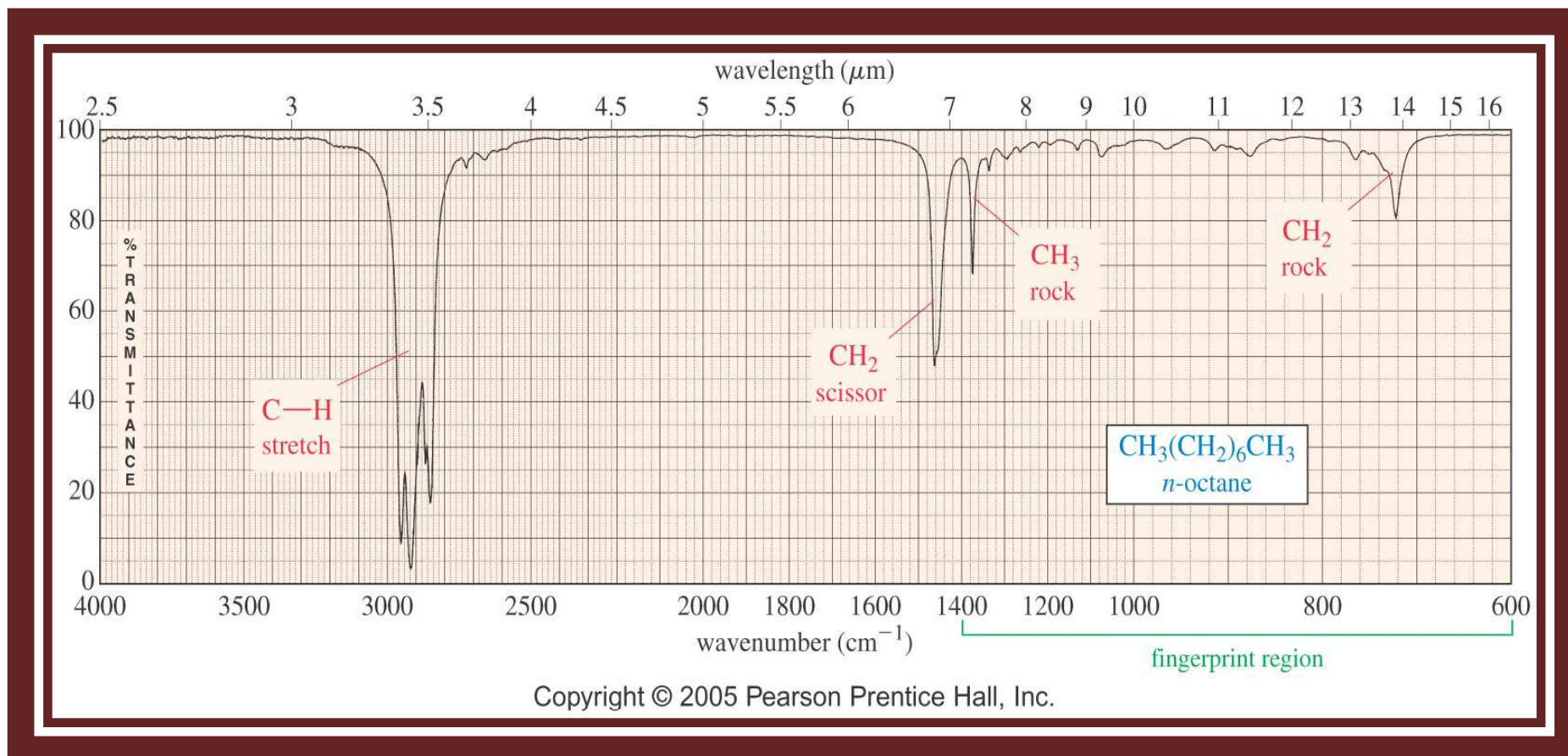


Fig. 35.6 FT-IR spectrometer with interferometer (Reprinted from "Applied Spectroscopy", Jerry Workman, Jr., page 9, Copyright 1998, with permission of Elsevier)

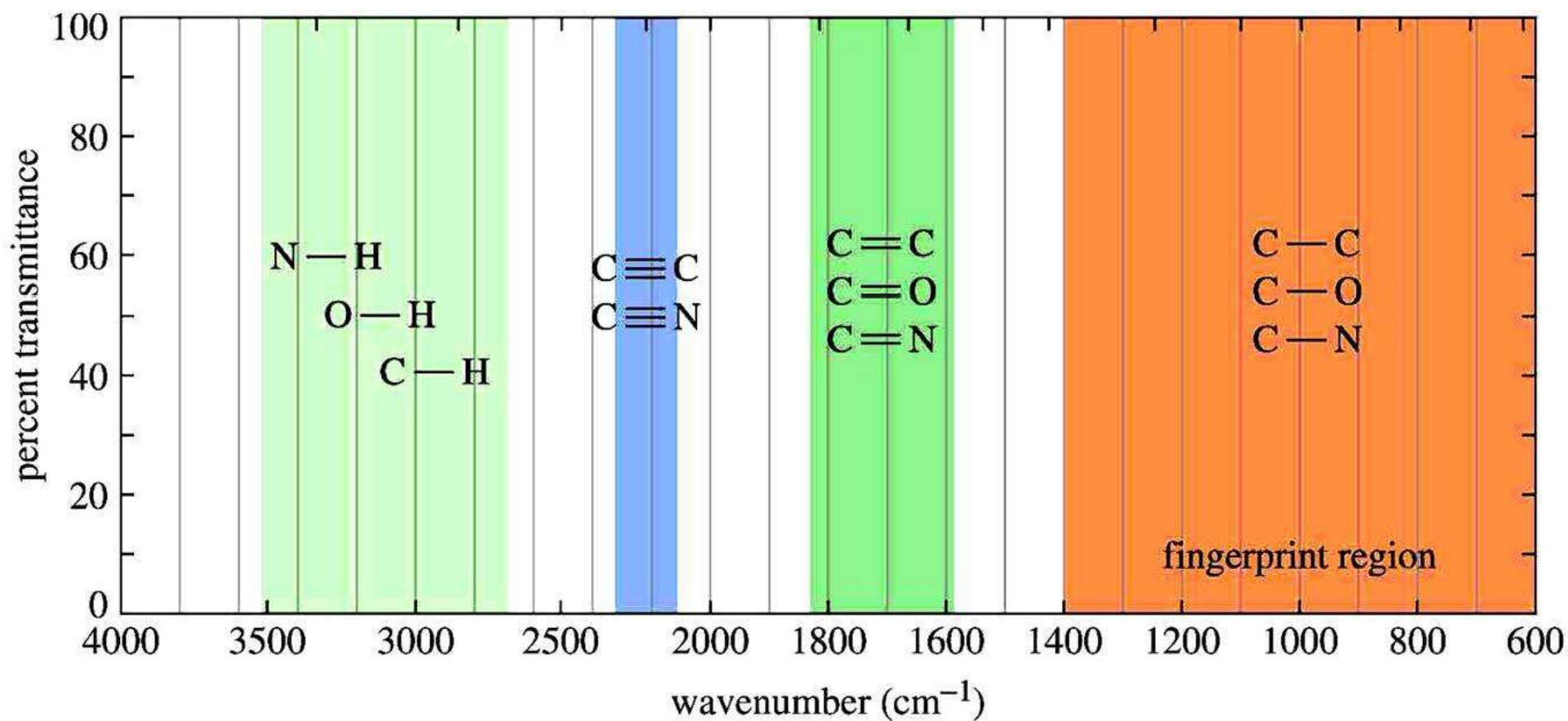
Infračervená spektrometrie s Fourierovou transformací (FTIR)



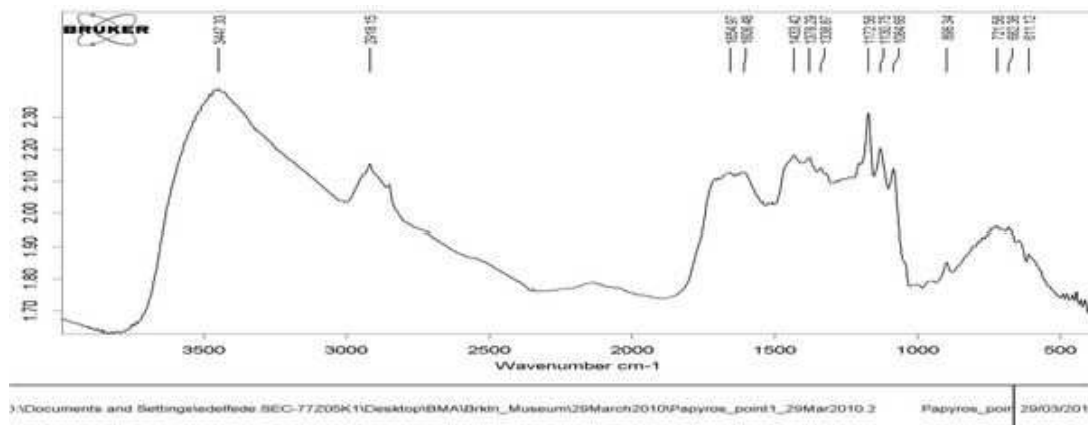
A Fourier transform converts the time domain to the frequency domain with absorption as a function of frequency.



The typical IR absorption range for covalent bonds is **600 - 4000 cm⁻¹**. The graph shows the regions of the spectrum where the following types of bonds normally absorb. For example a sharp band around 2200-2400 cm⁻¹ would indicate the possible presence of a C-N or a C-C triple bond.



Egyptská kniha mrtvých



↑
Přenosné FTIR zařízení

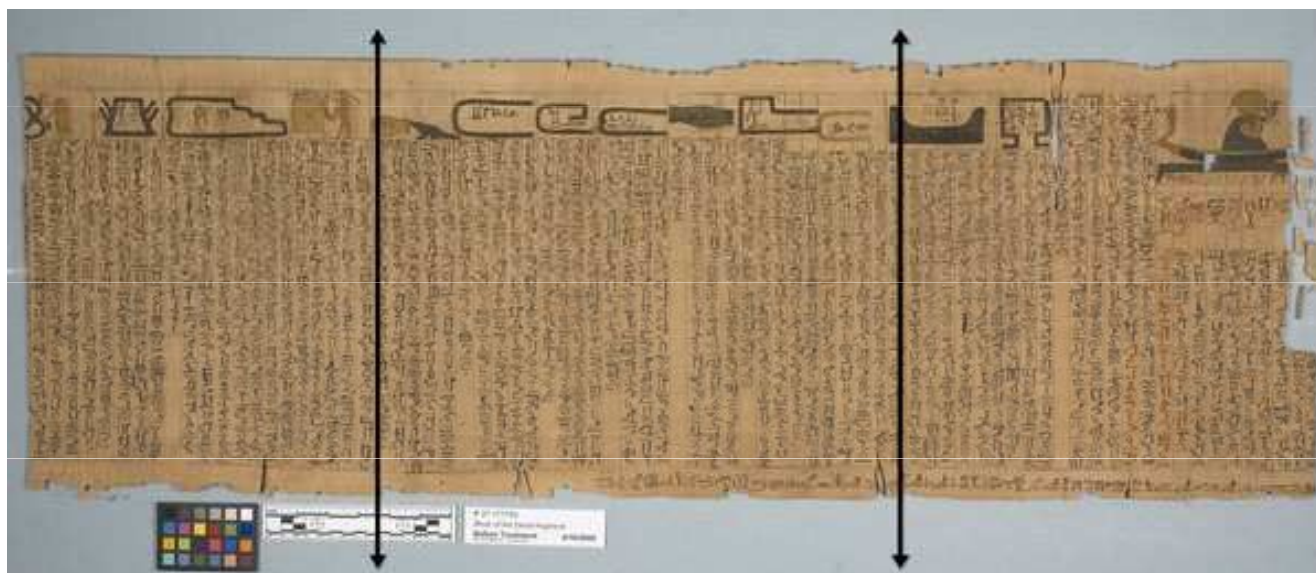




Fig. 1. The Delhi iron pillar before the construction of the iron grill cage around the stone platform.

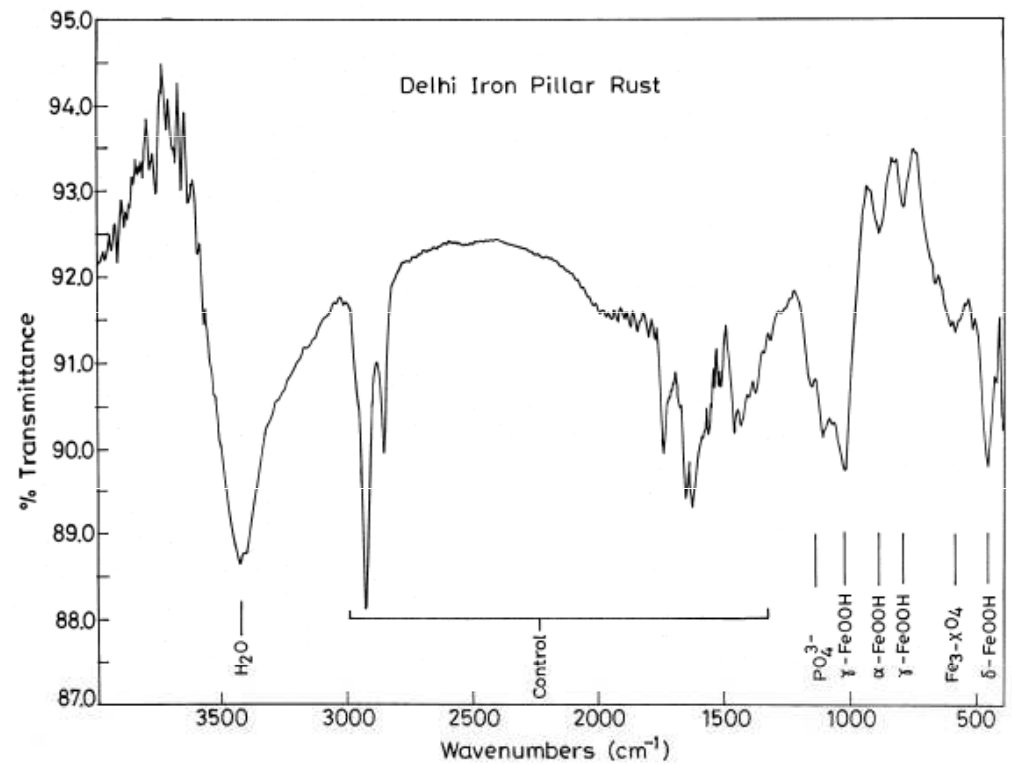


Fig. 5. FTIR spectrum from the DIP rust.

FTIR mikroskopie



Fig. 10.11. Egyptian bronze solid cast statuette of the God Osiris, inlaid with gold and blue glass. The surface has been extensively altered to massive light blue and dark green corrosion, identified as an overall patina of atacamite, with patches of chalconatronite. Frontal view. (For a colored version of this figure, see Plate 10.III.)

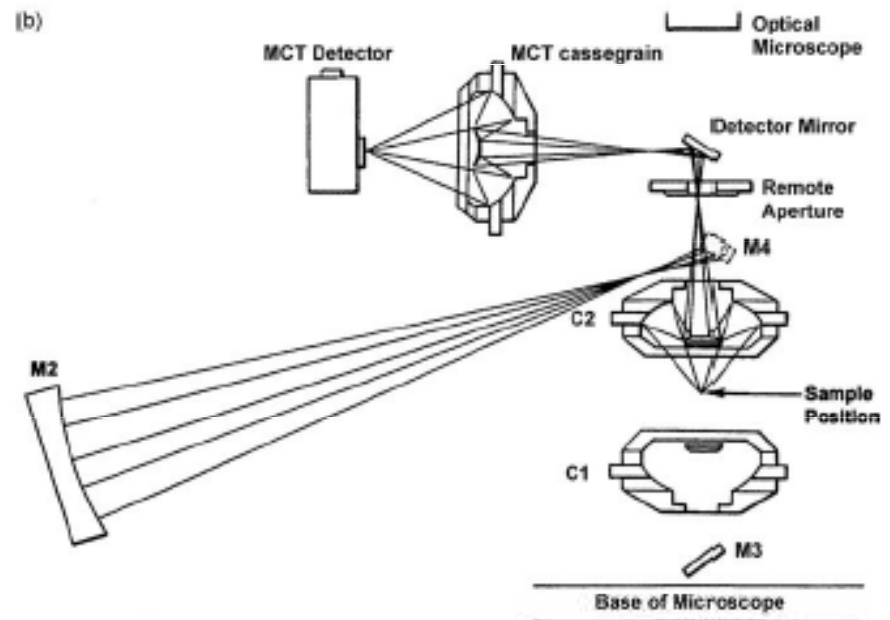
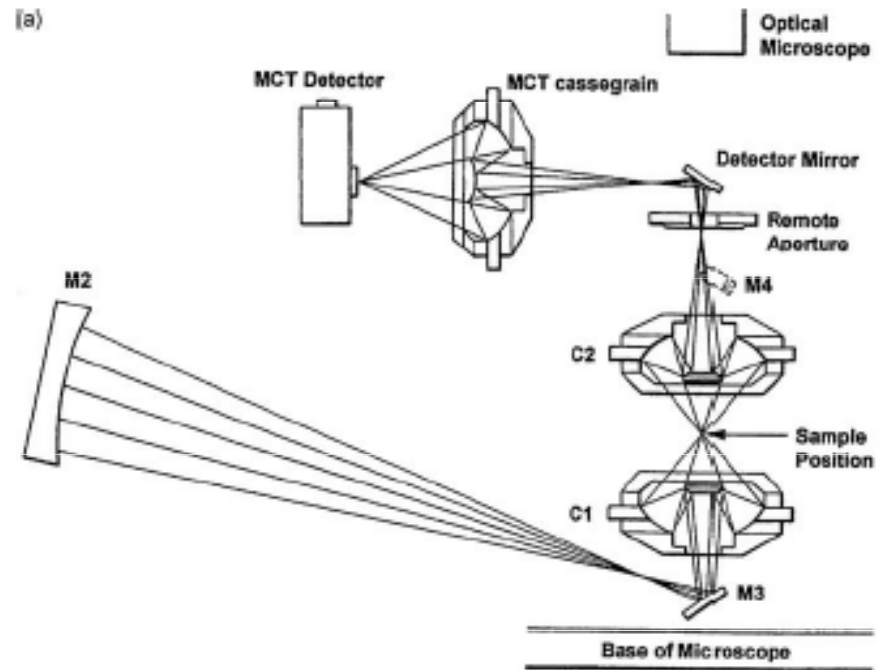


Figure 9.25 Optical paths of FTIR microscope with IR radiation: (a) transmittance; and (b) reflectance. M, mirror; C, Cassegrain lens. (Reproduced by permission of PerkinElmer Inc.)

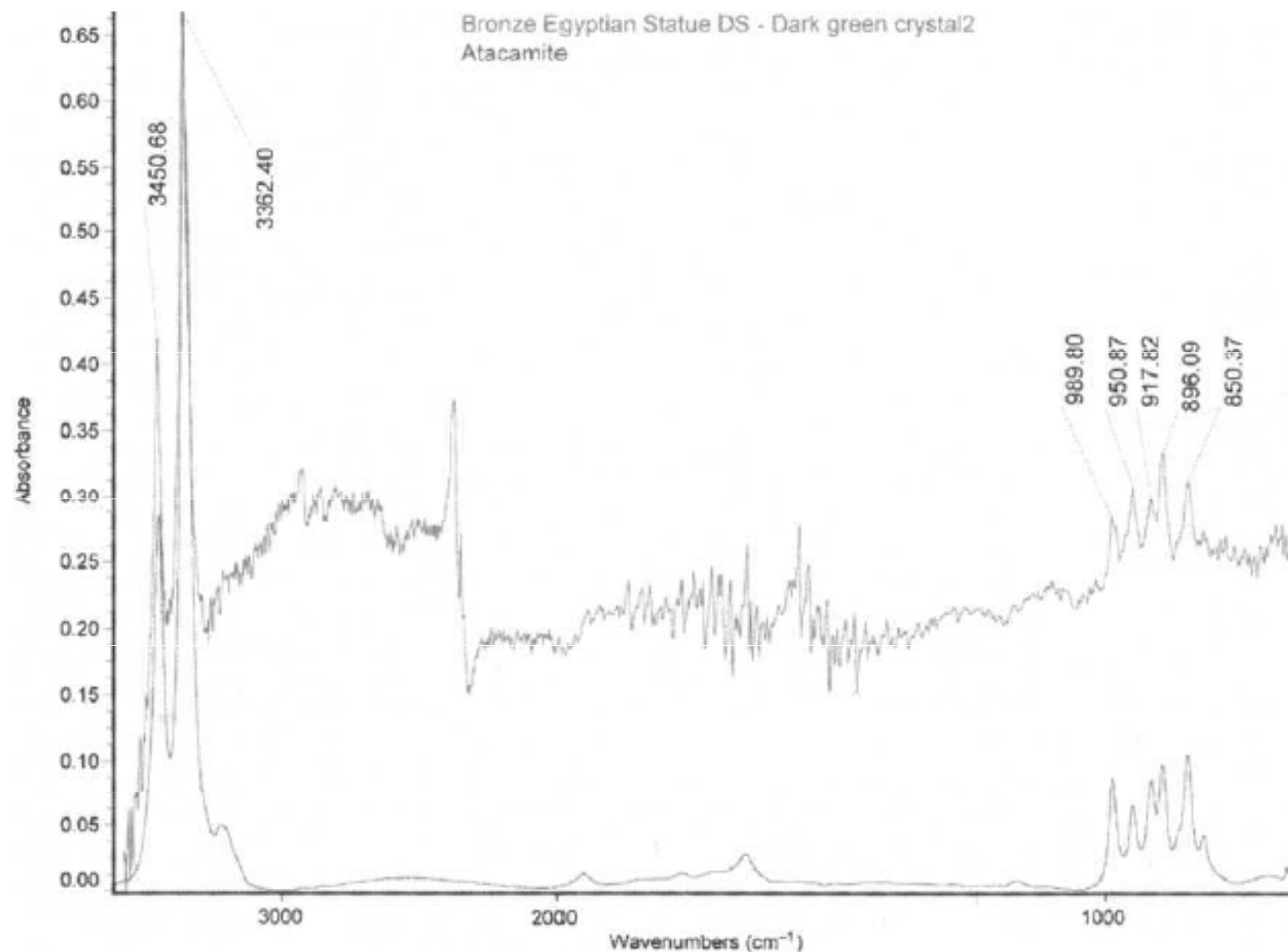


Fig. 10.17. FTIR Spectrum obtained, in situ, from the dark green surface of the Egyptian bronze Osiris shown in Fig. 10.11. The patina was shown to be of atacamite, but the result was only obtained with some difficulty and the chalconatronite patina could not be identified by this technique without sampling.

Infračervená spektrometrie

Terénní a mobilní zařízení



Reflektografie

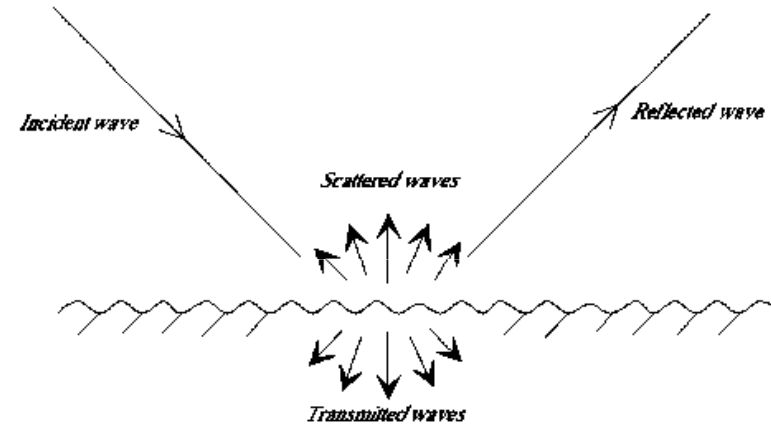


Figure 15. Case of natural environments: sum of specular reflection and diffuse reflection (volume reflection is ignored here).

Aplikace infračervené reflektografie - zviditelnění podkresby



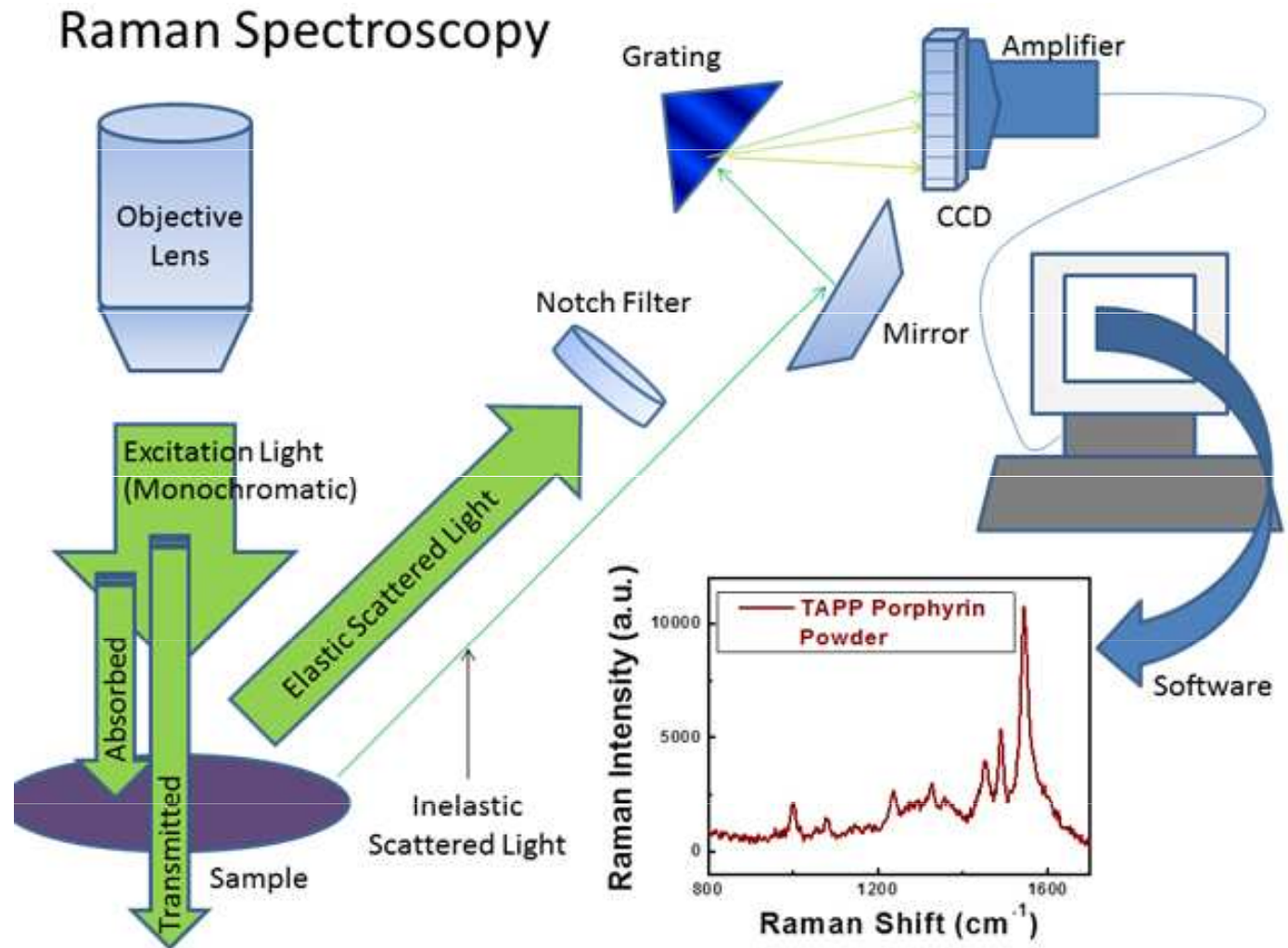
Reflektografie

Aplikace infračervené reflektografie - zviditelnění tetování na mumifikovaných rukou z pohřebiště Semna South, Núbie (dnešní Súdán), stáří cca 2000 let.

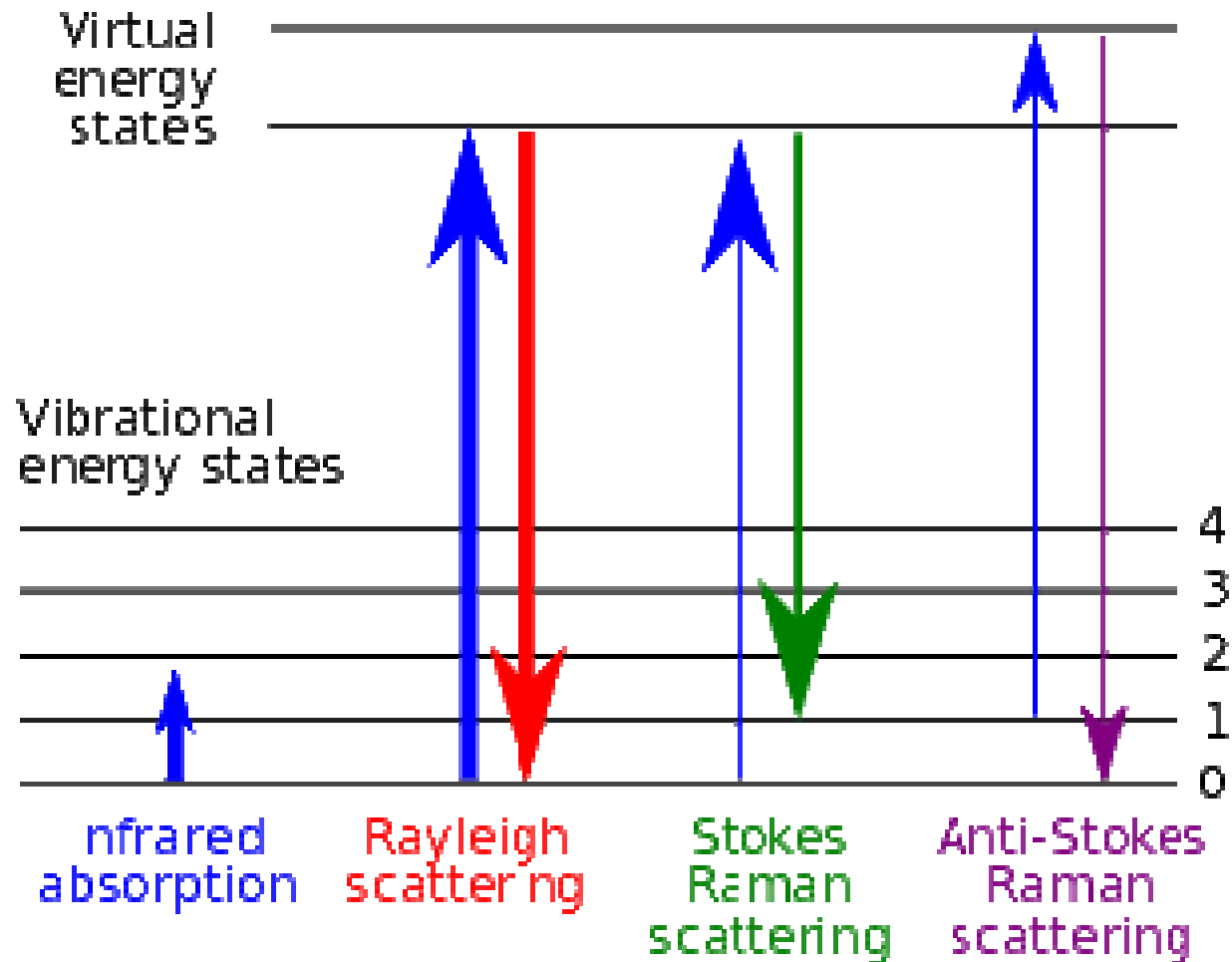


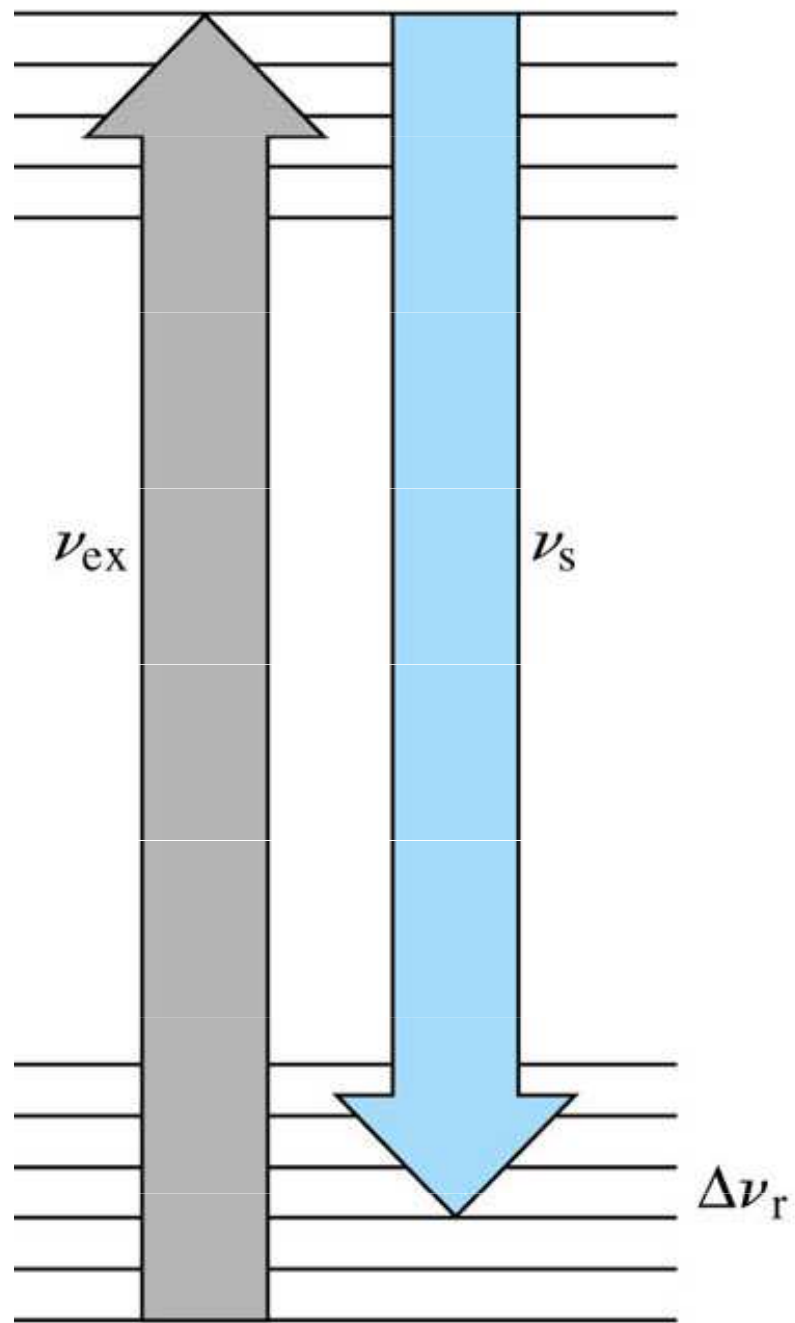
Ramanova spektrometrie

Nd:YAG 1064 nm
He-Ne 632.8 nm



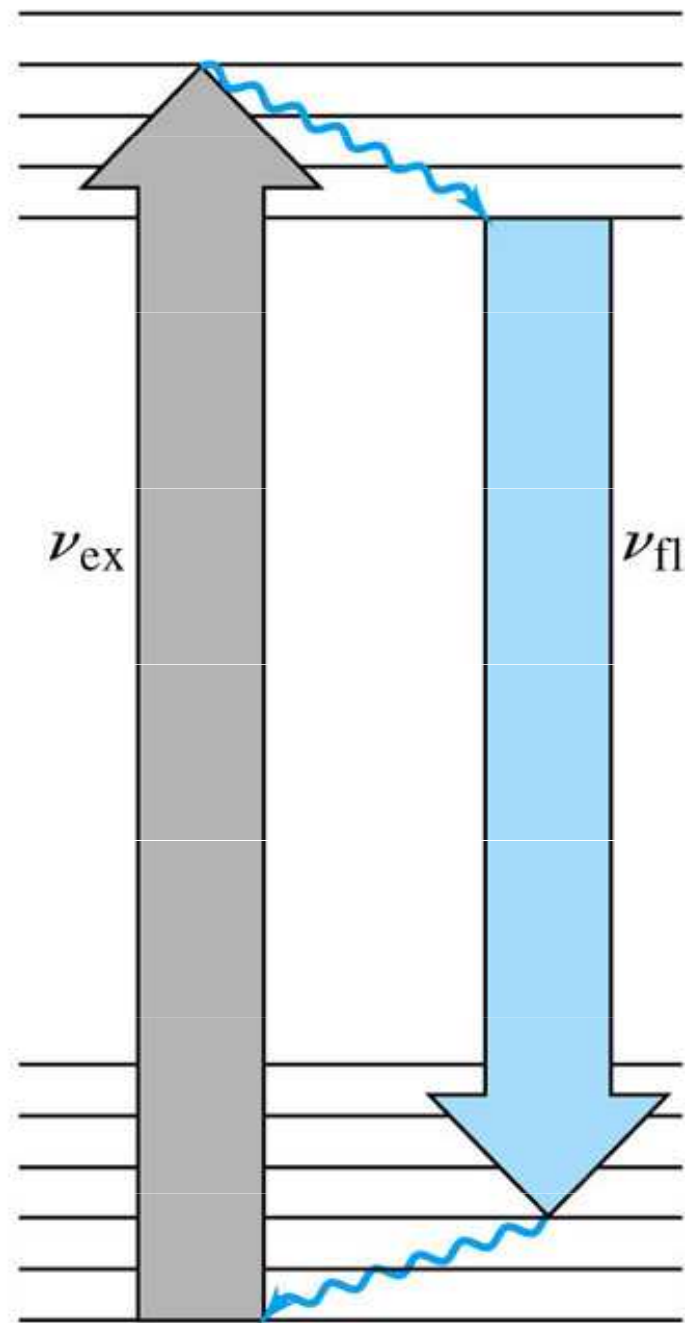
Princip Ramanovy spektrometrie





Resonance Raman

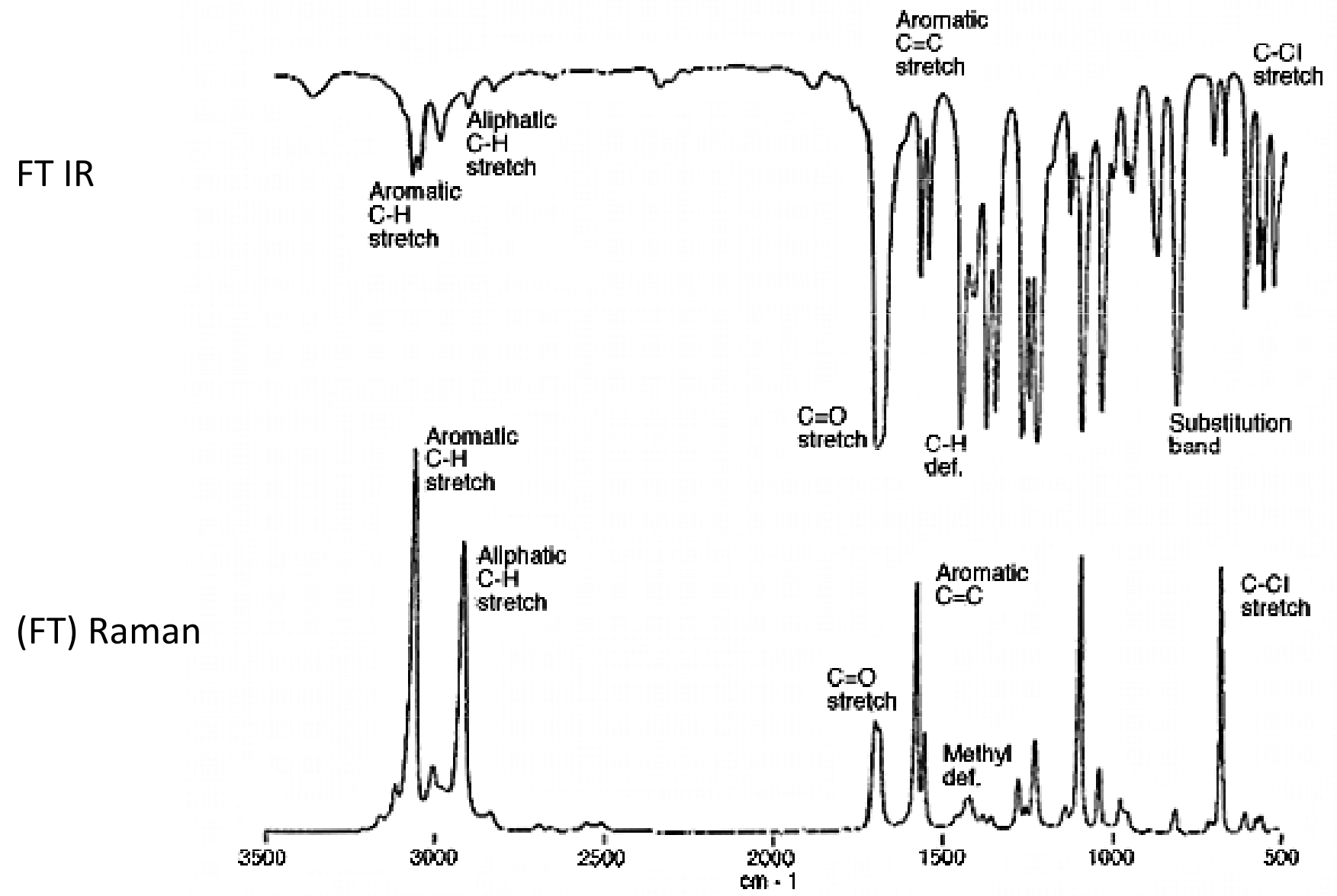
(a)



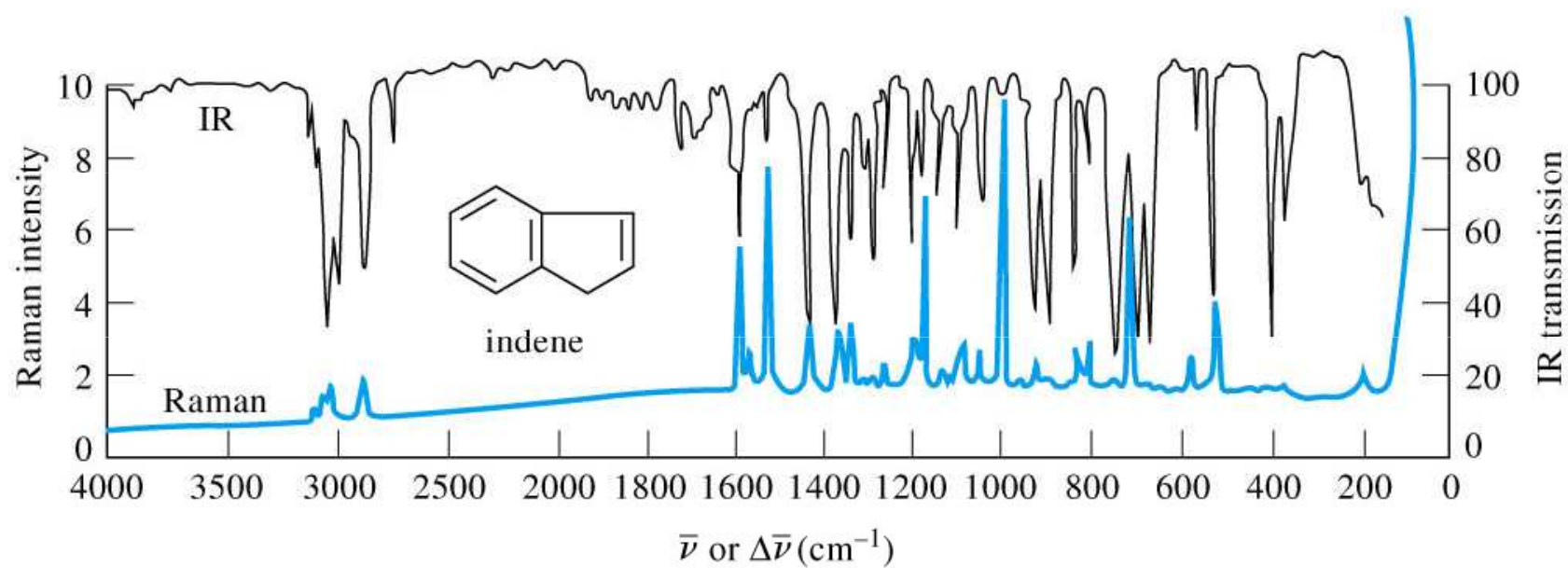
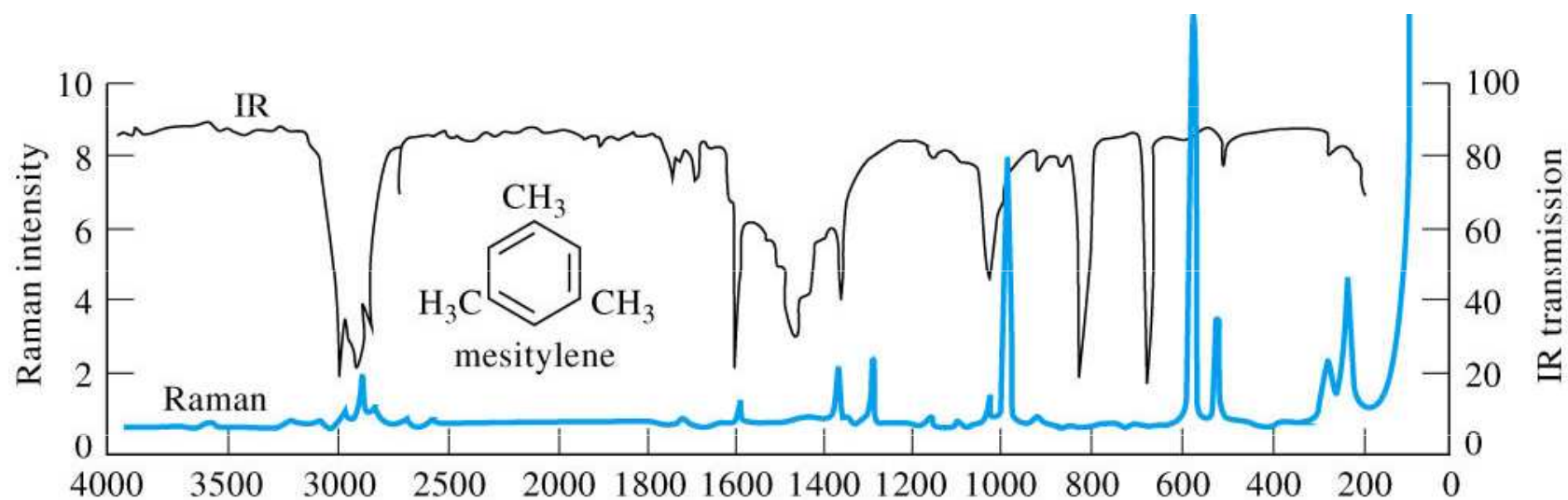
Fluorescence

(b)

Raman vs. FTIR



- comparison of Raman and IR Spectra



$\bar{\nu}$ or $\Delta\bar{\nu}$ (cm^{-1})

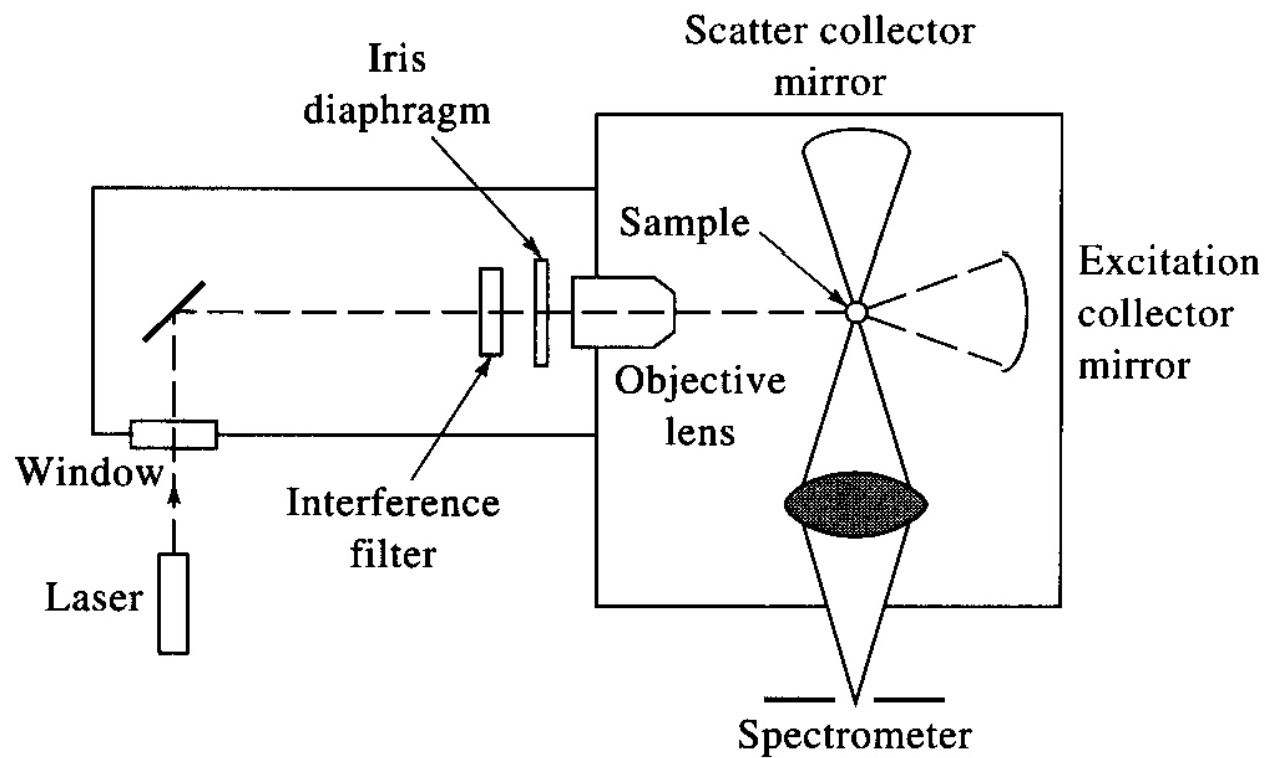
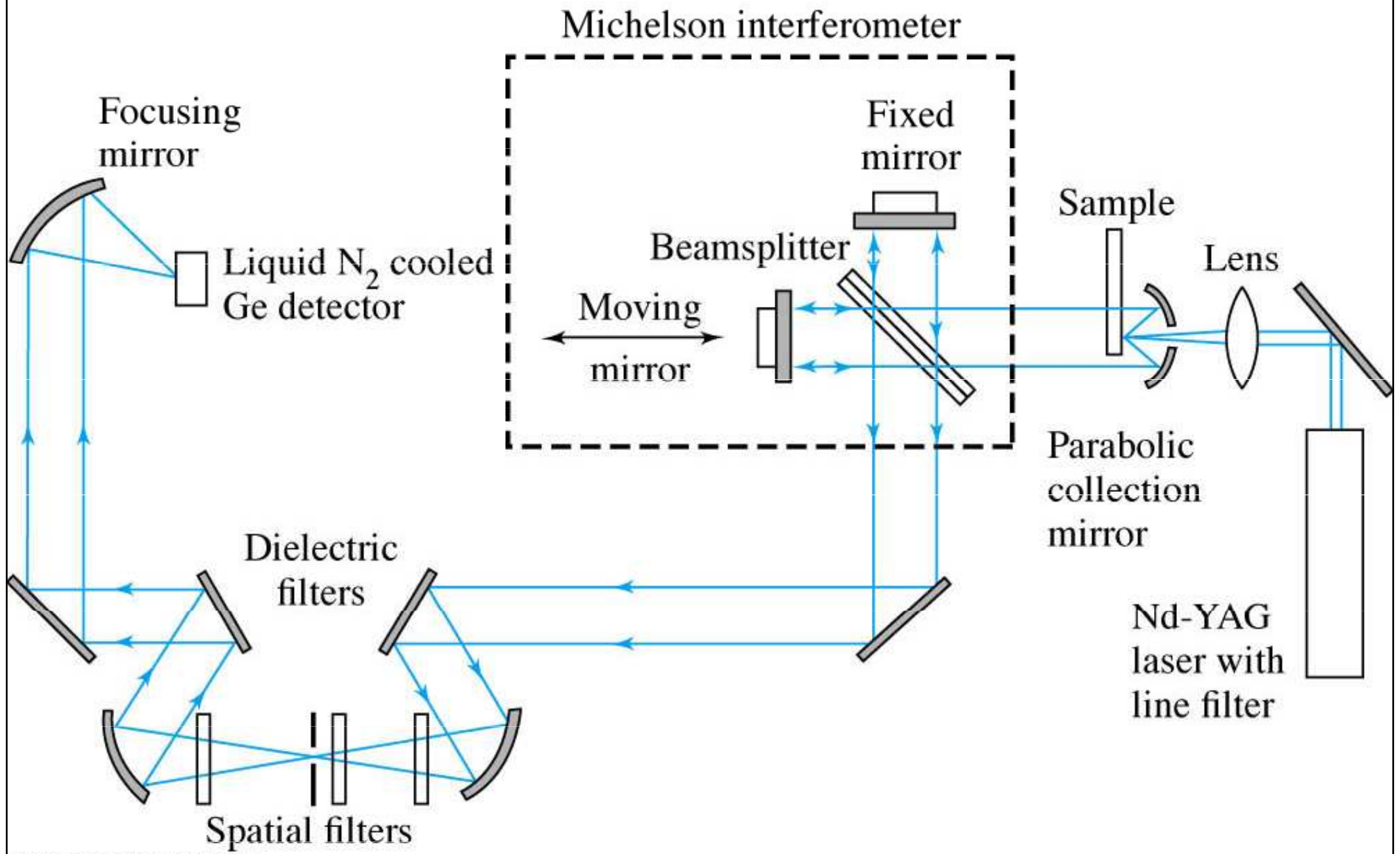


TABLE 18-1 Some Common Laser Sources for Raman Spectroscopy

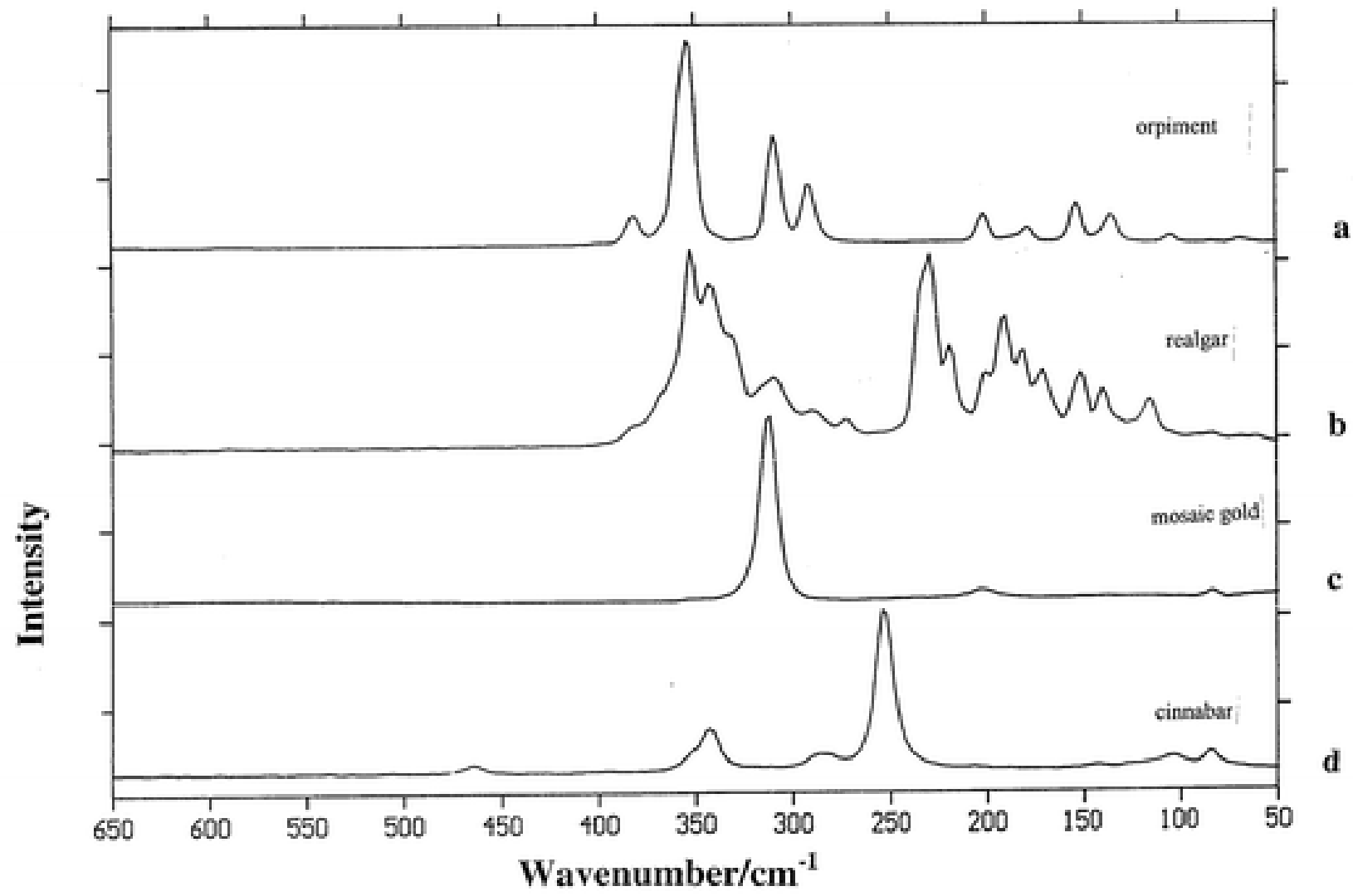
Laser Type	Wavelength, nm
Argon ion	488.0 or 514.5
Krypton ion	530.9 or 647.1
Helium-neon	632.8
Diode	785 or 830
Nd-YAG	1064



Ramanova spektrometrie pigmentů

Polychromovaná socha sv. Anny v Santa
Maria la Real, Sasamon, Španělsko (13.
stol.).





Ramanova spektra auripigmentu (As_2S_3), realgaru (As_4S_4), mozaikového zlata (SnS_2) a rumělky (Hg S).

Oltář ze “San Antolín y San Bernabé”

<i>Pigment</i>	<i>Chemical formula</i>	<i>Raman bands cm^{-1}</i>
Vermilion	HgS	255, 309, 347, 376
Azurite	$2CuCO_3 \cdot Cu(OH)_2$	251, 404, 623, 770, 838, 1098
Malachite	$CuCO_3 \cdot Cu(OH)_2$	153, 168, 179, 223, 272, 352, 435, 516, 538, 722, 755, 1062, 1100, 1372, 1496
Lead White	$PbCO_3$	409, 1054
Lapislazuli	$Na_8[Al_6Si_6O_{24}]S_n$	258, 286, 545, 581, 802, 1097, 1358, 1642
Massicot	PbO	286, 384, 419
Gypsum	$CaSO_4 \cdot 2H_2O$	182, 216, 416, 495, 623, 673, 1009, 1140

Table 1. Chemical formula and Raman band observed (in cm^{-1} , wavenumber) of the identified pigments.

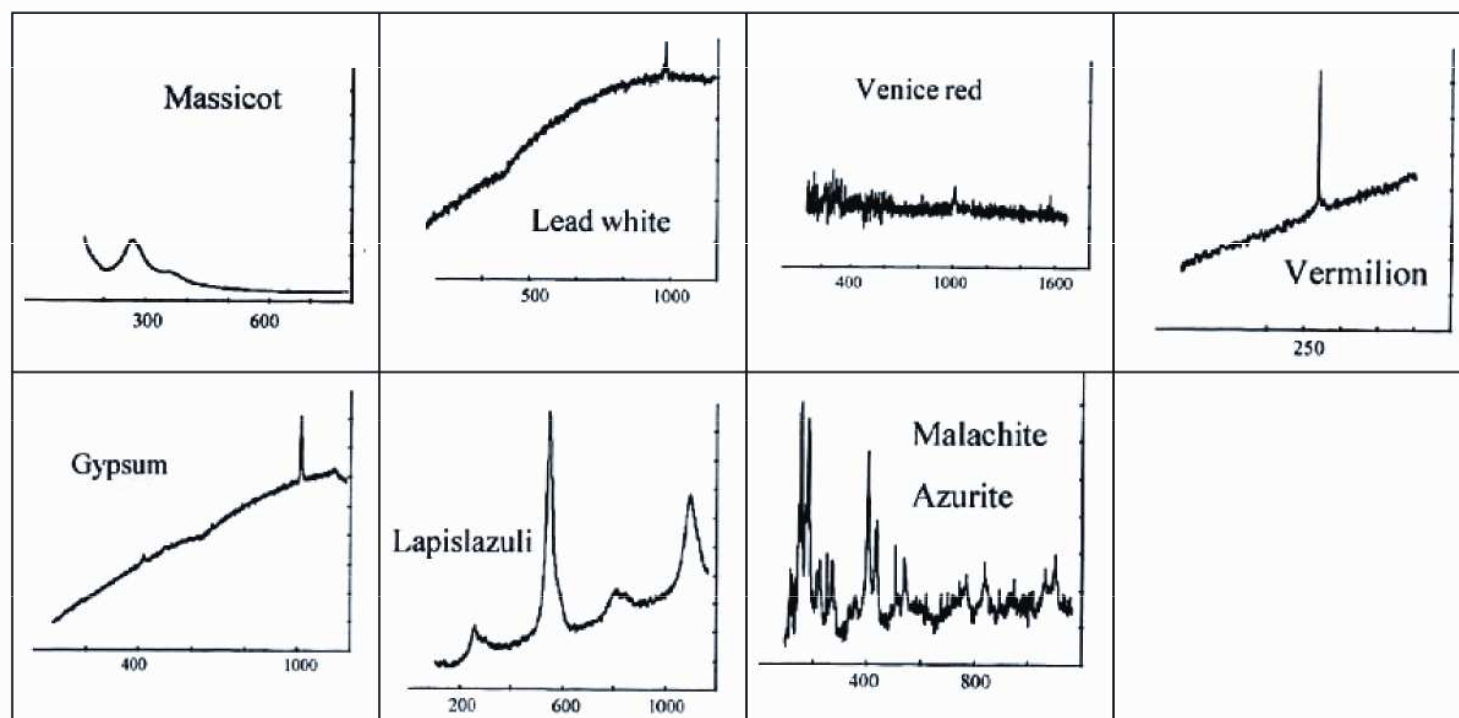


Fig. 5. The Raman spectra of the pictorial materials obtained from the “San Antolín y San Bernabé” altarpiece. The axis are Raman intensity and wavenumber (cm^{-1}).

Rozpoznání imitací

Přírodní barevné korály (karoten)

Barvené korály

Imitace korálů

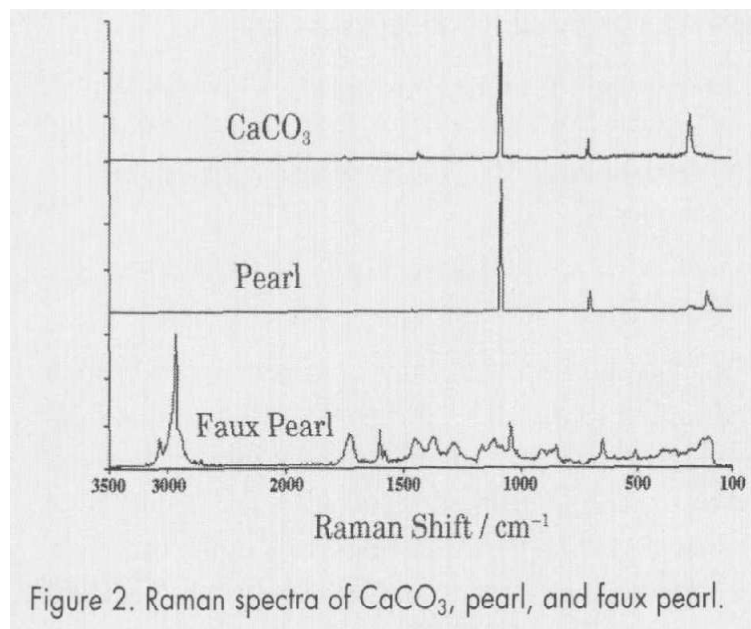
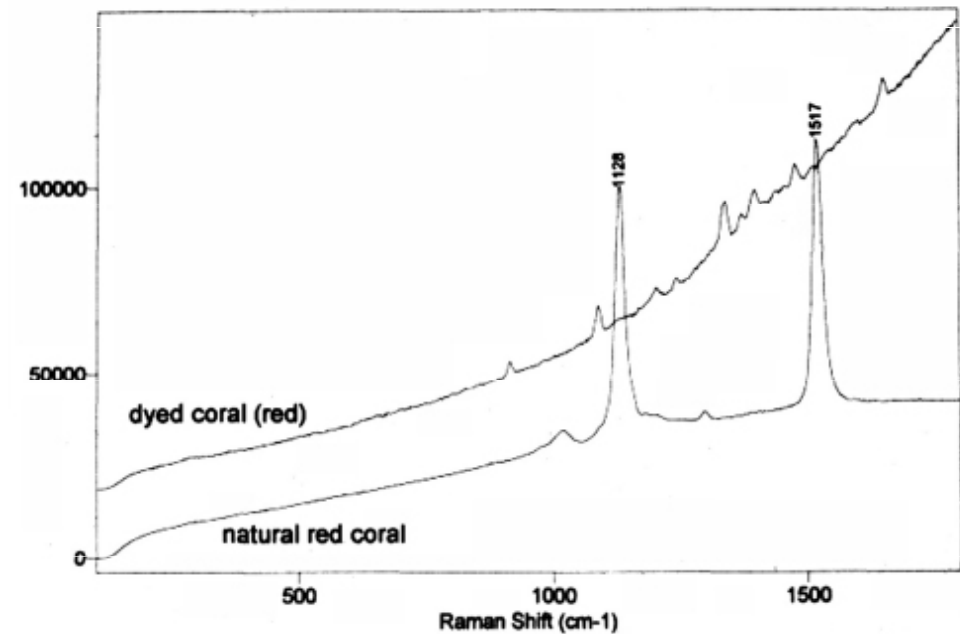


Figure 2. Raman spectra of CaCO₃, pearl, and faux pearl.



Identifikace slonoviny



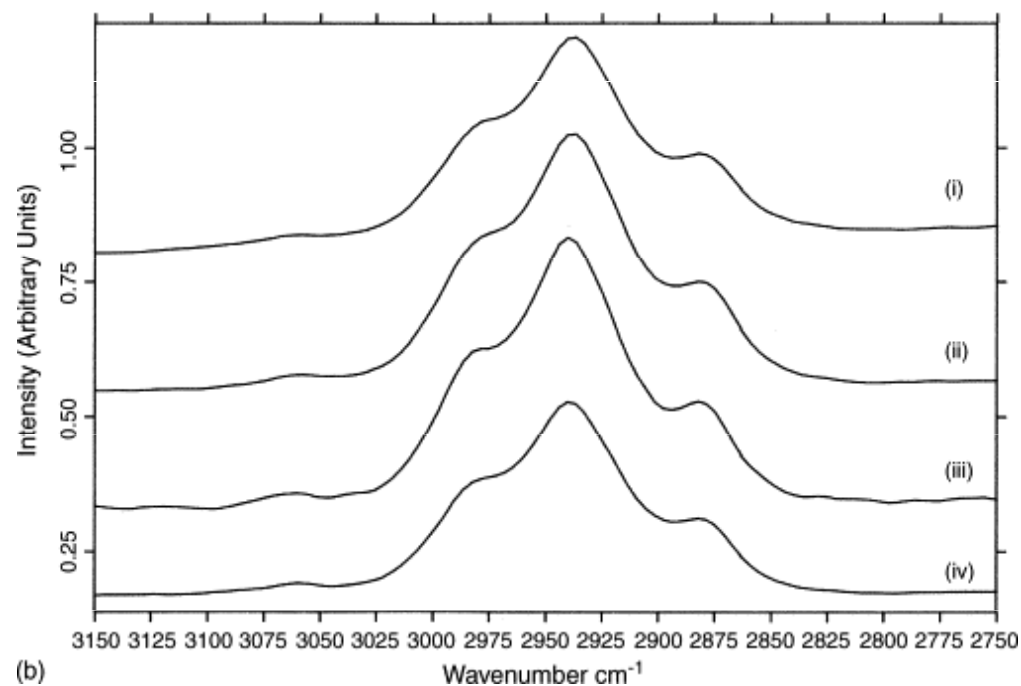
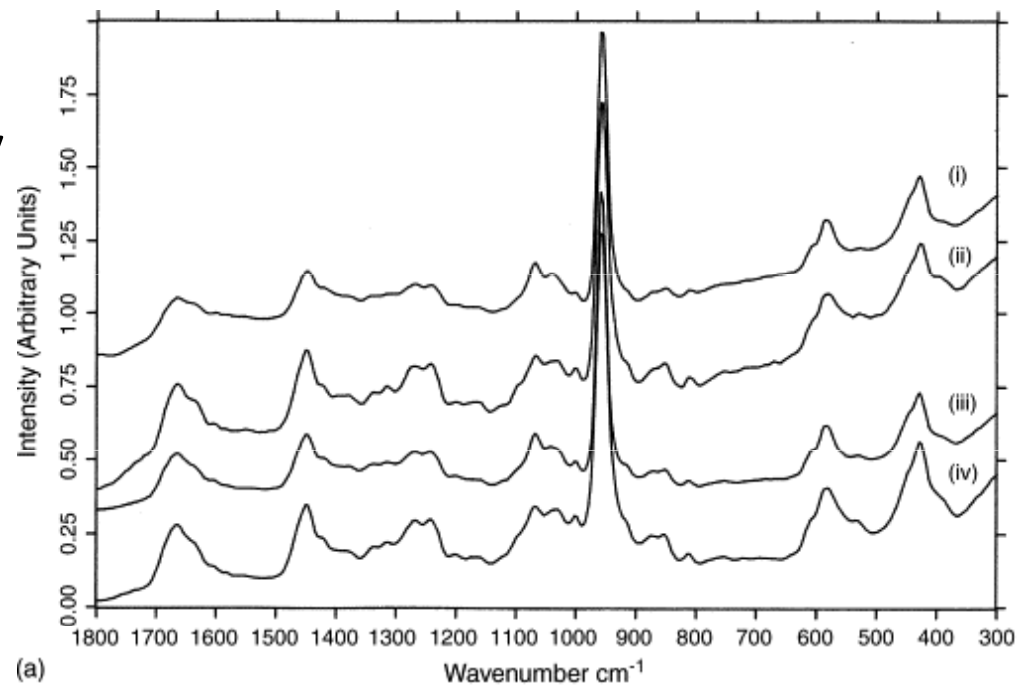
FT-Ramanova spektra:

Římské pečtidlo (i)

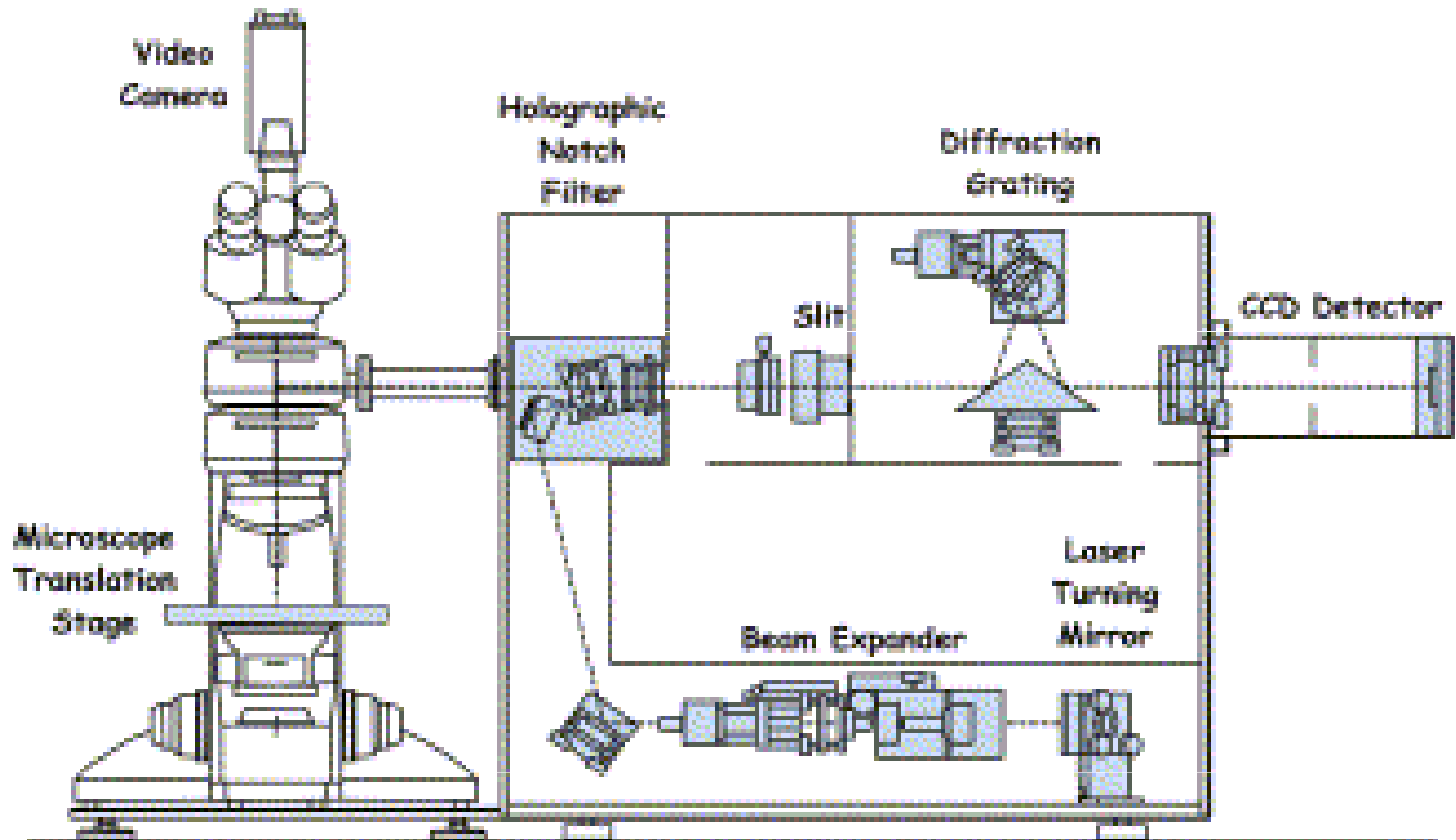
africký slon (ii),

vorvaň (iii)

hroch (iv)

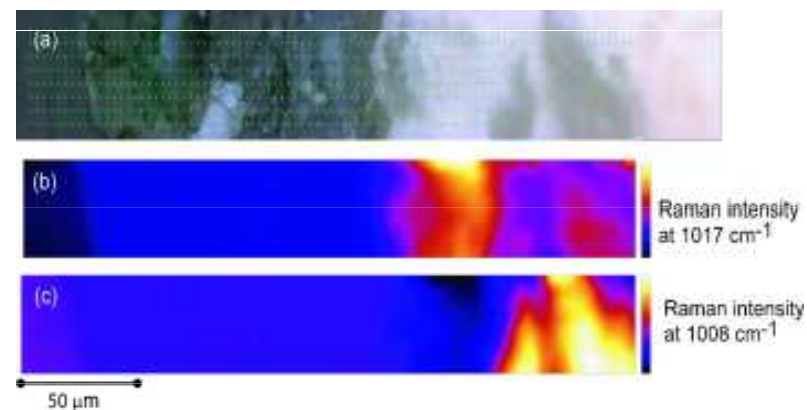
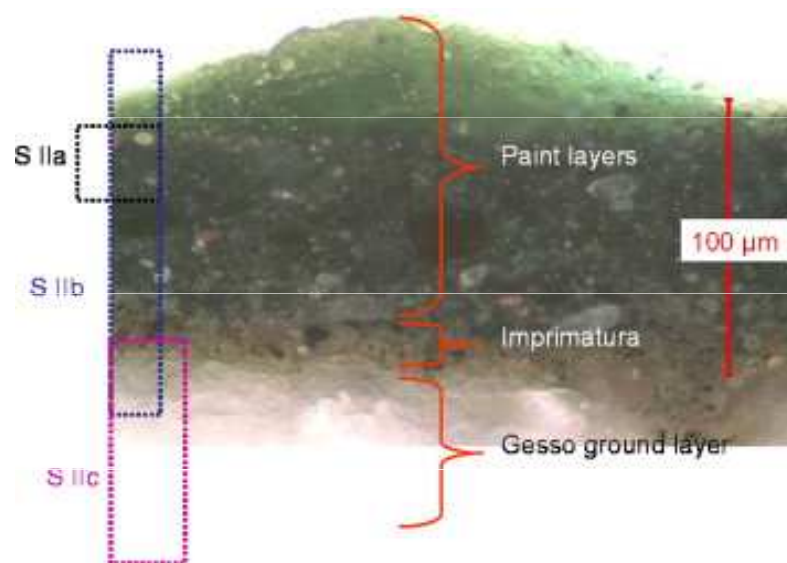


Ramanova mikroskopie



Ramanova mikroskopie maleb

Portrét mladíka (neznámý severoitalský malíř, cca 1515)



Ramanovské mapy vzorku S IIb.
(a) optický obraz, (b) anhydrit, (c) sádrovec (gypsum).

Ramanova mikroskopie

mikrofosilie
v jurských
rohovcích

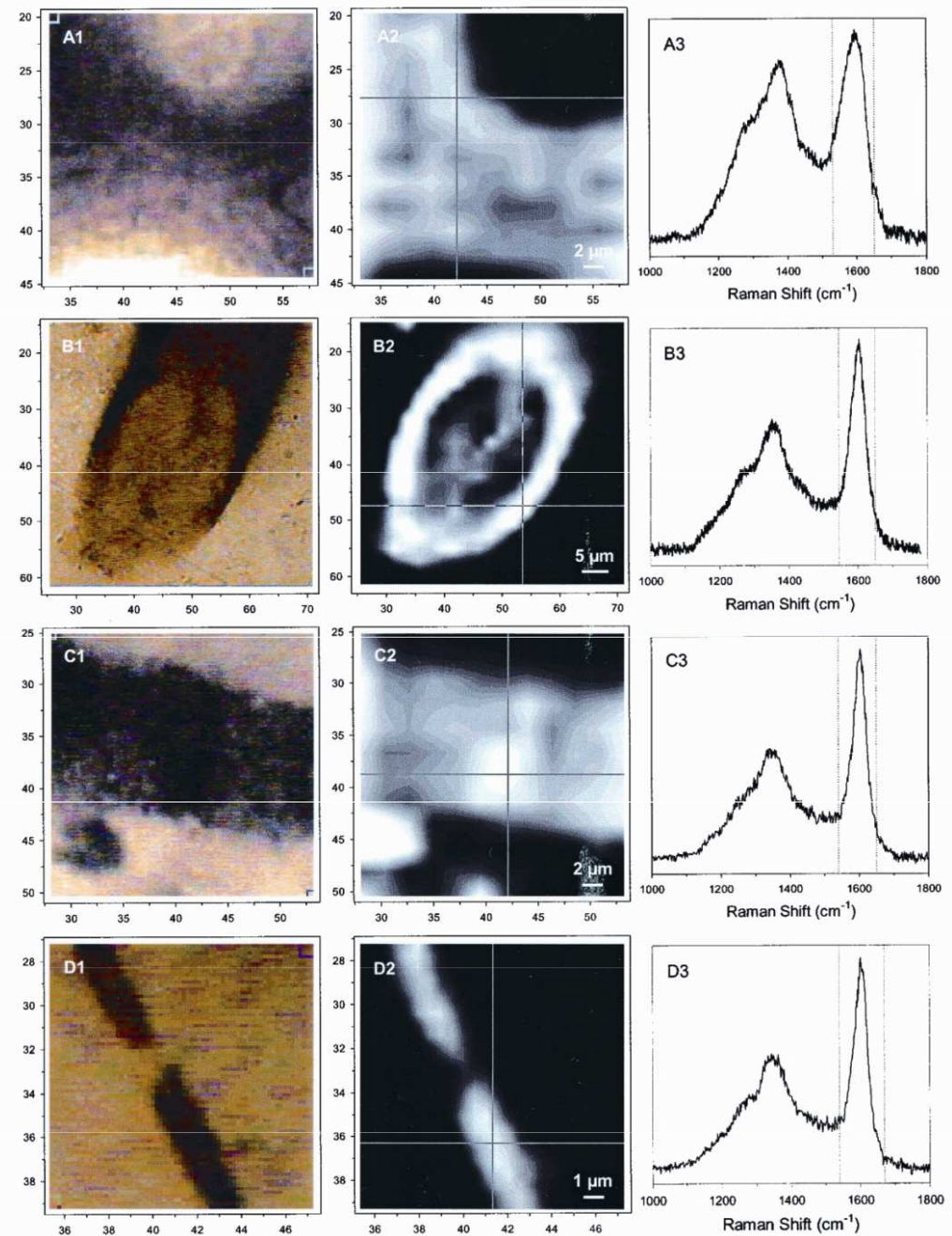
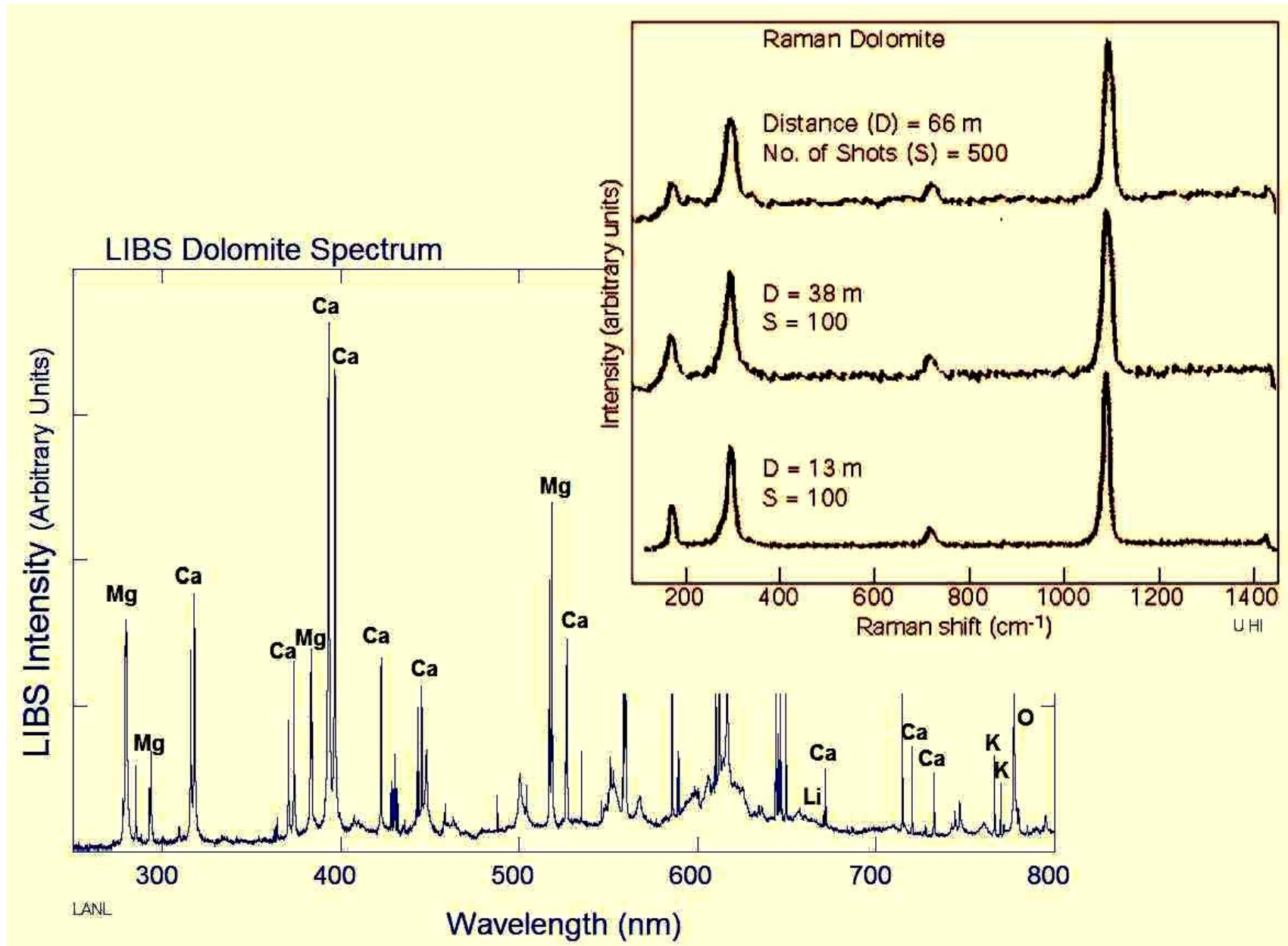


Fig. 1. Optical images (column 1), Raman images (column 2), and spectral bands used for Raman imaging (column 3) of permineralized carbonaceous fossils at or near the upper surfaces of polished chert thin sections: (A) Cell wall in the conductive tissue (lignified xylem) of an aquatic fern cf. *Dennstaedtia* from the essentially unmetamorphosed ≈ 45 -Ma-old Clarno Formation of Oregon. (B) Tangential section of the tubular sheath of a *Lyngbya*-like oscillatoriacean cyanobacterium in a conical stromatolite (*Conophyton gaubitza*) from the subgreenschist facies ≈ 650 -Ma-old Chichkan Formation of Kazakhstan. (C) Transverse cell wall of a broad cellular trichome (*Gunflintia grandis*), and (D) a narrow prokaryotic filament (*G. minuta*), in domical stromatolites of the greenschist facies $\approx 2,100$ -Ma-old Gunflint Formation of Ontario, Canada. Each Raman image was produced by combining several hundred pixel-assigned point spectra ("spexels"), like those shown for each specimen in column 3, acquired over a small square part of the total area analyzed. The resolution of the Raman images is defined by the pixel dimensions of their component spexels; for A–C, $2 \mu\text{m}$ per pixel, and for D, $0.5 \mu\text{m}$ per pixel.

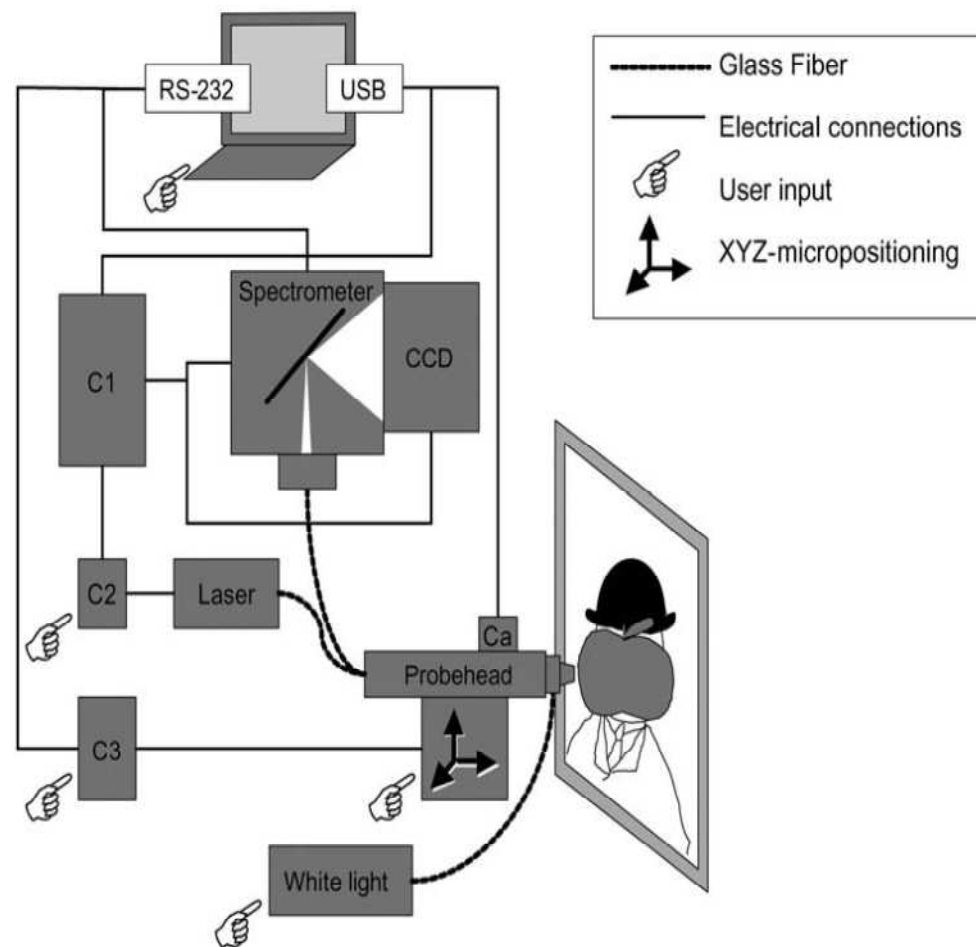
Raman + FTIR mikroskopie



Kombinace Raman + LIBS



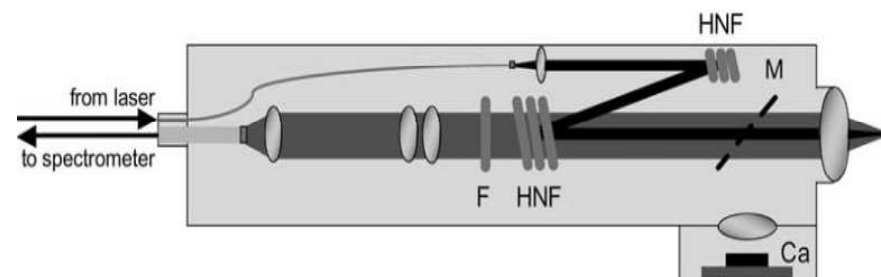
Mobilní zařízení pro Ramanovu spektrometrii



M : 95% propustné zrcadlo pro vizualizaci plochy kamerou (*Ca*).

HNF : holografické filtry odrážející laserový paprsek a propouští ramanovsky posunuté záření (Stokes)

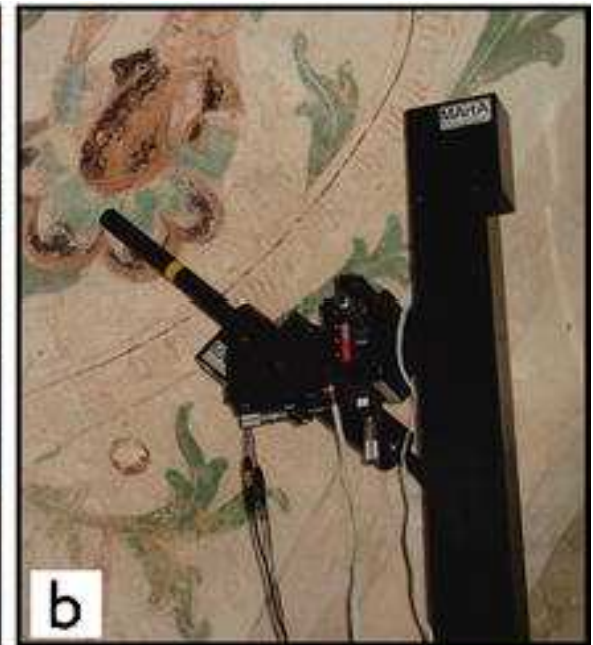
F filtry pro anti-Stokesovskou část spektra



Ramanova spektrometrie

Terénní a mobilní zařízení





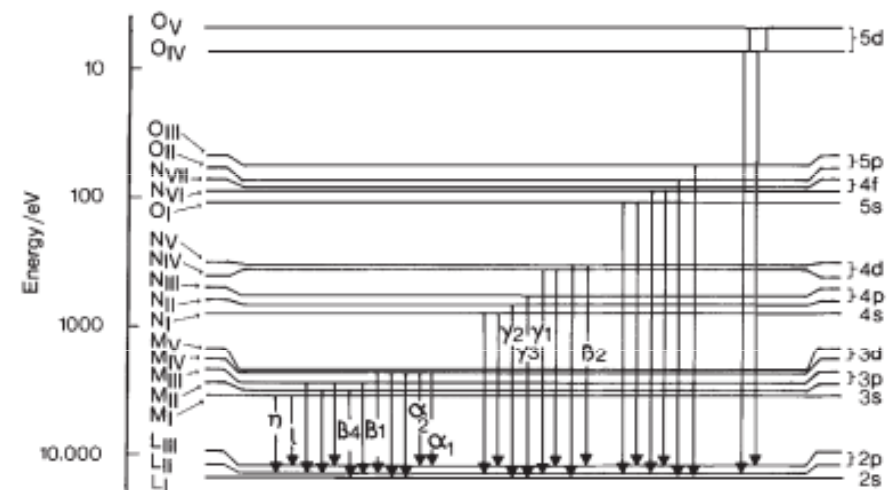
Analýza nástěnných maleb (kaple Ponthoz.)

Ostatní metody

Rentgenová fluorescenční analýza (XRF)

Rentgenová

Radionuklidová



a

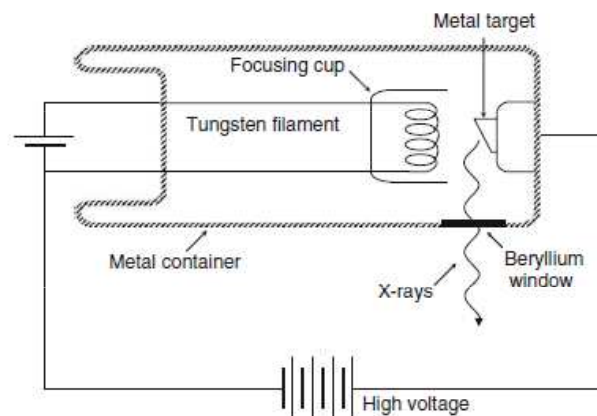
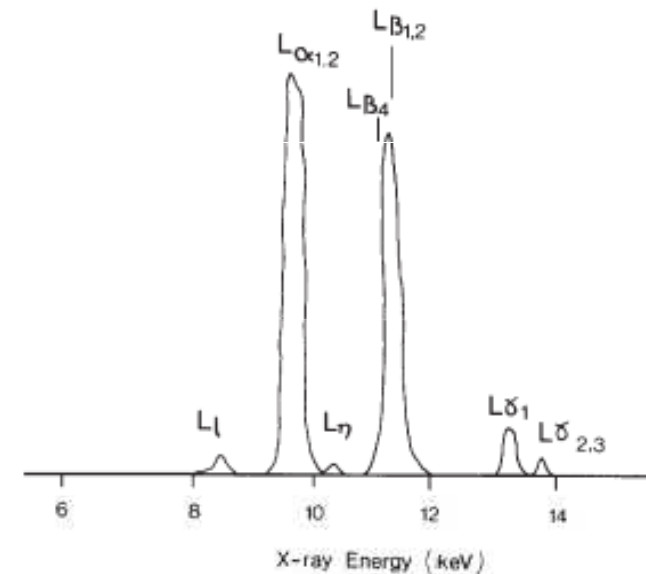


Fig. 37.1 X-ray tube ("Fundamentals of Physics", Second Edition Extended, David Halliday and Robert Resnick, copyright 1981, Reproduced with permission of John Wiley & Sons, Inc.)



b

Figure 2.8 Electronic transitions giving rise to the L spectrum of gold. The L spectrum is considerably more complicated with three main lines normally resolved as shown in the accompanying spectrum - L_{α} (arising from two transitions), L_{β} (with up to 17 contributing transitions) and L_{γ} (up to 8 transitions), plus a number of 'forbidden' transitions. (After Jenkins, 1974; Fig. 2-11. © John Wiley & Sons Limited. Reproduced with permission.)

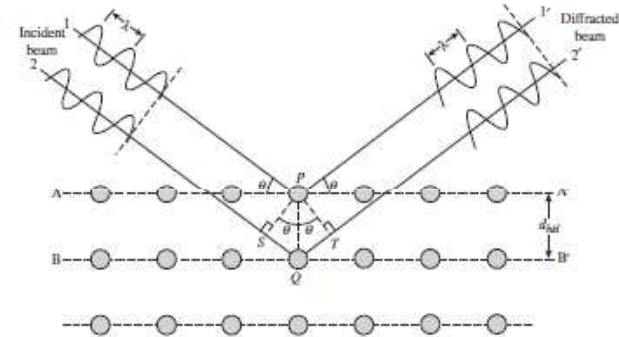


Figure 2.6 Bragg diffraction by crystal planes. The path difference between beams 1 and 2 is $SQ + QT = 2PQ \sin \theta$. (Reproduced with permission from W.J. Callister Jr., *Materials Science and Engineering: An Introduction*, 7th ed., John Wiley & Sons Inc., New York, © 2006 John Wiley & Sons Inc.)

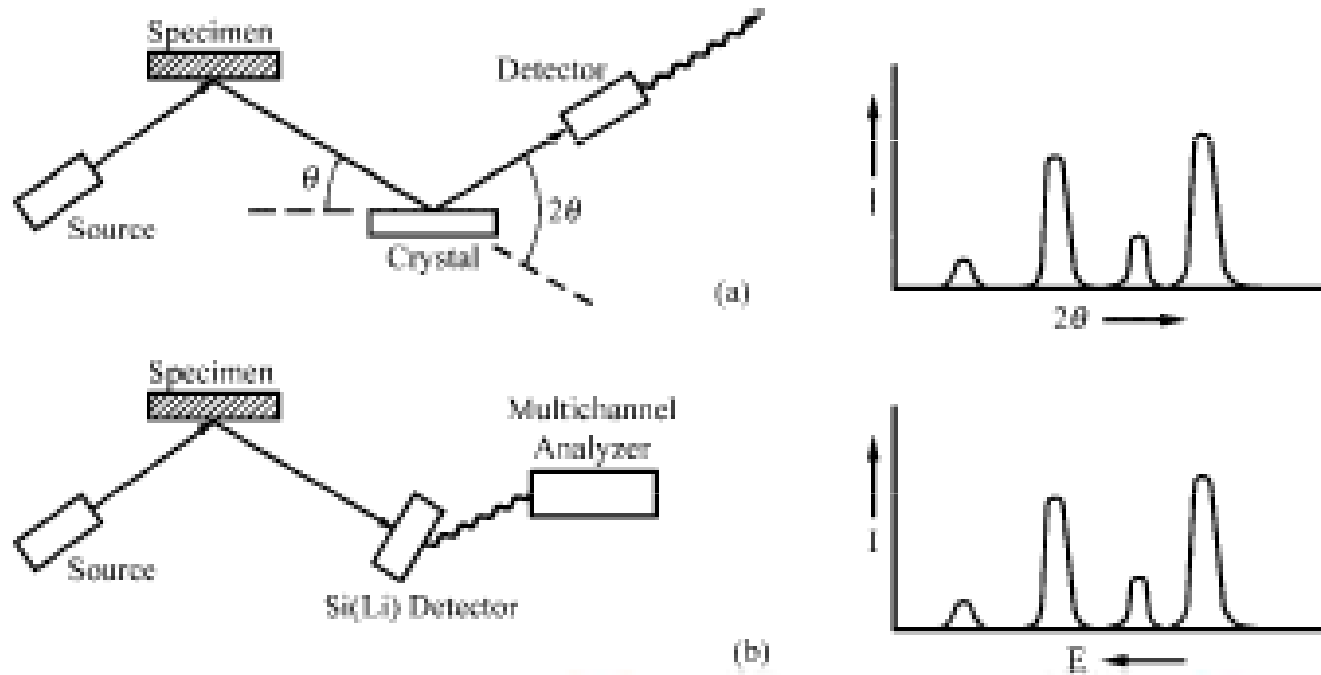
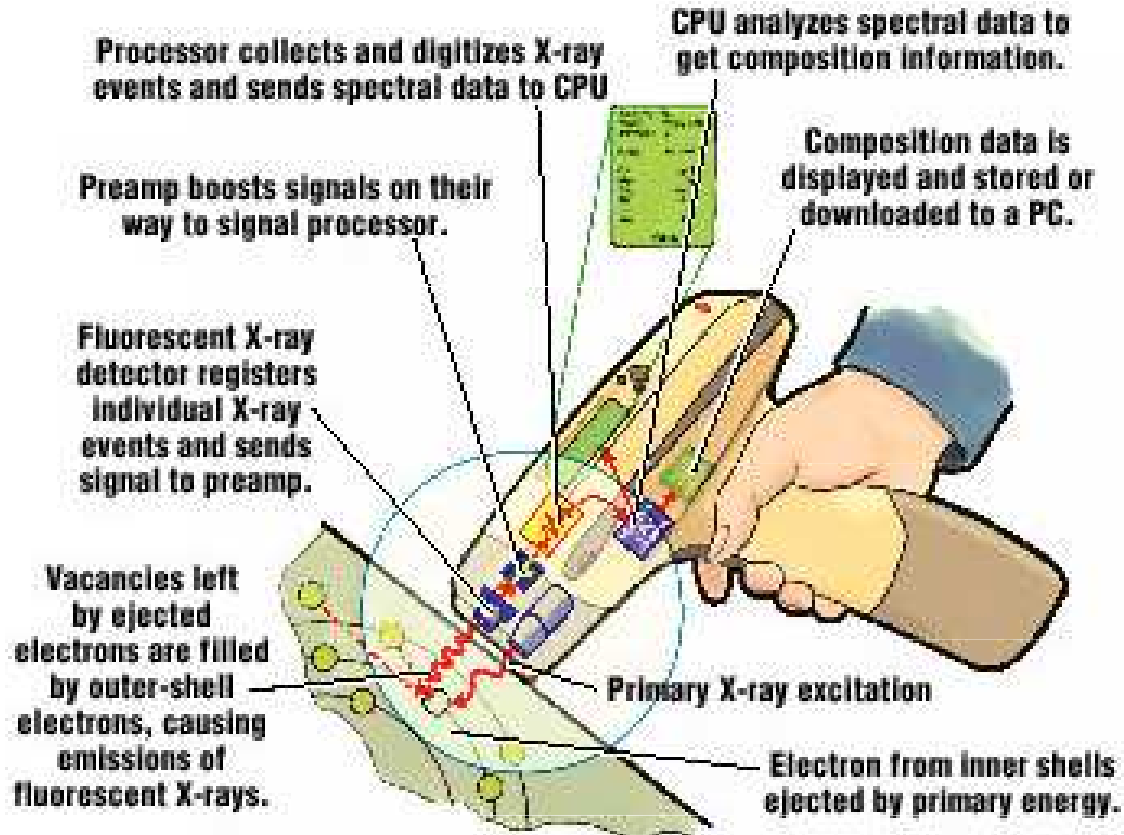


Figure 6.6 Main components and dispersive spectra of: (a) WDS; and (b) EDS.

Portable X-Ray Fluorescence (PXRF)



Elektronová mikrosonda

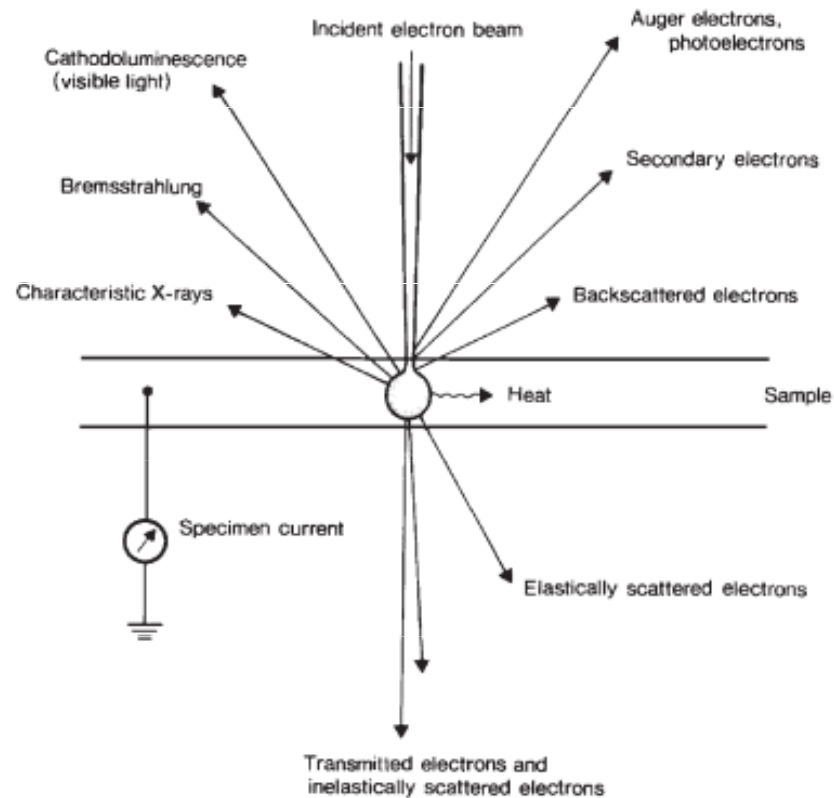


Figure 2.12 Interaction of primary electrons with a thin solid sample, showing the various processes which can take place. (After Woldseth, 1973; Fig. 4-1.)

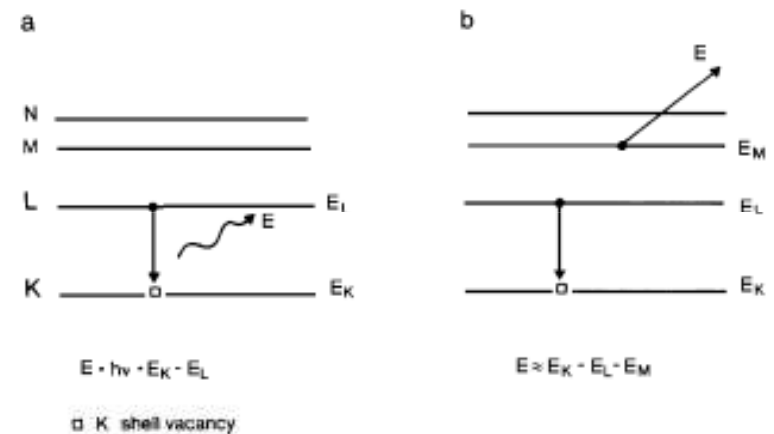


Figure 2.6 The X-ray emission and Auger processes. An inner vacancy in the K shell de-excites via one of two competing processes – (a) X-ray emission, in which an L electron drops down and the excess energy is carried away by an X-ray photon, or (b) the Auger process, in which an L electron drops down, but the excess energy is carried away by a third electron – in this case from the M shell.

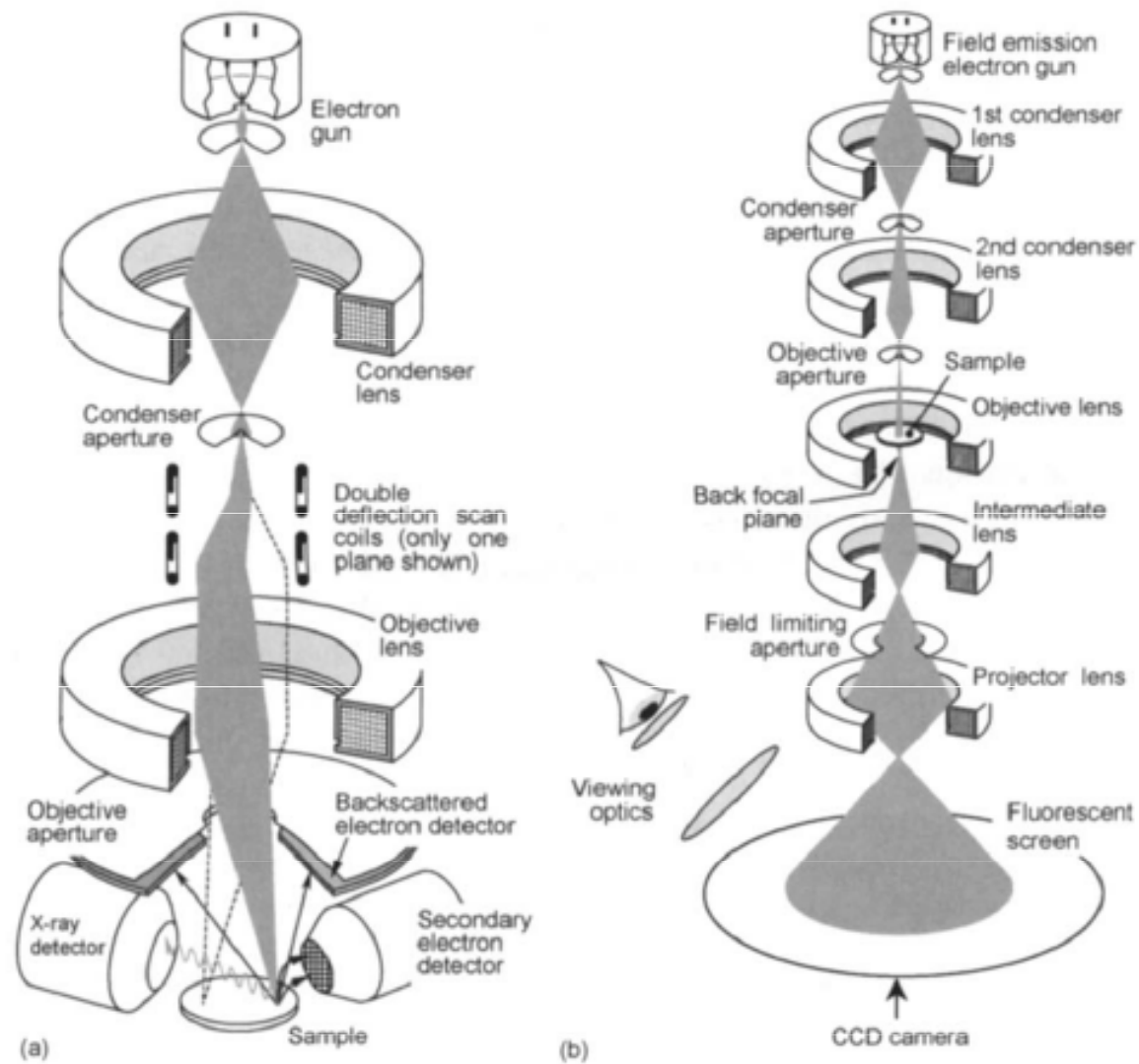


Fig. 3.1. General types of electron microscope. (a) Scanning electron microscope (SEM); (b) transmission electron microscope (TEM).

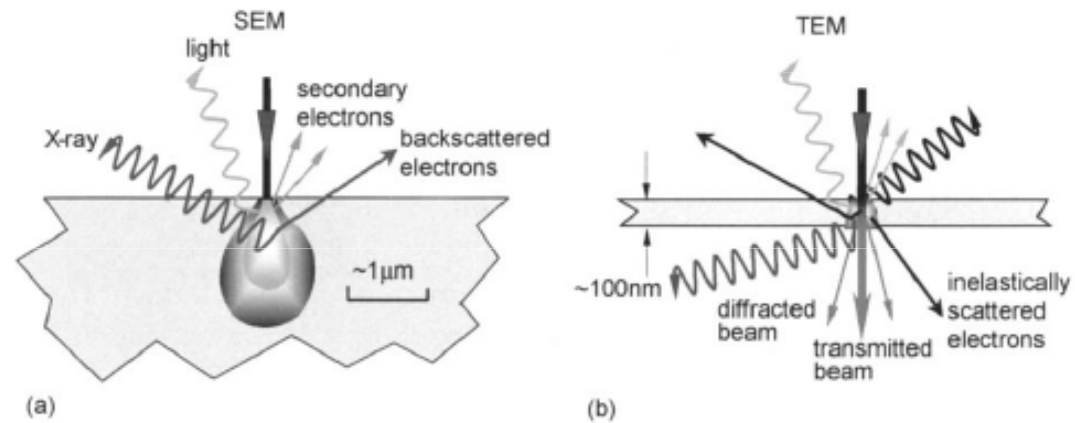


Fig. 3.2. Interaction of electrons with a solid showing effects of interaction volume.
 (a) SEM sample; (b) sample thinned for TEM.

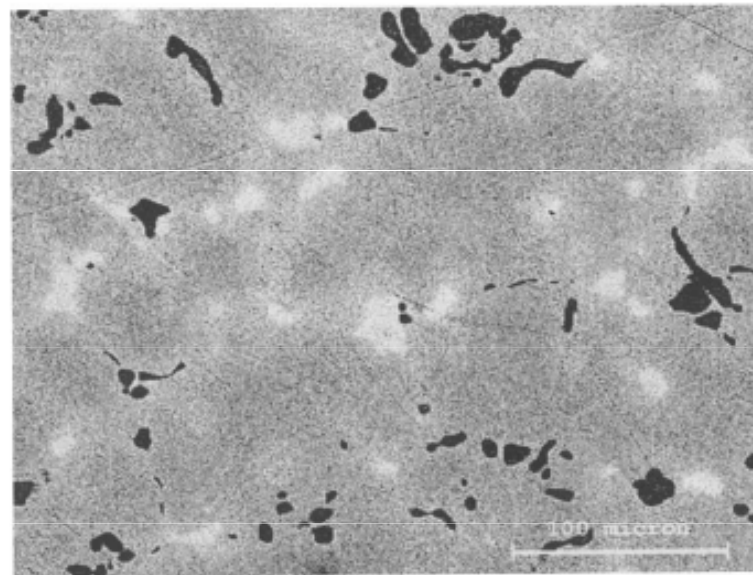
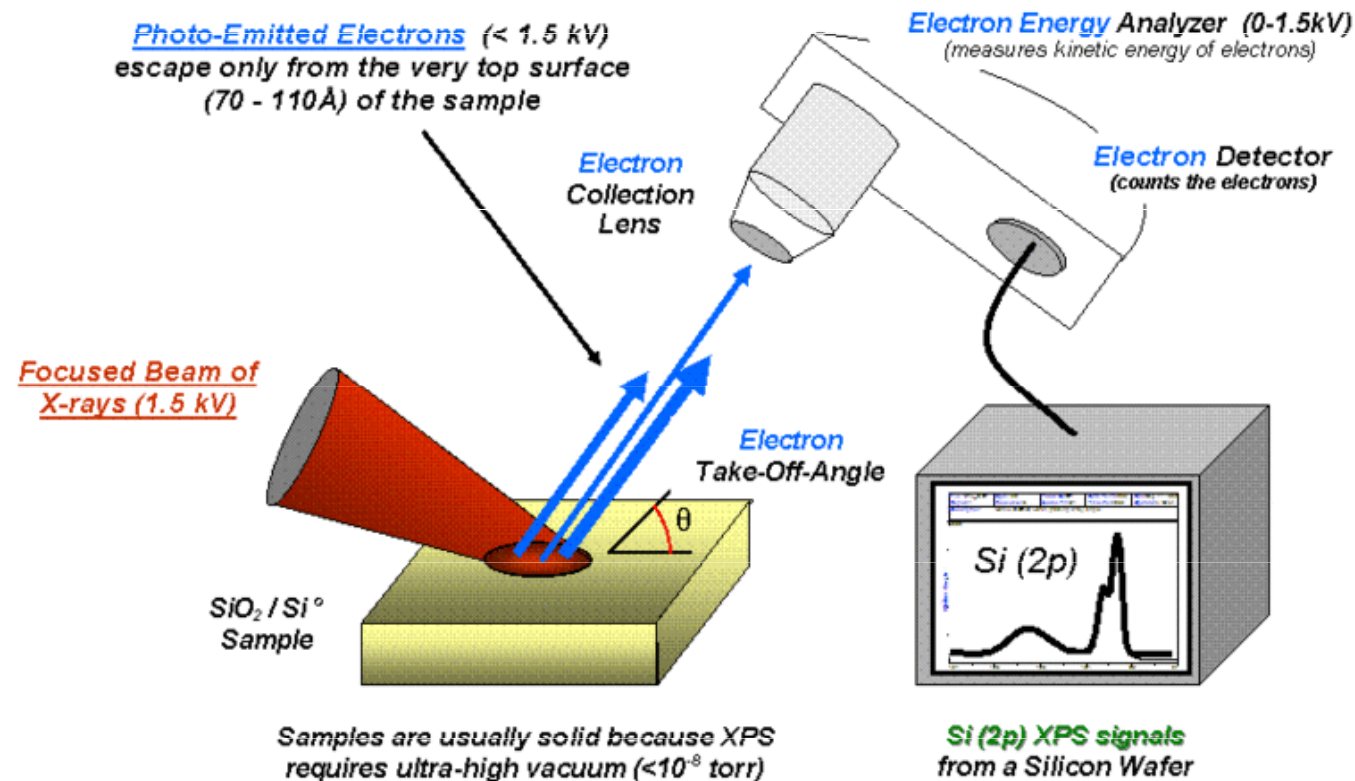


Fig. 3.25. BSE image of a copper-arsenic alloy. The alpha phase is composed of regular grains, containing 3% As. Along the grain boundaries Cu_3As intermetallics, with an As concentration up to 28% (bright phase), are present next to copper sulphide inclusions (dark phase). Magnification 400 [67]. Reproduced with permission from TMS Publications.

Fotoelektronová spektroskopie (ESCA)



Ultrafialová (UPS) Rentgenová (XPS)

Sledování kinetické energie fotoelektronů,
Ta závisí na energii molekulového orbitalu.

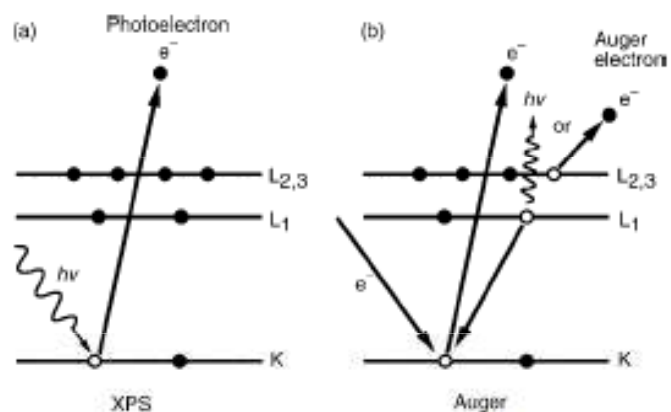


Figure 7.1 Emission processes of characteristic electrons: (a) a 1s photoelectron; and (b) a $KL_1L_{2,3}$ Auger electron

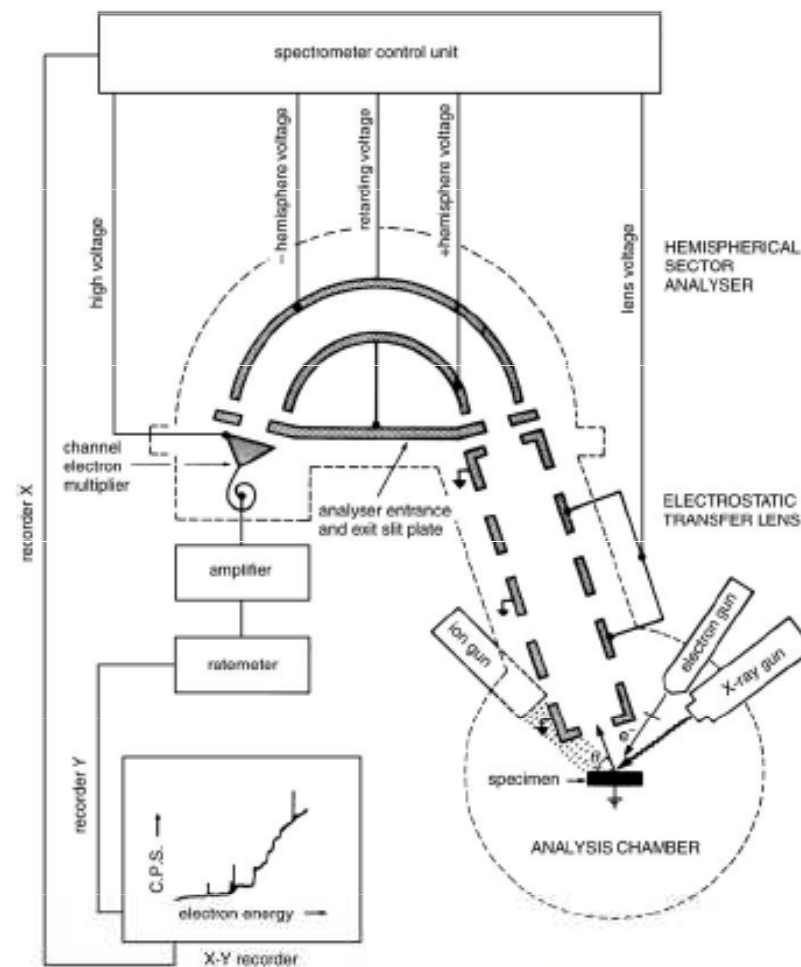


Figure 7.5 Structure of an electron spectrometer. (Reproduced with permission from J.F. Watts, *An Introduction to Surface Analysis by Electron Spectroscopy*, Oxford University Press, Oxford. © 1990 Royal Microscopy Society.)

PIXE a PIGE

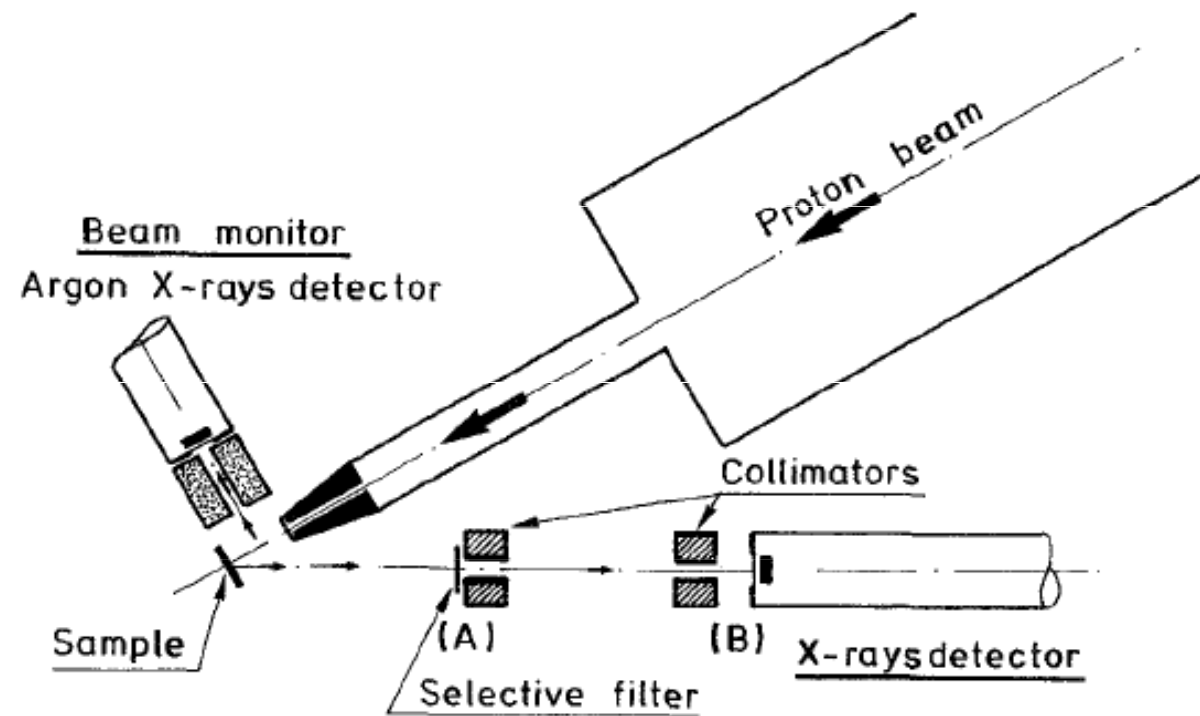


Fig. 11.1. The non-vacuum PIXE set-up used at LARN.

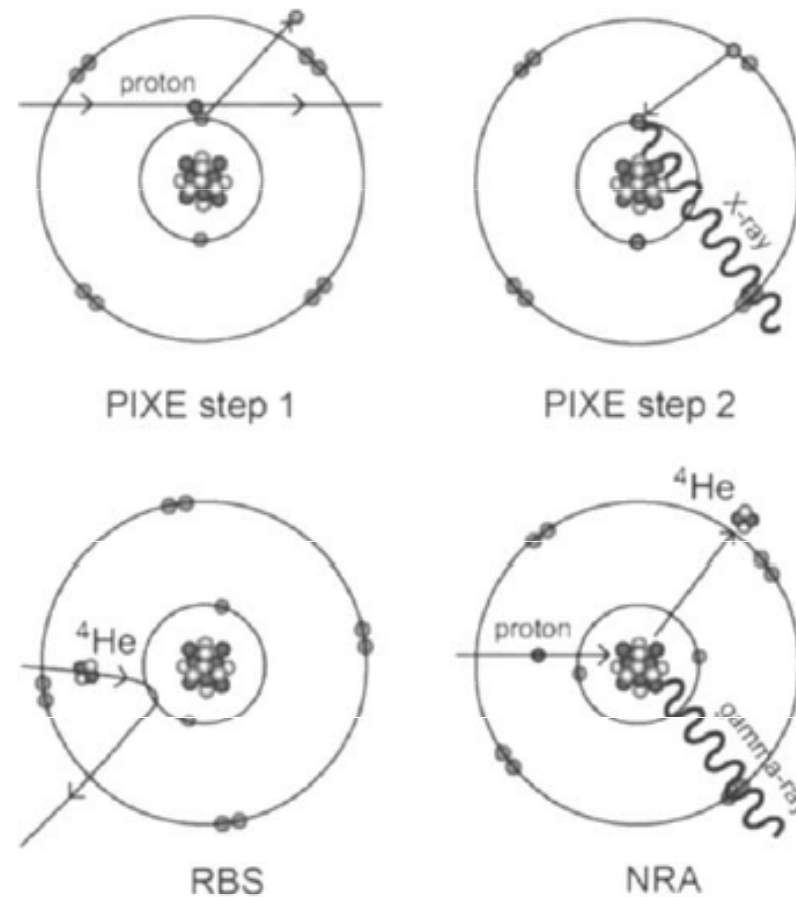
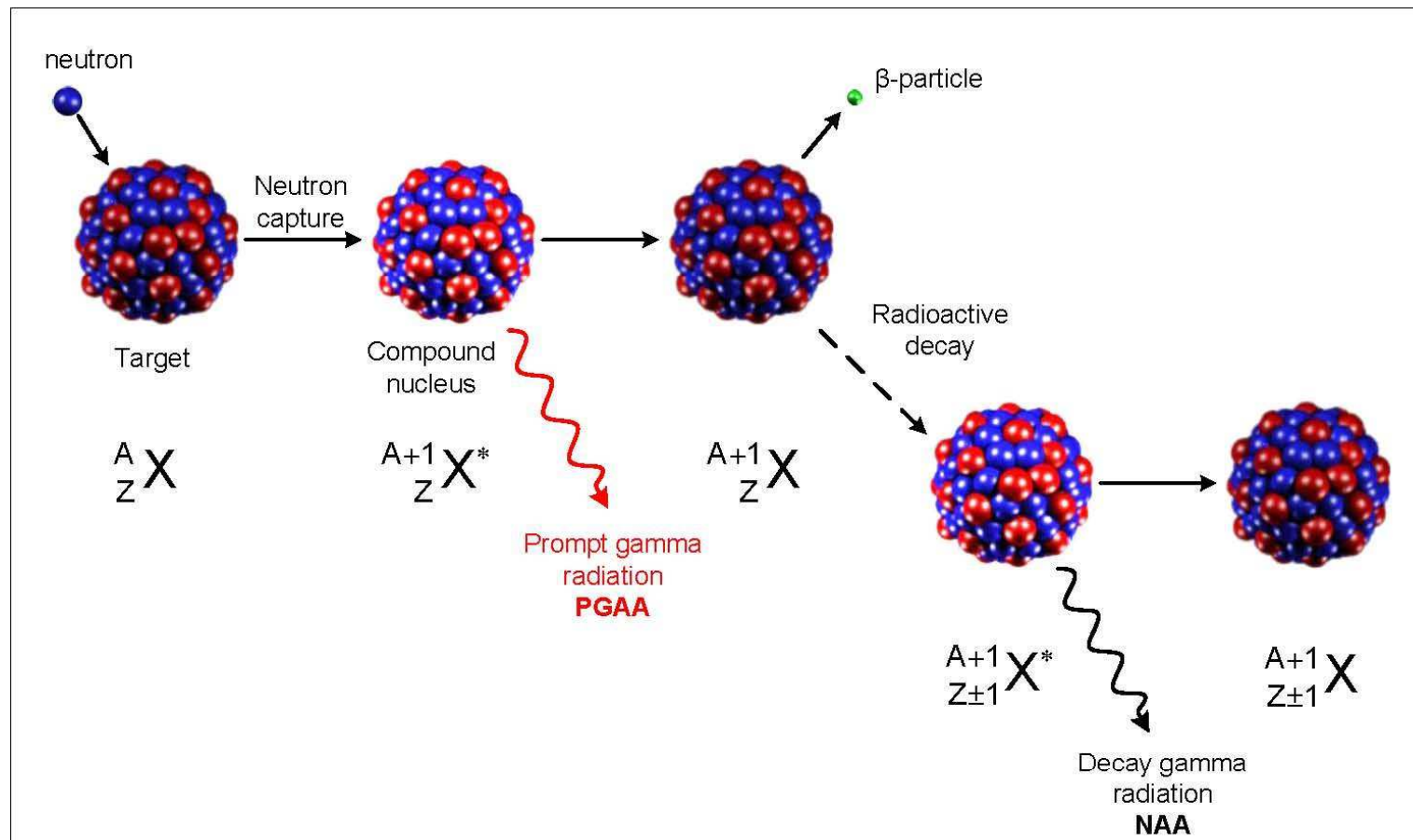


Fig. 5.1. Physical principles of IBA techniques. Particle-induced X-ray emission (PIXE) is a two-step process: an inner-shell electron of the target atom is expelled by the impinging ion, then follows an electronic rearrangement accompanied by X-ray emission. Rutherford backscattering spectrometry (RBS) relies on a purely elastic process based upon the electrostatic repulsion between positively charged projectile and target nuclei. NRA occurs when the projectile and the target nuclei come close enough to undergo a nuclear reaction with emission of characteristic photons or charged particles.

Neutronová aktivační analýza



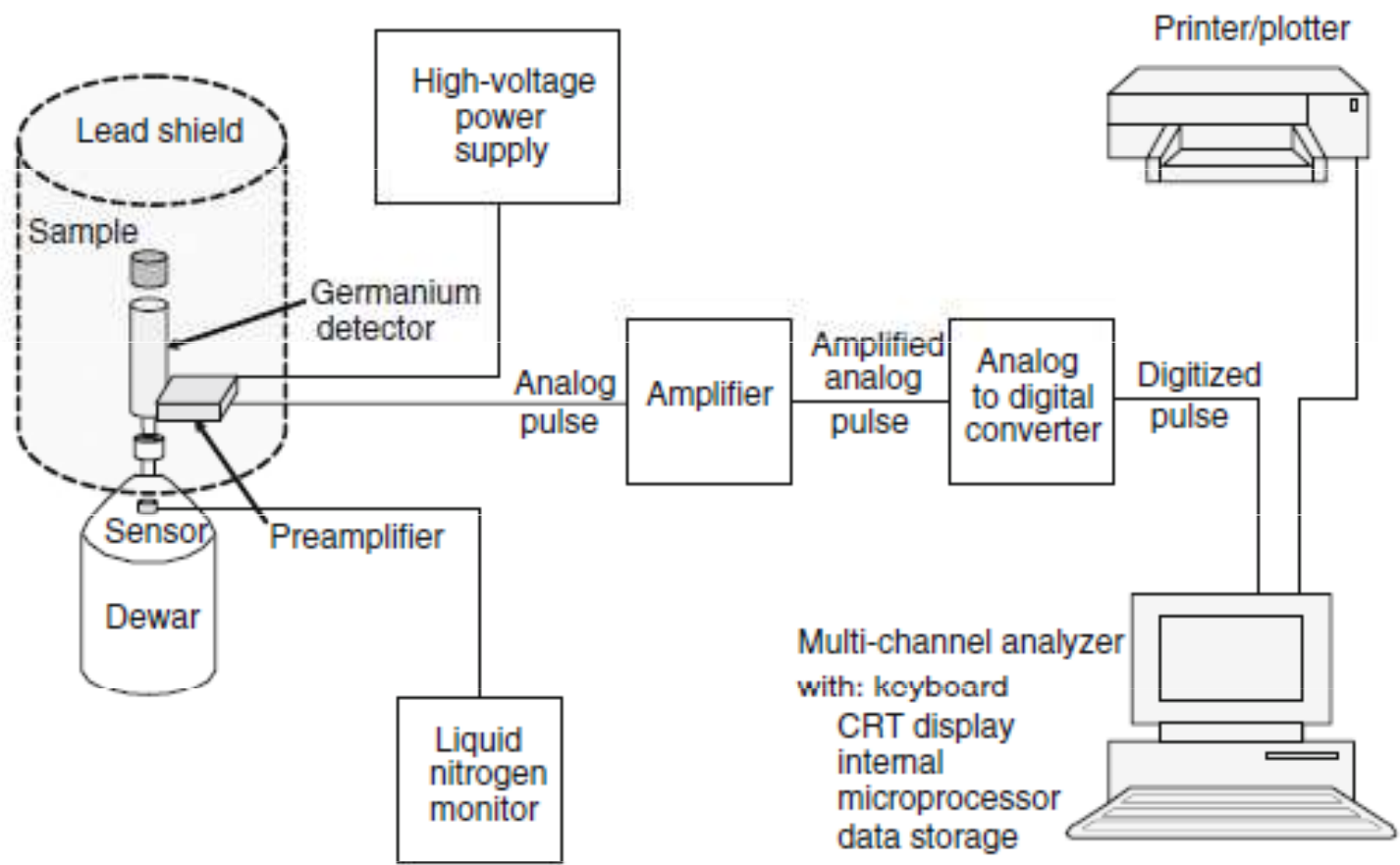


Fig. 32.1 Germanium–lithium detector (From SKOOG. Principles of Instrumental Analysis, 5E. © 1998 Brooks/Cole, a part of Cengage Learning, Inc. Reproduced by permission. www.cengage.com/permissions)

Hmotnostní spektrometrie

Izotopy



^a The detection limits are based on a 98% confidence level (3 standard deviations).

^b Identifying a single part per trillion of an element in a solution is analogous to locating a single white raisin in a house (2,700 sq ft) full of regular raisins.

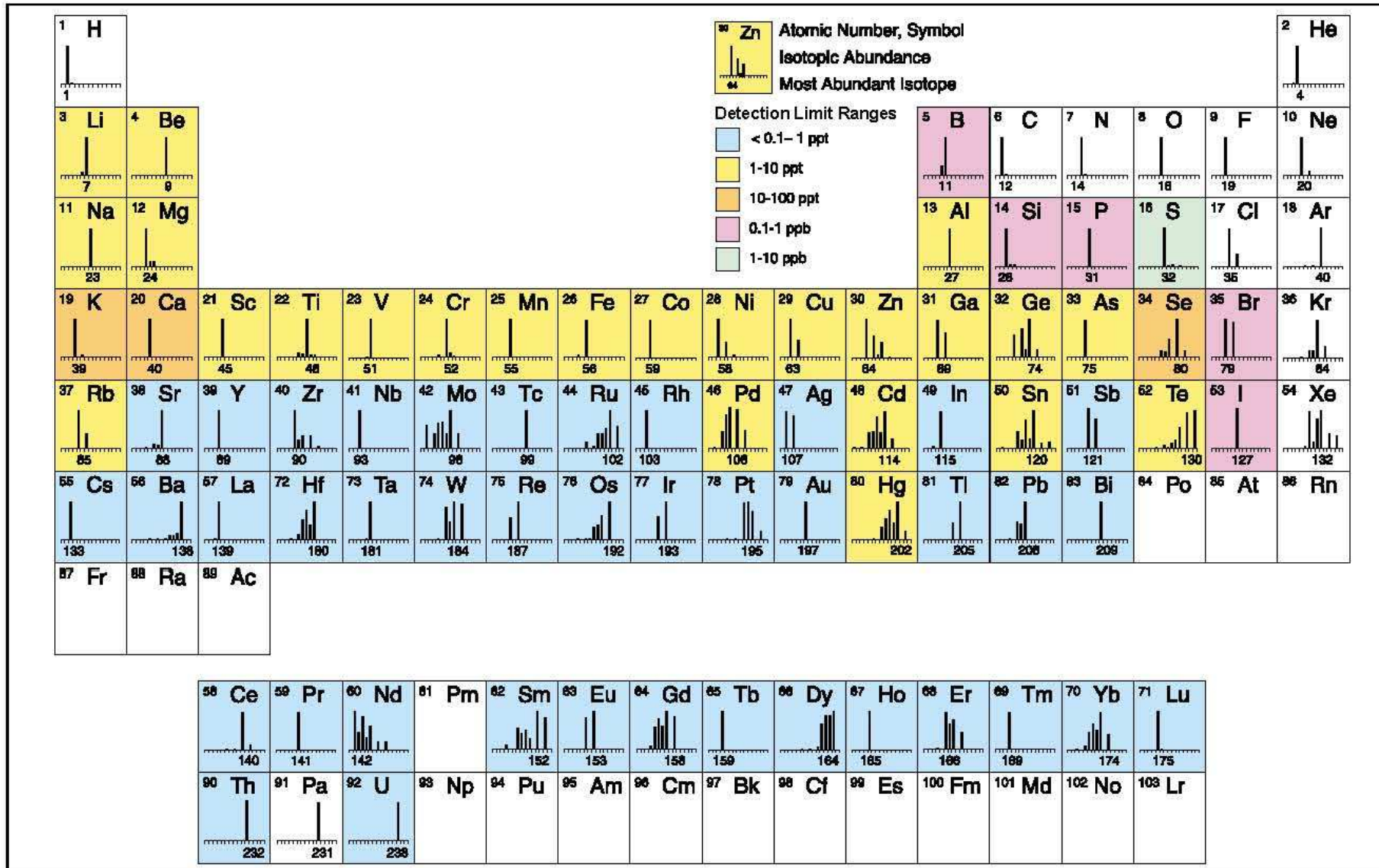


Figure 1. Elements determined by ICP-MS and approximate detection capability.



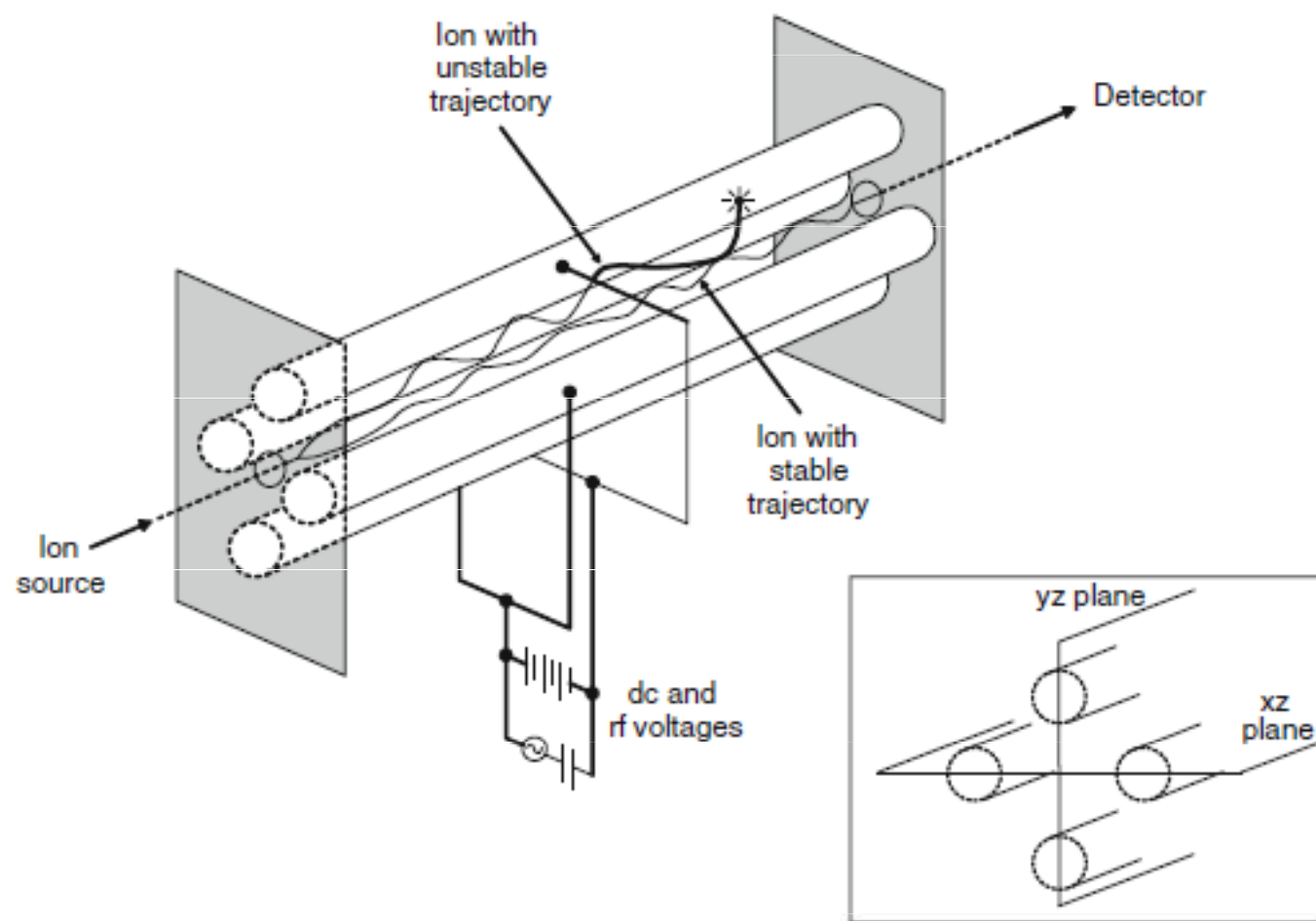


Fig. 31.5 Quadrupole mass spectrometer with inset of xz and yz planes (From SKOOG. Principles of Instrumental Analysis, 5E. © 1998 Brooks/Cole, a part of Cengage Learning, Inc. Reproduced by permission. www.cengage.com/permissions)

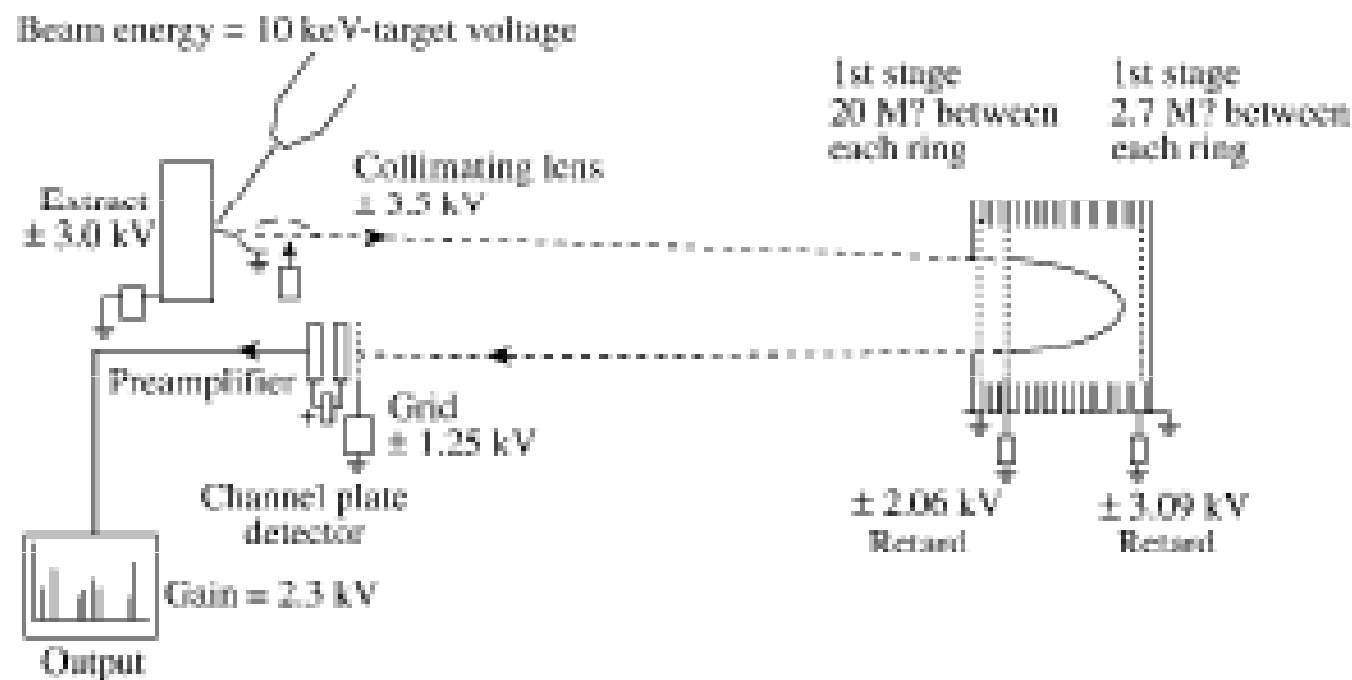
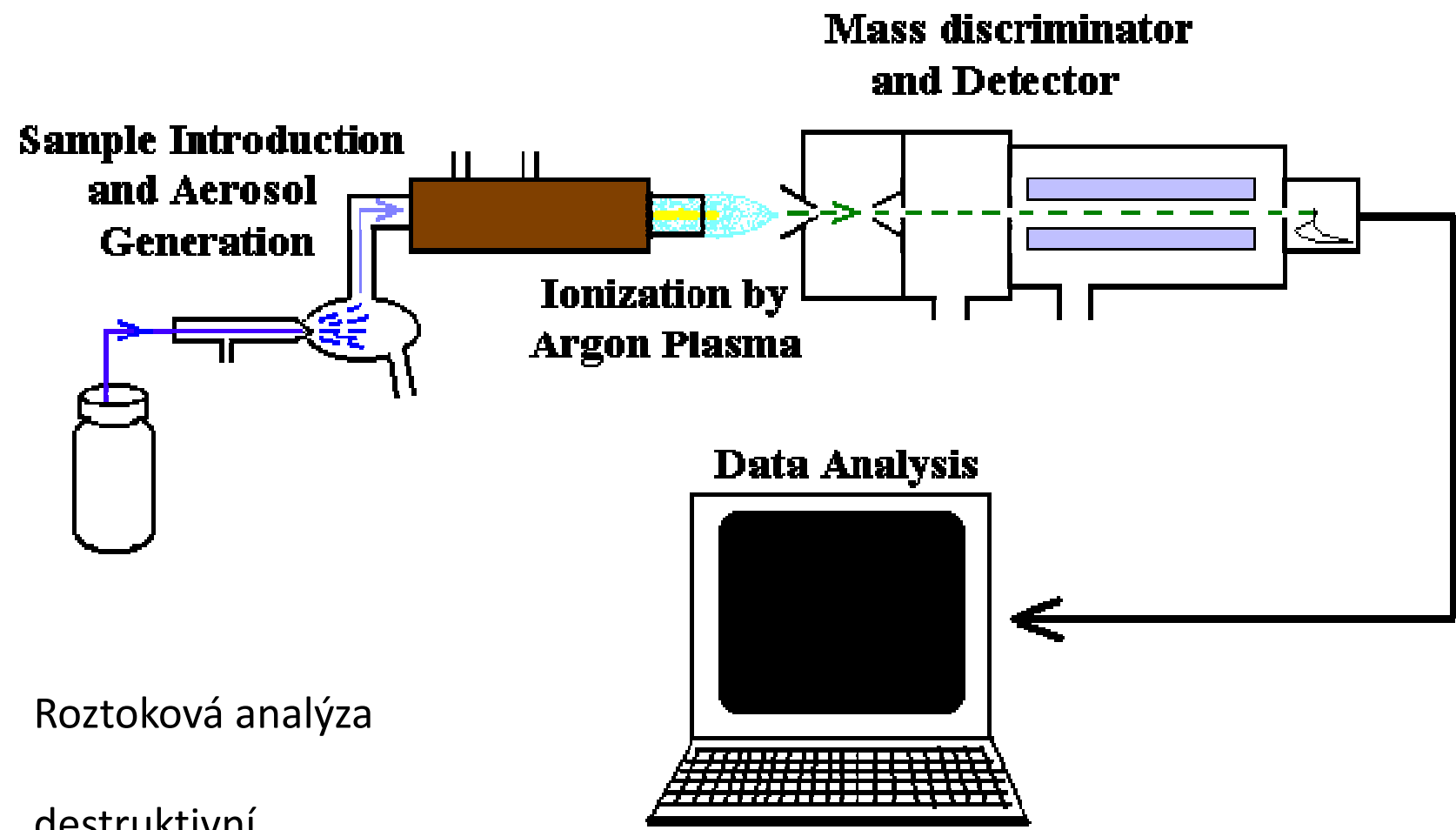


Figure 8.12 Time-of-flight mass analyzer. The secondary ion beam is reflected by a mirror to correct the flight time of ions with identical m/z . (Reproduced with permission from J.C. Vickerman, *Surface Analysis: The Principal Techniques*, John Wiley & Sons Ltd, Chichester. © 1997 J.C. Vickerman.)

Hmotnostní spektrometrie s indukčně vázaným plazmatem



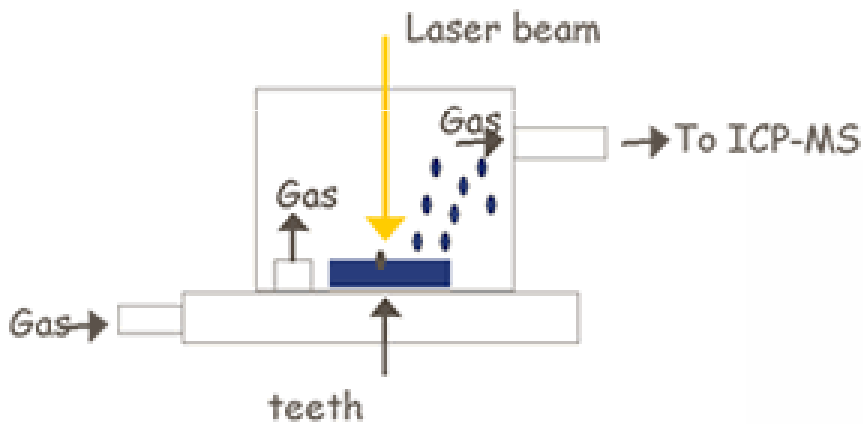
Roztoková analýza
destruktivní

LA-ICP-MS

Pevné látky vzorkovány laserovou ablací

LA-ICP-MS method

Laser beam → surface of teeth
Small amount of mass → vaporized
Vaporized particles → ICP-MS



Kvadrupólový

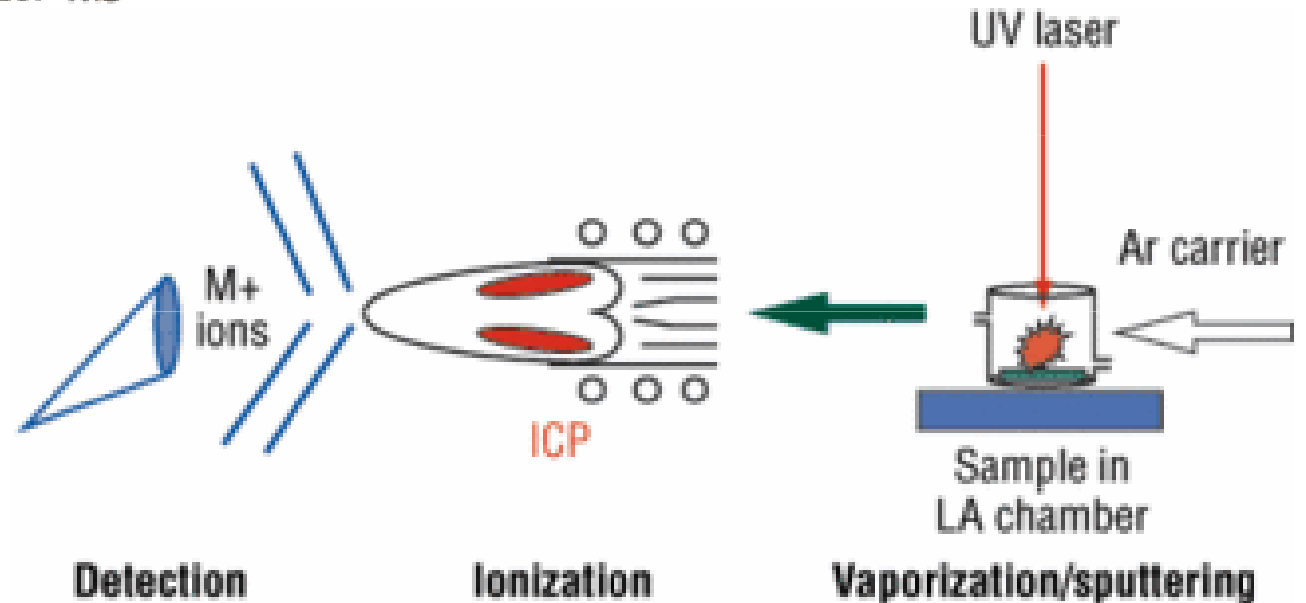
Nd:YAG

TOF

Excimer

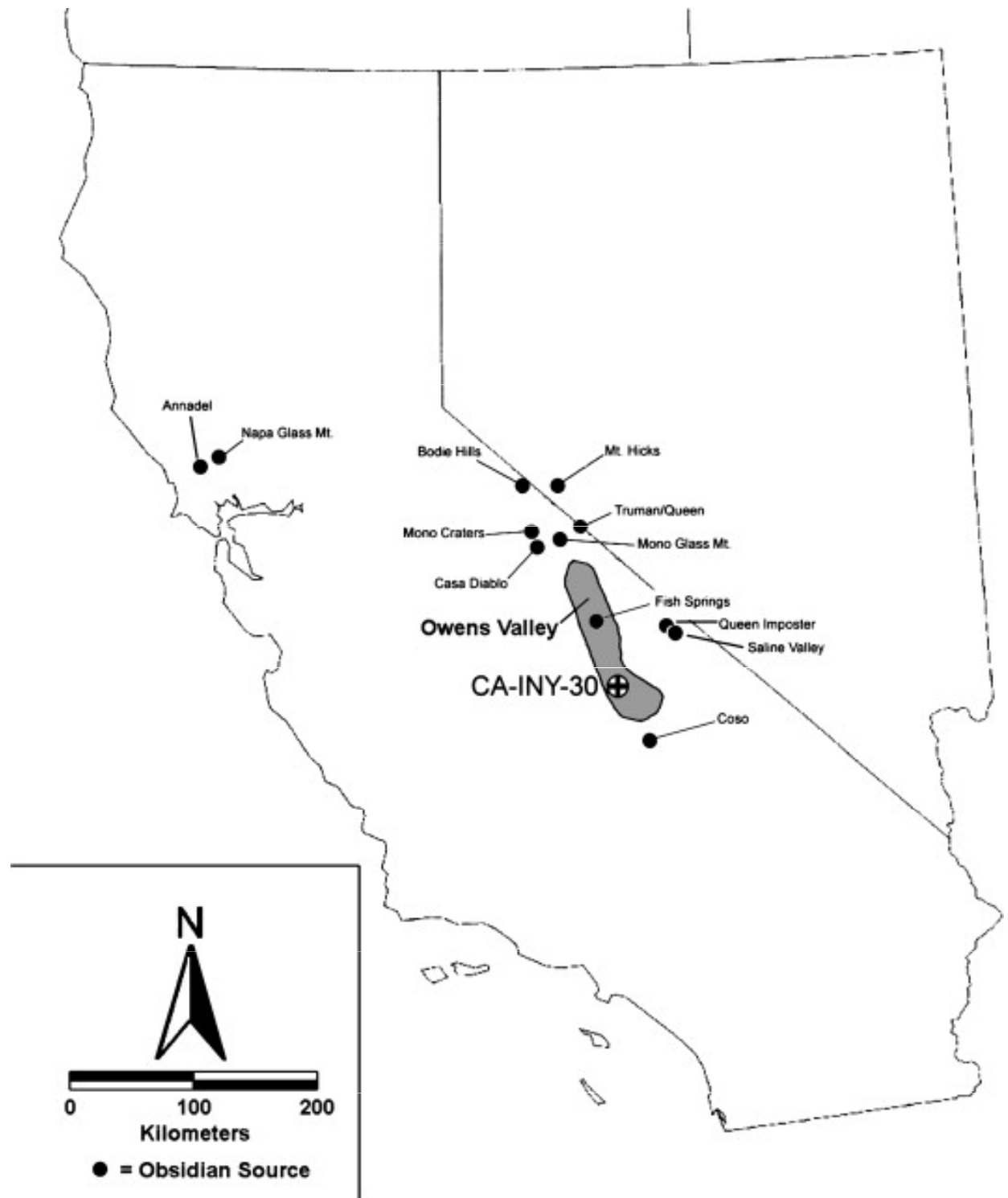
Sektorový (MC)

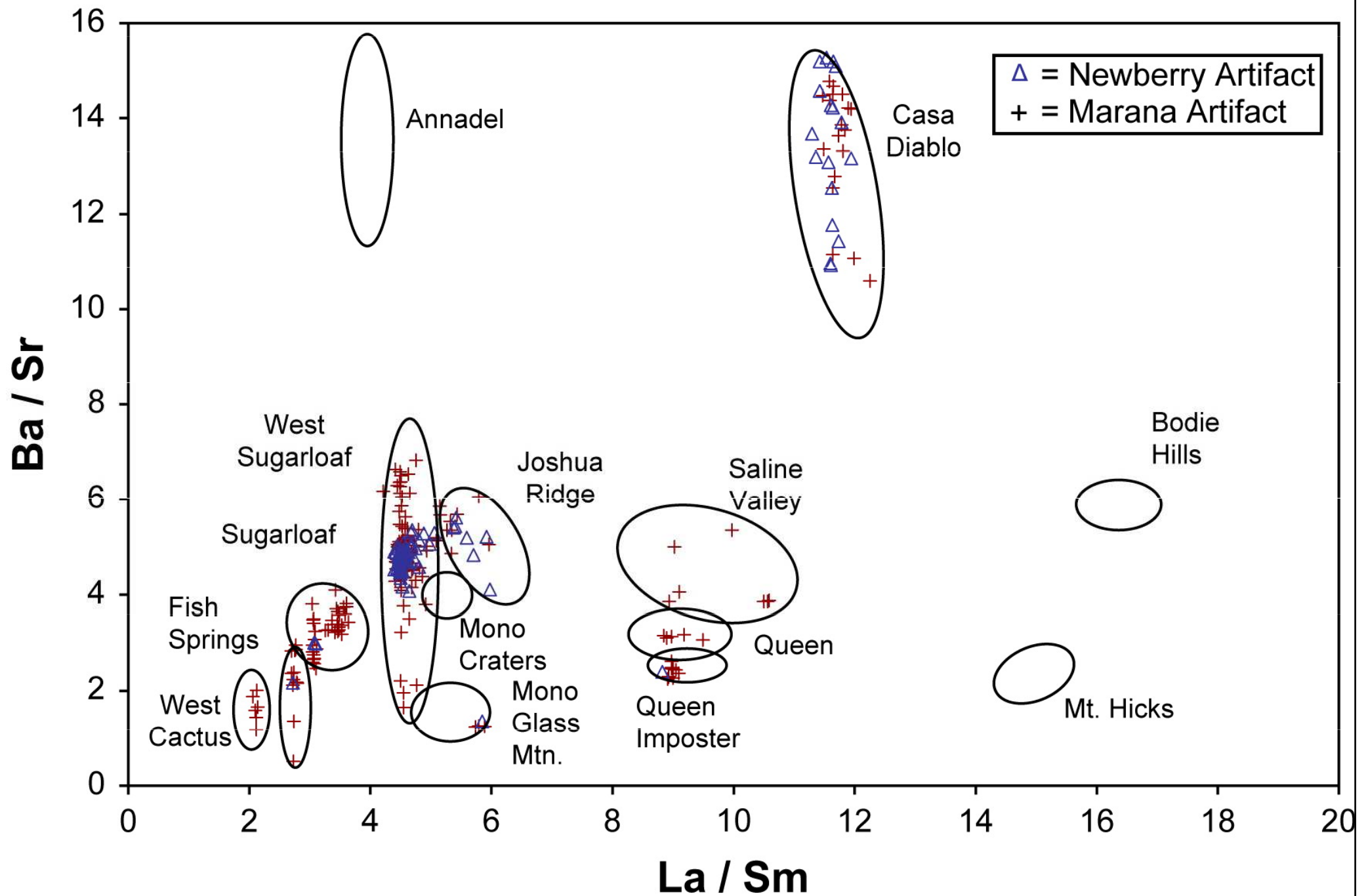
Semidestruktivní metoda



Provenience obsidiánu

Owens Valley,
vých. Kalifornie





Malba na keramice

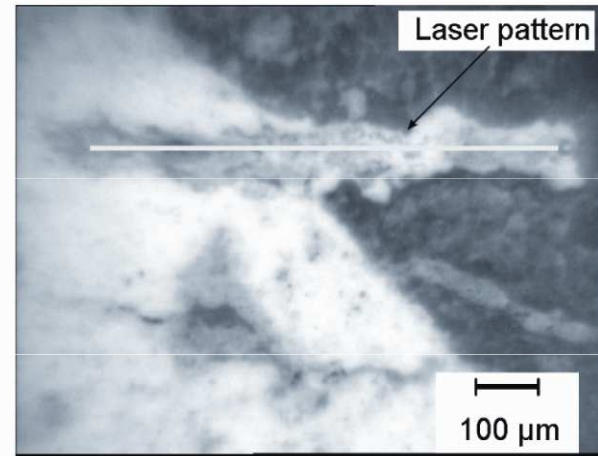


Fig. 5. Post-ablation photograph showing line pattern which has been ablated across the slip-decoration boundary of a Mimbres pottery sherd

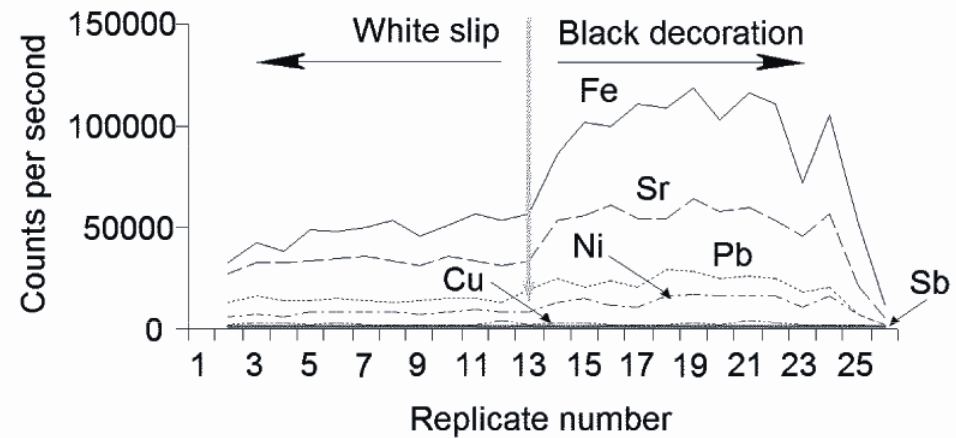
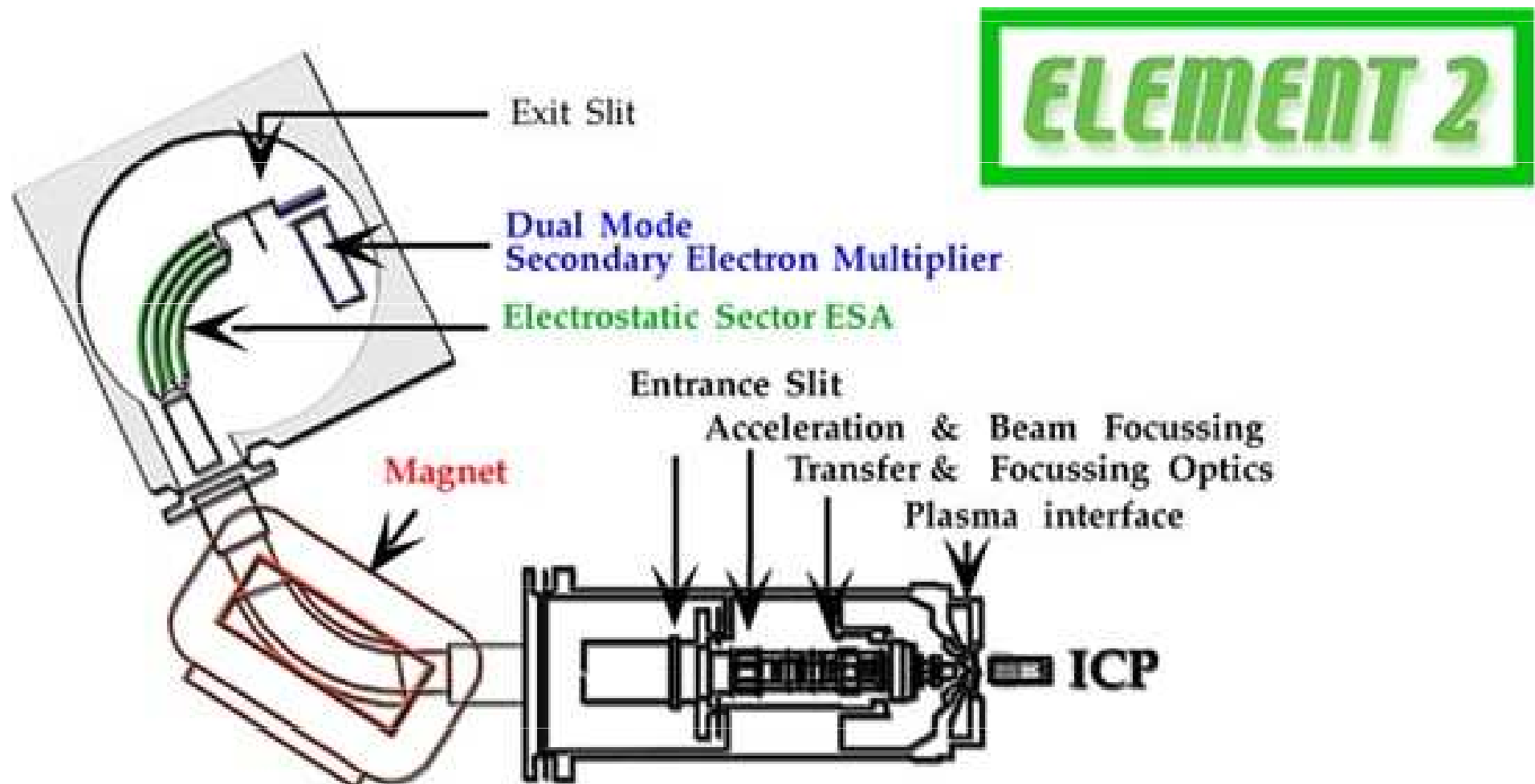


Fig. 6. Elemental scan showing replicate analyses over time as laser pattern is ablated across white slip to black decoration border on a Mimbres pottery sherd

MC LA-ICP-MS

Analýza izotopových poměrů



Analýza izotopových poměrů

Sklo „Art nouveau“

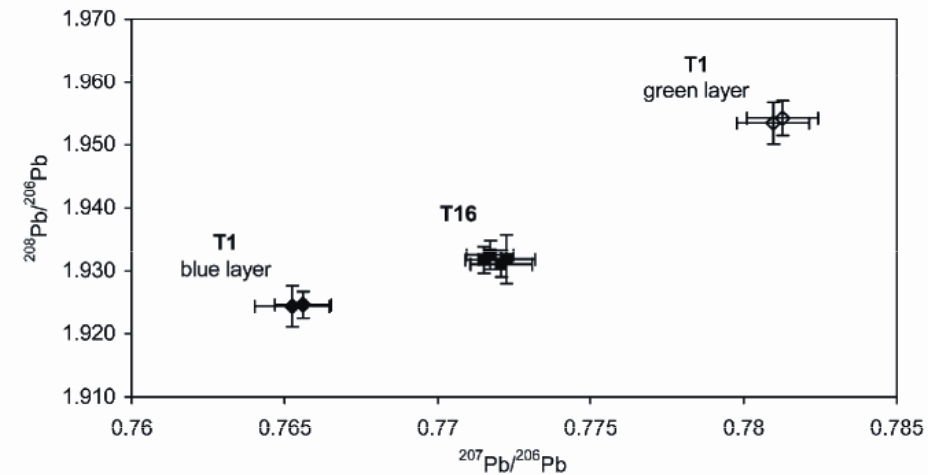


Fig. 2 Lead isotope ratio distribution of the two iridescent Art Nouveau glasses. Glass T1 consists of two layers of approximately equal thickness (coloured green and blue, respectively). Error bars represent total combined uncertainties ($k = 1$).

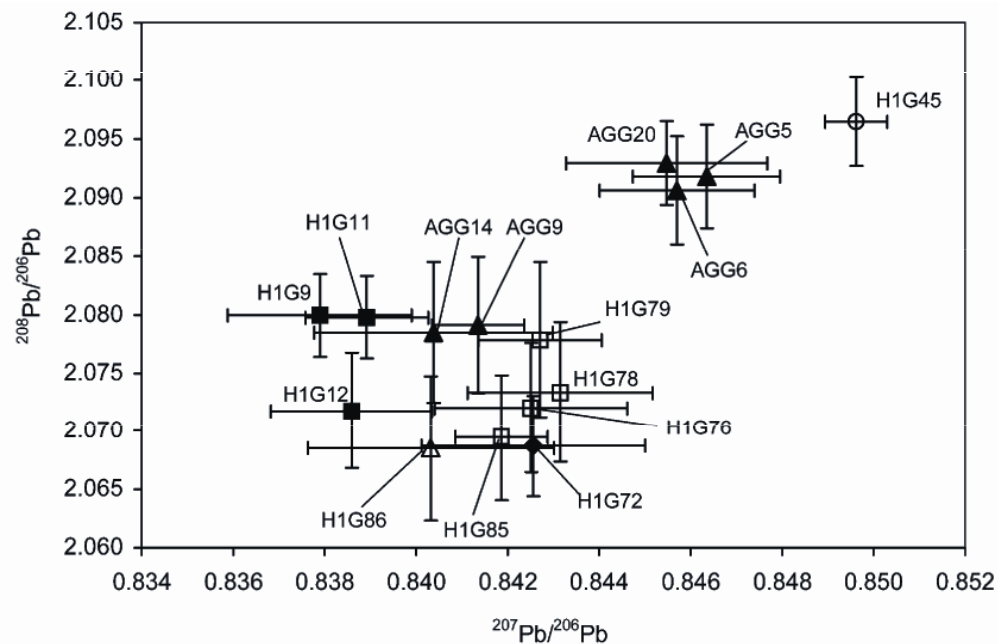
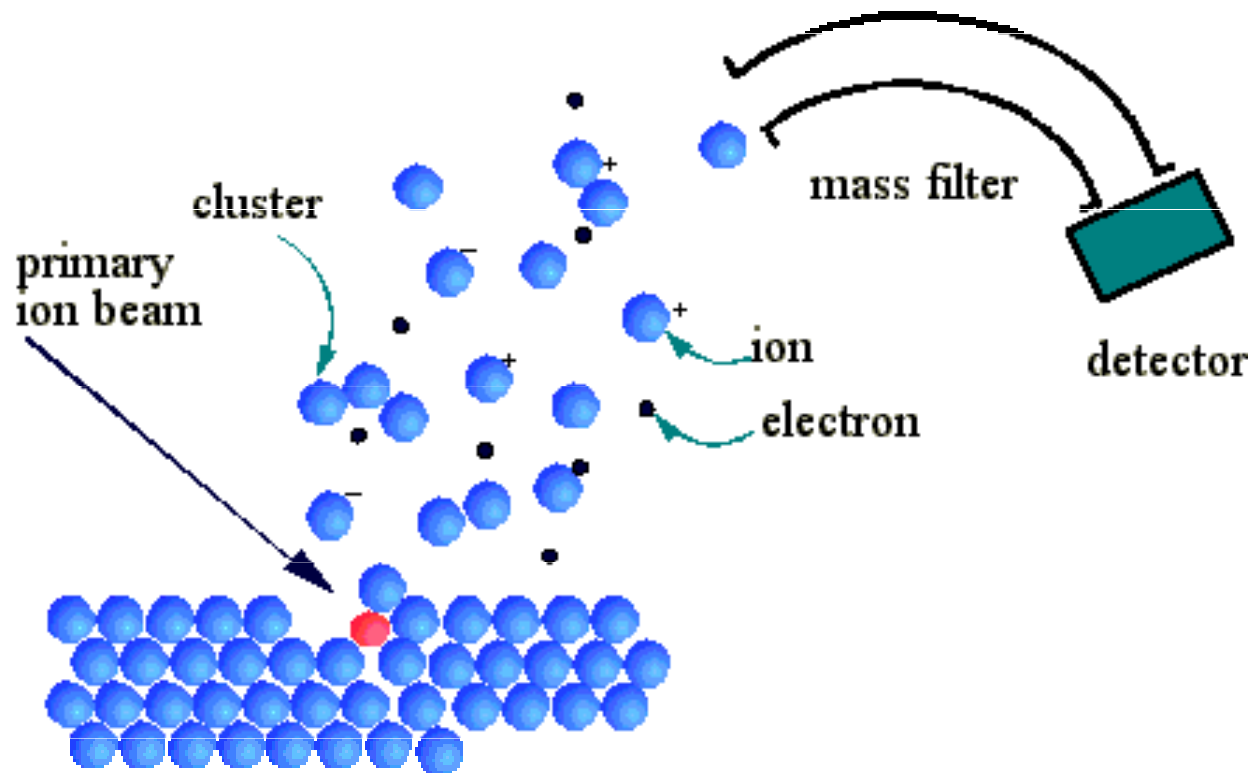


Fig. 3 Lead isotope ratios of Ephesos glass samples after external mass bias correction *via* the NIST SRM 610 glass reference material. Error bars represent total combined uncertainties ($k = 1$). For sample description see Table 1.

LDI - TOF

Desorpce a ionizace laserem

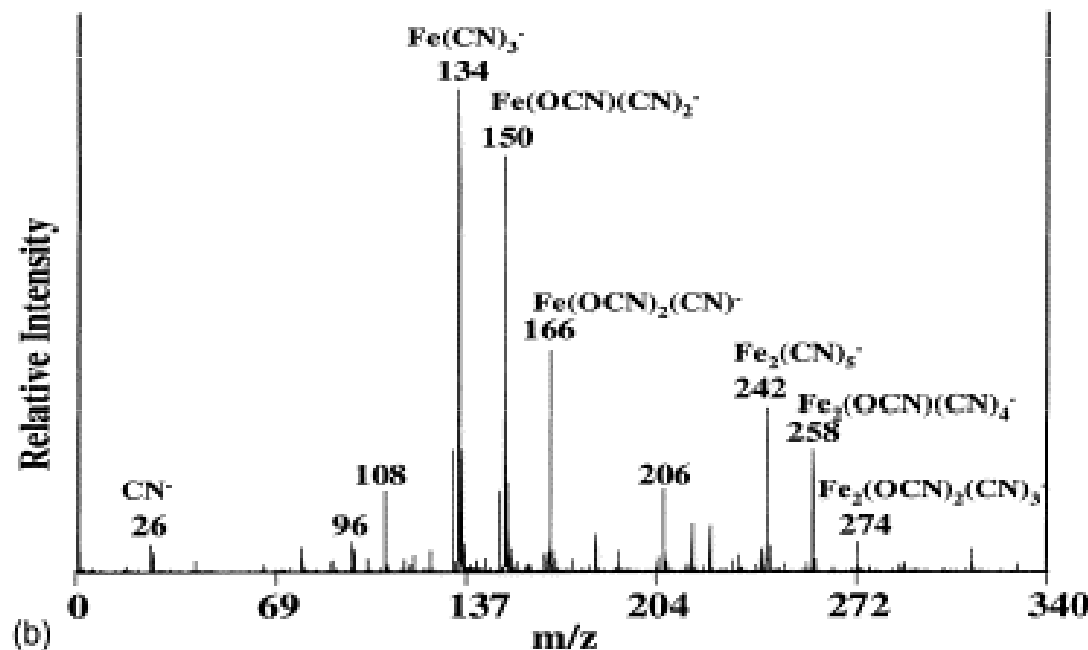
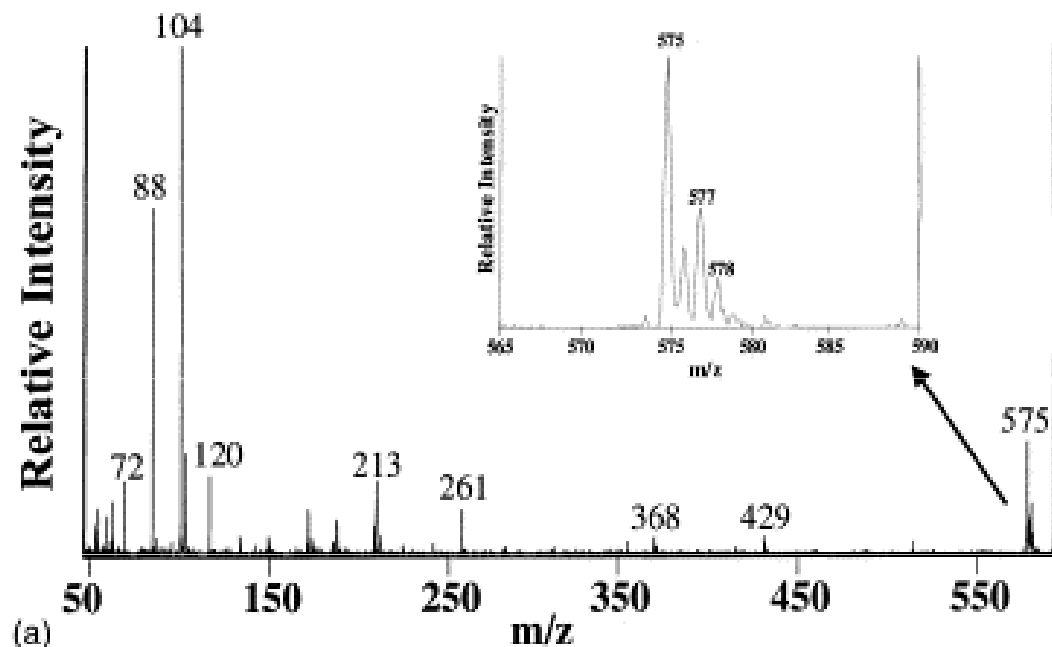


Analýza pigmentů



Pruská modř

<i>m/z</i>	Assignment	Fe oxidation states
108	$\text{Fe}(\text{CN})_2^-$	+1
124	$\text{Fe}(\text{OCN})(\text{CN})^-$	+1
134	$\text{Fe}(\text{CN})_3^-$	+2
150	$\text{Fe}(\text{OCN})(\text{CN})_2^-$	+2
166	$\text{Fe}(\text{OCN})_2(\text{CN})^-$	+3
182	$\text{Fe}(\text{OCN})_3^-$	+2
190	$\text{Fe}_2(\text{CN})_5^-$	(+1, +1) or (0, +2)
206	$\text{Fe}_2(\text{OCN})(\text{CN})_2^-$	(+1, +1) or (0, +2)
216	$\text{Fe}_2(\text{CN})_4^-$	(+1, +2) or (0, +3)
222	$\text{Fe}_2(\text{OCN})_2(\text{CN})^-$	(+1, +1) or (0, +2)
242	$\text{Fe}_2(\text{CN})_5^-$	(+2, +2) or (+1, +3)
258	$\text{Fe}_2(\text{OCN})(\text{CN})_4^-$	(+2, +2) or (+1, +3)
274	$\text{Fe}_2(\text{OCN})_2(\text{CN})_3^-$	(+2, +2) or (+1, +3)



Pigmenty v iluminovaných rukopisech

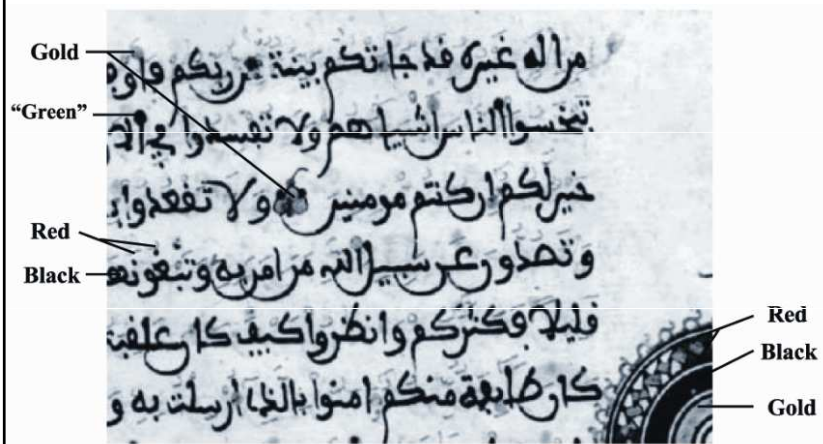


Figure 4 A portion of the page of the Qur'an used in this study.

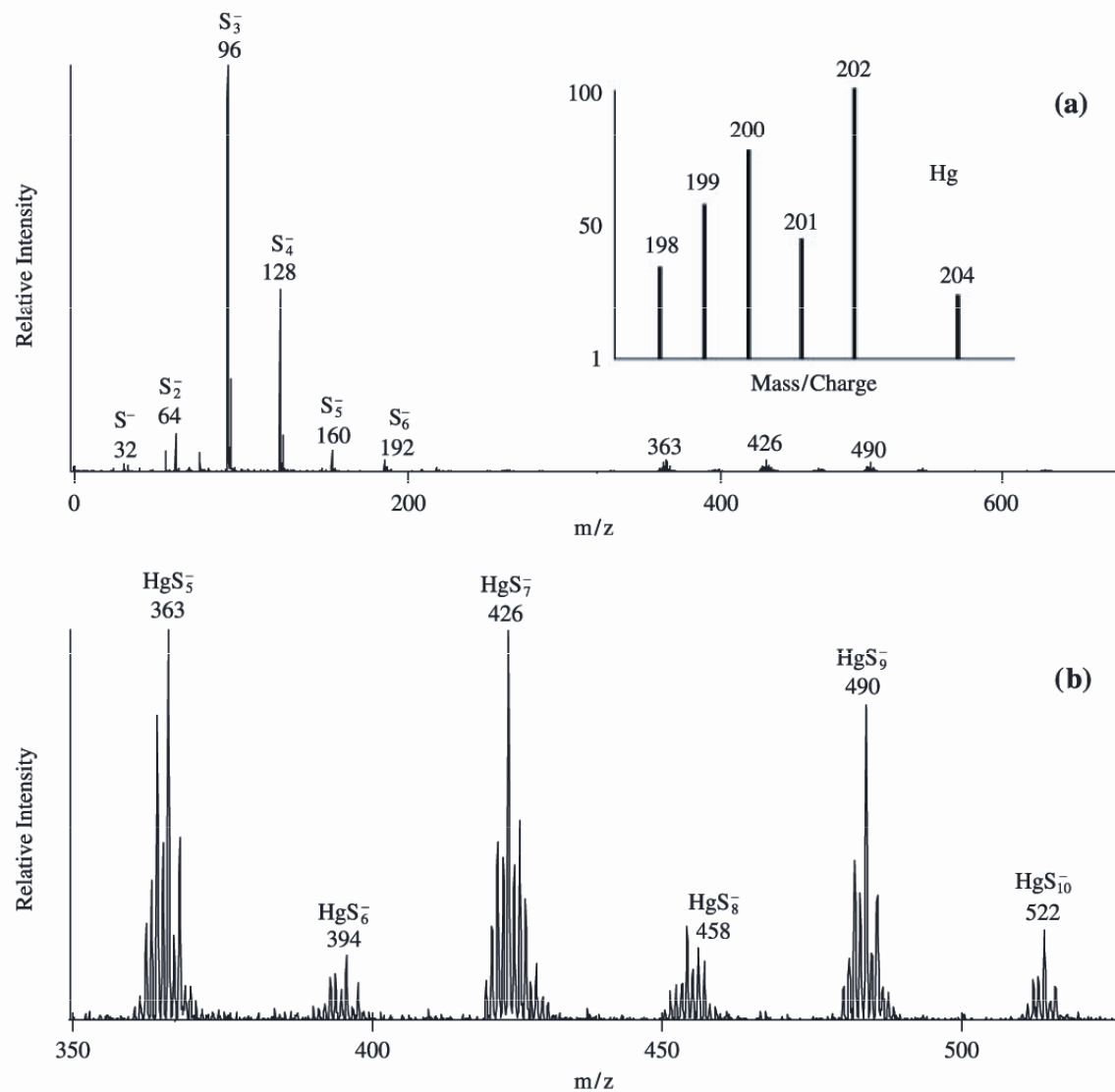


Figure 5 (a) A negative ion LDMS spectrum of the red ink/dye region of the Qur'an sample. (b) An expanded view of the higher m/z portion of the spectrum.

Akrylátové barvy

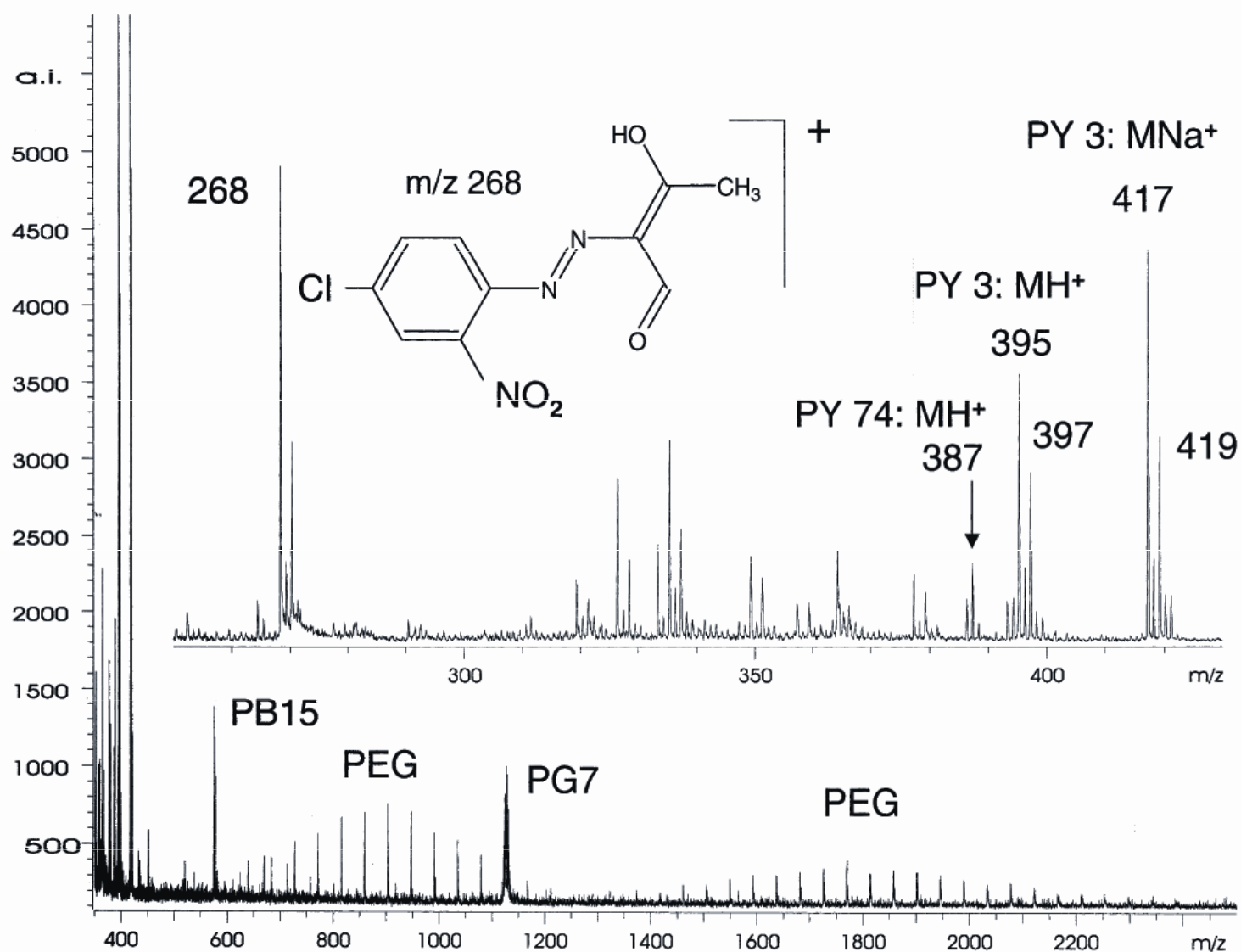
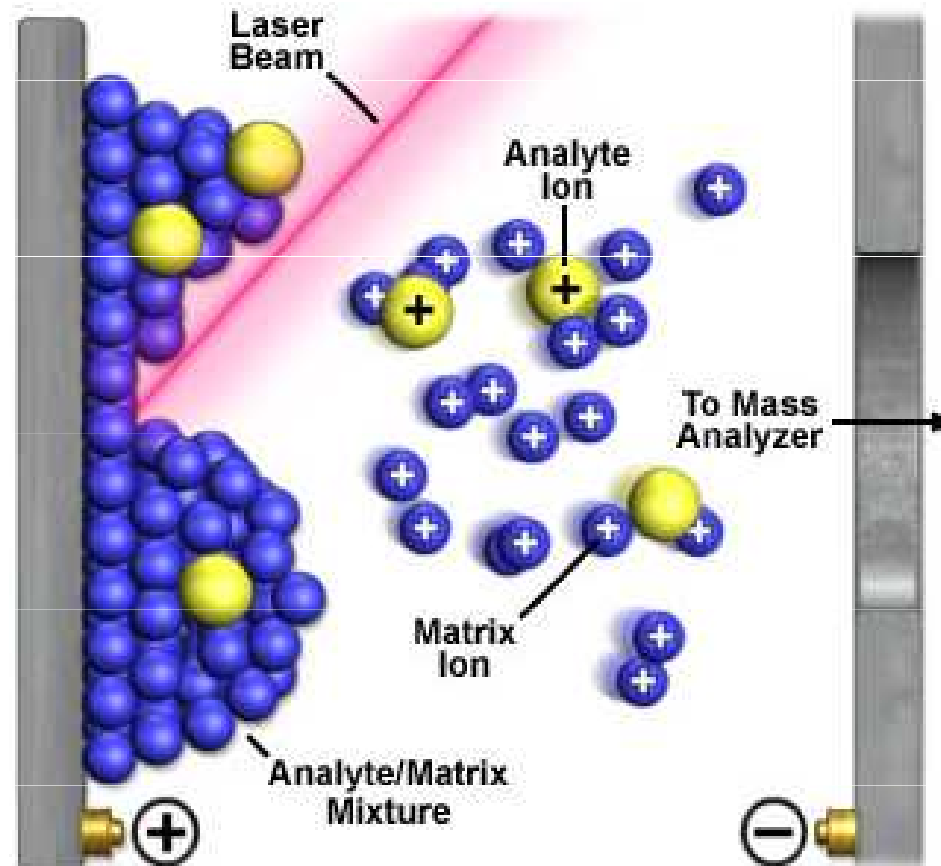


Fig. 11. Laser desorption ionisation mass spectrum of Winsor and Newton Finity 'Permanent Green Light' acrylic paint. The paint was painted on cellulose TLC plate surface and after drying analysed directly by LDI-TOFMS using a nitrogen laser at 337 nm.

MALDI-TOF

Desorpce a ionizace laserem za přítomnosti matrice

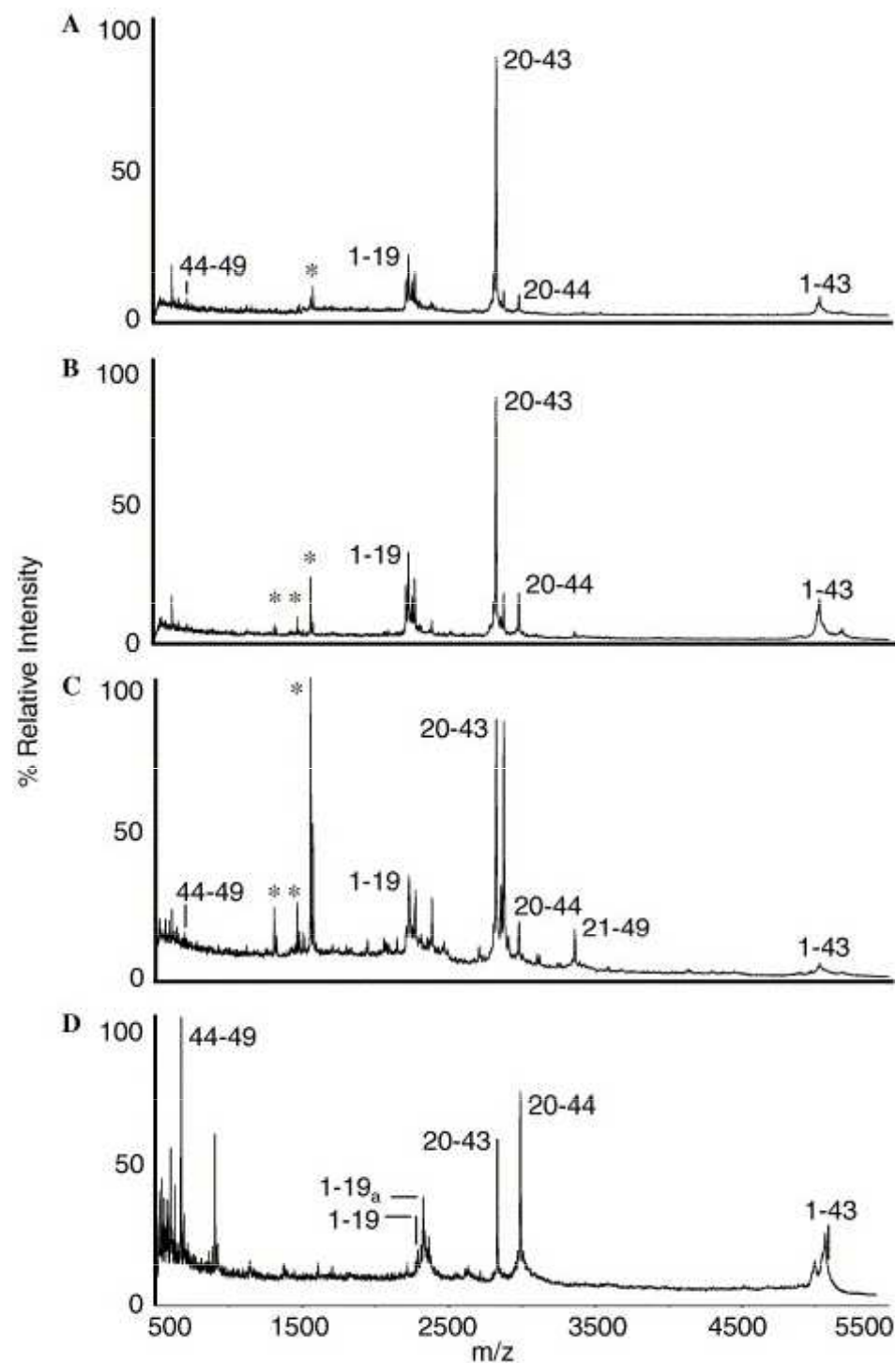


Analýza fosilních proteinů



„Peptide mass fingerprint“ osteokalcinu rozloženého trypsinem:

- (A) extant horse
- (B) zebra
- (C) osel
- (D) částečně čištěný osteokalcin z 42 000 let starých pozůstatků koně.

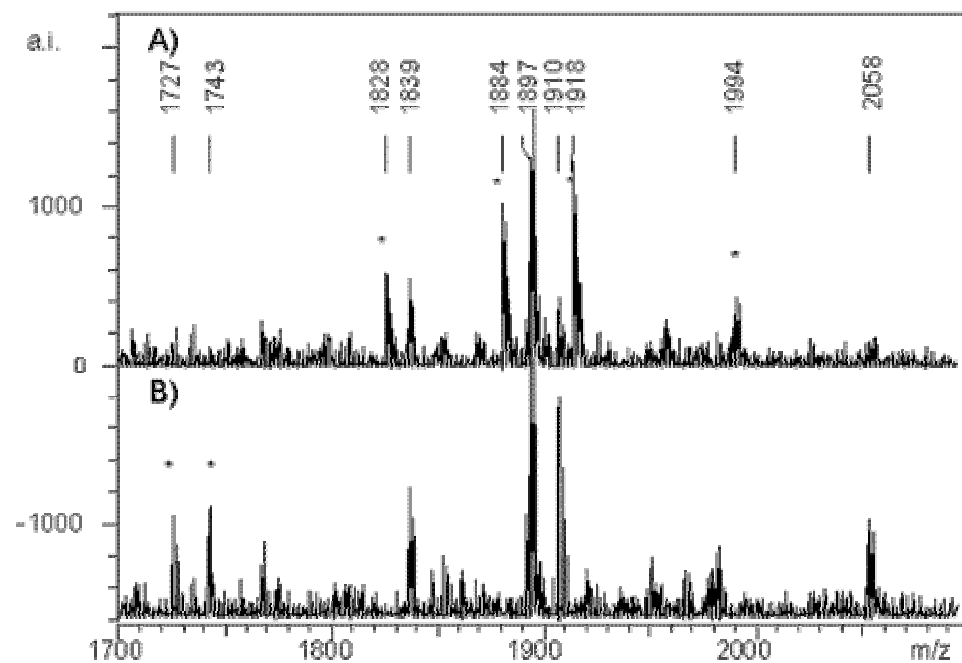
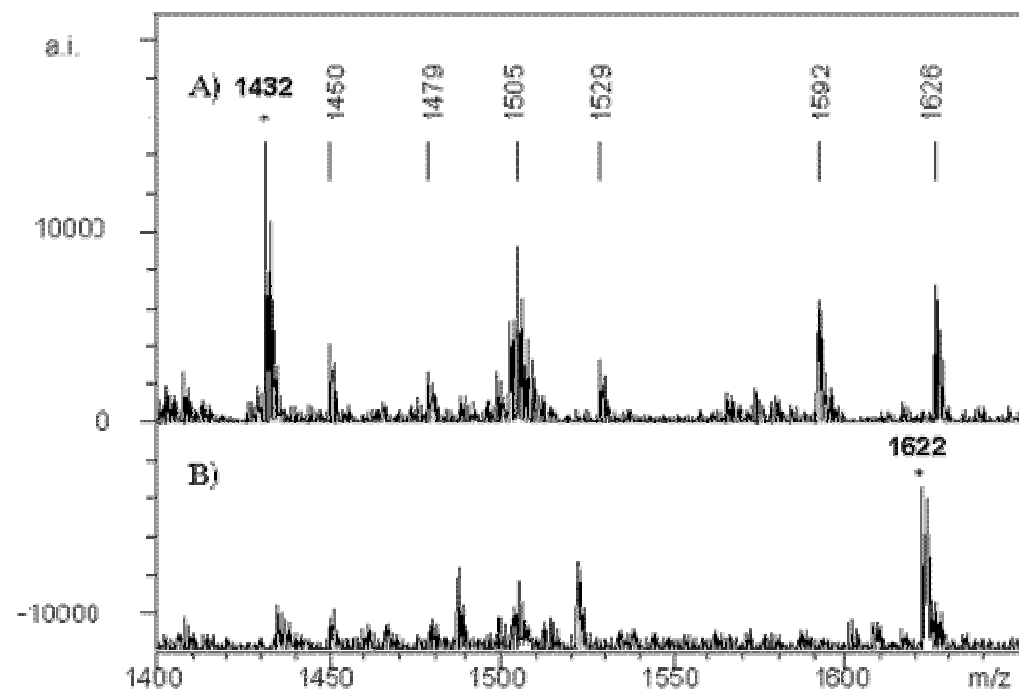


Identifikace keratinů

Hmotnostní spektra 1400 to 1700 Da vlny jaka (A) a kašmírské kozy (B) (rozklad trypsinem).



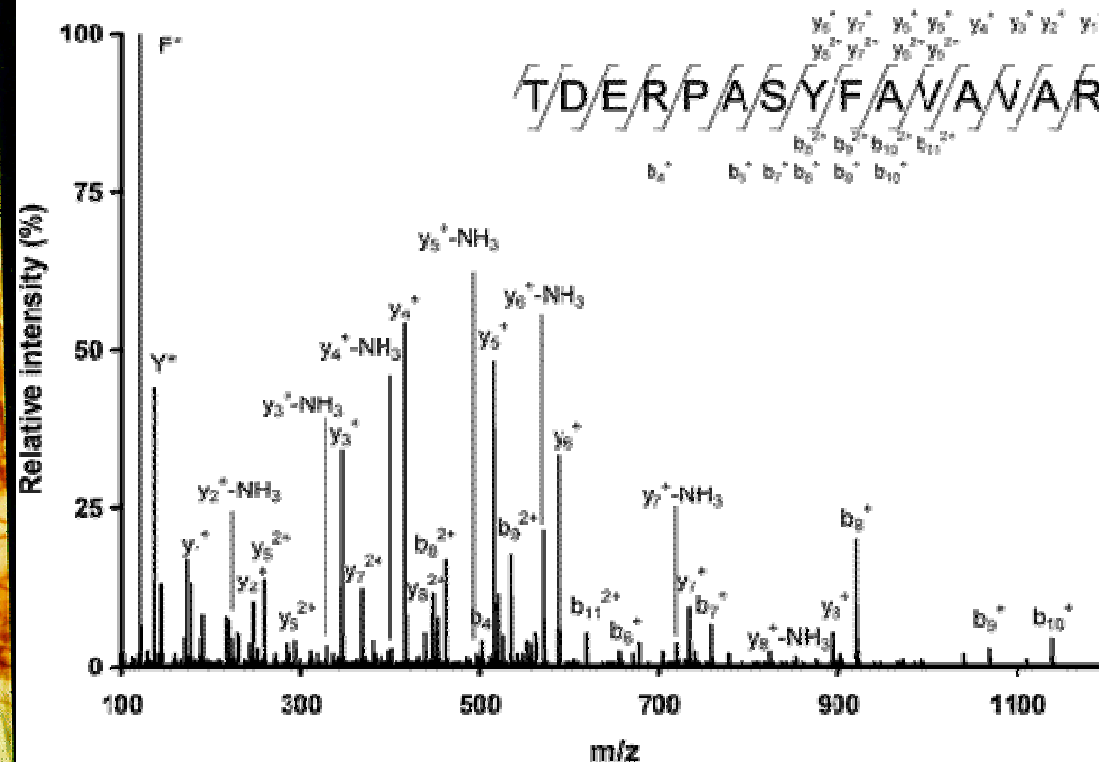
Hmotnostní spektra 1700 to 2100 Da peří husy (A) a kachny (B).



Identifikace organických pojiv v malbách

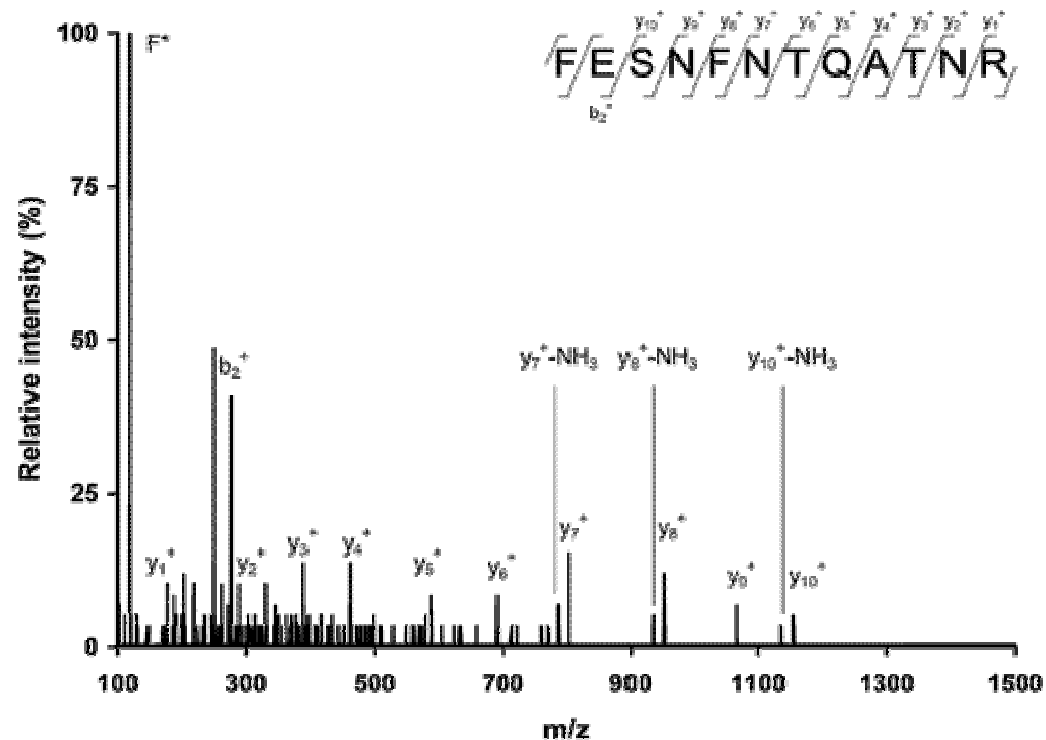


Triptych Benedetta Bonfigliho, Madona s dítětem, sv. Jan Křtitel. sv. Šebestián (XV. století).



MS/MS spektrum trojnásobně nabitých iontů pro m/z 551.61, z hydrolyzovaného extraktu. Přítomny jsou **y** a **b** fragmenty peptidu ovotransferrinu 443-457 (TDERPASYFAVAVAR).

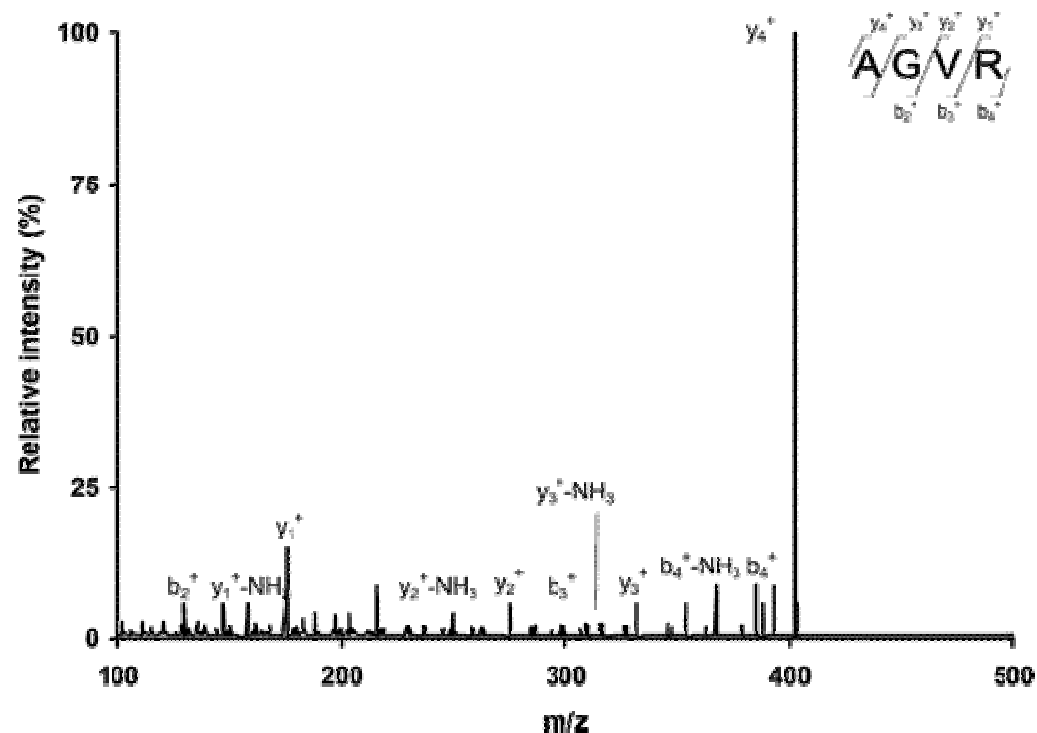
MS/MS spektrum dvojnásobně nabitých iontů m/z 714.82, z hydrolyzovaného extraktu z triptychu Benedetta Bonfigliho. Přítomny jsou fragmenty **y** and **b** fragmentu peptidu lysozomu 52-63 (FESNFNTQATNR).



Závěr:

jako pojivo byly v triptychu Benedetta Bonfigliho použity vaječný bílek a žloutek triptych.

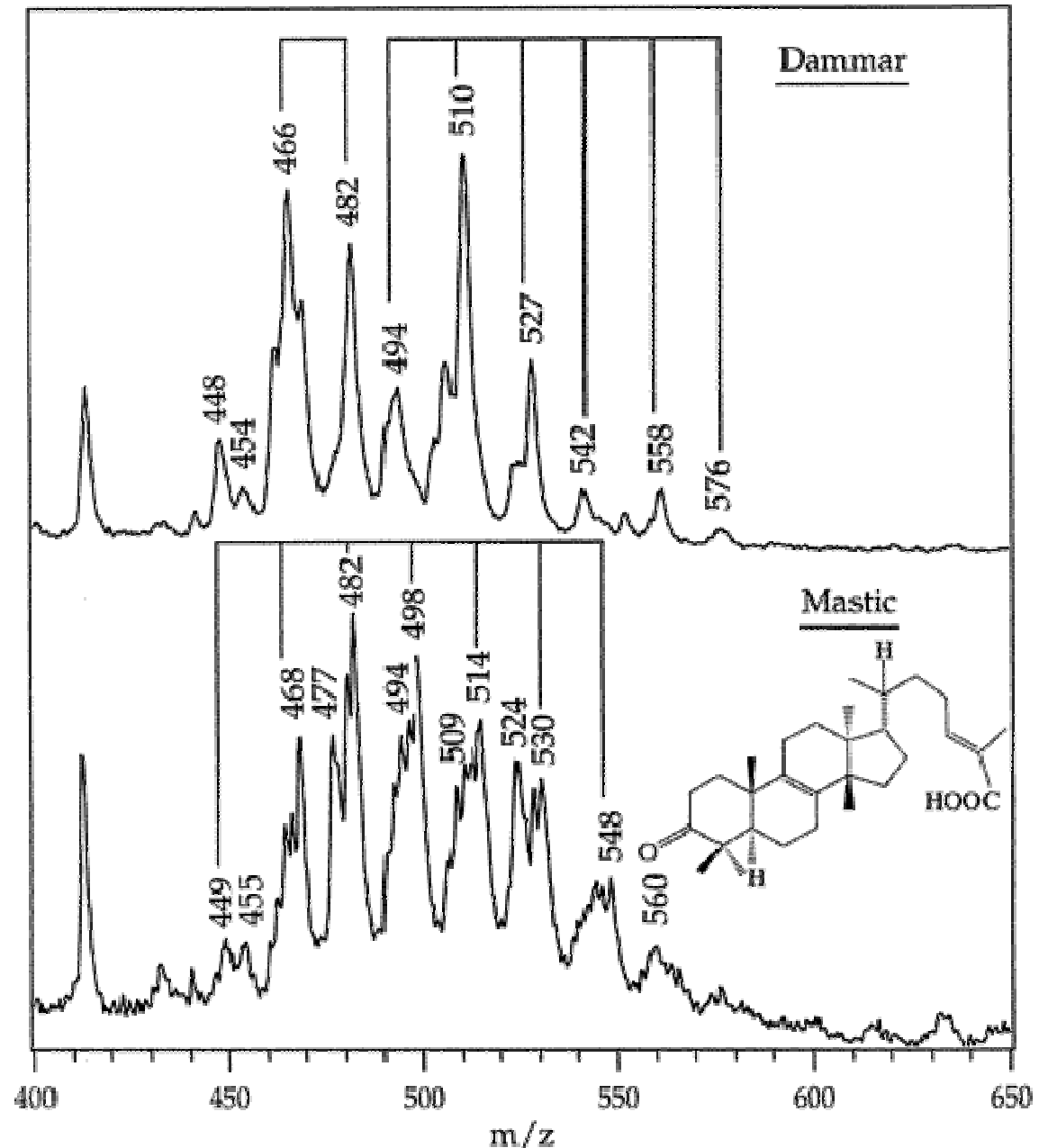
MS/MS spektrum m/z 402.28, z hydrolyzovaného extraktu z triptychu Benedetta Bonfigliho. Přítomny **y** a **b** fragmenty peptidu vitellogeninu II 50-53 (AGVR).



Degradace historických laků

Fotochemická degradace přírodních triterpenoidů použitých jako laky

Hmotnostní spektra laserové desorpce/ionizace dammaru (nahore) a mastixu (dole) na grafitu.



Rentgenová difrakční analýza (XRD)

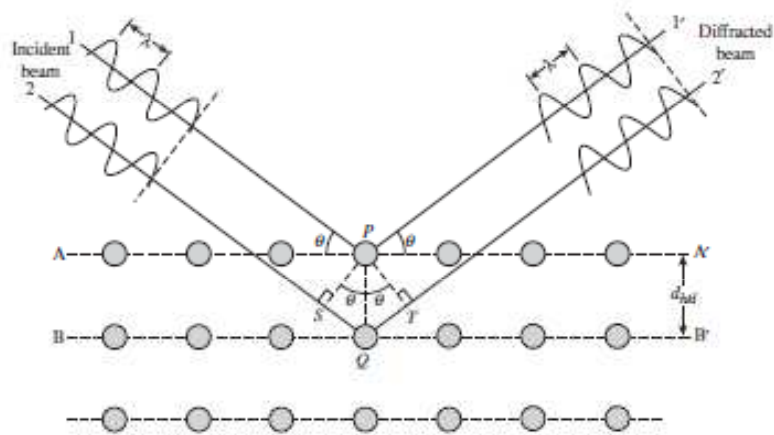
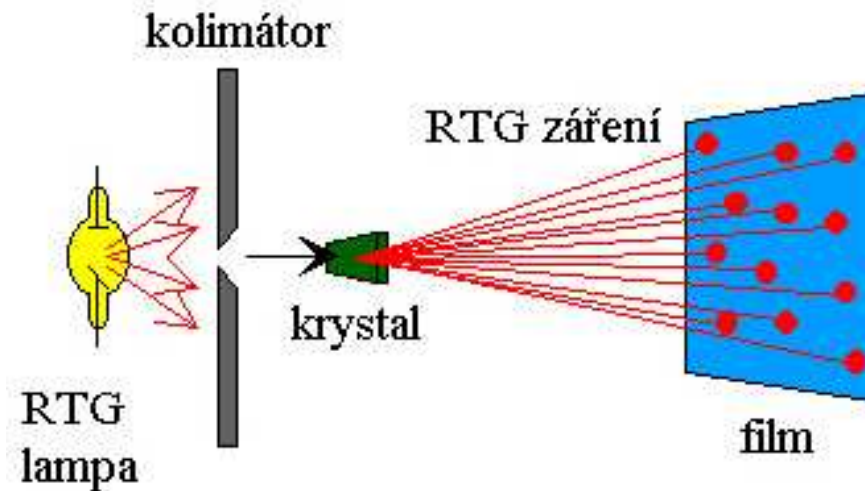


Figure 2.6 Bragg diffraction by crystal planes. The path difference between beams 1 and 2 is $SQ + QT = 2PQ \sin \theta$. (Reproduced with permission from W.J. Callister Jr., *Materials Science and Engineering: An Introduction*, 7th ed., John Wiley & Sons Inc., New York. © 2006 John Wiley & Sons Inc.)

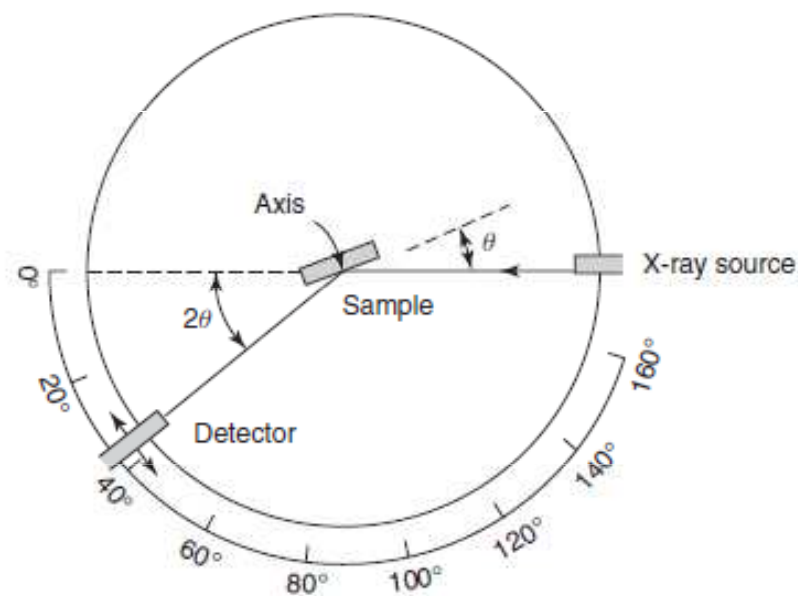


Figure 6.2 Schematic diagram of a XRD diffractometer

Egyptian Osiris: blue corrosion

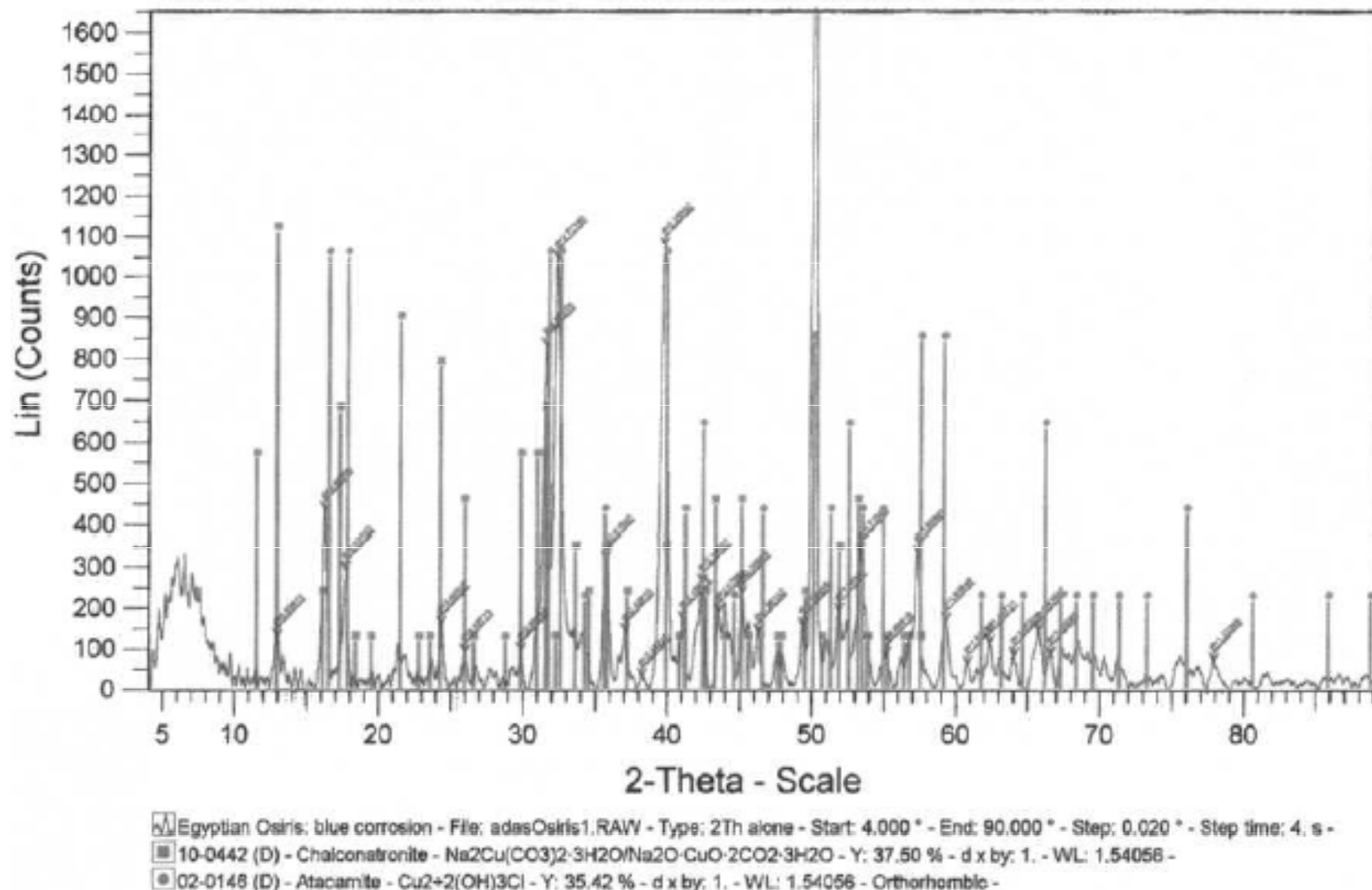


Fig. 10.14. X-ray diffractogram obtained, in situ, for the light blue area of the patina of the Osiris shown in Fig. 10.12, on the back. The principal constituent of this patina is chalconatronite.

Děkuji za pozornost !

